

Marzo  
2012

STUDIO DI MICROZONAZIONE SISMICA

 Regione Emilia-Romagna



Provincia di Parma



Comune di Felino

**Studio di microzonazione sismica  
di cui all'OPCM 3907/2010 e ss.mm.  
Deliberazione della Giunta regionale n. 1051 del  
18.7.2011**

**Elaborato 8  
Prove Tromografiche**

Direzione Tecnica:

Dr. Geol Carlo Caleffi  
Dr. Geol. Francesco Cerutti

Collaboratori:

Dr. Geol. Alessandro Ferrari  
Dr. Geol. Matteo Baisi



**EN GEO** S.r.l.  
ENGINEERING GEOLOGY

Sede legale e uffici : via Adorni, 2 - 43121 Parma  
Tel 0521 233999 - Fax 0521 200181

Sede locale: via Ferrari 5/G 46045 Marmirolo MN  
Tel-Fax 0376 467967

email [info@engeo.it](mailto:info@engeo.it) - [www.engeo.it](http://www.engeo.it)

## FELI\_1158, FELINO T1

Strumento: TRZ-0091/01-10

Inizio registrazione: 27/01/12 11:06:21 Fine registrazione: 27/01/12 11:20:22

Nomi canali: NORTH SOUTH; EAST WEST ; UP DOWN

Dato GPS non disponibile

Durata registrazione: 0h14'00".

Analizzato 74% tracciato (selezione manuale)

Freq. campionamento: 128 Hz

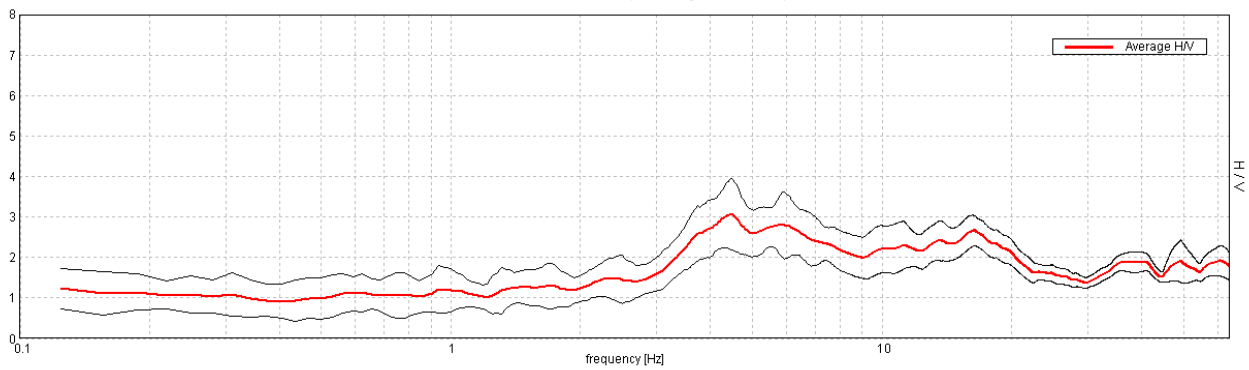
Lunghezza finestre: 20 s

Tipo di lisciamento: Triangular window

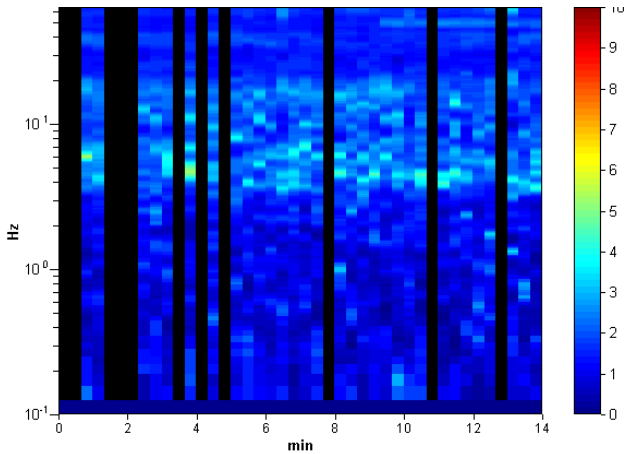
Lisciamento: 10%

### RAPPORTO SPETTRALE ORIZZONTALE SU VERTICALE

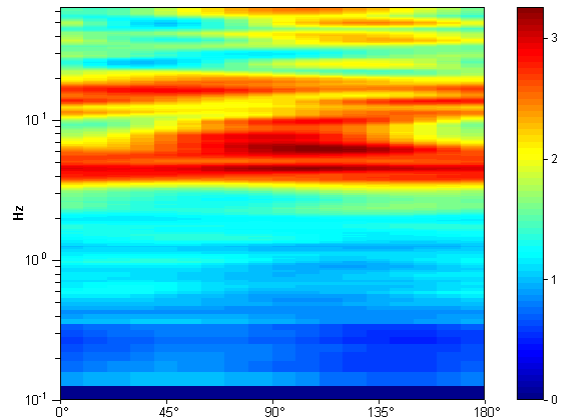
Max. H/V at 4.47 ± 0.36 Hz. (In the range 0.0 - 64.0 Hz).



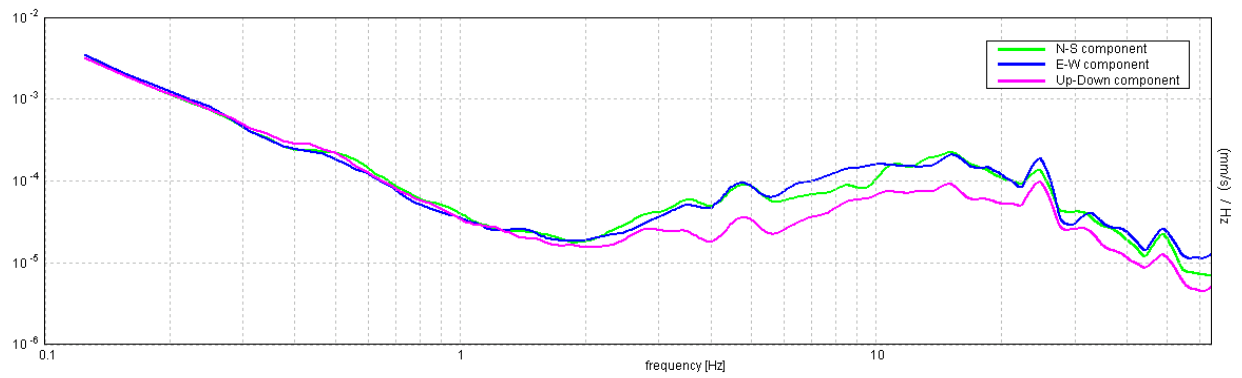
### SERIE TEMPORALE H/V



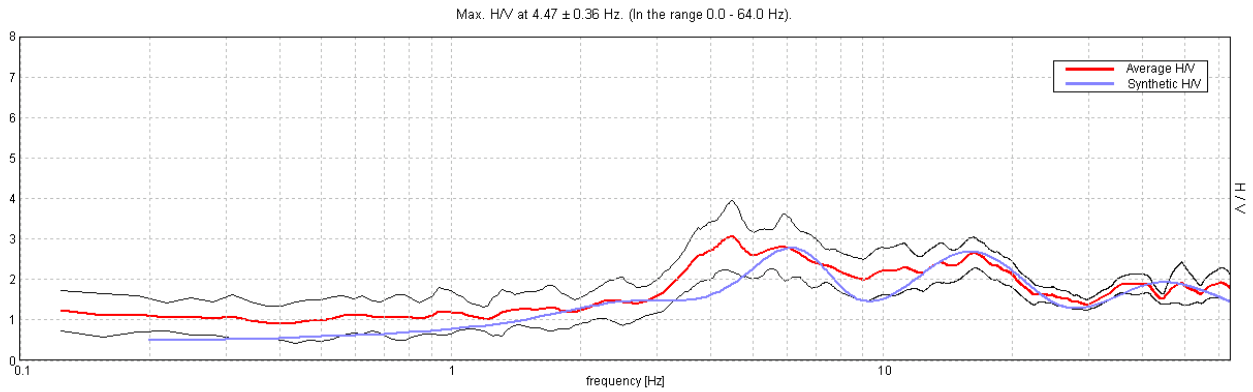
### DIREZIONALITA' H/V



SPETTRI DELLE SINGOLE COMPONENTI

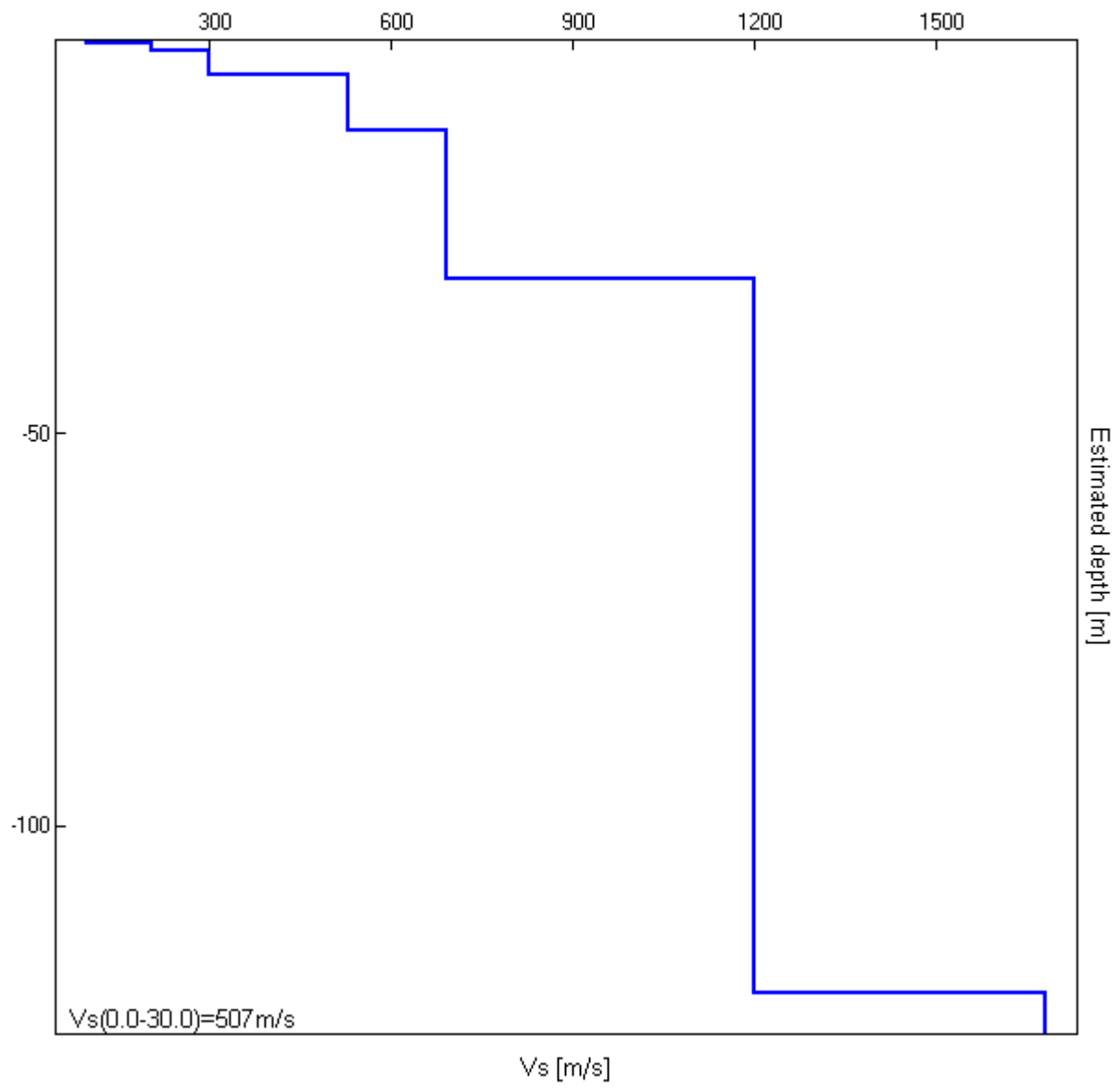


### H/V SPERIMENTALE vs. H/V SINTETICO



Profondità alla base dello strato [m]	Spessore [m]	Vs [m/s]	Rapporto di Poisson
0.40	0.40	97	0.35
1.40	1.00	205	0.35
4.40	3.00	300	0.35
11.40	7.00	530	0.35
30.40	19.00	690	0.35
121.40	91.00	1200	0.35
inf.	inf.	1680	0.35

Vs(0.0-30.0)=507m/s



[Secondo le linee guida SESAME, 2005]

**Picco H/V a  $4.47 \pm 0.36$  Hz (nell'intervallo 0.0 - 64.0 Hz).**

**Criteri per una curva H/V affidabile**  
[Tutti 3 dovrebbero risultare soddisfatti]

$f_0 > 10 / L_w$	$4.47 > 0.50$	<b>OK</b>	
$n_c(f_0) > 200$	$2770.6 > 200$	<b>OK</b>	
$\sigma_A(f) < 2$ per $0.5f_0 < f < 2f_0$ se $f_0 > 0.5\text{Hz}$ $\sigma_A(f) < 3$ per $0.5f_0 < f < 2f_0$ se $f_0 < 0.5\text{Hz}$	Superato 0 volte su 216	<b>OK</b>	

**Criteri per un picco H/V chiaro**  
[Almeno 5 su 6 dovrebbero essere soddisfatti]

Esiste $f^-$ in $[f_0/4, f_0] \mid A_{H/V}(f^-) < A_0 / 2$	2.906 Hz	<b>OK</b>	
Esiste $f^+$ in $[f_0, 4f_0] \mid A_{H/V}(f^+) < A_0 / 2$			<b>NO</b>
$A_0 > 2$	$3.07 > 2$	<b>OK</b>	
$f_{\text{picco}}[A_{H/V}(f) \pm \sigma_A(f)] = f_0 \pm 5\%$	$ 0.03883  < 0.05$	<b>OK</b>	
$\sigma_f < \varepsilon(f_0)$	$0.17353 < 0.22344$	<b>OK</b>	
$\sigma_A(f_0) < \theta(f_0)$	$0.4207 < 1.58$	<b>OK</b>	

$L_w$	lunghezza della finestra
$n_w$	numero di finestre usate nell'analisi
$n_c = L_w n_w f_0$	numero di cicli significativi
$f$	frequenza attuale
$f_0$	frequenza del picco H/V
$\sigma_f$	deviazione standard della frequenza del picco H/V
$\varepsilon(f_0)$	valore di soglia per la condizione di stabilità $\sigma_f < \varepsilon(f_0)$
$A_0$	ampiezza della curva H/V alla frequenza $f_0$
$A_{H/V}(f)$	ampiezza della curva H/V alla frequenza $f$
$f^-$	frequenza tra $f_0/4$ e $f_0$ alla quale $A_{H/V}(f^-) < A_0/2$
$f^+$	frequenza tra $f_0$ e $4f_0$ alla quale $A_{H/V}(f^+) < A_0/2$
$\sigma_A(f)$	deviazione standard di $A_{H/V}(f)$ , $\sigma_A(f)$ è il fattore per il quale la curva $A_{H/V}(f)$ media deve essere moltiplicata o divisa
$\sigma_{\log H/V}(f)$	deviazione standard della funzione $\log A_{H/V}(f)$
$\theta(f_0)$	valore di soglia per la condizione di stabilità $\sigma_A(f) < \theta(f_0)$

Valori di soglia per $\sigma_f$ e $\sigma_A(f_0)$					
Intervallo di freq. [Hz]	< 0.2	0.2 – 0.5	0.5 – 1.0	1.0 – 2.0	> 2.0
$\varepsilon(f_0)$ [Hz]	$0.25 f_0$	$0.2 f_0$	$0.15 f_0$	$0.10 f_0$	$0.05 f_0$
$\theta(f_0)$ per $\sigma_A(f_0)$	3.0	2.5	2.0	1.78	1.58
$\log \theta(f_0)$ per $\sigma_{\log H/V}(f_0)$	0.48	0.40	0.30	0.25	0.20

## FELI\_1158, FELINO T2

Strumento: TRZ-0091/01-10

Inizio registrazione: 27/01/12 11:32:40 Fine registrazione: 27/01/12 11:46:41

Nomi canali: NORTH SOUTH; EAST WEST ; UP DOWN

Dato GPS non disponibile

Durata registrazione: 0h14'00".

Analizzato 83% tracciato (selezione manuale)

Freq. campionamento: 128 Hz

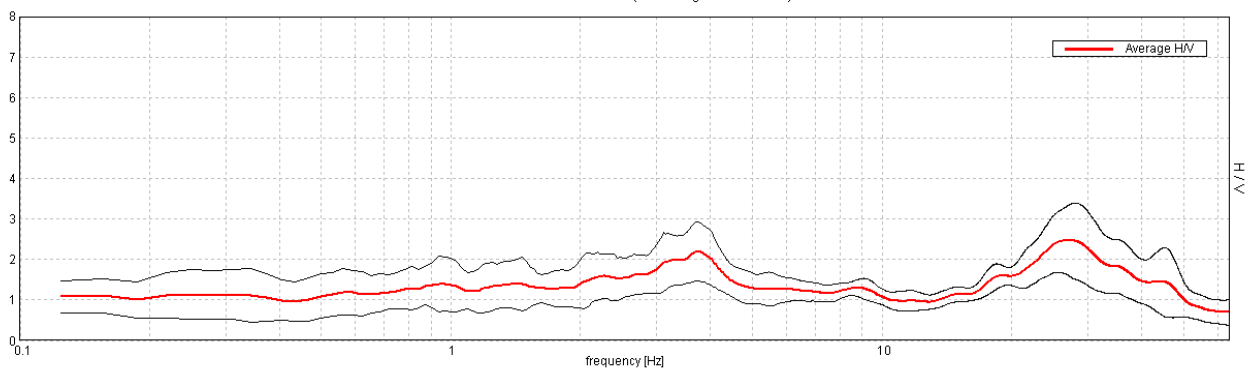
Lunghezza finestre: 20 s

Tipo di lisciamento: Triangular window

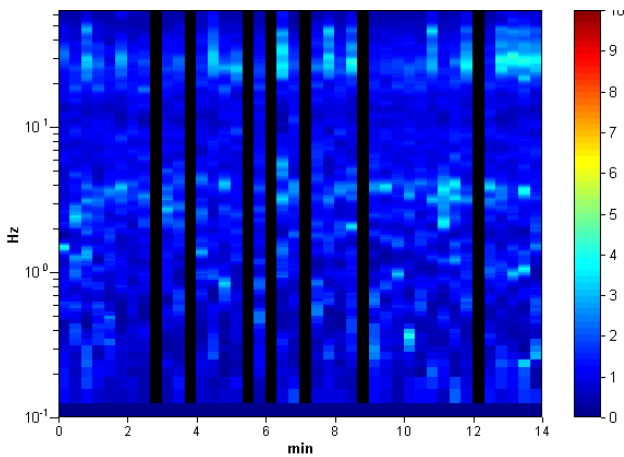
Lisciamento: 10%

### RAPPORTO SPETTRALE ORIZZONTALE SU VERTICALE

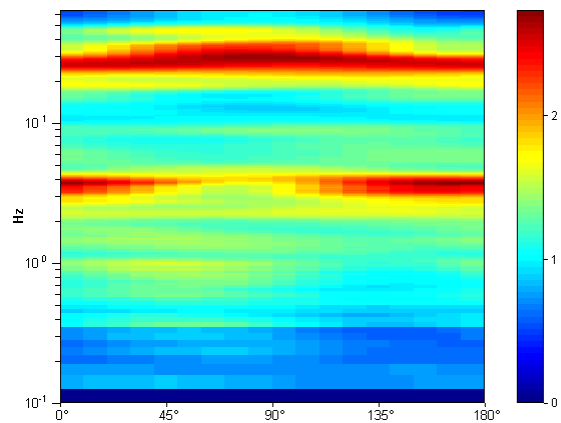
Max. H/V at 26.97 ± 2.59 Hz. (In the range 0.0 - 64.0 Hz).



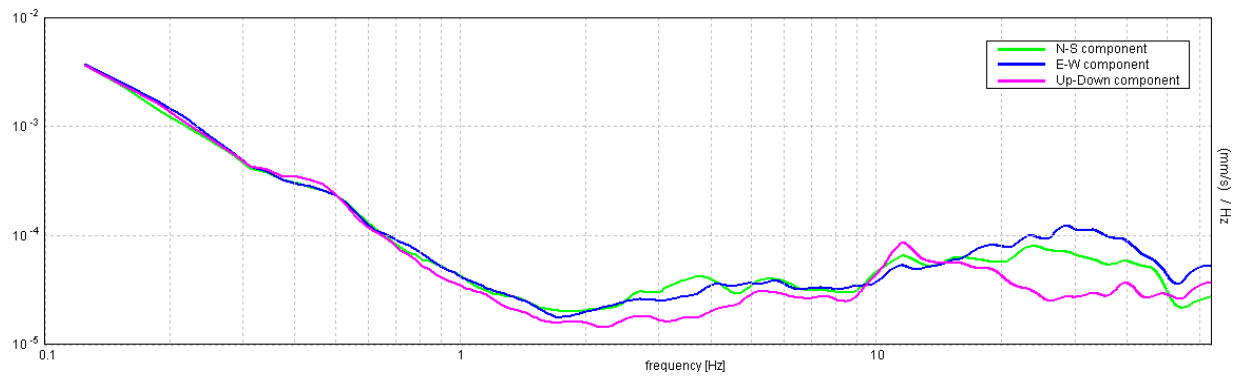
### SERIE TEMPORALE H/V



### DIREZIONALITA' H/V

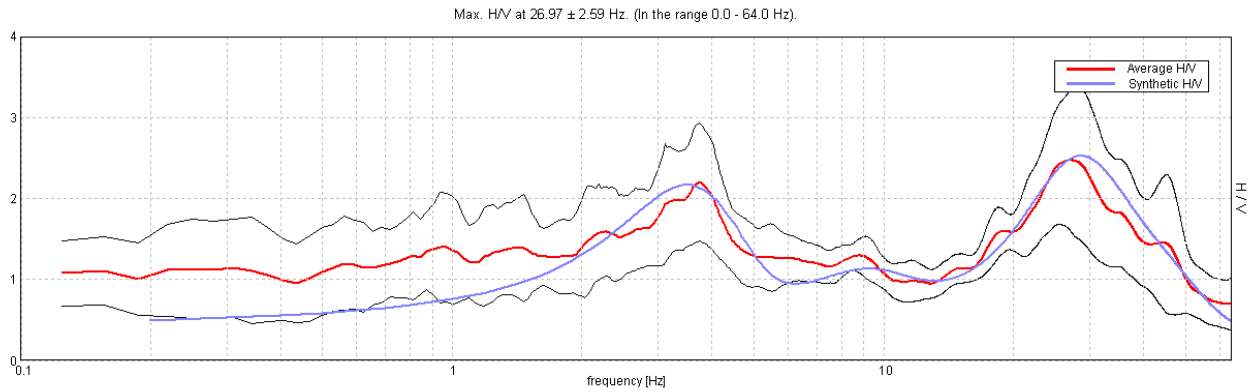


SPETTRI DELLE SINGOLE COMPONENTI



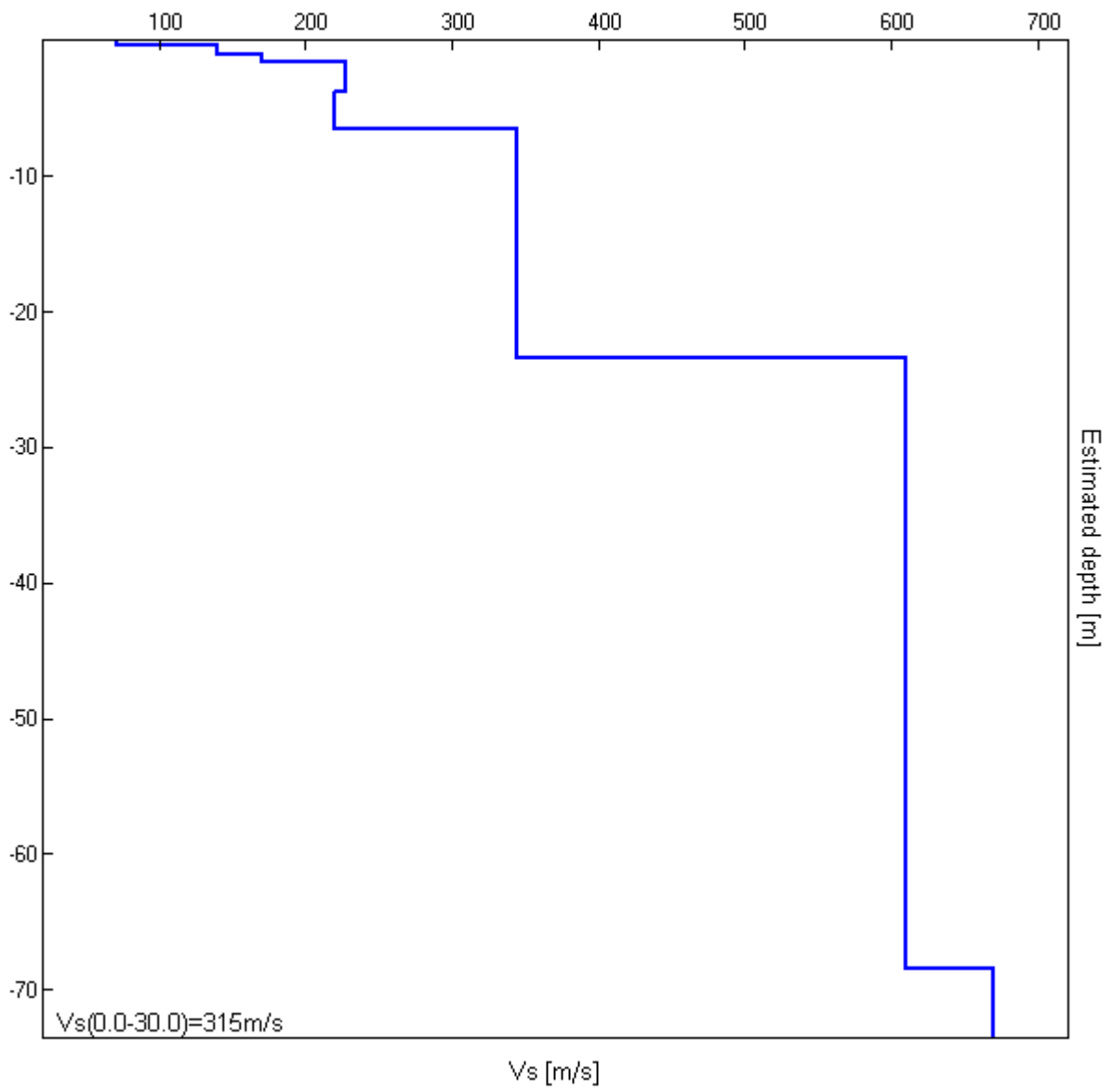


### H/V SPERIMENTALE vs. H/V SINTETICO



Profondità alla base dello strato [m]	Spessore [m]	Vs [m/s]	Rapporto di Poisson
0.40	0.40	71	0.35
1.00	0.60	140	0.35
1.60	0.60	170	0.35
3.80	2.20	228	0.35
6.50	2.70	220	0.35
23.50	17.00	345	0.35
68.50	45.00	610	0.35
inf.	inf.	670	0.35

Vs(0.0-30.0)=315m/s



[Secondo le linee guida SESAME, 2005]

**Picco H/V a 26.97 ± 2.59 Hz (nell'intervallo 0.0 - 64.0 Hz).**

**Criteri per una curva H/V affidabile**  
[Tutti 3 dovrebbero risultare soddisfatti]

$f_0 > 10 / L_w$	26.97 > 0.50	OK	
$n_c(f_0) > 200$	18878.1 > 200	OK	
$\sigma_A(f) < 2$ per $0.5f_0 < f < 2f_0$ se $f_0 > 0.5\text{Hz}$ $\sigma_A(f) < 3$ per $0.5f_0 < f < 2f_0$ se $f_0 < 0.5\text{Hz}$	Superato 0 volte su 1296	OK	

**Criteri per un picco H/V chiaro**  
[Almeno 5 su 6 dovrebbero essere soddisfatti]

Esiste $f^-$ in $[f_0/4, f_0] \mid A_{H/V}(f^-) < A_0 / 2$	16.75 Hz	OK	
Esiste $f^+$ in $[f_0, 4f_0] \mid A_{H/V}(f^+) < A_0 / 2$	48.031 Hz	OK	
$A_0 > 2$	2.47 > 2	OK	
$f_{\text{picco}}[A_{H/V}(f) \pm \sigma_A(f)] = f_0 \pm 5\%$	$ 0.04656  < 0.05$	OK	
$\sigma_f < \varepsilon(f_0)$	1.25556 < 1.34844	OK	
$\sigma_A(f_0) < \theta(f_0)$	0.4164 < 1.58	OK	

$L_w$	lunghezza della finestra
$n_w$	numero di finestre usate nell'analisi
$n_c = L_w n_w f_0$	numero di cicli significativi
$f$	frequenza attuale
$f_0$	frequenza del picco H/V
$\sigma_f$	deviazione standard della frequenza del picco H/V
$\varepsilon(f_0)$	valore di soglia per la condizione di stabilità $\sigma_f < \varepsilon(f_0)$
$A_0$	ampiezza della curva H/V alla frequenza $f_0$
$A_{H/V}(f)$	ampiezza della curva H/V alla frequenza $f$
$f^-$	frequenza tra $f_0/4$ e $f_0$ alla quale $A_{H/V}(f^-) < A_0/2$
$f^+$	frequenza tra $f_0$ e $4f_0$ alla quale $A_{H/V}(f^+) < A_0/2$
$\sigma_A(f)$	deviazione standard di $A_{H/V}(f)$ , $\sigma_A(f)$ è il fattore per il quale la curva $A_{H/V}(f)$ media deve essere moltiplicata o divisa
$\sigma_{\log H/V}(f)$	deviazione standard della funzione $\log A_{H/V}(f)$
$\theta(f_0)$	valore di soglia per la condizione di stabilità $\sigma_A(f) < \theta(f_0)$

Valori di soglia per $\sigma_f$ e $\sigma_A(f_0)$					
Intervallo di freq. [Hz]	< 0.2	0.2 – 0.5	0.5 – 1.0	1.0 – 2.0	> 2.0
$\varepsilon(f_0)$ [Hz]	0.25 $f_0$	0.2 $f_0$	0.15 $f_0$	0.10 $f_0$	0.05 $f_0$
$\theta(f_0)$ per $\sigma_A(f_0)$	3.0	2.5	2.0	1.78	1.58
$\log \theta(f_0)$ per $\sigma_{\log H/V}(f_0)$	0.48	0.40	0.30	0.25	0.20

**FELI\_1158, FELINO T3**

Strumento: TRZ-0091/01-10

Inizio registrazione: 27/01/12 11:54:54 Fine registrazione: 27/01/12 12:08:55

Nomi canali: NORTH SOUTH; EAST WEST ; UP DOWN

Dato GPS non disponibile

Durata registrazione: 0h14'00".

Analizzato 90% tracciato (selezione manuale)

Freq. campionamento: 128 Hz

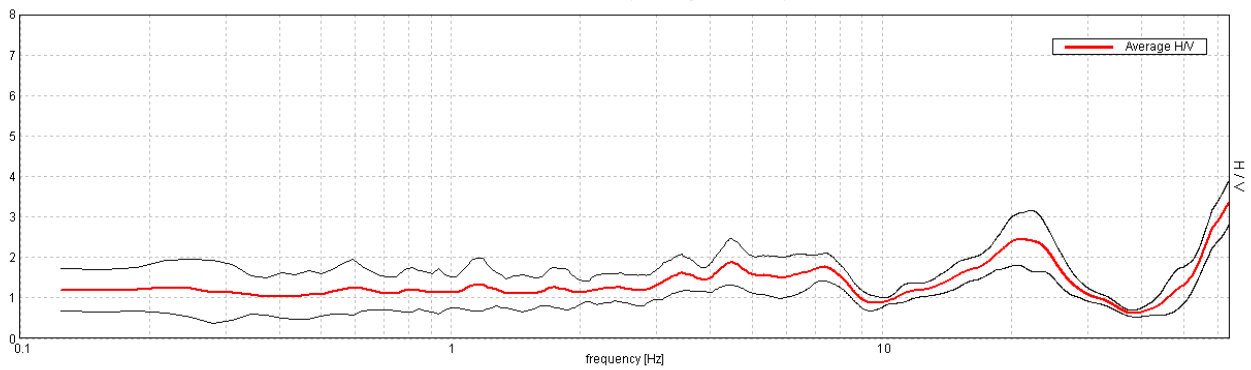
Lunghezza finestre: 20 s

Tipo di lisciamento: Triangular window

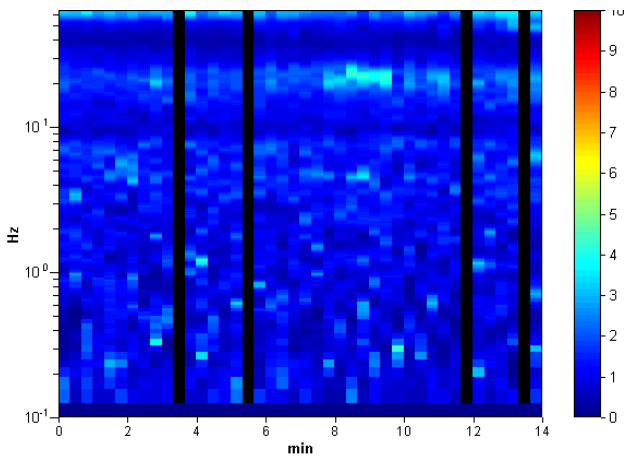
Lisciamento: 10%

**RAPPORTO SPETTRALE ORIZZONTALE SU VERTICALE**

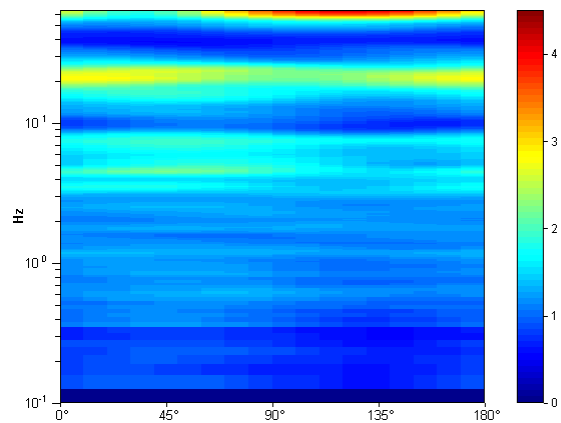
Max. H/V at 63.97 ± 0.0 Hz. (In the range 0.0 - 64.0 Hz).



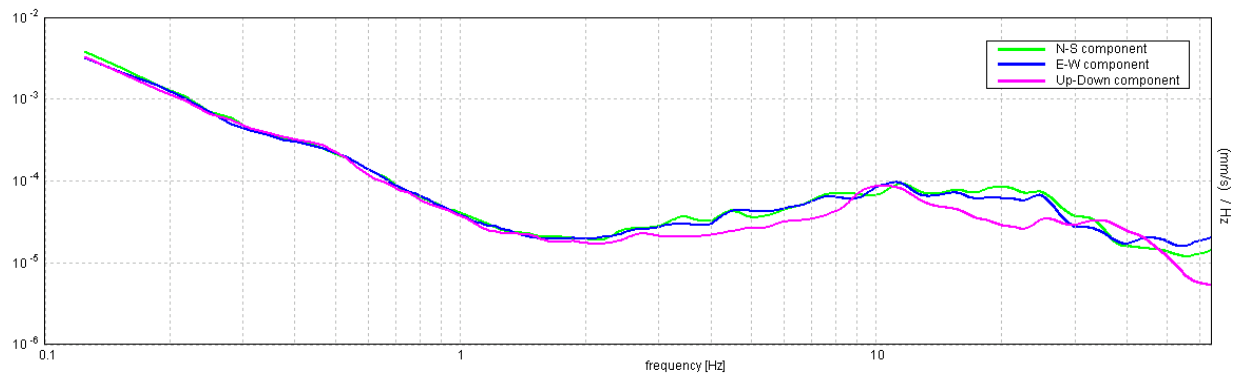
**SERIE TEMPORALE H/V**



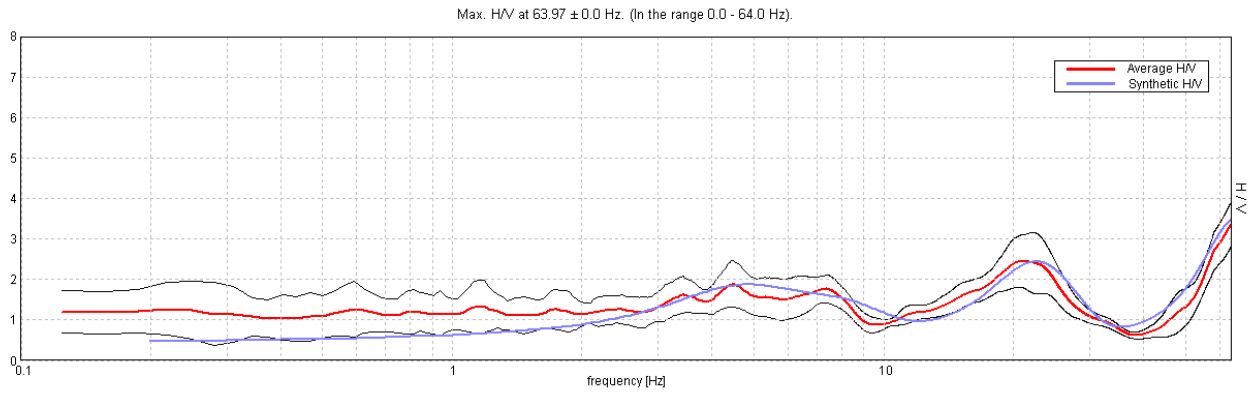
**DIREZIONALITA' H/V**



SPETTRI DELLE SINGOLE COMPONENTI

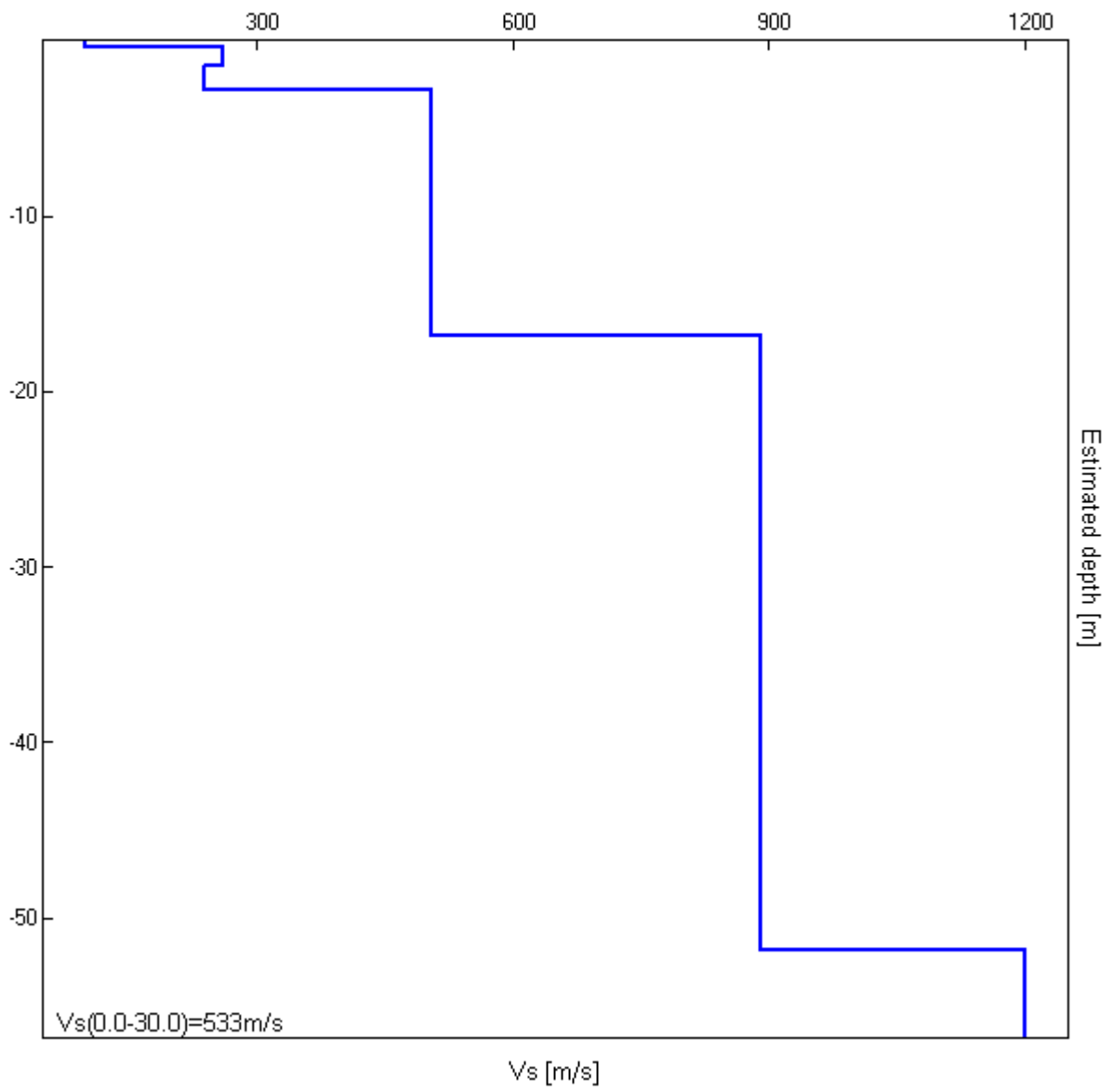


### H/V SPERIMENTALE vs. H/V SINTETICO



Profondità alla base dello strato [m]	Spessore [m]	Vs [m/s]	Rapporto di Poisson
0.40	0.40	100	0.35
1.40	1.00	260	0.35
2.80	1.40	240	0.35
16.80	14.00	505	0.35
51.80	35.00	890	0.35
inf.	inf.	1200	0.35

Vs(0.0-30.0)=533m/s



[Secondo le linee guida SESAME, 2005]

**Picco H/V a 63.97 ± 0.0 Hz (nell'intervallo 0.0 - 64.0 Hz).**

**Criteri per una curva H/V affidabile**  
[Tutti 3 dovrebbero risultare soddisfatti]

$f_0 > 10 / L_w$	63.97 > 0.50	OK	
$n_c(f_0) > 200$	48616.3 > 200	OK	
$\sigma_A(f) < 2$ per $0.5f_0 < f < 2f_0$ se $f_0 > 0.5\text{Hz}$ $\sigma_A(f) < 3$ per $0.5f_0 < f < 2f_0$ se $f_0 < 0.5\text{Hz}$	Superato 0 volte su 1026	OK	

**Criteri per un picco H/V chiaro**  
[Almeno 5 su 6 dovrebbero essere soddisfatti]

Esiste $f^-$ in $[f_0/4, f_0] \mid A_{H/V}(f^-) < A_0 / 2$	53.281 Hz	OK	
Esiste $f^+$ in $[f_0, 4f_0] \mid A_{H/V}(f^+) < A_0 / 2$			NO
$A_0 > 2$	3.37 > 2	OK	
$f_{\text{picco}}[A_{H/V}(f) \pm \sigma_A(f)] = f_0 \pm 5\%$	$ 0.0  < 0.05$	OK	
$\sigma_f < \varepsilon(f_0)$	0.0 < 3.19844	OK	
$\sigma_A(f_0) < \theta(f_0)$	0.2608 < 1.58	OK	

$L_w$	lunghezza della finestra
$n_w$	numero di finestre usate nell'analisi
$n_c = L_w n_w f_0$	numero di cicli significativi
$f$	frequenza attuale
$f_0$	frequenza del picco H/V
$\sigma_f$	deviazione standard della frequenza del picco H/V
$\varepsilon(f_0)$	valore di soglia per la condizione di stabilità $\sigma_f < \varepsilon(f_0)$
$A_0$	ampiezza della curva H/V alla frequenza $f_0$
$A_{H/V}(f)$	ampiezza della curva H/V alla frequenza $f$
$f^-$	frequenza tra $f_0/4$ e $f_0$ alla quale $A_{H/V}(f^-) < A_0/2$
$f^+$	frequenza tra $f_0$ e $4f_0$ alla quale $A_{H/V}(f^+) < A_0/2$
$\sigma_A(f)$	deviazione standard di $A_{H/V}(f)$ , $\sigma_A(f)$ è il fattore per il quale la curva $A_{H/V}(f)$ media deve essere moltiplicata o divisa
$\sigma_{\log H/V}(f)$	deviazione standard della funzione $\log A_{H/V}(f)$
$\theta(f_0)$	valore di soglia per la condizione di stabilità $\sigma_A(f) < \theta(f_0)$

Valori di soglia per $\sigma_f$ e $\sigma_A(f_0)$					
Intervallo di freq. [Hz]	< 0.2	0.2 – 0.5	0.5 – 1.0	1.0 – 2.0	> 2.0
$\varepsilon(f_0)$ [Hz]	0.25 $f_0$	0.2 $f_0$	0.15 $f_0$	0.10 $f_0$	0.05 $f_0$
$\theta(f_0)$ per $\sigma_A(f_0)$	3.0	2.5	2.0	1.78	1.58
$\log \theta(f_0)$ per $\sigma_{\log H/V}(f_0)$	0.48	0.40	0.30	0.25	0.20



## FELI\_1158, FELINO T4

Strumento: TRZ-0091/01-10

Inizio registrazione: 27/01/12 12:15:40 Fine registrazione: 27/01/12 12:29:41

Nomi canali: NORTH SOUTH; EAST WEST ; UP DOWN

Dato GPS non disponibile

Durata registrazione: 0h14'00".

Analizzato 83% tracciato (selezione manuale)

Freq. campionamento: 128 Hz

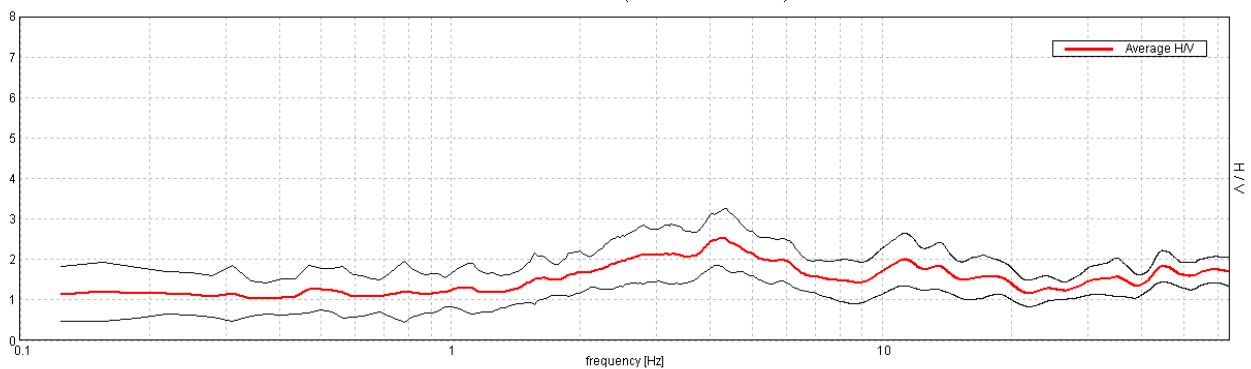
Lunghezza finestre: 20 s

Tipo di lisciamento: Triangular window

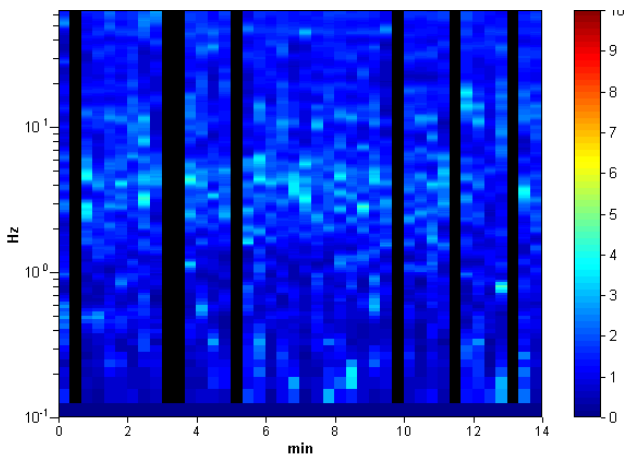
Lisciamento: 10%

### RAPPORTO SPETTRALE ORIZZONTALE SU VERTICALE

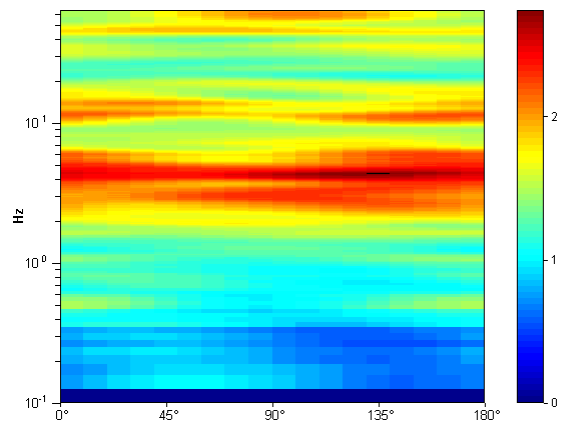
Picco H/V a  $4.28 \pm 0.37$  Hz (nell'intervallo 0.0 - 64.0 Hz).



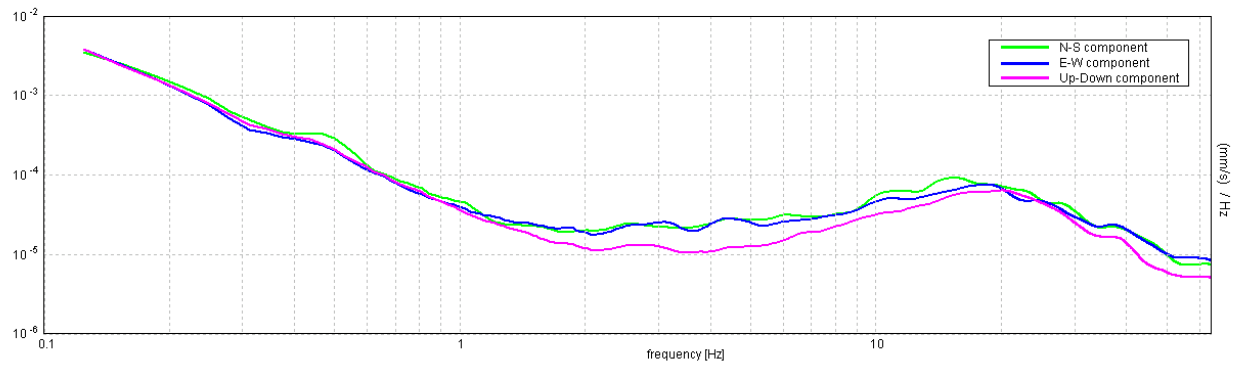
### SERIE TEMPORALE H/V



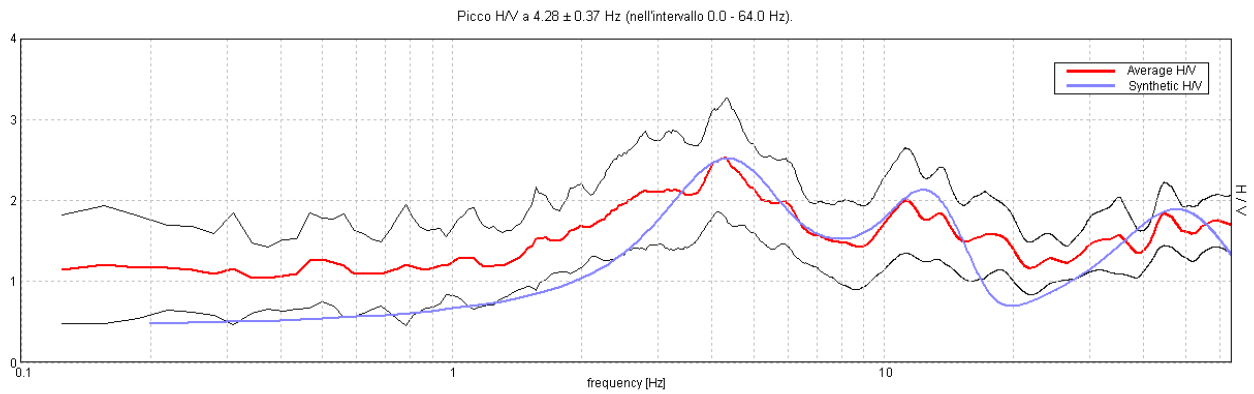
### DIREZIONALITA' H/V



SPETTRI DELLE SINGOLE COMPONENTI

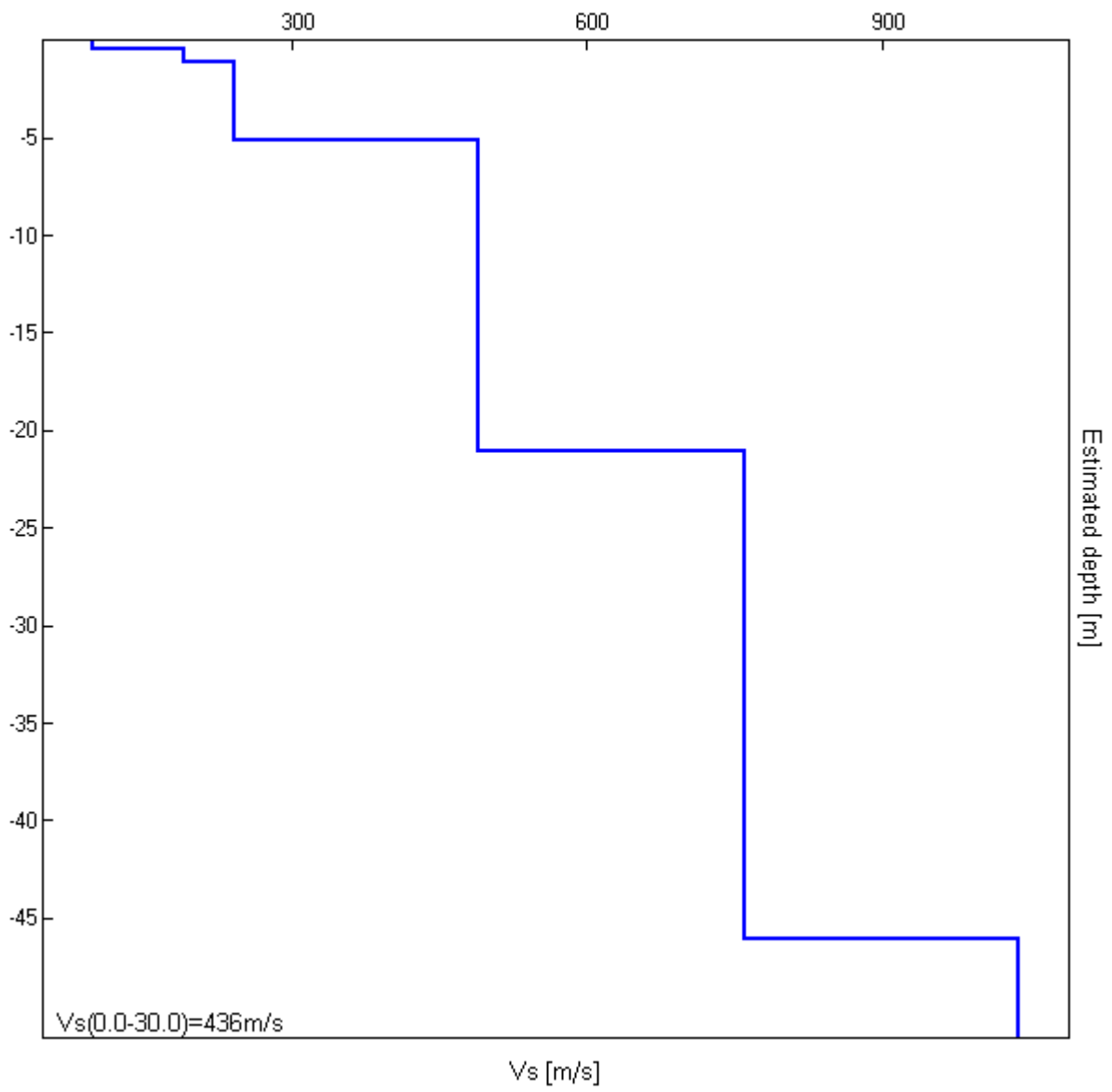


### H/V SPERIMENTALE vs. H/V SINTETICO



Profondità alla base dello strato [m]	Spessore [m]	Vs [m/s]	Rapporto di Poisson
0.40	0.40	96	0.35
1.10	0.70	190	0.35
5.10	4.00	240	0.35
21.10	16.00	490	0.35
46.10	25.00	760	0.35
inf.	inf.	1040	0.35

Vs(0.0-30.0)=436m/s



[Secondo le linee guida SESAME, 2005]

**Picco H/V a  $4.28 \pm 0.37$  Hz (nell'intervallo 0.0 - 64.0 Hz).**

**Criteri per una curva H/V affidabile**  
[Tutti 3 dovrebbero risultare soddisfatti]

$f_0 > 10 / L_w$	$4.28 > 0.50$	<b>OK</b>	
$n_c(f_0) > 200$	$2996.9 > 200$	<b>OK</b>	
$\sigma_A(f) < 2$ per $0.5f_0 < f < 2f_0$ se $f_0 > 0.5\text{Hz}$ $\sigma_A(f) < 3$ per $0.5f_0 < f < 2f_0$ se $f_0 < 0.5\text{Hz}$	Superato 0 volte su 206	<b>OK</b>	

**Criteri per un picco H/V chiaro**  
[Almeno 5 su 6 dovrebbero essere soddisfatti]

Esiste $f^-$ in $[f_0/4, f_0] \mid A_{H/V}(f^-) < A_0 / 2$	1.375 Hz	<b>OK</b>	
Esiste $f^+$ in $[f_0, 4f_0] \mid A_{H/V}(f^+) < A_0 / 2$			<b>NO</b>
$A_0 > 2$	$2.52 > 2$	<b>OK</b>	
$f_{\text{picco}}[A_{H/V}(f) \pm \sigma_A(f)] = f_0 \pm 5\%$	$ 0.042  < 0.05$	<b>OK</b>	
$\sigma_f < \varepsilon(f_0)$	$0.17981 < 0.21406$	<b>OK</b>	
$\sigma_A(f_0) < \theta(f_0)$	$0.349 < 1.58$	<b>OK</b>	

$L_w$	lunghezza della finestra
$n_w$	numero di finestre usate nell'analisi
$n_c = L_w n_w f_0$	numero di cicli significativi
$f$	frequenza attuale
$f_0$	frequenza del picco H/V
$\sigma_f$	deviazione standard della frequenza del picco H/V
$\varepsilon(f_0)$	valore di soglia per la condizione di stabilità $\sigma_f < \varepsilon(f_0)$
$A_0$	ampiezza della curva H/V alla frequenza $f_0$
$A_{H/V}(f)$	ampiezza della curva H/V alla frequenza $f$
$f^-$	frequenza tra $f_0/4$ e $f_0$ alla quale $A_{H/V}(f^-) < A_0/2$
$f^+$	frequenza tra $f_0$ e $4f_0$ alla quale $A_{H/V}(f^+) < A_0/2$
$\sigma_A(f)$	deviazione standard di $A_{H/V}(f)$ , $\sigma_A(f)$ è il fattore per il quale la curva $A_{H/V}(f)$ media deve essere moltiplicata o divisa
$\sigma_{\log H/V}(f)$	deviazione standard della funzione $\log A_{H/V}(f)$
$\theta(f_0)$	valore di soglia per la condizione di stabilità $\sigma_A(f) < \theta(f_0)$

Valori di soglia per $\sigma_f$ e $\sigma_A(f_0)$					
Intervallo di freq. [Hz]	< 0.2	0.2 – 0.5	0.5 – 1.0	1.0 – 2.0	> 2.0
$\varepsilon(f_0)$ [Hz]	$0.25 f_0$	$0.2 f_0$	$0.15 f_0$	$0.10 f_0$	$0.05 f_0$
$\theta(f_0)$ per $\sigma_A(f_0)$	3.0	2.5	2.0	1.78	1.58
$\log \theta(f_0)$ per $\sigma_{\log H/V}(f_0)$	0.48	0.40	0.30	0.25	0.20

**FELI\_1158, FELINO T5**

Strumento: TRZ-0091/01-10

Inizio registrazione: 27/01/12 12:49:16 Fine registrazione: 27/01/12 13:03:17

Nomi canali: NORTH SOUTH; EAST WEST ; UP DOWN

Dato GPS non disponibile

Durata registrazione: 0h14'00".

Analizzato 76% tracciato (selezione manuale)

Freq. campionamento: 128 Hz

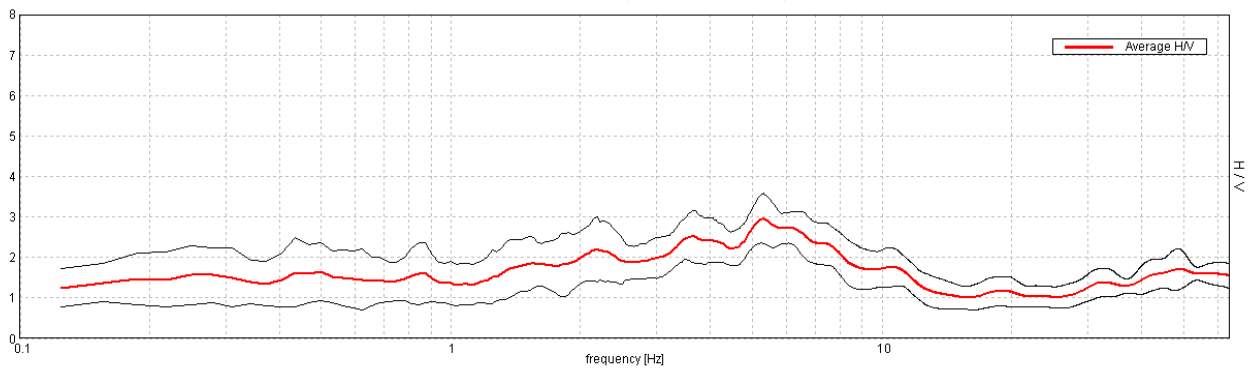
Lunghezza finestre: 20 s

Tipo di lisciamento: Triangular window

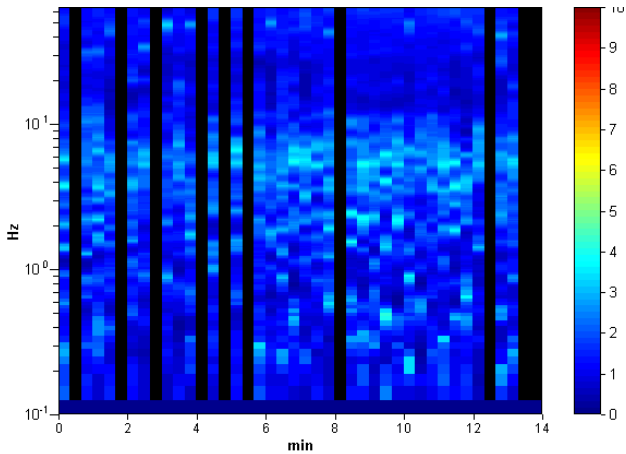
Lisciamento: 10%

**RAPPORTO SPETTRALE ORIZZONTALE SU VERTICALE**

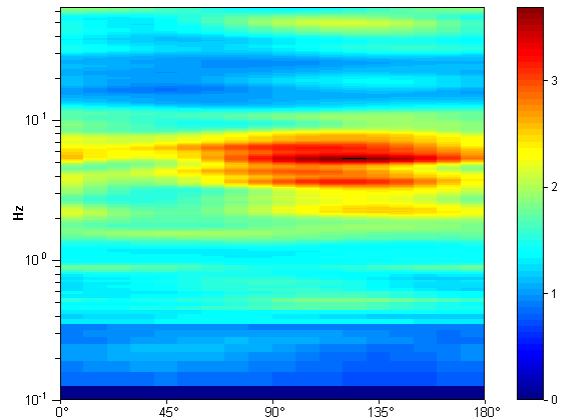
Picco H/V a 5.31 ± 0.26 Hz (nell'intervallo 0.0 - 64.0 Hz).



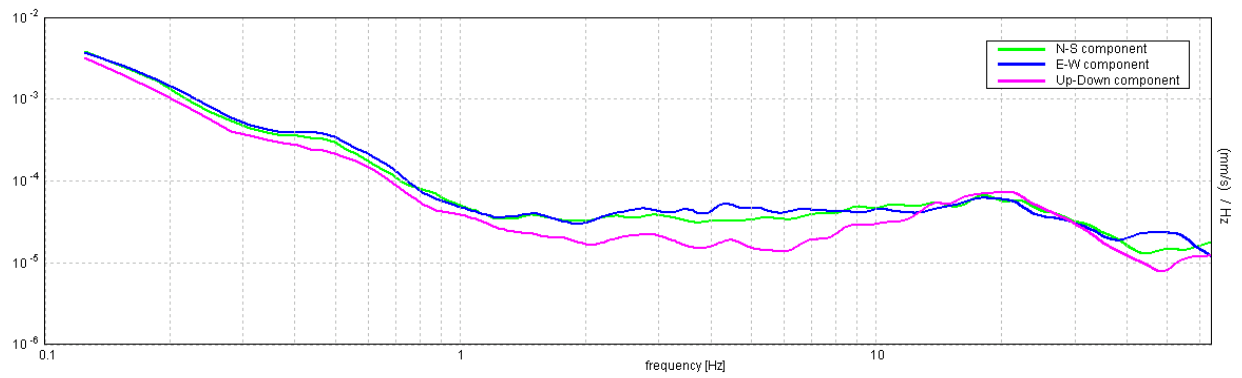
**SERIE TEMPORALE H/V**



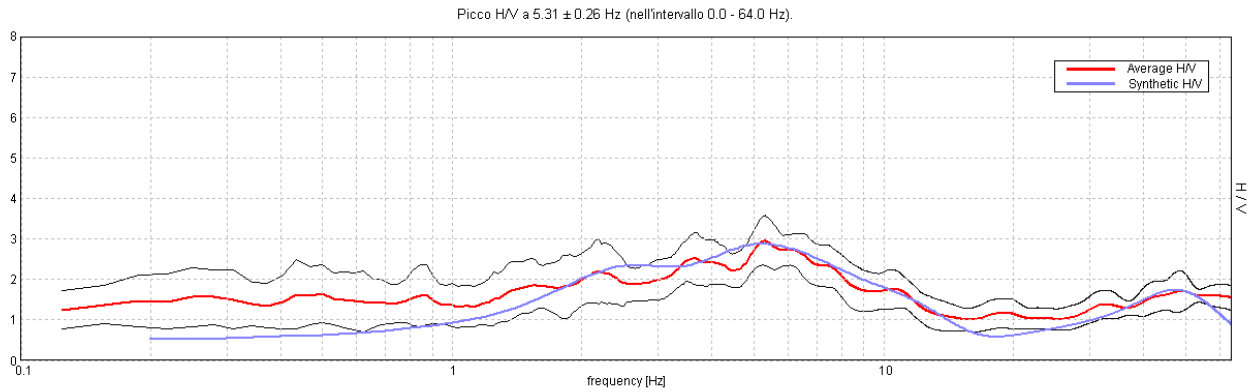
**DIREZIONALITA' H/V**



SPETTRI DELLE SINGOLE COMPONENTI



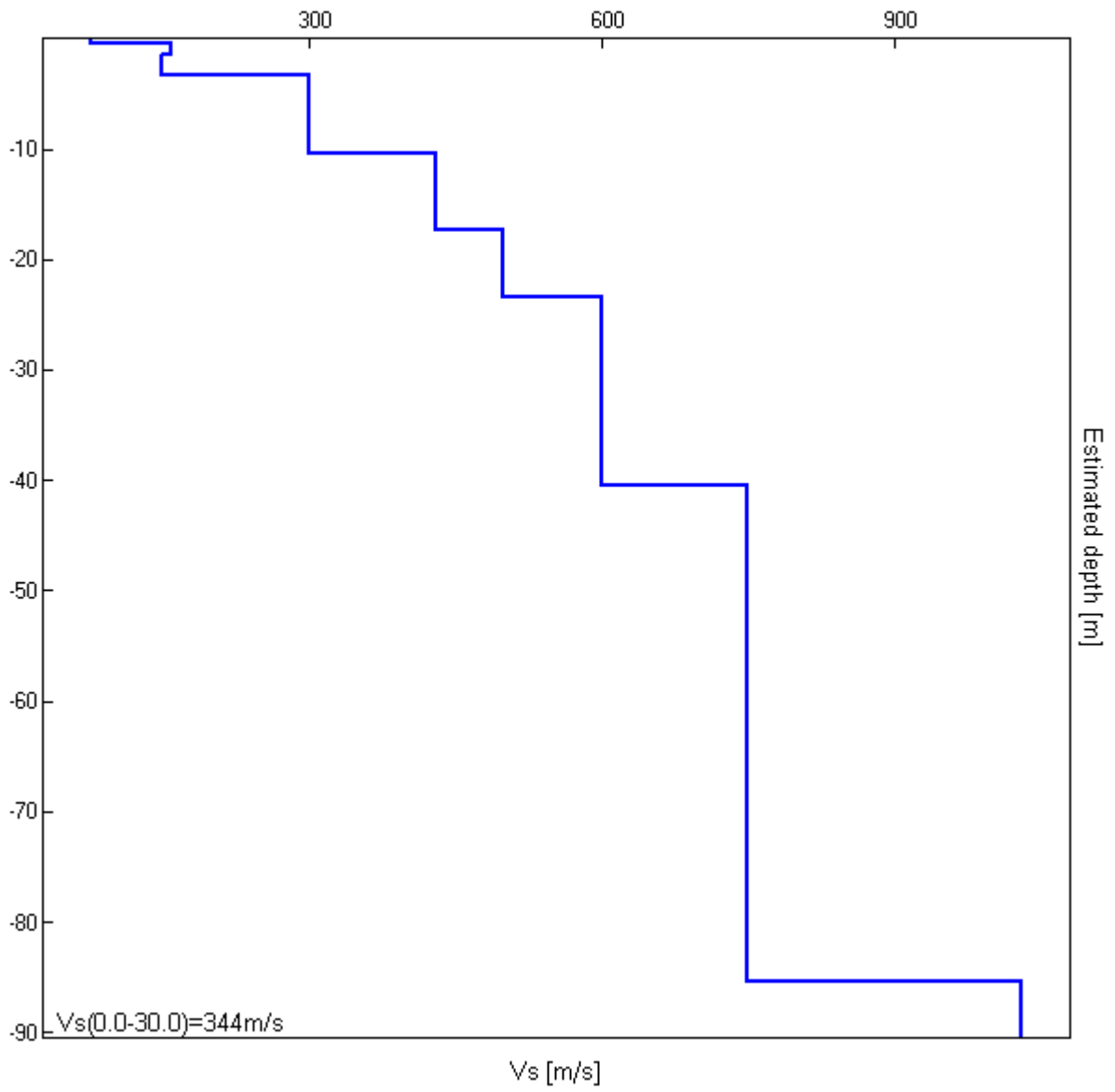
### H/V SPERIMENTALE vs. H/V SINTETICO



Profondità alla base dello strato [m]	Spessore [m]	Vs [m/s]	Rapporto di Poisson
0.40	0.40	78	0.35
1.40	1.00	160	0.35
3.40	2.00	150	0.35
10.40	7.00	300	0.35
17.40	7.00	430	0.35
23.40	6.00	500	0.35
40.40	17.00	600	0.35
85.40	45.00	750	0.35
inf.	inf.	1030	0.35

Vs(0.0-30.0)=344m/s





[Secondo le linee guida SESAME, 2005]

**Picco H/V a 5.31 ± 0.26 Hz (nell'intervallo 0.0 - 64.0 Hz).**

**Criteri per una curva H/V affidabile**  
[Tutti 3 dovrebbero risultare soddisfatti]

$f_0 > 10 / L_w$	5.31 > 0.50	OK	
$n_c(f_0) > 200$	3400.0 > 200	OK	
$\sigma_A(f) < 2$ per $0.5f_0 < f < 2f_0$ se $f_0 > 0.5\text{Hz}$ $\sigma_A(f) < 3$ per $0.5f_0 < f < 2f_0$ se $f_0 < 0.5\text{Hz}$	Superato 0 volte su 256	OK	

**Criteri per un picco H/V chiaro**  
[Almeno 5 su 6 dovrebbero essere soddisfatti]

<b>Esiste <math>f^-</math> in <math>[f_0/4, f_0]</math>   <math>A_{H/V}(f^-) &lt; A_0 / 2</math></b>			<b>NO</b>
<b>Esiste <math>f^+</math> in <math>[f_0, 4f_0]</math>   <math>A_{H/V}(f^+) &lt; A_0 / 2</math></b>	11.75 Hz	OK	
$A_0 > 2$	2.96 > 2	OK	
$f_{\text{picco}}[A_{H/V}(f) \pm \sigma_A(f)] = f_0 \pm 5\%$	$ 0.02326  < 0.05$	OK	
$\sigma_f < \varepsilon(f_0)$	0.12356 < 0.26563	OK	
$\sigma_A(f_0) < \theta(f_0)$	0.3009 < 1.58	OK	

$L_w$	lunghezza della finestra
$n_w$	numero di finestre usate nell'analisi
$n_c = L_w n_w f_0$	numero di cicli significativi
$f$	frequenza attuale
$f_0$	frequenza del picco H/V
$\sigma_f$	deviazione standard della frequenza del picco H/V
$\varepsilon(f_0)$	valore di soglia per la condizione di stabilità $\sigma_f < \varepsilon(f_0)$
$A_0$	ampiezza della curva H/V alla frequenza $f_0$
$A_{H/V}(f)$	ampiezza della curva H/V alla frequenza $f$
$f^-$	frequenza tra $f_0/4$ e $f_0$ alla quale $A_{H/V}(f^-) < A_0/2$
$f^+$	frequenza tra $f_0$ e $4f_0$ alla quale $A_{H/V}(f^+) < A_0/2$
$\sigma_A(f)$	deviazione standard di $A_{H/V}(f)$ , $\sigma_A(f)$ è il fattore per il quale la curva $A_{H/V}(f)$ media deve essere moltiplicata o divisa
$\sigma_{\log H/V}(f)$	deviazione standard della funzione $\log A_{H/V}(f)$
$\theta(f_0)$	valore di soglia per la condizione di stabilità $\sigma_A(f) < \theta(f_0)$

Valori di soglia per $\sigma_f$ e $\sigma_A(f_0)$					
Intervallo di freq. [Hz]	< 0.2	0.2 – 0.5	0.5 – 1.0	1.0 – 2.0	> 2.0
$\varepsilon(f_0)$ [Hz]	0.25 $f_0$	0.2 $f_0$	0.15 $f_0$	0.10 $f_0$	0.05 $f_0$
$\theta(f_0)$ per $\sigma_A(f_0)$	3.0	2.5	2.0	1.78	1.58
$\log \theta(f_0)$ per $\sigma_{\log H/V}(f_0)$	0.48	0.40	0.30	0.25	0.20

**FELI\_1158, FELINO T6**

Strumento: TRZ-0091/01-10

Inizio registrazione: 27/01/12 13:19:50 Fine registrazione: 27/01/12 13:33:51

Nomi canali: NORTH SOUTH; EAST WEST ; UP DOWN

Dato GPS non disponibile

Durata registrazione: 0h14'00".

Analizzato 69% tracciato (selezione manuale)

Freq. campionamento: 128 Hz

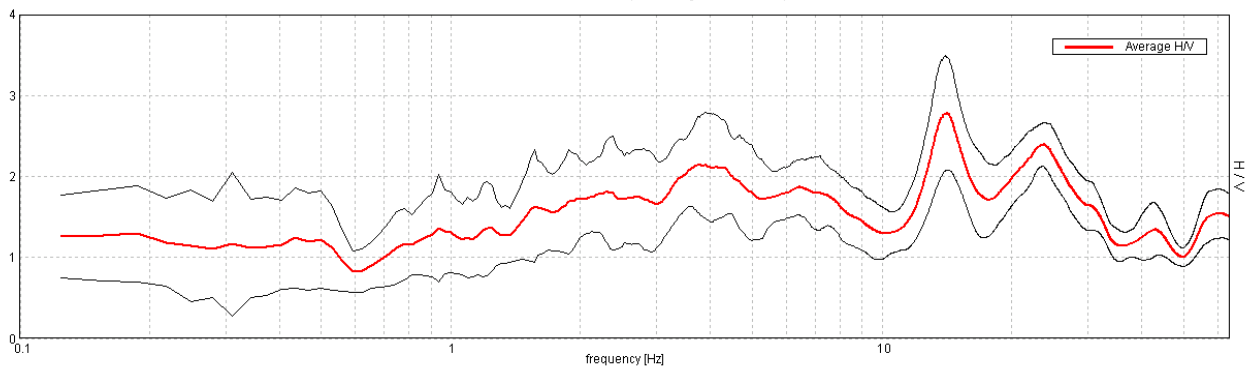
Lunghezza finestre: 20 s

Tipo di lisciamento: Triangular window

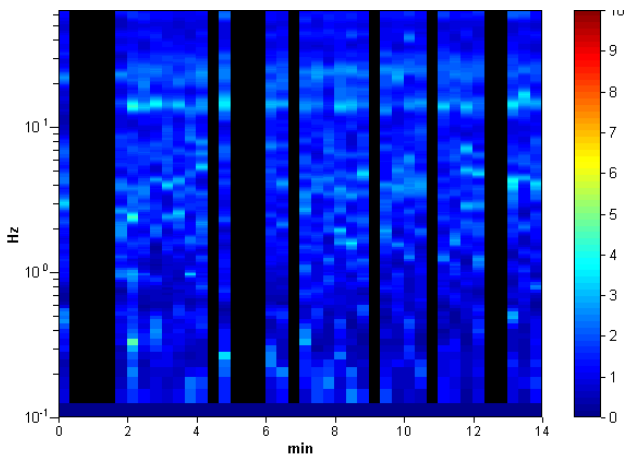
Lisciamento: 10%

**RAPPORTO SPETTRALE ORIZZONTALE SU VERTICALE**

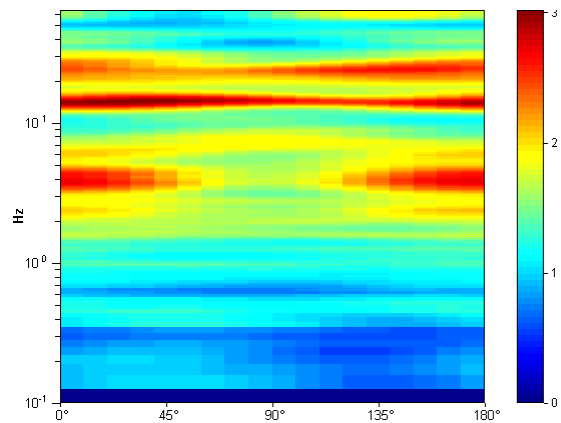
Max. H/V at 14.06 ± 1.3 Hz. (In the range 0.0 - 64.0 Hz).



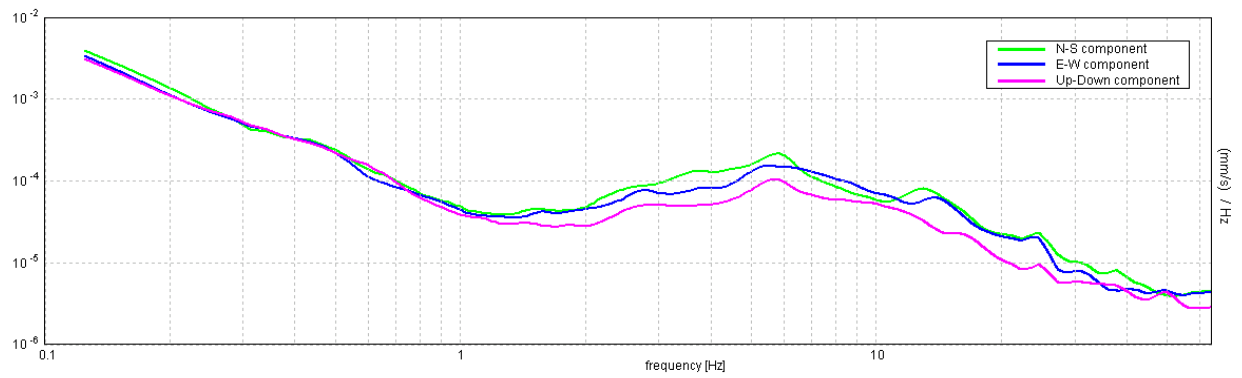
**SERIE TEMPORALE H/V**



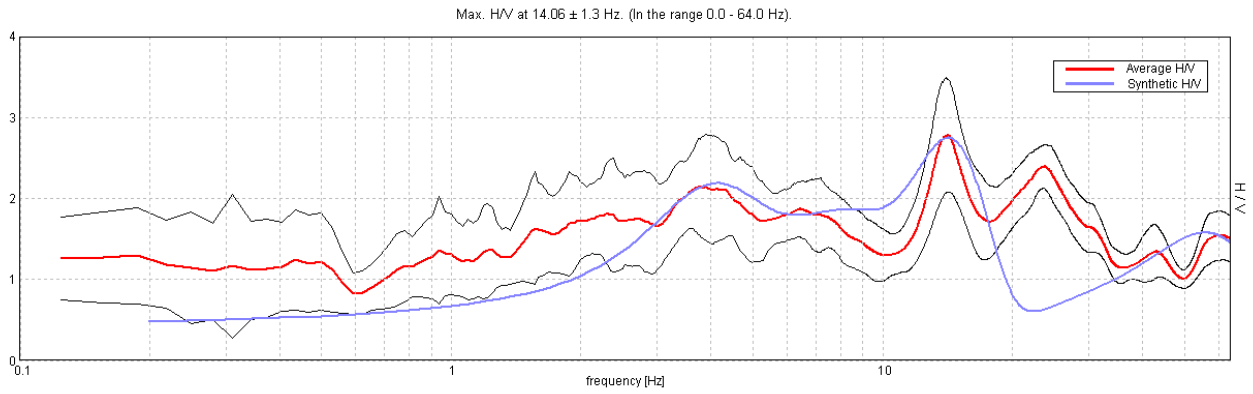
**DIREZIONALITA' H/V**



SPETTRI DELLE SINGOLE COMPONENTI

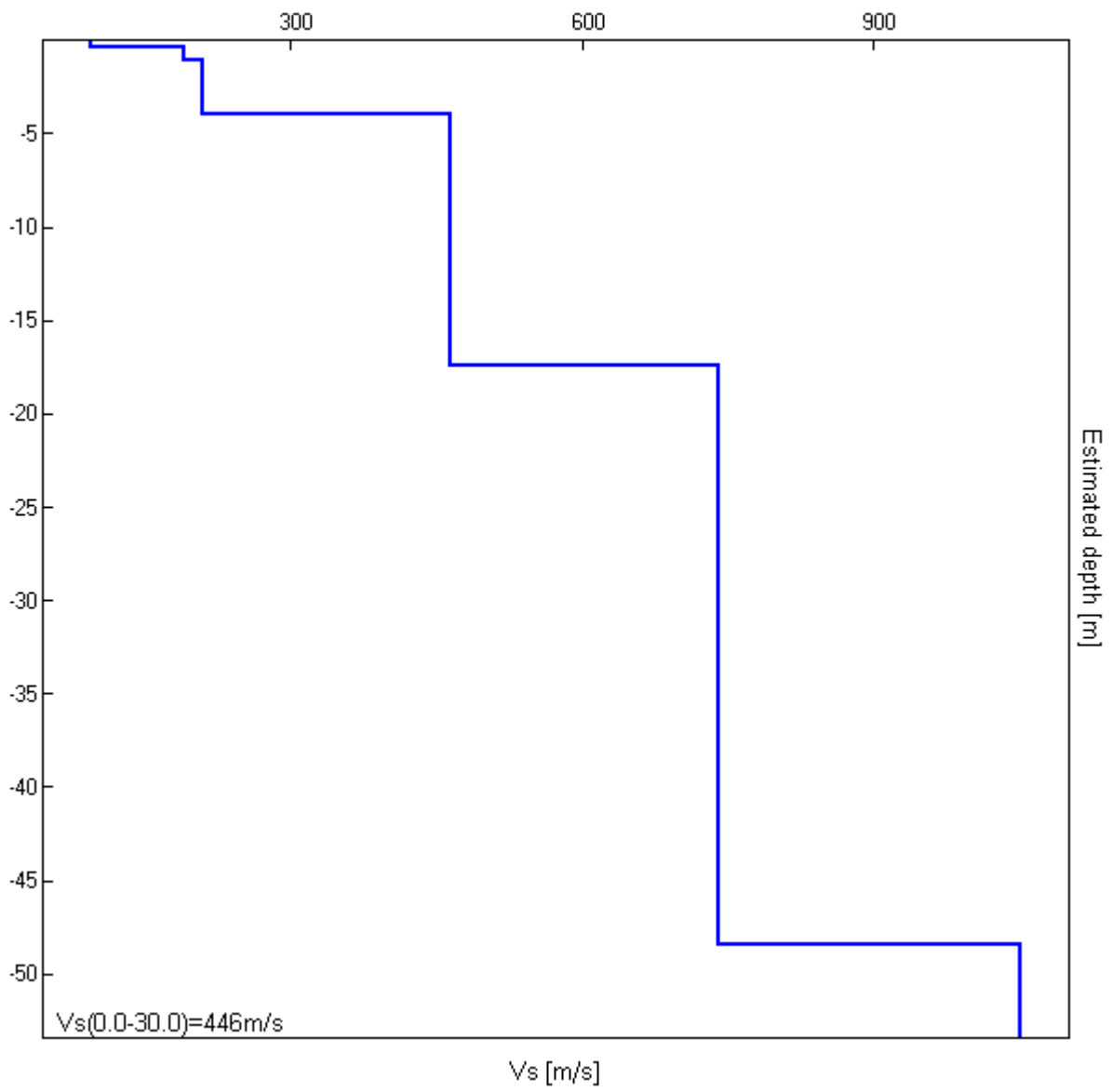


### H/V SPERIMENTALE vs. H/V SINTETICO



Profondità alla base dello strato [m]	Spessore [m]	Vs [m/s]	Rapporto di Poisson
0.38	0.38	96	0.35
1.08	0.70	190	0.35
3.98	2.90	210	0.35
17.38	13.40	465	0.35
48.38	31.00	740	0.35
inf.	inf.	1050	0.35

Vs(0.0-30.0)=446m/s



[Secondo le linee guida SESAME, 2005]

**Picco H/V a 14.06 ± 1.3 Hz (nell'intervallo 0.0 - 64.0 Hz).**

**Criteri per una curva H/V affidabile**  
[Tutti 3 dovrebbero risultare soddisfatti]

$f_0 > 10 / L_w$	14.06 > 0.50	OK	
$n_c(f_0) > 200$	8156.3 > 200	OK	
$\sigma_A(f) < 2$ per $0.5f_0 < f < 2f_0$ se $f_0 > 0.5\text{Hz}$ $\sigma_A(f) < 3$ per $0.5f_0 < f < 2f_0$ se $f_0 < 0.5\text{Hz}$	Superato 0 volte su 676	OK	

**Criteri per un picco H/V chiaro**  
[Almeno 5 su 6 dovrebbero essere soddisfatti]

Esiste $f^-$ in $[f_0/4, f_0]$   $A_{H/V}(f^-) < A_0 / 2$	11.25 Hz	OK	
Esiste $f^+$ in $[f_0, 4f_0]$   $A_{H/V}(f^+) < A_0 / 2$	32.875 Hz	OK	
$A_0 > 2$	2.78 > 2	OK	
$f_{\text{picco}}[A_{H/V}(f) \pm \sigma_A(f)] = f_0 \pm 5\%$	$ 0.04428  < 0.05$	OK	
$\sigma_f < \varepsilon(f_0)$	0.62262 < 0.70313	OK	
$\sigma_A(f_0) < \theta(f_0)$	0.3392 < 1.58	OK	

$L_w$	lunghezza della finestra
$n_w$	numero di finestre usate nell'analisi
$n_c = L_w n_w f_0$	numero di cicli significativi
$f$	frequenza attuale
$f_0$	frequenza del picco H/V
$\sigma_f$	deviazione standard della frequenza del picco H/V
$\varepsilon(f_0)$	valore di soglia per la condizione di stabilità $\sigma_f < \varepsilon(f_0)$
$A_0$	ampiezza della curva H/V alla frequenza $f_0$
$A_{H/V}(f)$	ampiezza della curva H/V alla frequenza $f$
$f^-$	frequenza tra $f_0/4$ e $f_0$ alla quale $A_{H/V}(f^-) < A_0/2$
$f^+$	frequenza tra $f_0$ e $4f_0$ alla quale $A_{H/V}(f^+) < A_0/2$
$\sigma_A(f)$	deviazione standard di $A_{H/V}(f)$ , $\sigma_A(f)$ è il fattore per il quale la curva $A_{H/V}(f)$ media deve essere moltiplicata o divisa
$\sigma_{\log H/V}(f)$	deviazione standard della funzione $\log A_{H/V}(f)$
$\theta(f_0)$	valore di soglia per la condizione di stabilità $\sigma_A(f) < \theta(f_0)$

Valori di soglia per $\sigma_f$ e $\sigma_A(f_0)$					
Intervallo di freq. [Hz]	< 0.2	0.2 – 0.5	0.5 – 1.0	1.0 – 2.0	> 2.0
$\varepsilon(f_0)$ [Hz]	0.25 $f_0$	0.2 $f_0$	0.15 $f_0$	0.10 $f_0$	0.05 $f_0$
$\theta(f_0)$ per $\sigma_A(f_0)$	3.0	2.5	2.0	1.78	1.58
$\log \theta(f_0)$ per $\sigma_{\log H/V}(f_0)$	0.48	0.40	0.30	0.25	0.20

**FELI\_1158, FELINO T7**

Strumento: TRZ-0091/01-10

Inizio registrazione: 27/01/12 13:42:32 Fine registrazione: 27/01/12 13:56:33

Nomi canali: NORTH SOUTH; EAST WEST ; UP DOWN

Dato GPS non disponibile

Durata registrazione: 0h14'00".

Analizzato 79% tracciato (selezione manuale)

Freq. campionamento: 128 Hz

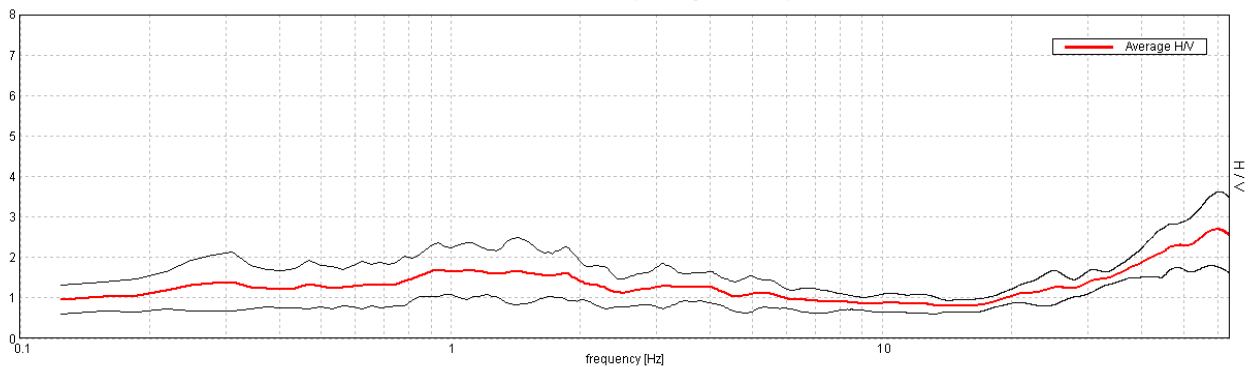
Lunghezza finestre: 20 s

Tipo di lisciamento: Triangular window

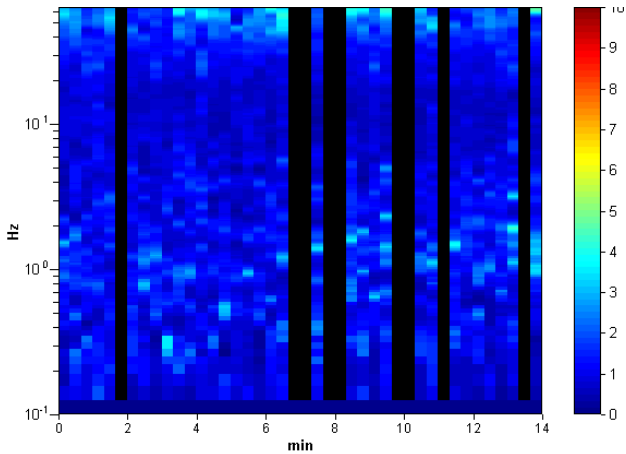
Lisciamento: 10%

**RAPPORTO SPETTRALE ORIZZONTALE SU VERTICALE**

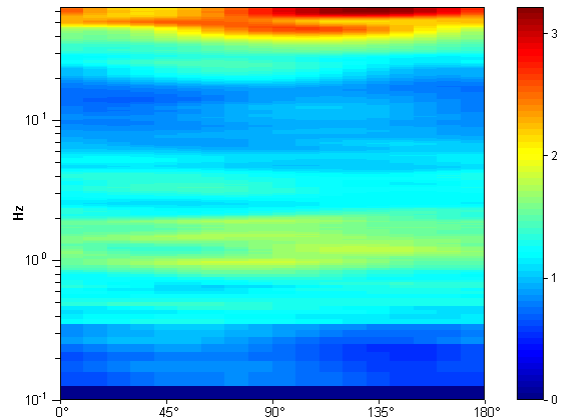
Max. H/V at 59.81 ± 0.93 Hz. (In the range 0.0 - 64.0 Hz).



**SERIE TEMPORALE H/V**

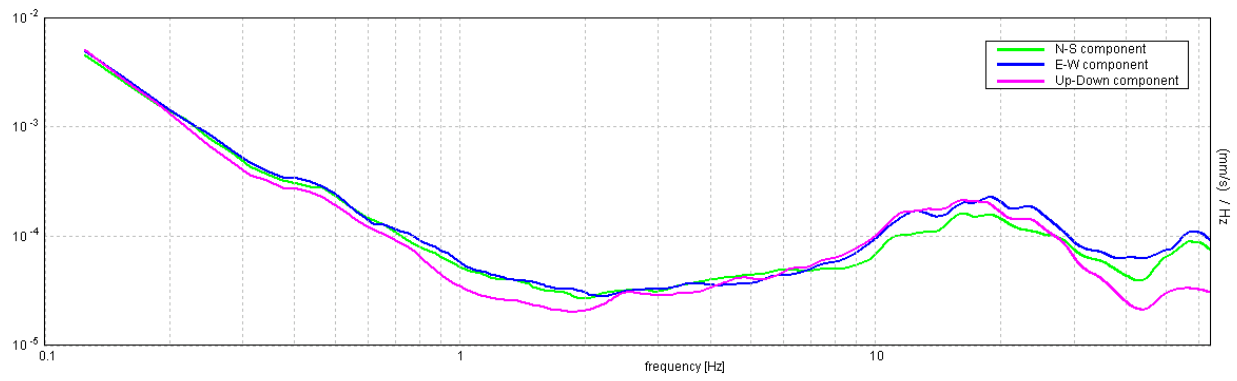


**DIREZIONALITA' H/V**

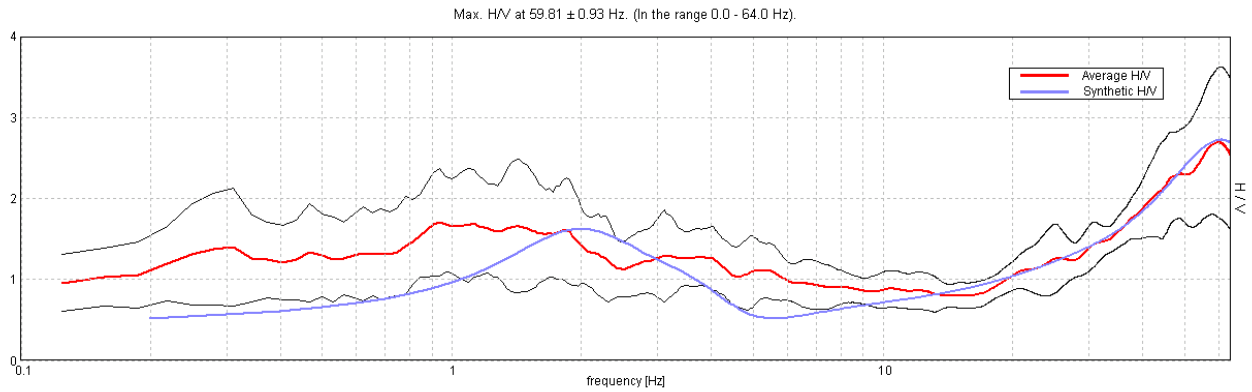




SPETTRI DELLE SINGOLE COMPONENTI

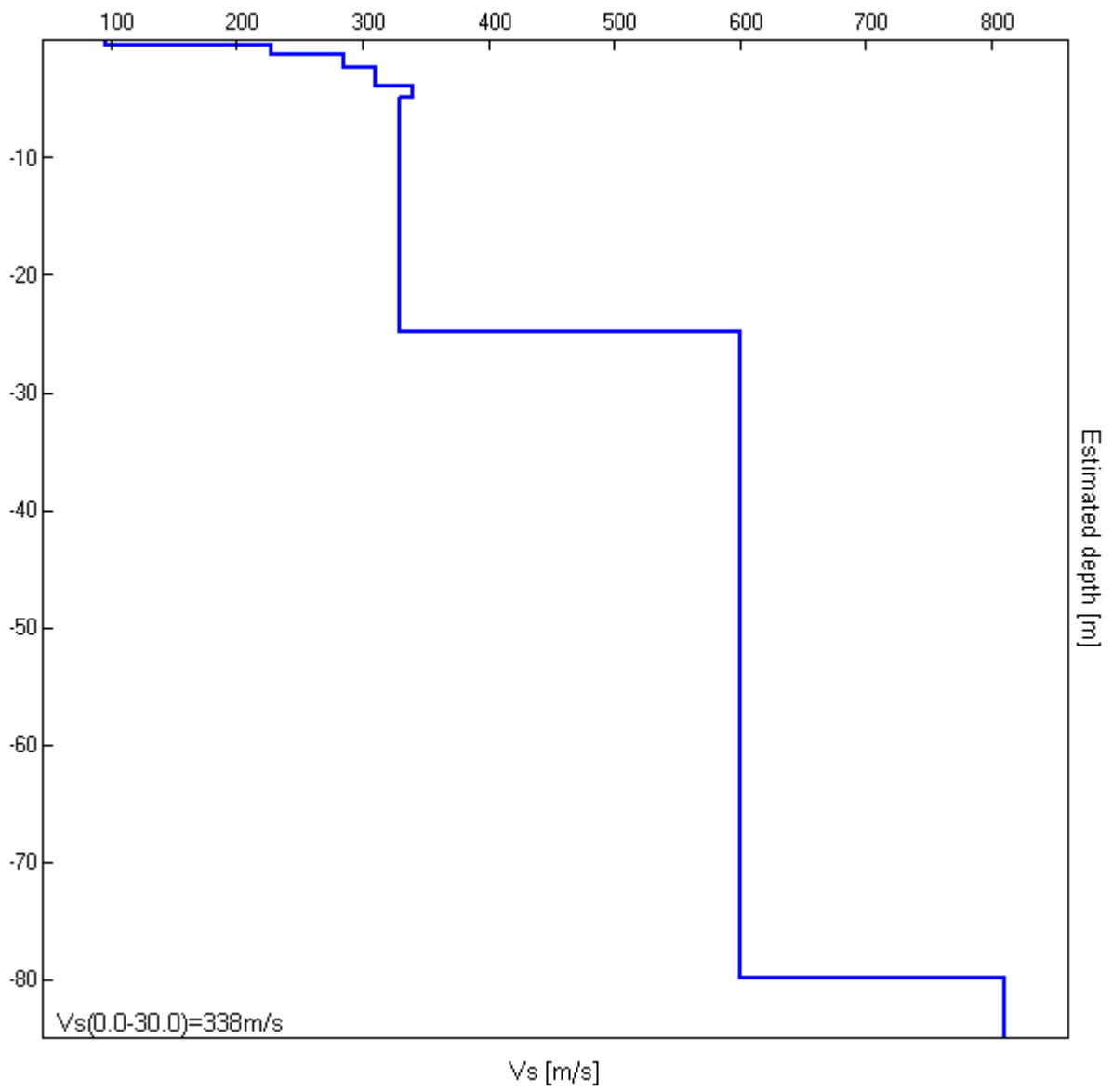


H/V SPERIMENTALE vs. H/V SINTETICO



Profondità alla base dello strato [m]	Spessore [m]	Vs [m/s]	Rapporto di Poisson
0.38	0.38	96	0.35
1.28	0.90	228	0.35
2.28	1.00	285	0.35
3.88	1.60	310	0.35
4.88	1.00	340	0.35
24.88	20.00	330	0.35
79.88	55.00	600	0.35
inf.	inf.	810	0.35

Vs(0.0-30.0)=338m/s



[Secondo le linee guida SESAME, 2005]

**Picco H/V a 59.81 ± 0.93 Hz (nell'intervallo 0.0 - 64.0 Hz).**

**Criteri per una curva H/V affidabile**  
[Tutti 3 dovrebbero risultare soddisfatti]

$f_0 > 10 / L_w$	59.81 > 0.50	OK	
$n_c(f_0) > 200$	39476.3 > 200	OK	
$\sigma_A(f) < 2$ per $0.5f_0 < f < 2f_0$ se $f_0 > 0.5\text{Hz}$ $\sigma_A(f) < 3$ per $0.5f_0 < f < 2f_0$ se $f_0 < 0.5\text{Hz}$	Superato 0 volte su 1092	OK	

**Criteri per un picco H/V chiaro**  
[Almeno 5 su 6 dovrebbero essere soddisfatti]

Esiste $f^-$ in $[f_0/4, f_0] \mid A_{H/V}(f^-) < A_0 / 2$	29.563 Hz	OK	
Esiste $f^+$ in $[f_0, 4f_0] \mid A_{H/V}(f^+) < A_0 / 2$			NO
$A_0 > 2$	2.69 > 2	OK	
$f_{\text{picco}}[A_{H/V}(f) \pm \sigma_A(f)] = f_0 \pm 5\%$	$ 0.00748  < 0.05$	OK	
$\sigma_f < \varepsilon(f_0)$	0.4476 < 2.99063	OK	
$\sigma_A(f_0) < \theta(f_0)$	0.445 < 1.58	OK	

$L_w$	lunghezza della finestra
$n_w$	numero di finestre usate nell'analisi
$n_c = L_w n_w f_0$	numero di cicli significativi
$f$	frequenza attuale
$f_0$	frequenza del picco H/V
$\sigma_f$	deviazione standard della frequenza del picco H/V
$\varepsilon(f_0)$	valore di soglia per la condizione di stabilità $\sigma_f < \varepsilon(f_0)$
$A_0$	ampiezza della curva H/V alla frequenza $f_0$
$A_{H/V}(f)$	ampiezza della curva H/V alla frequenza $f$
$f^-$	frequenza tra $f_0/4$ e $f_0$ alla quale $A_{H/V}(f^-) < A_0/2$
$f^+$	frequenza tra $f_0$ e $4f_0$ alla quale $A_{H/V}(f^+) < A_0/2$
$\sigma_A(f)$	deviazione standard di $A_{H/V}(f)$ , $\sigma_A(f)$ è il fattore per il quale la curva $A_{H/V}(f)$ media deve essere moltiplicata o divisa
$\sigma_{\log H/V}(f)$	deviazione standard della funzione $\log A_{H/V}(f)$
$\theta(f_0)$	valore di soglia per la condizione di stabilità $\sigma_A(f) < \theta(f_0)$

Valori di soglia per $\sigma_f$ e $\sigma_A(f_0)$					
Intervallo di freq. [Hz]	< 0.2	0.2 – 0.5	0.5 – 1.0	1.0 – 2.0	> 2.0
$\varepsilon(f_0)$ [Hz]	0.25 $f_0$	0.2 $f_0$	0.15 $f_0$	0.10 $f_0$	0.05 $f_0$
$\theta(f_0)$ per $\sigma_A(f_0)$	3.0	2.5	2.0	1.78	1.58
$\log \theta(f_0)$ per $\sigma_{\log H/V}(f_0)$	0.48	0.40	0.30	0.25	0.20

**FELI\_1158, FELINO T8**

Strumento: TRZ-0091/01-10

Inizio registrazione: 27/01/12 14:03:12 Fine registrazione: 27/01/12 14:17:13

Nomi canali: NORTH SOUTH; EAST WEST ; UP DOWN

Dato GPS non disponibile

Durata registrazione: 0h14'00".

Analizzato 74% tracciato (selezione manuale)

Freq. campionamento: 128 Hz

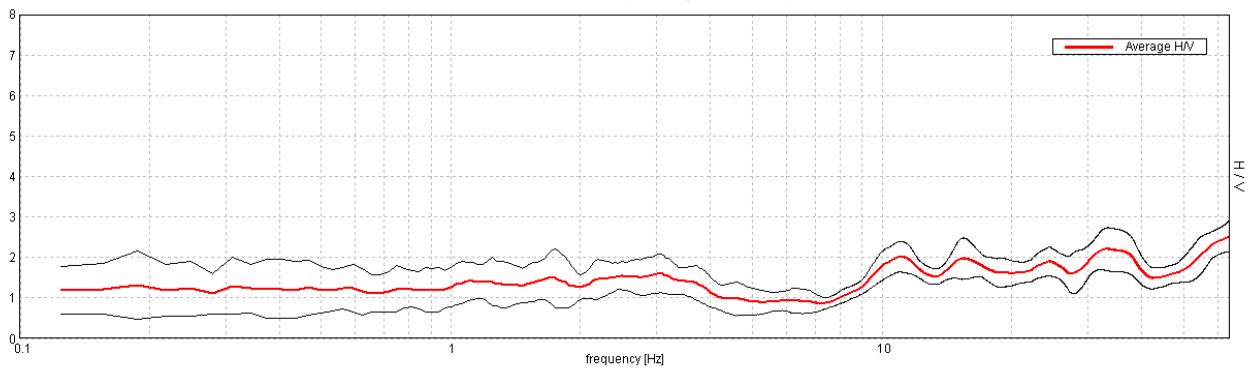
Lunghezza finestre: 20 s

Tipo di lisciamento: Triangular window

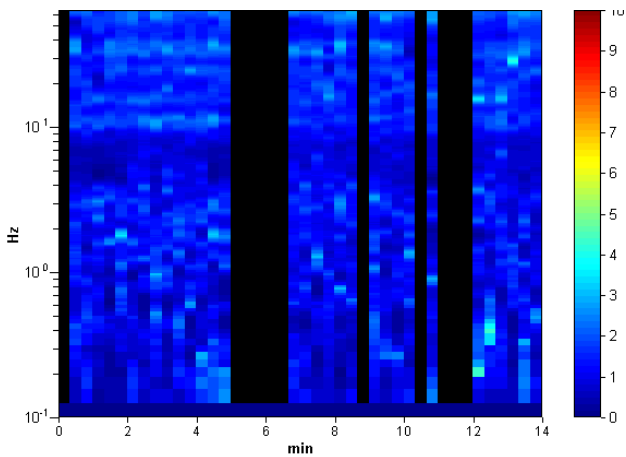
Lisciamento: 10%

**RAPPORTO SPETTRALE ORIZZONTALE SU VERTICALE**

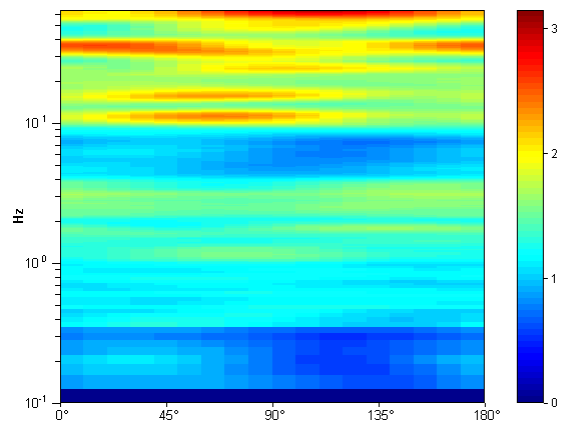
Max. H/V at 33.09 ± 0.1 Hz. (In the range 20.0 - 40.0 Hz).



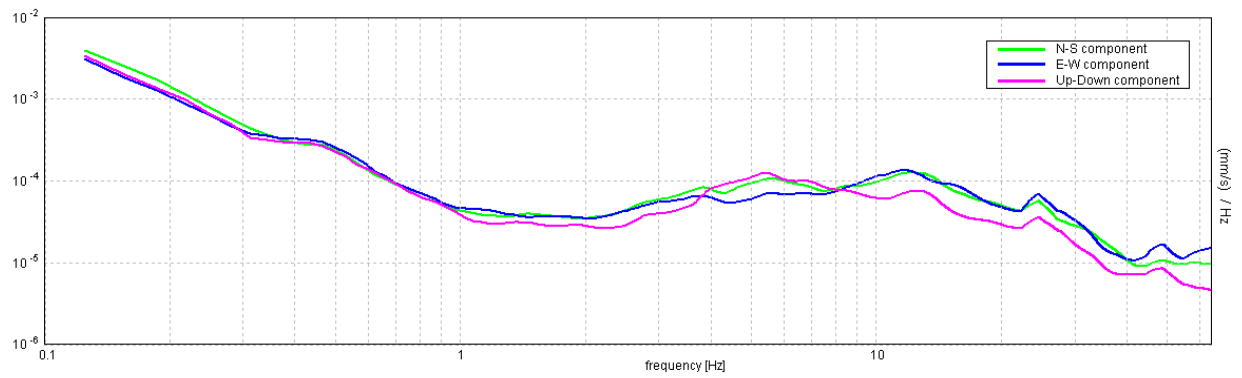
**SERIE TEMPORALE H/V**



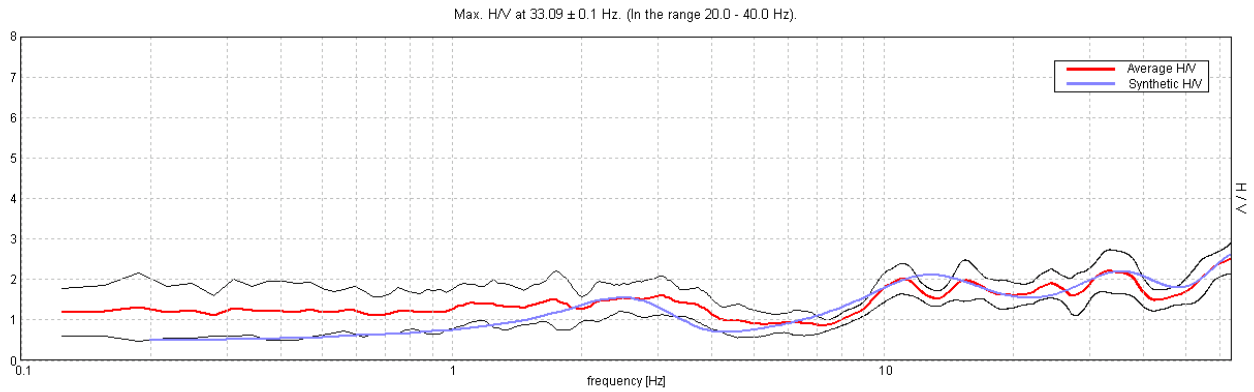
**DIREZIONALITA' H/V**



### SPETTRI DELLE SINGOLE COMPONENTI

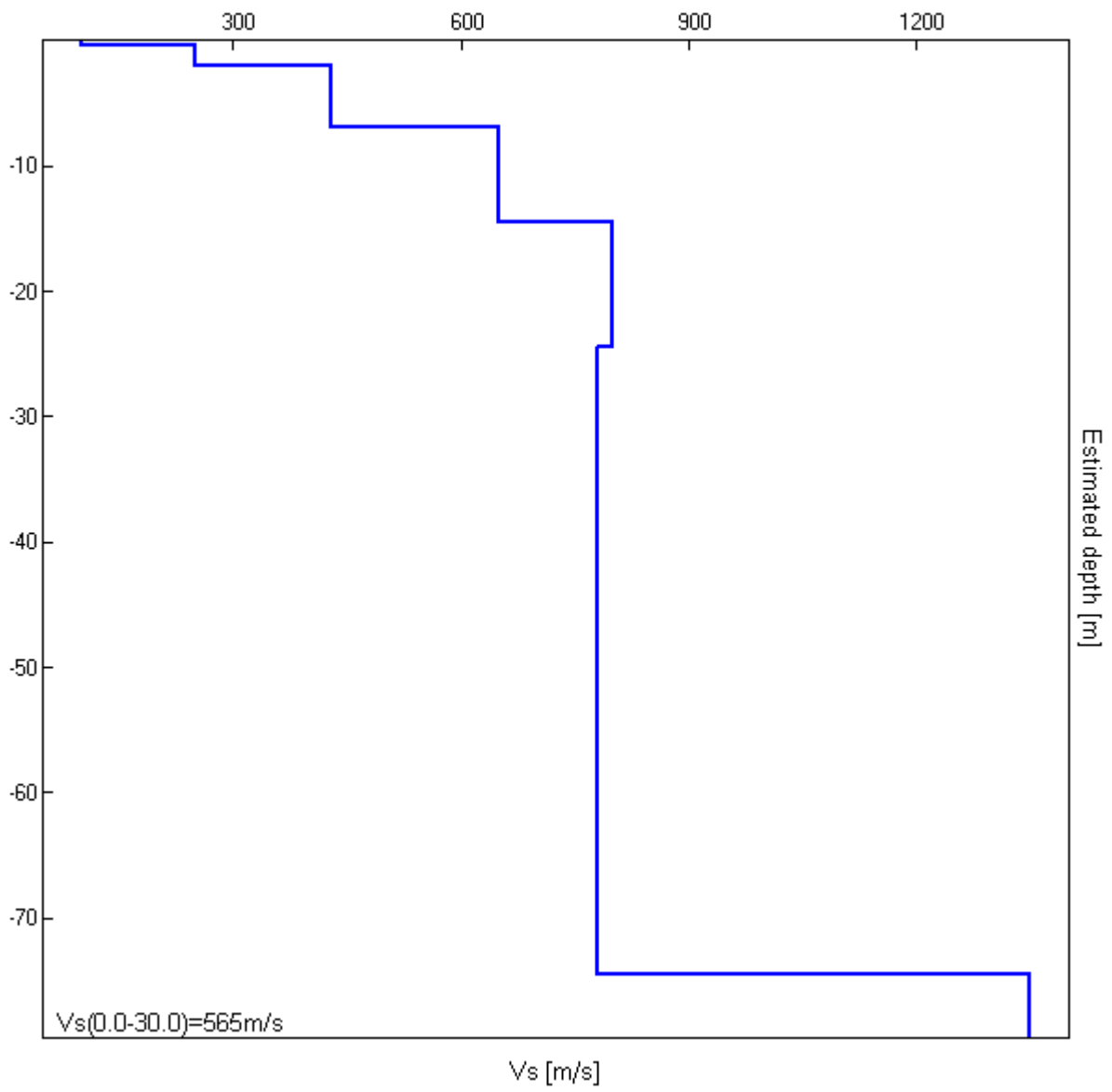


### H/V SPERIMENTALE vs. H/V SINTETICO



Profondità alla base dello strato [m]	Spessore [m]	Vs [m/s]	Rapporto di Poisson
0.40	0.40	100	0.35
2.00	1.60	250	0.35
7.00	5.00	430	0.35
14.50	7.50	650	0.35
24.50	10.00	800	0.35
74.50	50.00	780	0.35
inf.	inf.	1350	0.35

Vs(0.0-30.0)=565m/s





[Secondo le linee guida SESAME, 2005]

**Picco H/V a 33.09 ± 0.1 Hz (nell'intervallo 20.0 - 40.0 Hz).**

**Criteri per una curva H/V affidabile**  
[Tutti 3 dovrebbero risultare soddisfatti]

$f_0 > 10 / L_w$	33.09 > 0.50	OK	
$n_c(f_0) > 200$	20518.1 > 200	OK	
$\sigma_A(f) < 2$ per $0.5f_0 < f < 2f_0$ se $f_0 > 0.5\text{Hz}$ $\sigma_A(f) < 3$ per $0.5f_0 < f < 2f_0$ se $f_0 < 0.5\text{Hz}$	Superato 0 volte su 1520	OK	

**Criteri per un picco H/V chiaro**  
[Almeno 5 su 6 dovrebbero essere soddisfatti]

<b>Esiste <math>f^-</math> in <math>[f_0/4, f_0]</math>   <math>A_{H/V}(f^-) &lt; A_0 / 2</math></b>	8.344 Hz	OK	
<b>Esiste <math>f^+</math> in <math>[f_0, 4f_0]</math>   <math>A_{H/V}(f^+) &lt; A_0 / 2</math></b>			NO
$A_0 > 2$	2.20 > 2	OK	
$f_{\text{picco}}[A_{H/V}(f) \pm \sigma_A(f)] = f_0 \pm 5\%$	$ 0.00147  < 0.05$	OK	
$\sigma_f < \varepsilon(f_0)$	0.0485 < 1.65469	OK	
$\sigma_A(f_0) < \theta(f_0)$	0.2532 < 1.58	OK	

$L_w$	lunghezza della finestra
$n_w$	numero di finestre usate nell'analisi
$n_c = L_w n_w f_0$	numero di cicli significativi
$f$	frequenza attuale
$f_0$	frequenza del picco H/V
$\sigma_f$	deviazione standard della frequenza del picco H/V
$\varepsilon(f_0)$	valore di soglia per la condizione di stabilità $\sigma_f < \varepsilon(f_0)$
$A_0$	ampiezza della curva H/V alla frequenza $f_0$
$A_{H/V}(f)$	ampiezza della curva H/V alla frequenza $f$
$f^-$	frequenza tra $f_0/4$ e $f_0$ alla quale $A_{H/V}(f^-) < A_0/2$
$f^+$	frequenza tra $f_0$ e $4f_0$ alla quale $A_{H/V}(f^+) < A_0/2$
$\sigma_A(f)$	deviazione standard di $A_{H/V}(f)$ , $\sigma_A(f)$ è il fattore per il quale la curva $A_{H/V}(f)$ media deve essere moltiplicata o divisa
$\sigma_{\log H/V}(f)$	deviazione standard della funzione $\log A_{H/V}(f)$
$\theta(f_0)$	valore di soglia per la condizione di stabilità $\sigma_A(f) < \theta(f_0)$

Valori di soglia per $\sigma_f$ e $\sigma_A(f_0)$					
Intervallo di freq. [Hz]	< 0.2	0.2 – 0.5	0.5 – 1.0	1.0 – 2.0	> 2.0
$\varepsilon(f_0)$ [Hz]	0.25 $f_0$	0.2 $f_0$	0.15 $f_0$	0.10 $f_0$	0.05 $f_0$
$\theta(f_0)$ per $\sigma_A(f_0)$	3.0	2.5	2.0	1.78	1.58
$\log \theta(f_0)$ per $\sigma_{\log H/V}(f_0)$	0.48	0.40	0.30	0.25	0.20

**FELI\_1158, FELINO T9**

Strumento: TRZ-0091/01-10

Inizio registrazione: 27/01/12 14:24:36 Fine registrazione: 27/01/12 14:38:36

Nomi canali: NORTH SOUTH; EAST WEST ; UP DOWN

Dato GPS non disponibile

Durata registrazione: 0h14'00".

Analizzato 79% tracciato (selezione manuale)

Freq. campionamento: 128 Hz

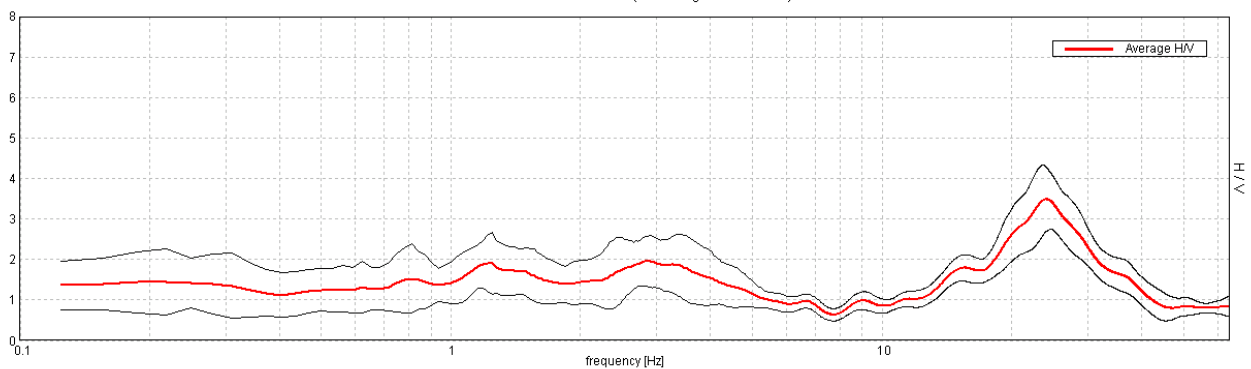
Lunghezza finestre: 20 s

Tipo di lisciamento: Triangular window

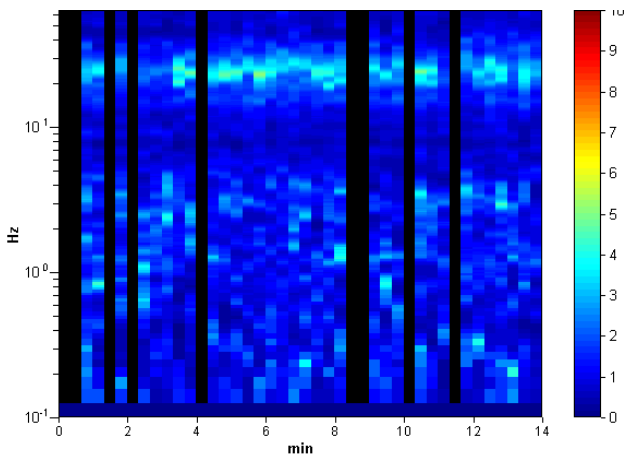
Lisciamento: 10%

**RAPPORTO SPETTRALE ORIZZONTALE SU VERTICALE**

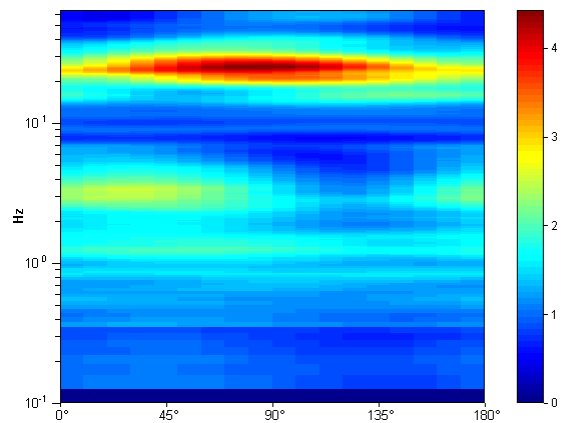
Max. H/V at 24.03 ± 0.06 Hz. (In the range 0.0 - 64.0 Hz).



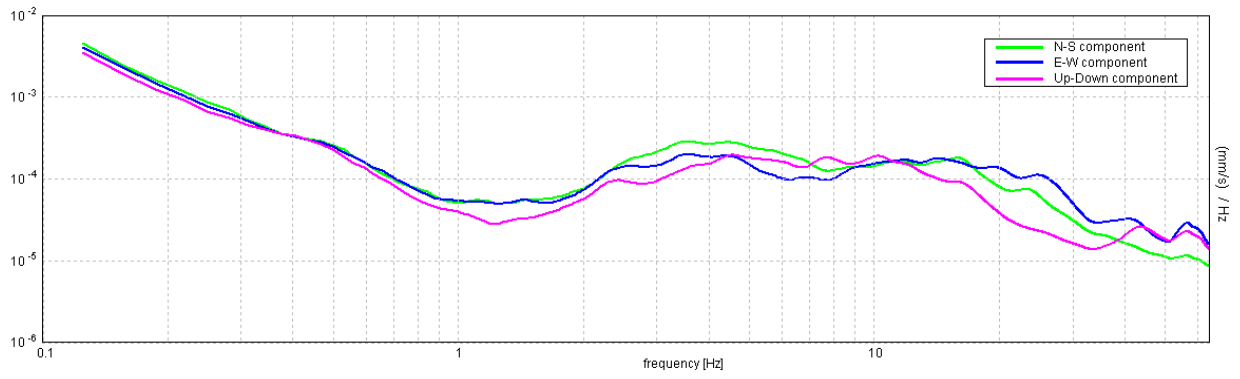
**SERIE TEMPORALE H/V**



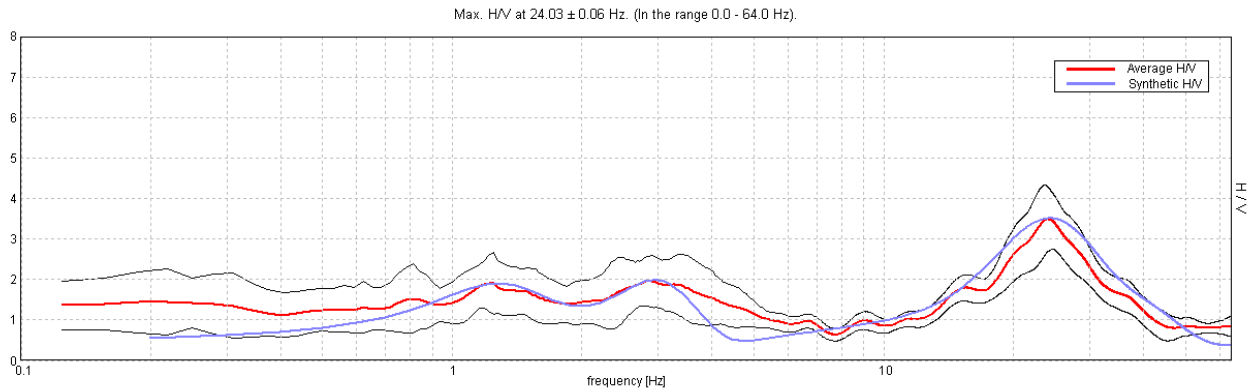
**DIREZIONALITA' H/V**



SPETTRI DELLE SINGOLE COMPONENTI

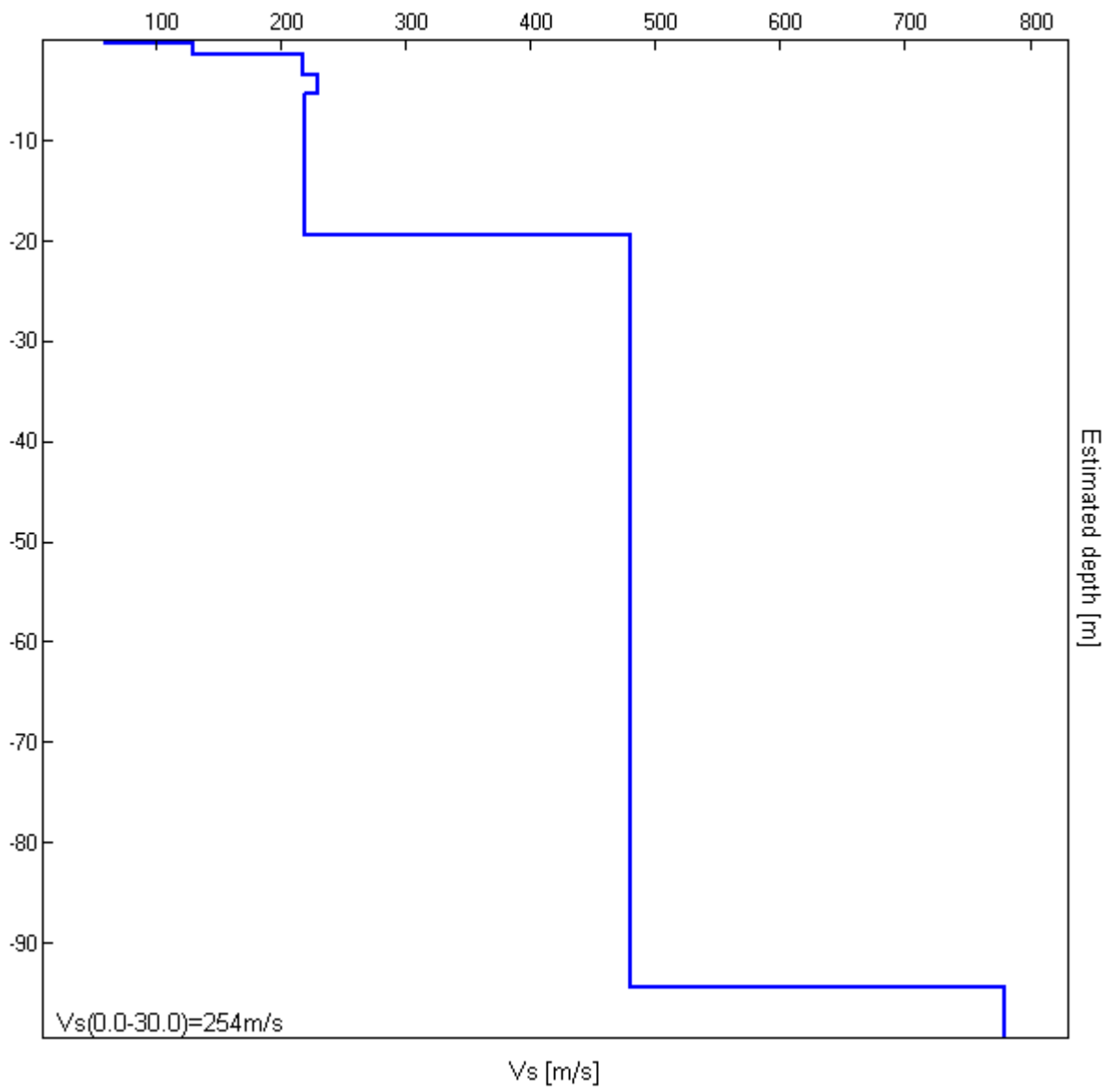


H/V SPERIMENTALE vs. H/V SINTETICO



Profondità alla base dello strato [m]	Spessore [m]	Vs [m/s]	Rapporto di Poisson
0.40	0.40	60	0.35
1.40	1.00	130	0.35
3.40	2.00	218	0.35
5.40	2.00	230	0.35
19.40	14.00	220	0.35
94.40	75.00	480	0.35
inf.	inf.	780	0.35

Vs(0.0-30.0)=254m/s



[Secondo le linee guida SESAME, 2005]

**Picco H/V a 24.03 ± 0.06 Hz (nell'intervallo 0.0 - 64.0 Hz).**

**Criteri per una curva H/V affidabile**  
[Tutti 3 dovrebbero risultare soddisfatti]

$f_0 > 10 / L_w$	24.03 > 0.50	OK	
$n_c(f_0) > 200$	15860.6 > 200	OK	
$\sigma_A(f) < 2$ per $0.5f_0 < f < 2f_0$ se $f_0 > 0.5\text{Hz}$ $\sigma_A(f) < 3$ per $0.5f_0 < f < 2f_0$ se $f_0 < 0.5\text{Hz}$	Superato 0 volte su 1154	OK	

**Criteri per un picco H/V chiaro**  
[Almeno 5 su 6 dovrebbero essere soddisfatti]

Esiste $f^-$ in $[f_0/4, f_0] \mid A_{H/V}(f^-) < A_0 / 2$	17.344 Hz	OK	
Esiste $f^+$ in $[f_0, 4f_0] \mid A_{H/V}(f^+) < A_0 / 2$	33.5 Hz	OK	
$A_0 > 2$	3.49 > 2	OK	
$f_{\text{picco}}[A_{H/V}(f) \pm \sigma_A(f)] = f_0 \pm 5\%$	$ 0.00129  < 0.05$	OK	
$\sigma_f < \varepsilon(f_0)$	0.03105 < 1.20156	OK	
$\sigma_A(f_0) < \theta(f_0)$	0.3842 < 1.58	OK	

$L_w$	lunghezza della finestra
$n_w$	numero di finestre usate nell'analisi
$n_c = L_w n_w f_0$	numero di cicli significativi
$f$	frequenza attuale
$f_0$	frequenza del picco H/V
$\sigma_f$	deviazione standard della frequenza del picco H/V
$\varepsilon(f_0)$	valore di soglia per la condizione di stabilità $\sigma_f < \varepsilon(f_0)$
$A_0$	ampiezza della curva H/V alla frequenza $f_0$
$A_{H/V}(f)$	ampiezza della curva H/V alla frequenza $f$
$f^-$	frequenza tra $f_0/4$ e $f_0$ alla quale $A_{H/V}(f^-) < A_0/2$
$f^+$	frequenza tra $f_0$ e $4f_0$ alla quale $A_{H/V}(f^+) < A_0/2$
$\sigma_A(f)$	deviazione standard di $A_{H/V}(f)$ , $\sigma_A(f)$ è il fattore per il quale la curva $A_{H/V}(f)$ media deve essere moltiplicata o divisa
$\sigma_{\log H/V}(f)$	deviazione standard della funzione $\log A_{H/V}(f)$
$\theta(f_0)$	valore di soglia per la condizione di stabilità $\sigma_A(f) < \theta(f_0)$

Valori di soglia per $\sigma_f$ e $\sigma_A(f_0)$					
Intervallo di freq. [Hz]	< 0.2	0.2 – 0.5	0.5 – 1.0	1.0 – 2.0	> 2.0
$\varepsilon(f_0)$ [Hz]	0.25 $f_0$	0.2 $f_0$	0.15 $f_0$	0.10 $f_0$	0.05 $f_0$
$\theta(f_0)$ per $\sigma_A(f_0)$	3.0	2.5	2.0	1.78	1.58
$\log \theta(f_0)$ per $\sigma_{\log H/V}(f_0)$	0.48	0.40	0.30	0.25	0.20

**FELI\_1158, FELINO T10**

Strumento: TRZ-0091/01-10

Inizio registrazione: 27/01/12 15:16:11 Fine registrazione: 27/01/12 15:30:11

Nomi canali: NORTH SOUTH; EAST WEST ; UP DOWN

Dato GPS non disponibile

Durata registrazione: 0h14'00".

Analizzato 81% tracciato (selezione manuale)

Freq. campionamento: 128 Hz

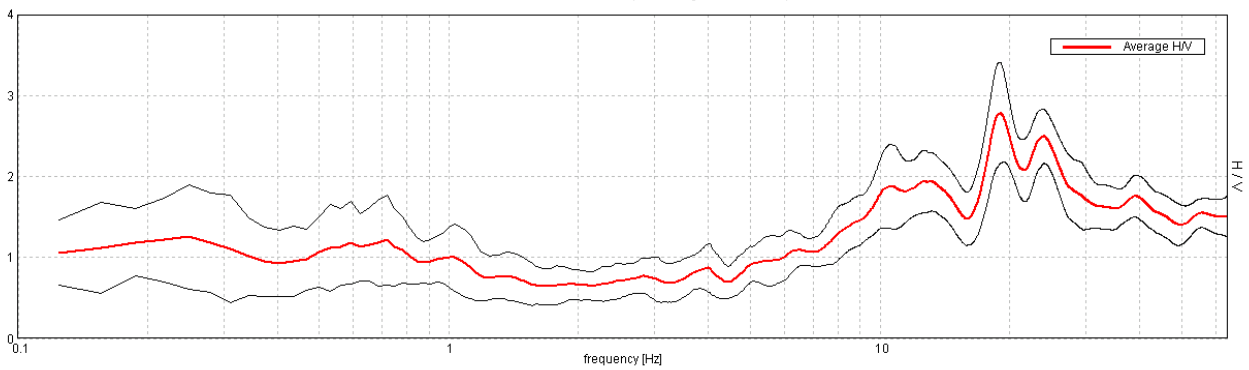
Lunghezza finestre: 20 s

Tipo di lisciamento: Triangular window

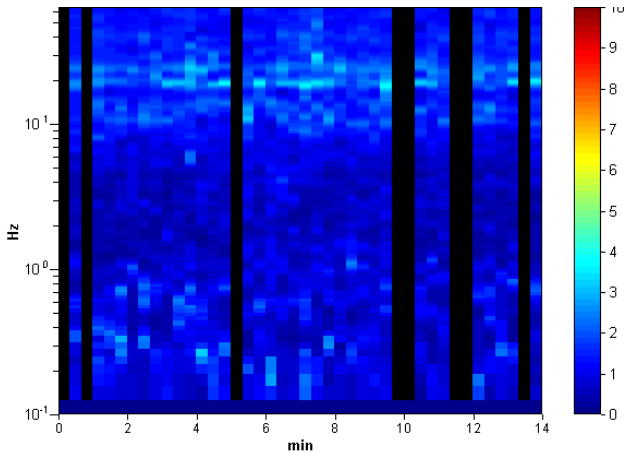
Lisciamento: 10%

**RAPPORTO SPETTRALE ORIZZONTALE SU VERTICALE**

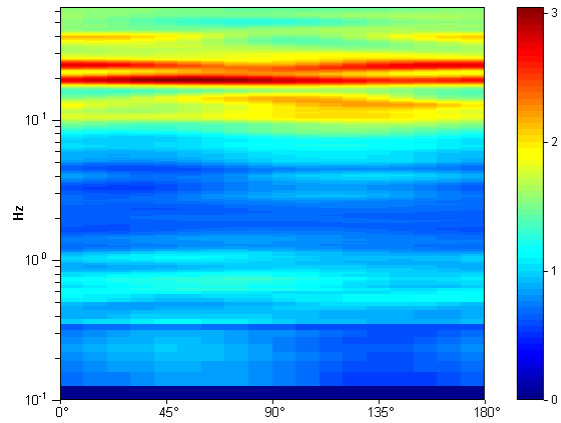
Max. H/V at 19.06 ± 0.48 Hz. (In the range 0.0 - 64.0 Hz).



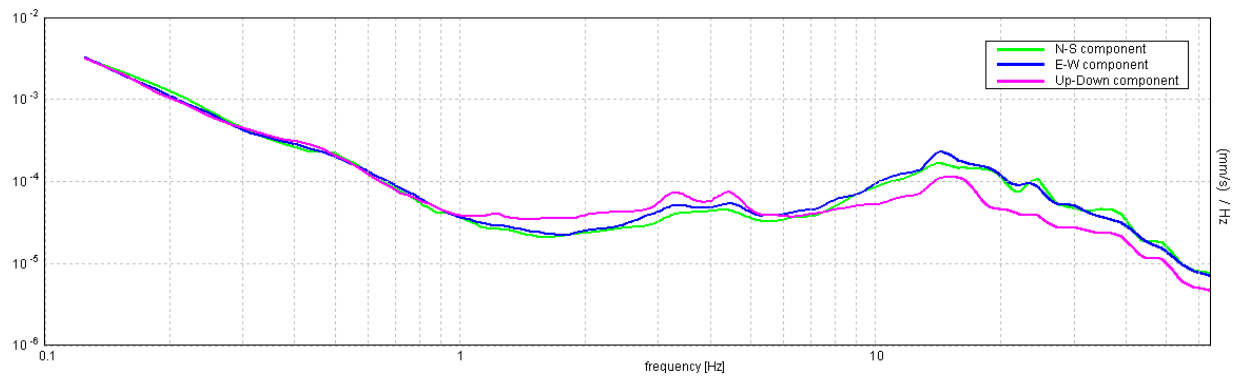
**SERIE TEMPORALE H/V**



**DIREZIONALITA' H/V**

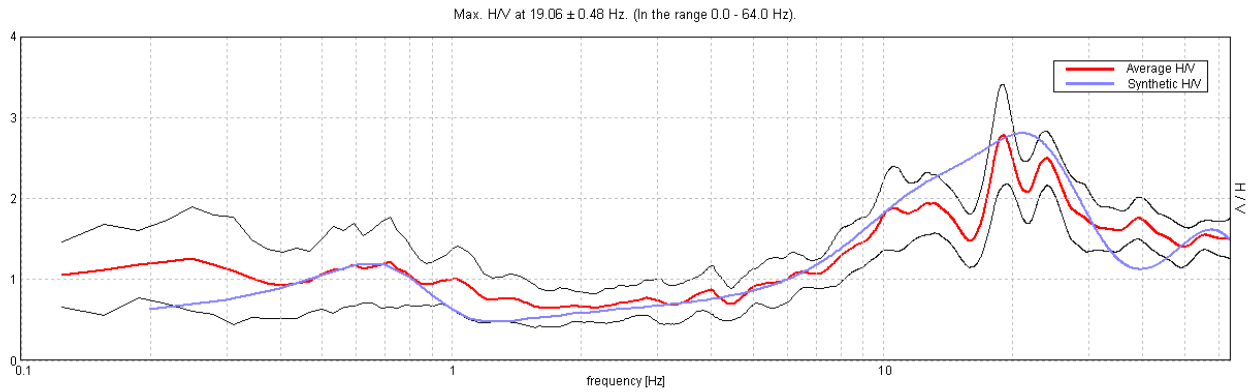


SPETTRI DELLE SINGOLE COMPONENTI



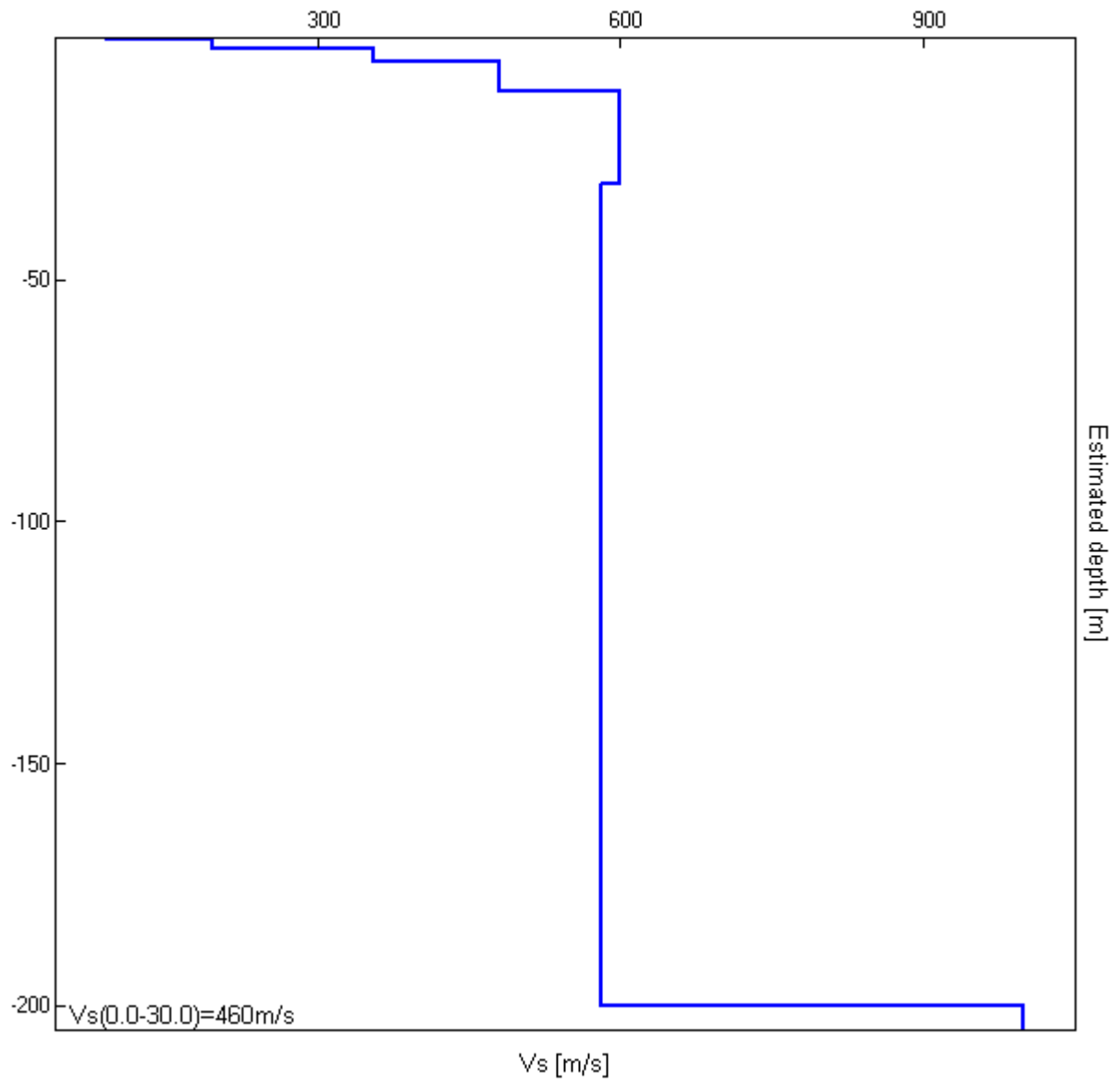


### H/V SPERIMENTALE vs. H/V SINTETICO



Profondità alla base dello strato [m]	Spessore [m]	Vs [m/s]	Rapporto di Poisson
0.40	0.40	90	0.35
2.00	1.60	195	0.35
5.00	3.00	355	0.35
11.00	6.00	480	0.35
30.00	19.00	600	0.35
200.00	170.00	580	0.35
inf.	inf.	1000	0.35

Vs(0.0-30.0)=460m/s



[Secondo le linee guida SESAME, 2005]

**Picco H/V a 19.06 ± 0.48 Hz (nell'intervallo 0.0 - 64.0 Hz).**

**Criteri per una curva H/V affidabile**  
[Tutti 3 dovrebbero risultare soddisfatti]

$f_0 > 10 / L_w$	19.06 > 0.50	OK	
$n_c(f_0) > 200$	12962.5 > 200	OK	
$\sigma_A(f) < 2$ per $0.5f_0 < f < 2f_0$ se $f_0 > 0.5\text{Hz}$ $\sigma_A(f) < 3$ per $0.5f_0 < f < 2f_0$ se $f_0 < 0.5\text{Hz}$	Superato 0 volte su 916	OK	

**Criteri per un picco H/V chiaro**  
[Almeno 5 su 6 dovrebbero essere soddisfatti]

Esiste $f^-$ in $[f_0/4, f_0] \mid A_{H/V}(f^-) < A_0 / 2$	8.5 Hz	OK	
Esiste $f^+$ in $[f_0, 4f_0] \mid A_{H/V}(f^+) < A_0 / 2$			NO
$A_0 > 2$	2.79 > 2	OK	
$f_{\text{picco}}[A_{H/V}(f) \pm \sigma_A(f)] = f_0 \pm 5\%$	$ 0.01225  < 0.05$	OK	
$\sigma_f < \varepsilon(f_0)$	0.23354 < 0.95313	OK	
$\sigma_A(f_0) < \theta(f_0)$	0.3004 < 1.58	OK	

$L_w$	lunghezza della finestra
$n_w$	numero di finestre usate nell'analisi
$n_c = L_w n_w f_0$	numero di cicli significativi
$f$	frequenza attuale
$f_0$	frequenza del picco H/V
$\sigma_f$	deviazione standard della frequenza del picco H/V
$\varepsilon(f_0)$	valore di soglia per la condizione di stabilità $\sigma_f < \varepsilon(f_0)$
$A_0$	ampiezza della curva H/V alla frequenza $f_0$
$A_{H/V}(f)$	ampiezza della curva H/V alla frequenza $f$
$f^-$	frequenza tra $f_0/4$ e $f_0$ alla quale $A_{H/V}(f^-) < A_0/2$
$f^+$	frequenza tra $f_0$ e $4f_0$ alla quale $A_{H/V}(f^+) < A_0/2$
$\sigma_A(f)$	deviazione standard di $A_{H/V}(f)$ , $\sigma_A(f)$ è il fattore per il quale la curva $A_{H/V}(f)$ media deve essere moltiplicata o divisa
$\sigma_{\log H/V}(f)$	deviazione standard della funzione $\log A_{H/V}(f)$
$\theta(f_0)$	valore di soglia per la condizione di stabilità $\sigma_A(f) < \theta(f_0)$

Valori di soglia per $\sigma_f$ e $\sigma_A(f_0)$					
Intervallo di freq. [Hz]	< 0.2	0.2 – 0.5	0.5 – 1.0	1.0 – 2.0	> 2.0
$\varepsilon(f_0)$ [Hz]	0.25 $f_0$	0.2 $f_0$	0.15 $f_0$	0.10 $f_0$	0.05 $f_0$
$\theta(f_0)$ per $\sigma_A(f_0)$	3.0	2.5	2.0	1.78	1.58
$\log \theta(f_0)$ per $\sigma_{\log H/V}(f_0)$	0.48	0.40	0.30	0.25	0.20

## FELI\_1158, FELINO T11

Strumento: TRZ-0091/01-10

Inizio registrazione: 27/01/12 15:45:16 Fine registrazione: 27/01/12 15:59:17

Nomi canali: NORTH SOUTH; EAST WEST ; UP DOWN

Dato GPS non disponibile

Durata registrazione: 0h14'00".

Analizzato 79% tracciato (selezione manuale)

Freq. campionamento: 128 Hz

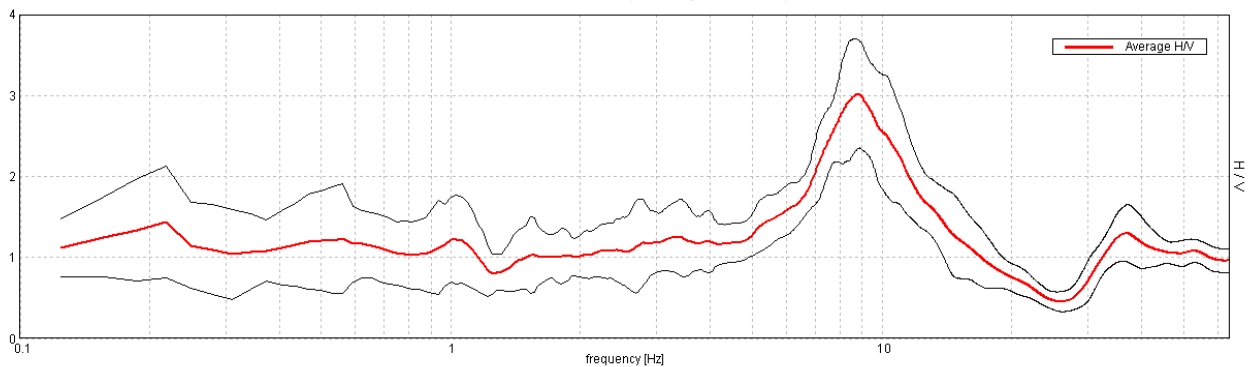
Lunghezza finestre: 20 s

Tipo di lisciamento: Triangular window

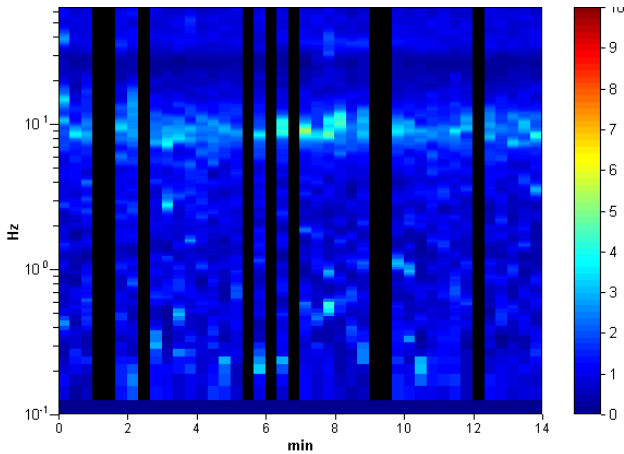
Lisciamento: 10%

### RAPPORTO SPETTRALE ORIZZONTALE SU VERTICALE

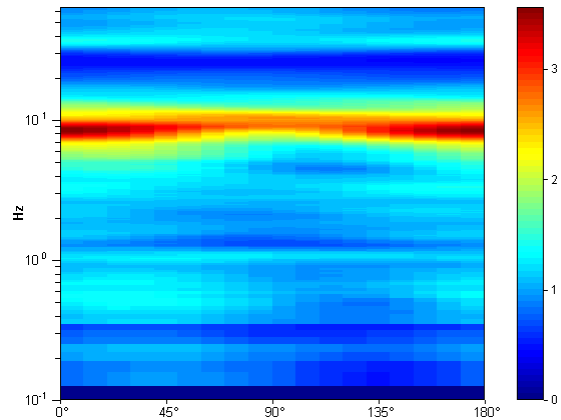
Max. H/V at 8.75 ± 0.37 Hz. (In the range 0.0 - 64.0 Hz).



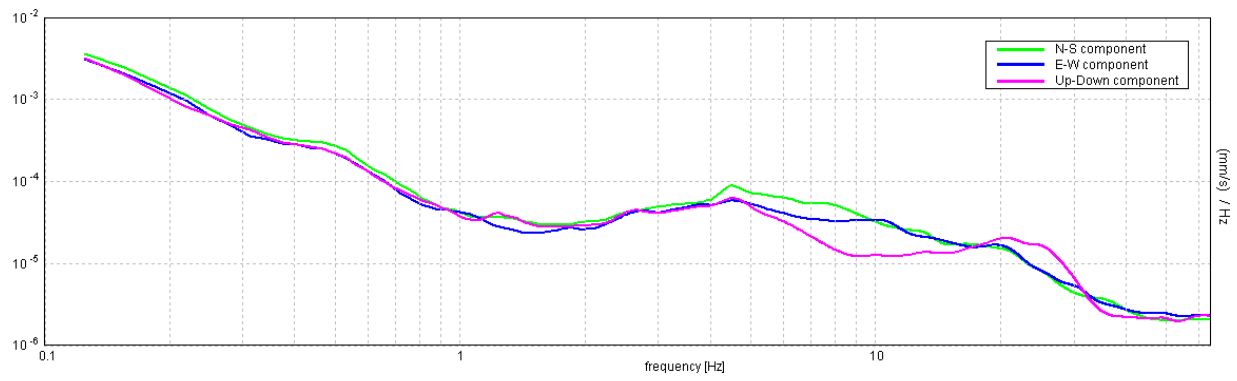
### SERIE TEMPORALE H/V



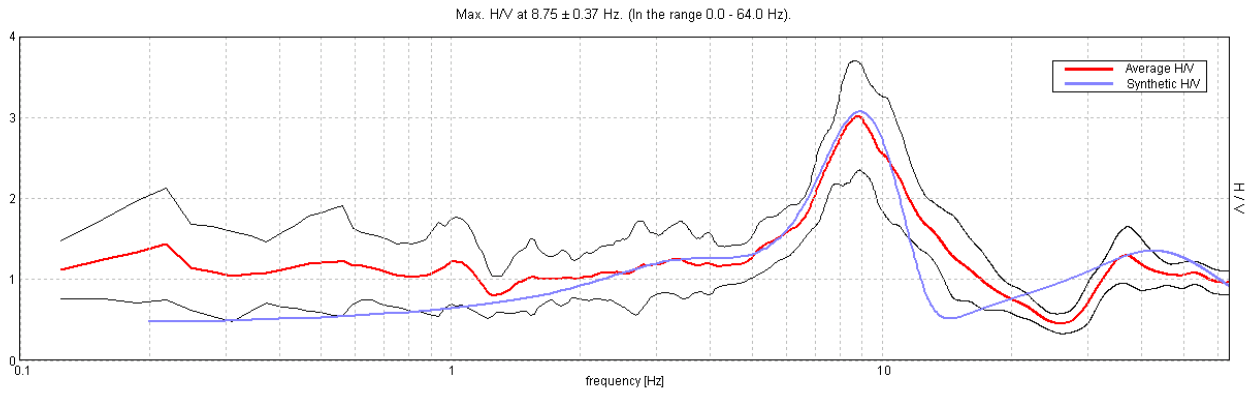
### DIREZIONALITA' H/V



### SPETTRI DELLE SINGOLE COMPONENTI

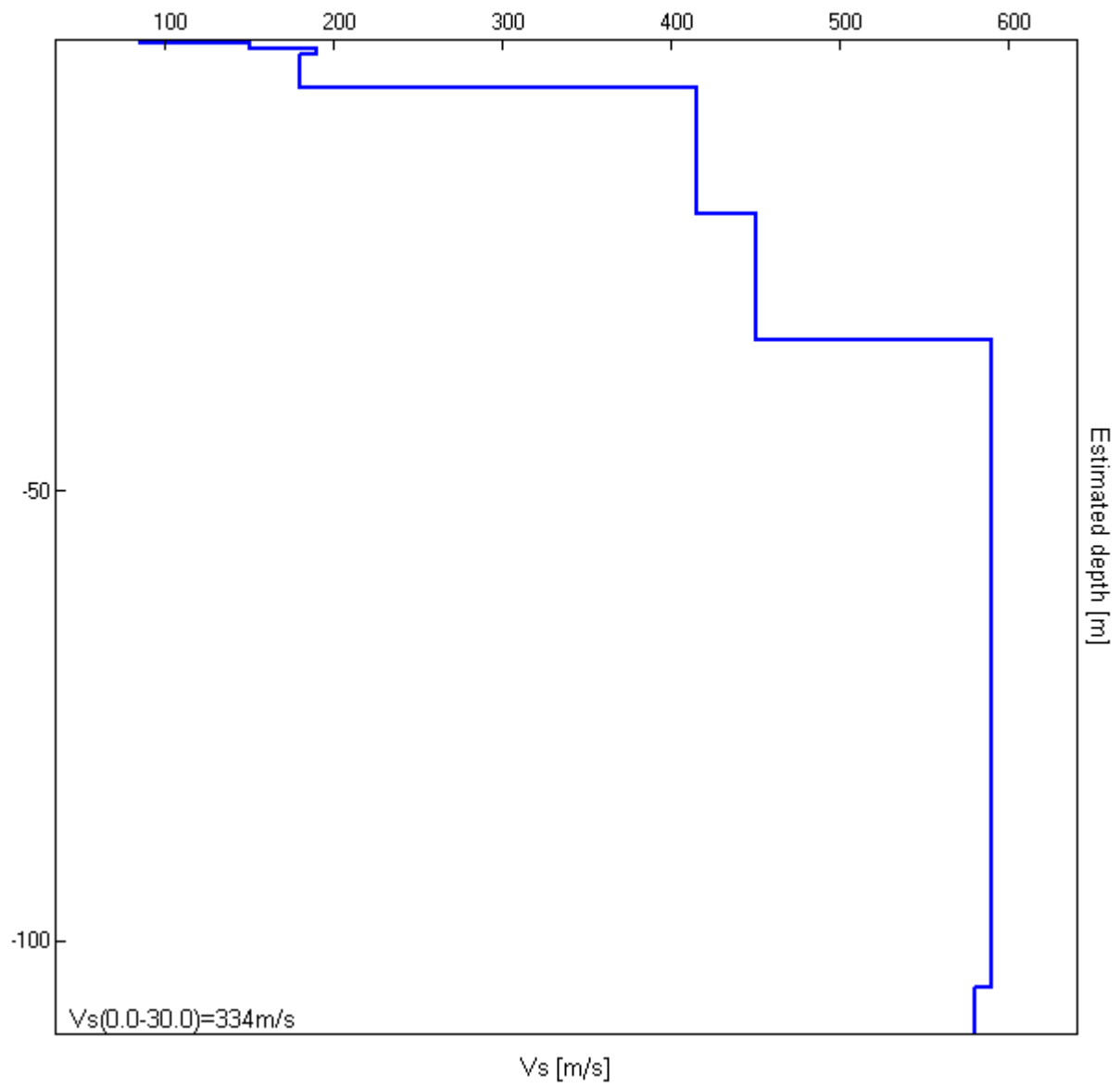


### H/V SPERIMENTALE vs. H/V SINTETICO



Profondità alla base dello strato [m]	Spessore [m]	Vs [m/s]	Rapporto di Poisson
0.35	0.35	85	0.35
1.00	0.65	150	0.35
1.50	0.50	190	0.35
5.30	3.80	180	0.35
19.30	14.00	415	0.35
33.30	14.00	450	0.35
105.30	72.00	590	0.35
inf.	inf.	580	0.35

Vs(0.0-30.0)=334m/s



[Secondo le linee guida SESAME, 2005]

**Picco H/V a  $8.75 \pm 0.37$  Hz (nell'intervallo 0.0 - 64.0 Hz).**

**Criteri per una curva H/V affidabile**  
[Tutti 3 dovrebbero risultare soddisfatti]

$f_0 > 10 / L_w$	$8.75 > 0.50$	<b>OK</b>	
$n_c(f_0) > 200$	$5775.0 > 200$	<b>OK</b>	
$\sigma_A(f) < 2$ per $0.5f_0 < f < 2f_0$ se $f_0 > 0.5\text{Hz}$ $\sigma_A(f) < 3$ per $0.5f_0 < f < 2f_0$ se $f_0 < 0.5\text{Hz}$	Superato 0 volte su 421	<b>OK</b>	

**Criteri per un picco H/V chiaro**  
[Almeno 5 su 6 dovrebbero essere soddisfatti]

<b>Esiste <math>f^-</math> in <math>[f_0/4, f_0]</math>   <math>A_{H/V}(f^-) &lt; A_0 / 2</math></b>	5.719 Hz	<b>OK</b>	
<b>Esiste <math>f^+</math> in <math>[f_0, 4f_0]</math>   <math>A_{H/V}(f^+) &lt; A_0 / 2</math></b>	13.594 Hz	<b>OK</b>	
$A_0 > 2$	$3.02 > 2$	<b>OK</b>	
$f_{\text{picco}}[A_{H/V}(f) \pm \sigma_A(f)] = f_0 \pm 5\%$	$ 0.02048  < 0.05$	<b>OK</b>	
$\sigma_f < \varepsilon(f_0)$	$0.17924 < 0.4375$	<b>OK</b>	
$\sigma_A(f_0) < \theta(f_0)$	$0.3316 < 1.58$	<b>OK</b>	

$L_w$	lunghezza della finestra
$n_w$	numero di finestre usate nell'analisi
$n_c = L_w n_w f_0$	numero di cicli significativi
$f$	frequenza attuale
$f_0$	frequenza del picco H/V
$\sigma_f$	deviazione standard della frequenza del picco H/V
$\varepsilon(f_0)$	valore di soglia per la condizione di stabilità $\sigma_f < \varepsilon(f_0)$
$A_0$	ampiezza della curva H/V alla frequenza $f_0$
$A_{H/V}(f)$	ampiezza della curva H/V alla frequenza $f$
$f^-$	frequenza tra $f_0/4$ e $f_0$ alla quale $A_{H/V}(f^-) < A_0/2$
$f^+$	frequenza tra $f_0$ e $4f_0$ alla quale $A_{H/V}(f^+) < A_0/2$
$\sigma_A(f)$	deviazione standard di $A_{H/V}(f)$ , $\sigma_A(f)$ è il fattore per il quale la curva $A_{H/V}(f)$ media deve essere moltiplicata o divisa
$\sigma_{\log H/V}(f)$	deviazione standard della funzione $\log A_{H/V}(f)$
$\theta(f_0)$	valore di soglia per la condizione di stabilità $\sigma_A(f) < \theta(f_0)$

Valori di soglia per $\sigma_f$ e $\sigma_A(f_0)$					
Intervallo di freq. [Hz]	< 0.2	0.2 – 0.5	0.5 – 1.0	1.0 – 2.0	> 2.0
$\varepsilon(f_0)$ [Hz]	$0.25 f_0$	$0.2 f_0$	$0.15 f_0$	$0.10 f_0$	$0.05 f_0$
$\theta(f_0)$ per $\sigma_A(f_0)$	3.0	2.5	2.0	1.78	1.58
$\log \theta(f_0)$ per $\sigma_{\log H/V}(f_0)$	0.48	0.40	0.30	0.25	0.20



**FELI\_1158, FELINO T12**

Strumento: TRZ-0091/01-10

Inizio registrazione: 27/01/12 16:12:58 Fine registrazione: 27/01/12 16:26:59

Nomi canali: NORTH SOUTH; EAST WEST ; UP DOWN

Dato GPS non disponibile

Durata registrazione: 0h14'00".

Analizzato 76% tracciato (selezione manuale)

Freq. campionamento: 128 Hz

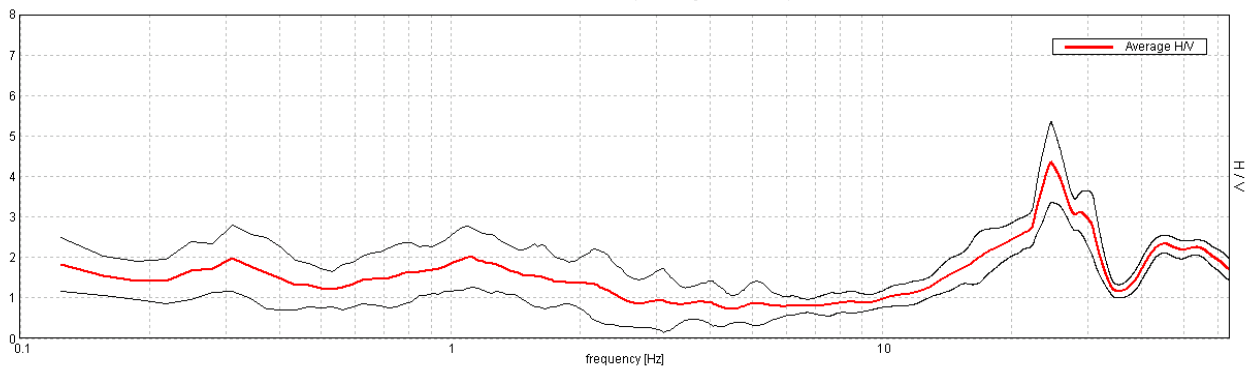
Lunghezza finestre: 20 s

Tipo di lisciamento: Triangular window

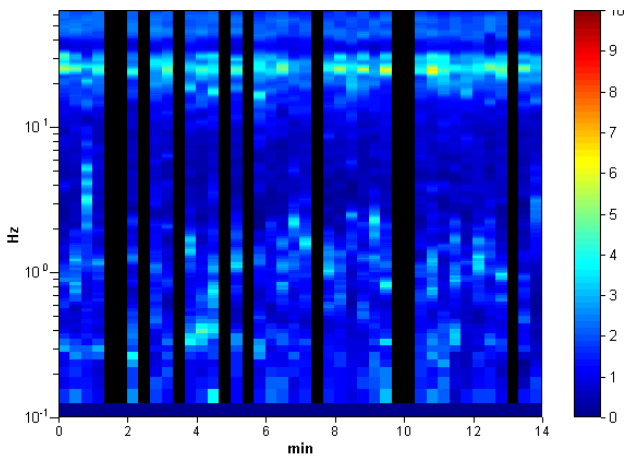
Lisciamento: 10%

**RAPPORTO SPETTRALE ORIZZONTALE SU VERTICALE**

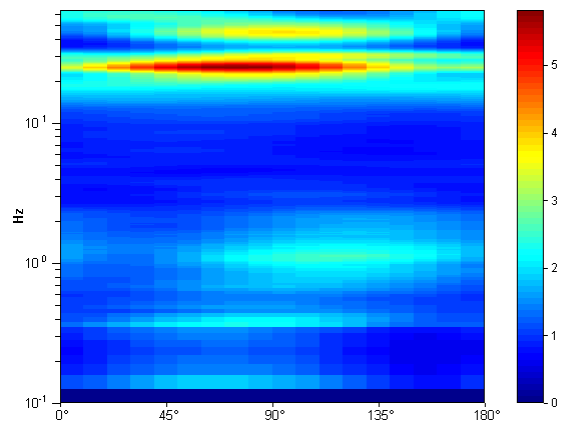
Max. H/V at 24.69 ± 0.03 Hz. (In the range 0.0 - 64.0 Hz).



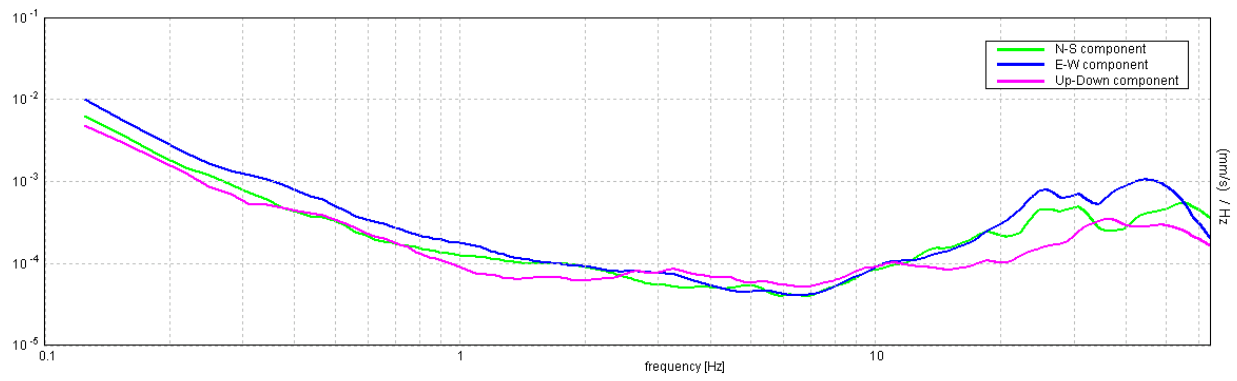
**SERIE TEMPORALE H/V**



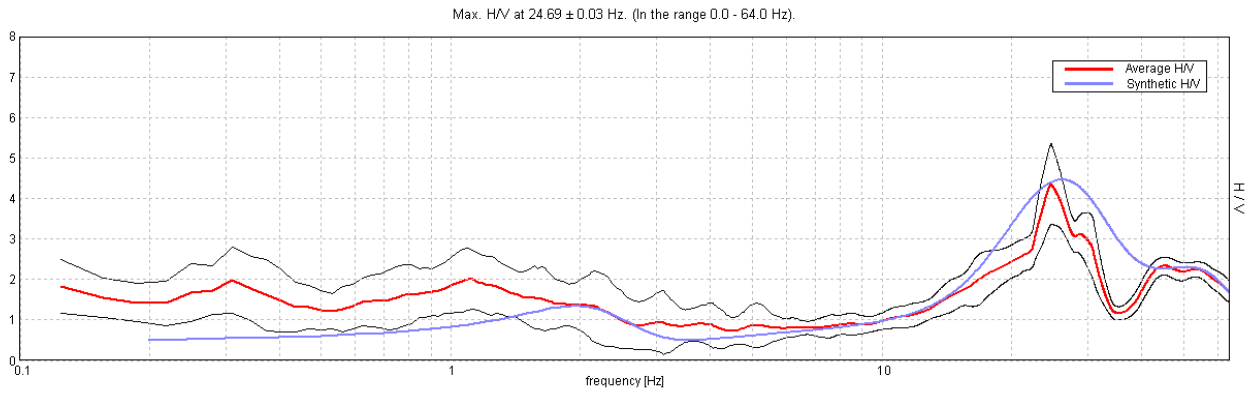
**DIREZIONALITA' H/V**



SPETTRI DELLE SINGOLE COMPONENTI

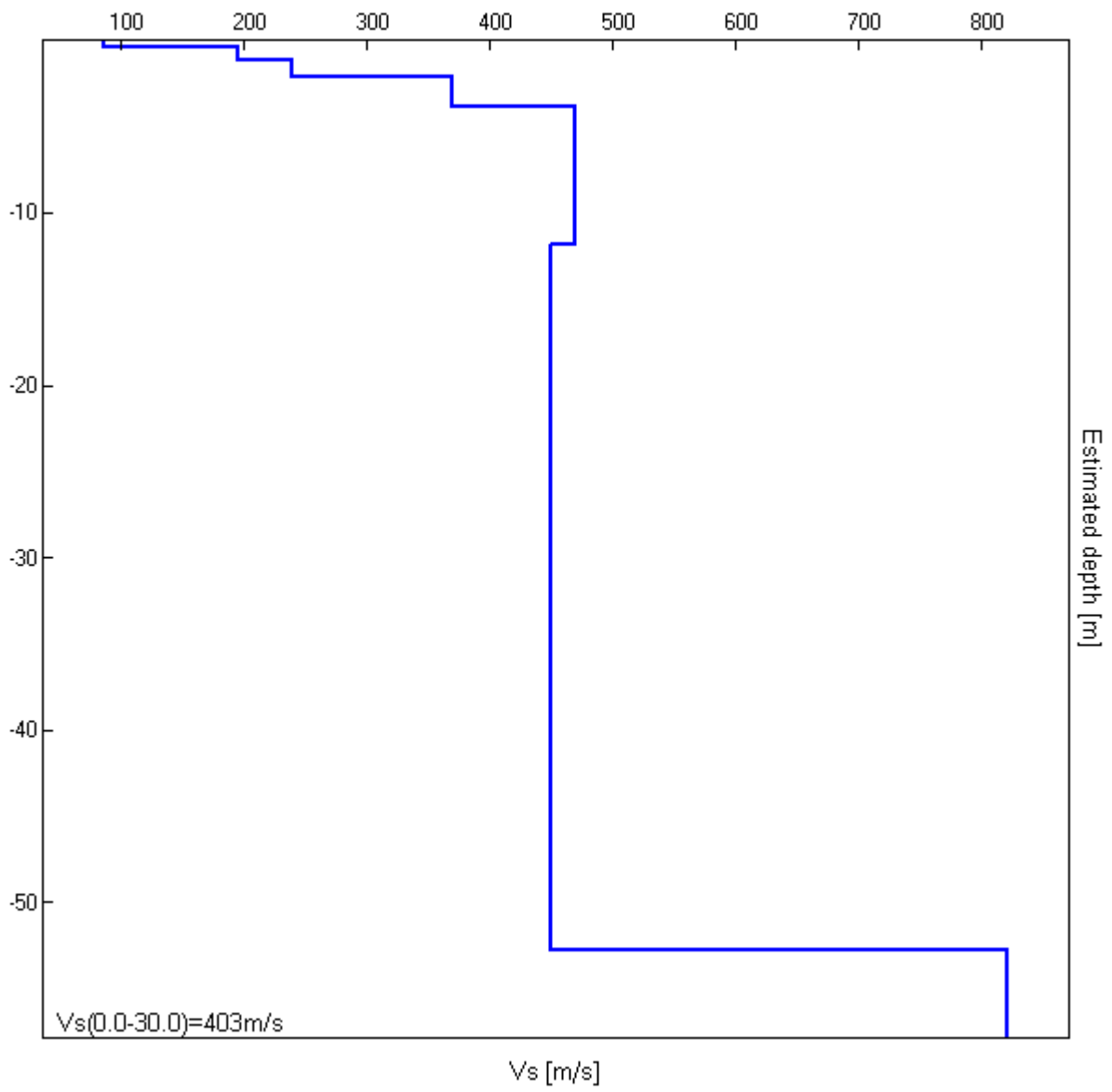


H/V SPERIMENTALE vs. H/V SINTETICO



Profondità alla base dello strato [m]	Spessore [m]	Vs [m/s]	Rapporto di Poisson
0.40	0.40	87	0.35
1.10	0.70	195	0.35
2.10	1.00	240	0.35
3.80	1.70	370	0.35
11.80	8.00	470	0.35
52.80	41.00	450	0.35
inf.	inf.	820	0.35

Vs(0.0-30.0)=403m/s



[Secondo le linee guida SESAME, 2005]

**Picco H/V a 24.69 ± 0.03 Hz (nell'intervallo 0.0 - 64.0 Hz).**

**Criteri per una curva H/V affidabile**  
[Tutti 3 dovrebbero risultare soddisfatti]

$f_0 > 10 / L_w$	24.69 > 0.50	OK	
$n_c(f_0) > 200$	15800.0 > 200	OK	
$\sigma_A(f) < 2$ per $0.5f_0 < f < 2f_0$ se $f_0 > 0.5\text{Hz}$ $\sigma_A(f) < 3$ per $0.5f_0 < f < 2f_0$ se $f_0 < 0.5\text{Hz}$	Superato 0 volte su 1186	OK	

**Criteri per un picco H/V chiaro**  
[Almeno 5 su 6 dovrebbero essere soddisfatti]

<b>Esiste <math>f^-</math> in <math>[f_0/4, f_0]</math>   <math>A_{H/V}(f^-) &lt; A_0 / 2</math></b>	17.844 Hz	OK	
<b>Esiste <math>f^+</math> in <math>[f_0, 4f_0]</math>   <math>A_{H/V}(f^+) &lt; A_0 / 2</math></b>	31.813 Hz	OK	
$A_0 > 2$	4.36 > 2	OK	
$f_{\text{picco}}[A_{H/V}(f) \pm \sigma_A(f)] = f_0 \pm 5\%$	0.00052  < 0.05	OK	
$\sigma_f < \varepsilon(f_0)$	0.01288 < 1.23438	OK	
$\sigma_A(f_0) < \theta(f_0)$	0.4781 < 1.58	OK	

$L_w$	lunghezza della finestra
$n_w$	numero di finestre usate nell'analisi
$n_c = L_w n_w f_0$	numero di cicli significativi
$f$	frequenza attuale
$f_0$	frequenza del picco H/V
$\sigma_f$	deviazione standard della frequenza del picco H/V
$\varepsilon(f_0)$	valore di soglia per la condizione di stabilità $\sigma_f < \varepsilon(f_0)$
$A_0$	ampiezza della curva H/V alla frequenza $f_0$
$A_{H/V}(f)$	ampiezza della curva H/V alla frequenza $f$
$f^-$	frequenza tra $f_0/4$ e $f_0$ alla quale $A_{H/V}(f^-) < A_0/2$
$f^+$	frequenza tra $f_0$ e $4f_0$ alla quale $A_{H/V}(f^+) < A_0/2$
$\sigma_A(f)$	deviazione standard di $A_{H/V}(f)$ , $\sigma_A(f)$ è il fattore per il quale la curva $A_{H/V}(f)$ media deve essere moltiplicata o divisa
$\sigma_{\log H/V}(f)$	deviazione standard della funzione $\log A_{H/V}(f)$
$\theta(f_0)$	valore di soglia per la condizione di stabilità $\sigma_A(f) < \theta(f_0)$

Valori di soglia per $\sigma_f$ e $\sigma_A(f_0)$					
Intervallo di freq. [Hz]	< 0.2	0.2 – 0.5	0.5 – 1.0	1.0 – 2.0	> 2.0
$\varepsilon(f_0)$ [Hz]	0.25 $f_0$	0.2 $f_0$	0.15 $f_0$	0.10 $f_0$	0.05 $f_0$
$\theta(f_0)$ per $\sigma_A(f_0)$	3.0	2.5	2.0	1.78	1.58
$\log \theta(f_0)$ per $\sigma_{\log H/V}(f_0)$	0.48	0.40	0.30	0.25	0.20

**FELI\_1158, FELINO T13**

Strumento: TRZ-0091/01-10

Inizio registrazione: 27/01/12 16:45:23 Fine registrazione: 27/01/12 16:59:24

Nomi canali: NORTH SOUTH; EAST WEST ; UP DOWN

Dato GPS non disponibile

Durata registrazione: 0h14'00".

Analizzato 83% tracciato (selezione manuale)

Freq. campionamento: 128 Hz

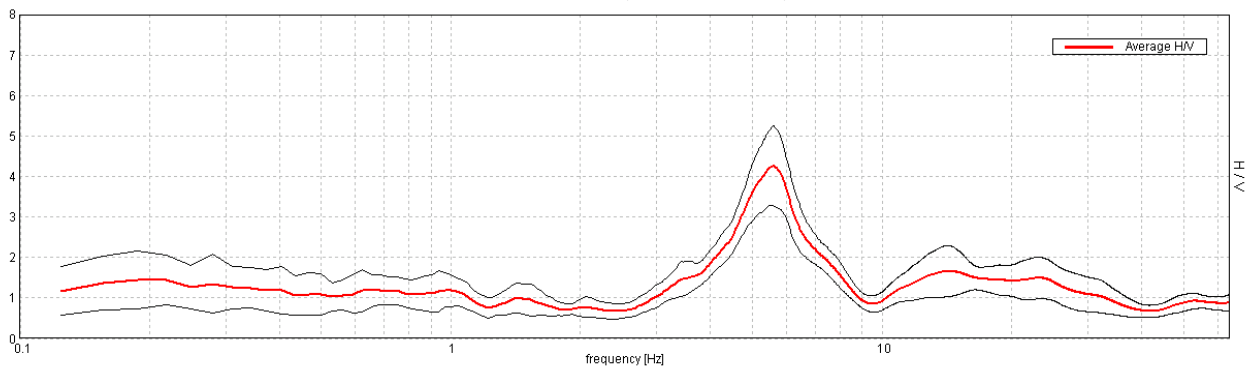
Lunghezza finestre: 20 s

Tipo di lisciamento: Triangular window

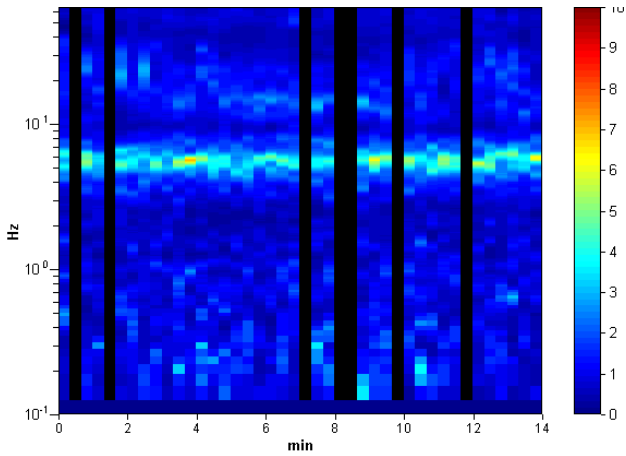
Lisciamento: 10%

**RAPPORTO SPETTRALE ORIZZONTALE SU VERTICALE**

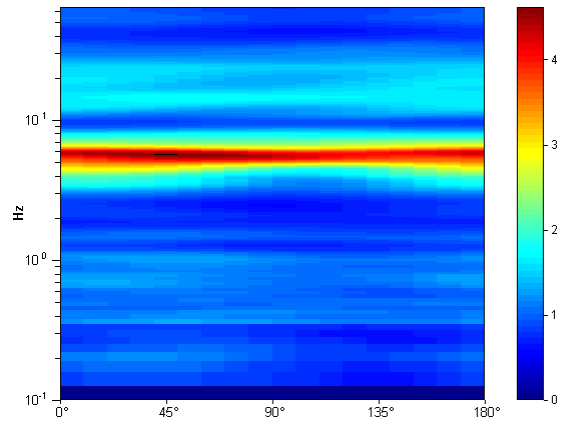
Picco H/V a  $5.63 \pm 0.08$  Hz (nell'intervallo 0.0 - 64.0 Hz).



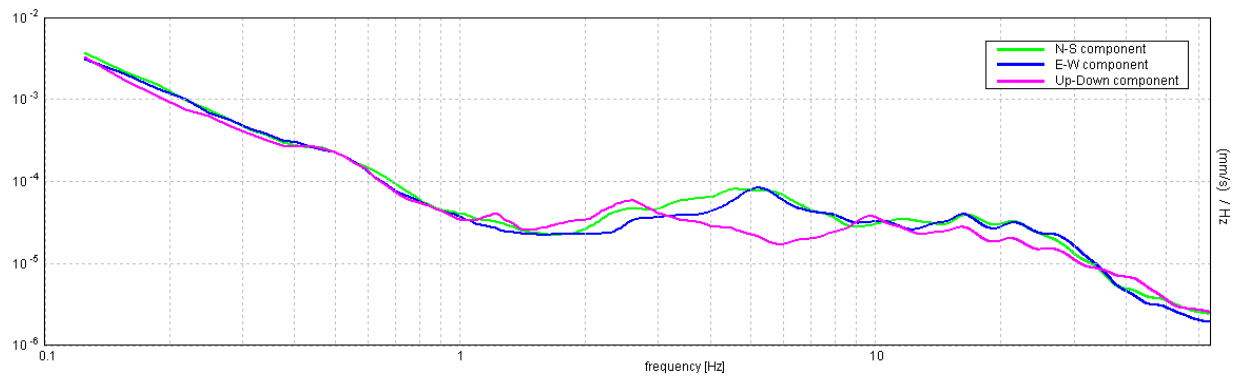
**SERIE TEMPORALE H/V**



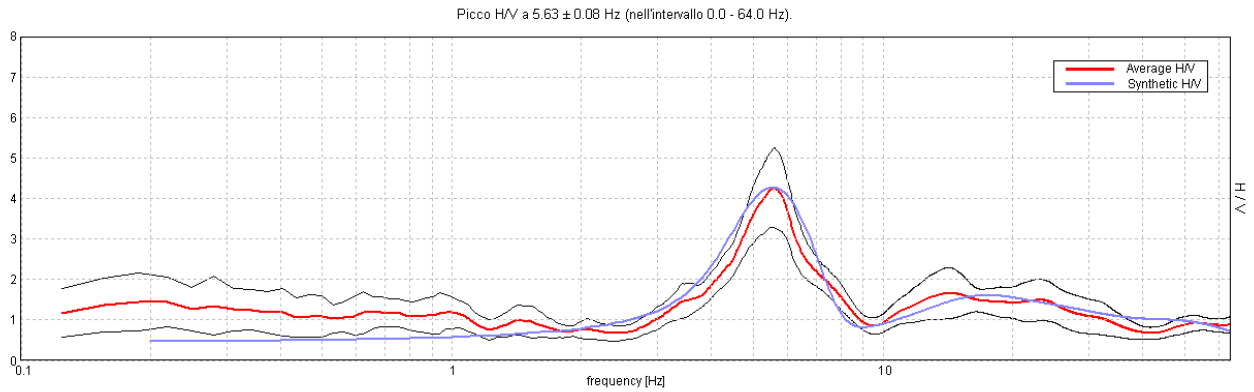
**DIREZIONALITA' H/V**



SPETTRI DELLE SINGOLE COMPONENTI



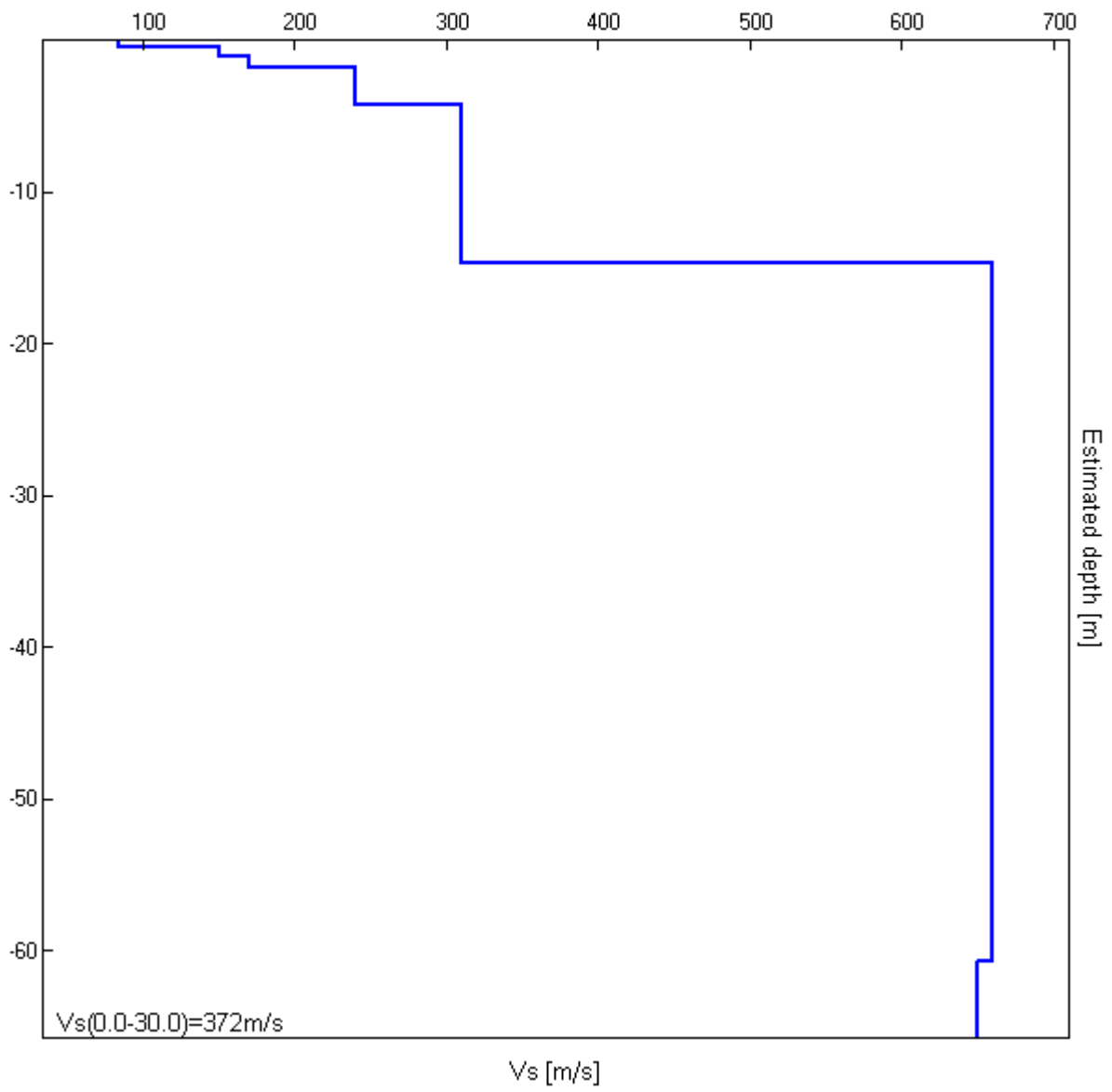
H/V SPERIMENTALE vs. H/V SINTETICO



Profondità alla base dello strato [m]	Spessore [m]	Vs [m/s]	Rapporto di Poisson
0.40	0.40	84	0.35
1.10	0.70	150	0.35
1.80	0.70	170	0.35
4.20	2.40	240	0.35
14.70	10.50	310	0.35
60.70	46.00	660	0.35
inf.	inf.	650	0.35

Vs(0.0-30.0)=372m/s





[Secondo le linee guida SESAME, 2005]

**Picco H/V a 5.63 ± 0.08 Hz (nell'intervallo 0.0 - 64.0 Hz).**

**Criteri per una curva H/V affidabile**  
[Tutti 3 dovrebbero risultare soddisfatti]

$f_0 > 10 / L_w$	5.63 > 0.50	OK	
$n_c(f_0) > 200$	3937.5 > 200	OK	
$\sigma_A(f) < 2$ per $0.5f_0 < f < 2f_0$ se $f_0 > 0.5\text{Hz}$ $\sigma_A(f) < 3$ per $0.5f_0 < f < 2f_0$ se $f_0 < 0.5\text{Hz}$	Superato 0 volte su 271	OK	

**Criteri per un picco H/V chiaro**  
[Almeno 5 su 6 dovrebbero essere soddisfatti]

<b>Esiste <math>f^-</math> in <math>[f_0/4, f_0]</math>   <math>A_{H/V}(f^-) &lt; A_0 / 2</math></b>	4.188 Hz	OK	
<b>Esiste <math>f^+</math> in <math>[f_0, 4f_0]</math>   <math>A_{H/V}(f^+) &lt; A_0 / 2</math></b>	7.125 Hz	OK	
$A_0 > 2$	4.27 > 2	OK	
$f_{\text{picco}}[A_{H/V}(f) \pm \sigma_A(f)] = f_0 \pm 5\%$	$ 0.00647  < 0.05$	OK	
$\sigma_f < \varepsilon(f_0)$	0.0364 < 0.28125	OK	
$\sigma_A(f_0) < \theta(f_0)$	0.4833 < 1.58	OK	

$L_w$	lunghezza della finestra
$n_w$	numero di finestre usate nell'analisi
$n_c = L_w n_w f_0$	numero di cicli significativi
$f$	frequenza attuale
$f_0$	frequenza del picco H/V
$\sigma_f$	deviazione standard della frequenza del picco H/V
$\varepsilon(f_0)$	valore di soglia per la condizione di stabilità $\sigma_f < \varepsilon(f_0)$
$A_0$	ampiezza della curva H/V alla frequenza $f_0$
$A_{H/V}(f)$	ampiezza della curva H/V alla frequenza $f$
$f^-$	frequenza tra $f_0/4$ e $f_0$ alla quale $A_{H/V}(f^-) < A_0/2$
$f^+$	frequenza tra $f_0$ e $4f_0$ alla quale $A_{H/V}(f^+) < A_0/2$
$\sigma_A(f)$	deviazione standard di $A_{H/V}(f)$ , $\sigma_A(f)$ è il fattore per il quale la curva $A_{H/V}(f)$ media deve essere moltiplicata o divisa
$\sigma_{\log H/V}(f)$	deviazione standard della funzione $\log A_{H/V}(f)$
$\theta(f_0)$	valore di soglia per la condizione di stabilità $\sigma_A(f) < \theta(f_0)$

Valori di soglia per $\sigma_f$ e $\sigma_A(f_0)$					
Intervallo di freq. [Hz]	< 0.2	0.2 – 0.5	0.5 – 1.0	1.0 – 2.0	> 2.0
$\varepsilon(f_0)$ [Hz]	0.25 $f_0$	0.2 $f_0$	0.15 $f_0$	0.10 $f_0$	0.05 $f_0$
$\theta(f_0)$ per $\sigma_A(f_0)$	3.0	2.5	2.0	1.78	1.58
$\log \theta(f_0)$ per $\sigma_{\log H/V}(f_0)$	0.48	0.40	0.30	0.25	0.20

**FELI\_1158, FELINO T14**

Strumento: TRZ-0091/01-10

Inizio registrazione: 27/01/12 17:10:13 Fine registrazione: 27/01/12 17:24:14

Nomi canali: NORTH SOUTH; EAST WEST ; UP DOWN

Dato GPS non disponibile

Durata registrazione: 0h14'00".

Analizzato 83% tracciato (selezione manuale)

Freq. campionamento: 128 Hz

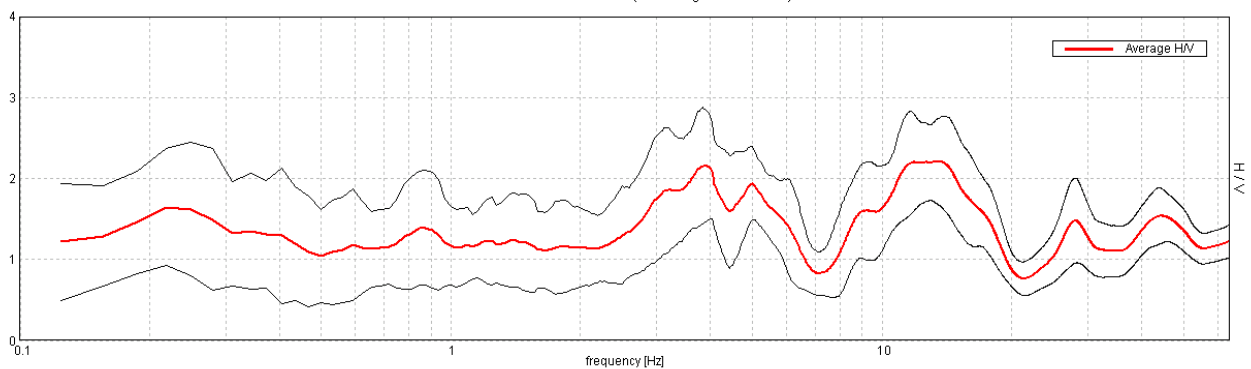
Lunghezza finestre: 20 s

Tipo di lisciamento: Triangular window

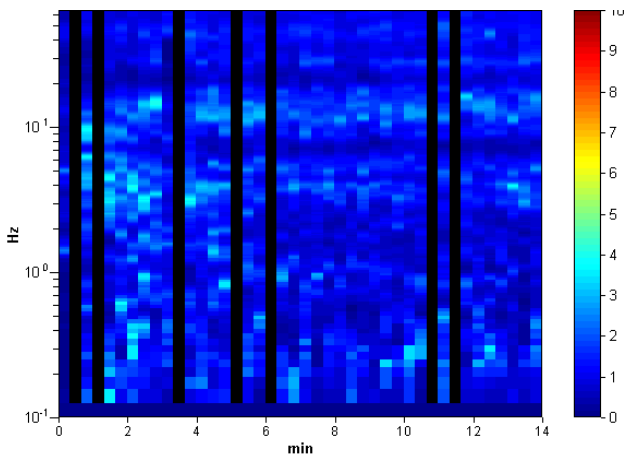
Lisciamento: 10%

**RAPPORTO SPETTRALE ORIZZONTALE SU VERTICALE**

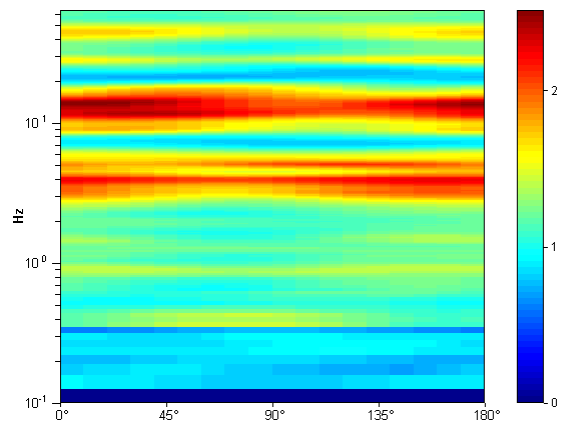
Max. H/V at 13.38 ± 2.82 Hz. (In the range 0.0 - 64.0 Hz).



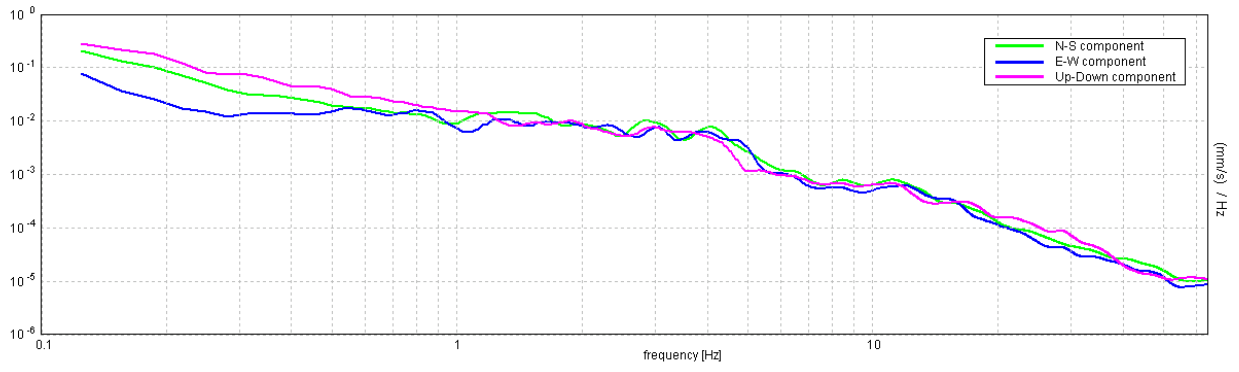
**SERIE TEMPORALE H/V**



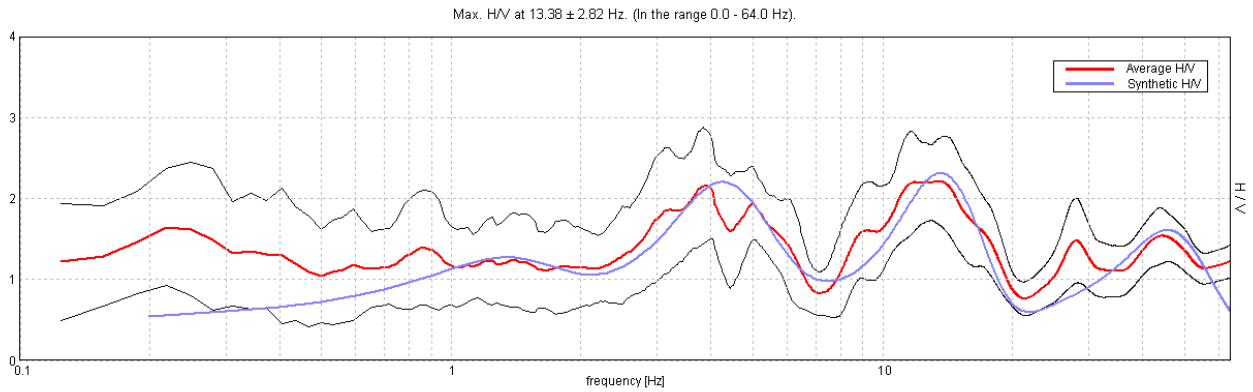
**DIREZIONALITA' H/V**



SPETTRI DELLE SINGOLE COMPONENTI

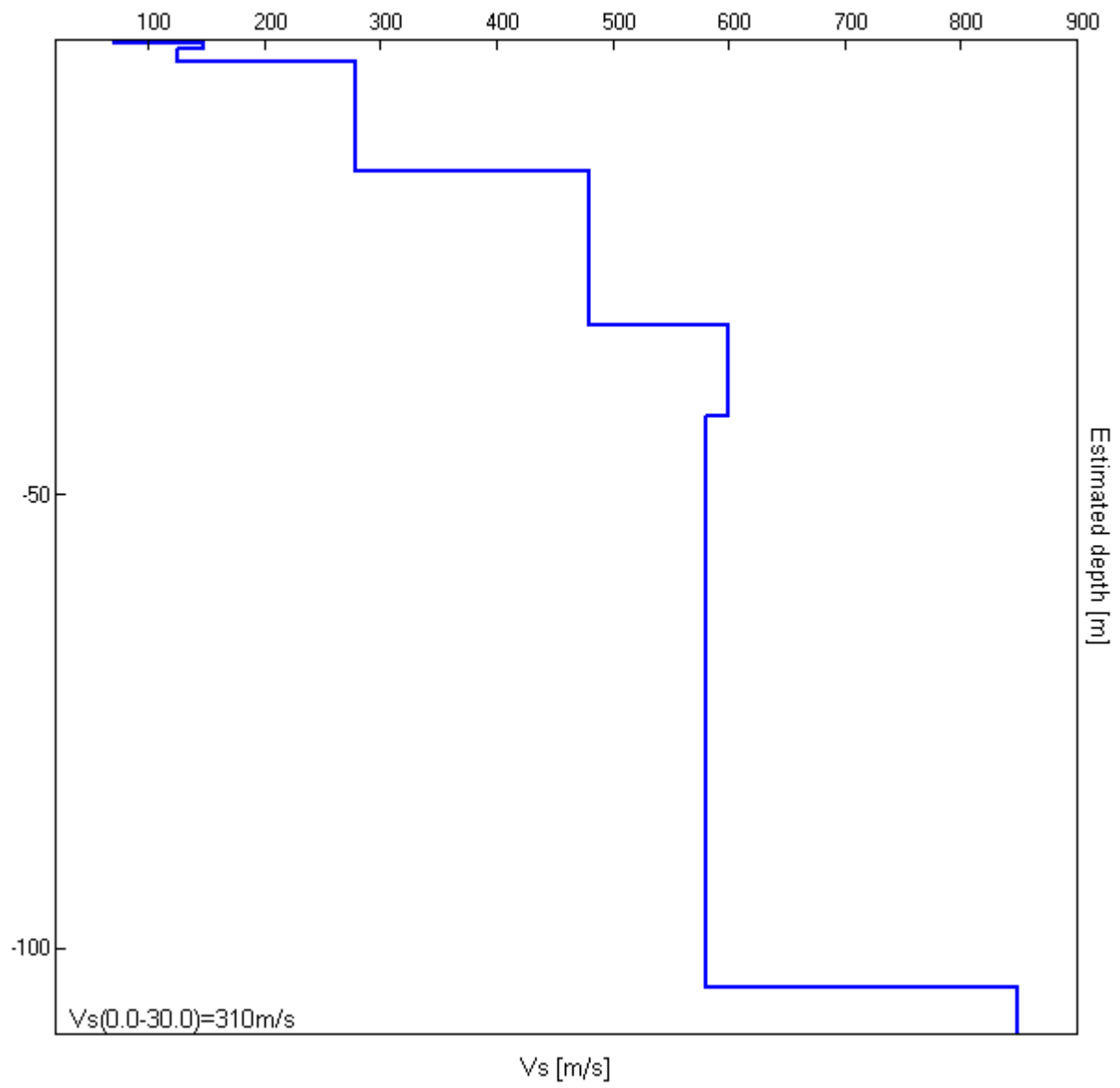


### H/V SPERIMENTALE vs. H/V SINTETICO



Profondità alla base dello strato [m]	Spessore [m]	Vs [m/s]	Rapporto di Poisson
0.40	0.40	70	0.35
1.00	0.60	148	0.35
2.40	1.40	125	0.35
14.40	12.00	278	0.35
31.40	17.00	480	0.35
41.40	10.00	600	0.35
104.40	63.00	580	0.35
inf.	inf.	850	0.35

Vs(0.0-30.0)=310m/s



[Secondo le linee guida SESAME, 2005]

**Picco H/V a 13.38 ± 2.82 Hz (nell'intervallo 0.0 - 64.0 Hz).**

**Criteri per una curva H/V affidabile**  
[Tutti 3 dovrebbero risultare soddisfatti]

$f_0 > 10 / L_w$	13.38 > 0.50	OK	
$n_c(f_0) > 200$	9362.5 > 200	OK	
$\sigma_A(f) < 2$ per $0.5f_0 < f < 2f_0$ se $f_0 > 0.5\text{Hz}$ $\sigma_A(f) < 3$ per $0.5f_0 < f < 2f_0$ se $f_0 < 0.5\text{Hz}$	Superato 0 volte su 643	OK	

**Criteri per un picco H/V chiaro**  
[Almeno 5 su 6 dovrebbero essere soddisfatti]

<b>Esiste <math>f^-</math> in <math>[f_0/4, f_0]</math>   <math>A_{H/V}(f^-) &lt; A_0 / 2</math></b>	8.0 Hz	OK	
<b>Esiste <math>f^+</math> in <math>[f_0, 4f_0]</math>   <math>A_{H/V}(f^+) &lt; A_0 / 2</math></b>	19.063 Hz	OK	
$A_0 > 2$	2.21 > 2	OK	
$f_{\text{picco}}[A_{H/V}(f) \pm \sigma_A(f)] = f_0 \pm 5\%$	$ 0.10217  < 0.05$		NO
$\sigma_f < \varepsilon(f_0)$	1.36654 < 0.66875		NO
$\sigma_A(f_0) < \theta(f_0)$	0.2518 < 1.58	OK	

$L_w$	lunghezza della finestra
$n_w$	numero di finestre usate nell'analisi
$n_c = L_w n_w f_0$	numero di cicli significativi
$f$	frequenza attuale
$f_0$	frequenza del picco H/V
$\sigma_f$	deviazione standard della frequenza del picco H/V
$\varepsilon(f_0)$	valore di soglia per la condizione di stabilità $\sigma_f < \varepsilon(f_0)$
$A_0$	ampiezza della curva H/V alla frequenza $f_0$
$A_{H/V}(f)$	ampiezza della curva H/V alla frequenza $f$
$f^-$	frequenza tra $f_0/4$ e $f_0$ alla quale $A_{H/V}(f^-) < A_0/2$
$f^+$	frequenza tra $f_0$ e $4f_0$ alla quale $A_{H/V}(f^+) < A_0/2$
$\sigma_A(f)$	deviazione standard di $A_{H/V}(f)$ , $\sigma_A(f)$ è il fattore per il quale la curva $A_{H/V}(f)$ media deve essere moltiplicata o divisa
$\sigma_{\log H/V}(f)$	deviazione standard della funzione $\log A_{H/V}(f)$
$\theta(f_0)$	valore di soglia per la condizione di stabilità $\sigma_A(f) < \theta(f_0)$

Valori di soglia per $\sigma_f$ e $\sigma_A(f_0)$					
Intervallo di freq. [Hz]	< 0.2	0.2 – 0.5	0.5 – 1.0	1.0 – 2.0	> 2.0
$\varepsilon(f_0)$ [Hz]	0.25 $f_0$	0.2 $f_0$	0.15 $f_0$	0.10 $f_0$	0.05 $f_0$
$\theta(f_0)$ per $\sigma_A(f_0)$	3.0	2.5	2.0	1.78	1.58
$\log \theta(f_0)$ per $\sigma_{\log H/V}(f_0)$	0.48	0.40	0.30	0.25	0.20

## FELI\_1158, FELINO T15

Strumento: TRZ-0091/01-10

Inizio registrazione: 27/01/12 17:37:57 Fine registrazione: 27/01/12 17:51:58

Nomi canali: NORTH SOUTH; EAST WEST ; UP DOWN

Dato GPS non disponibile

Durata registrazione: 0h14'00".

Analizzato 86% tracciato (selezione manuale)

Freq. campionamento: 128 Hz

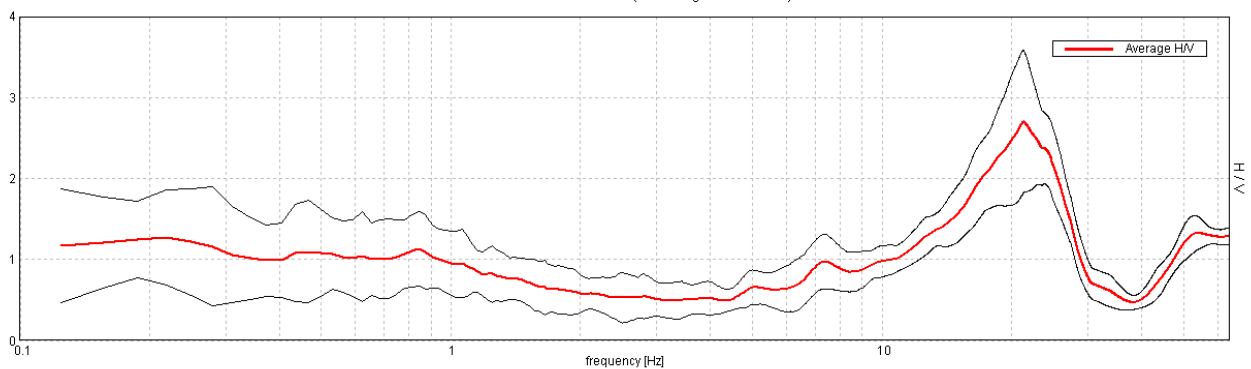
Lunghezza finestre: 20 s

Tipo di lisciamento: Triangular window

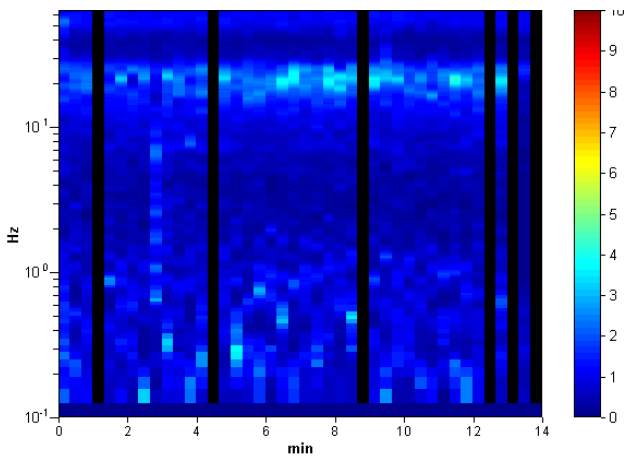
Lisciamento: 10%

### RAPPORTO SPETTRALE ORIZZONTALE SU VERTICALE

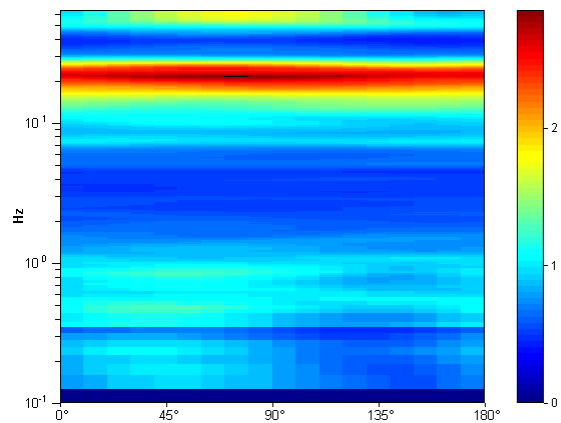
Max. H/V at 21.31 ± 1.29 Hz. (In the range 0.0 - 64.0 Hz).



### SERIE TEMPORALE H/V

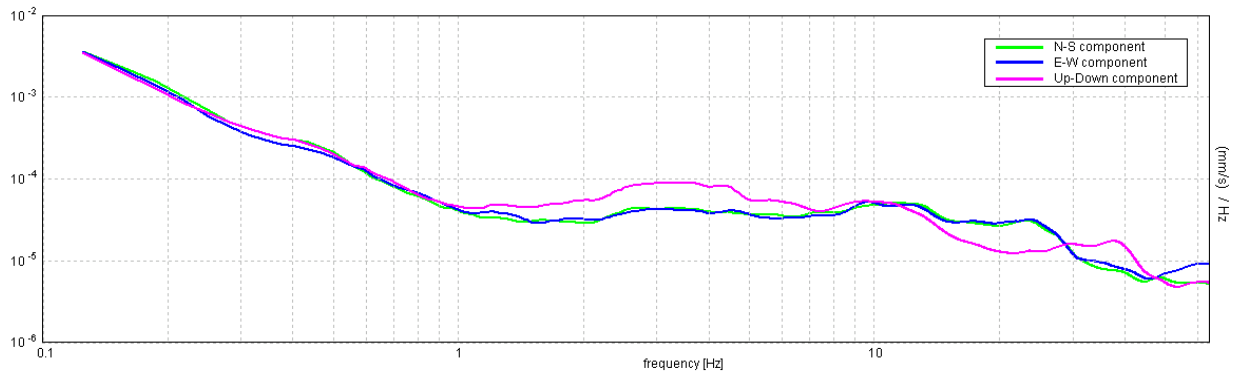


### DIREZIONALITA' H/V

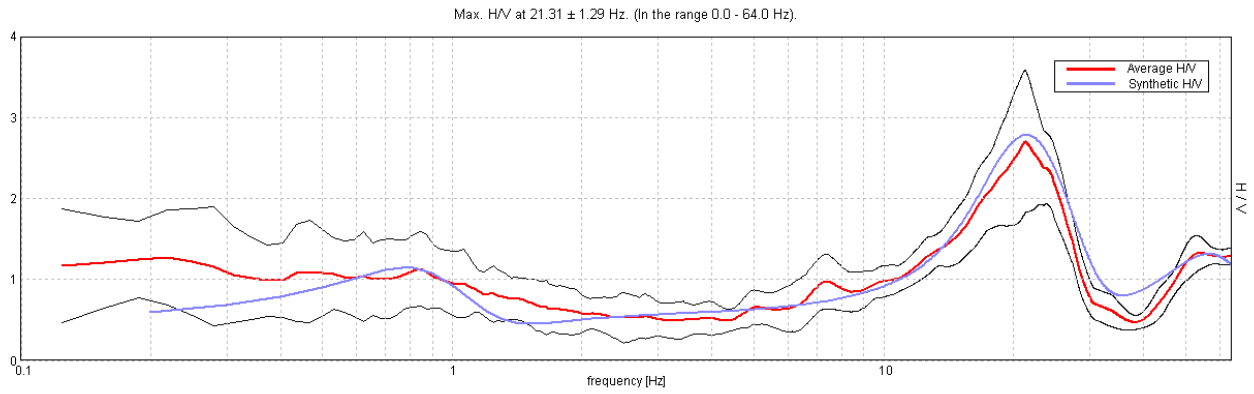




SPETTRI DELLE SINGOLE COMPONENTI

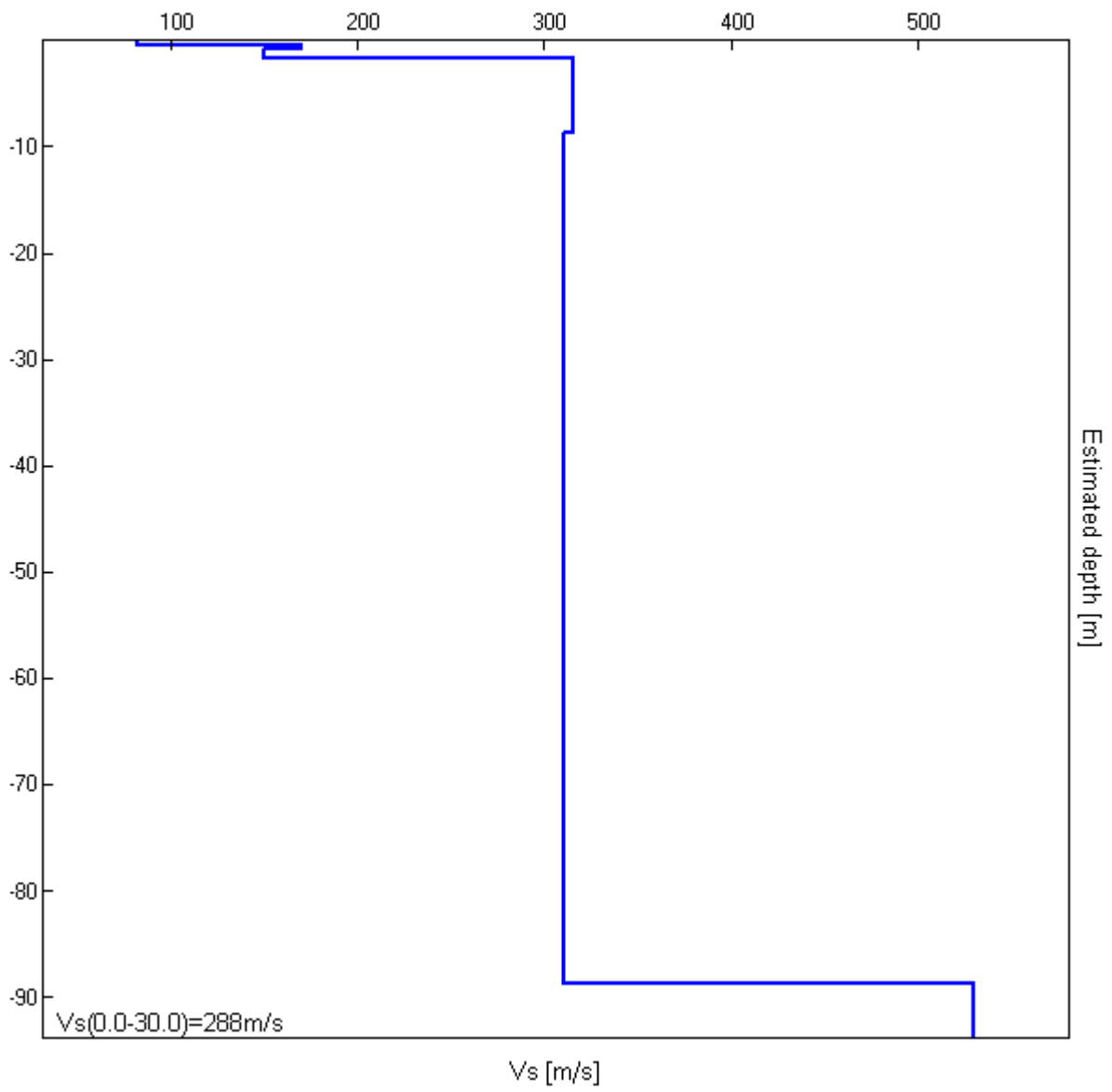


### H/V SPERIMENTALE vs. H/V SINTETICO



Profondità alla base dello strato [m]	Spessore [m]	Vs [m/s]	Rapporto di Poisson
0.38	0.38	82	0.35
0.88	0.50	170	0.35
1.78	0.90	150	0.35
8.78	7.00	315	0.35
88.78	80.00	310	0.35
inf.	inf.	530	0.35

Vs(0.0-30.0)=288m/s



[Secondo le linee guida SESAME, 2005]

**Picco H/V a 21.31 ± 1.29 Hz (nell'intervallo 0.0 - 64.0 Hz).**

**Criteri per una curva H/V affidabile**  
[Tutti 3 dovrebbero risultare soddisfatti]

$f_0 > 10 / L_w$	21.31 > 0.50	OK	
$n_c(f_0) > 200$	15345.0 > 200	OK	
$\sigma_A(f) < 2$ per $0.5f_0 < f < 2f_0$ se $f_0 > 0.5\text{Hz}$ $\sigma_A(f) < 3$ per $0.5f_0 < f < 2f_0$ se $f_0 < 0.5\text{Hz}$	Superato 0 volte su 1024	OK	

**Criteri per un picco H/V chiaro**  
[Almeno 5 su 6 dovrebbero essere soddisfatti]

<b>Esiste <math>f^-</math> in <math>[f_0/4, f_0]</math>   <math>A_{H/V}(f^-) &lt; A_0 / 2</math></b>	13.219 Hz	OK	
<b>Esiste <math>f^+</math> in <math>[f_0, 4f_0]</math>   <math>A_{H/V}(f^+) &lt; A_0 / 2</math></b>	27.781 Hz	OK	
$A_0 > 2$	2.71 > 2	OK	
$f_{\text{picco}}[A_{H/V}(f) \pm \sigma_A(f)] = f_0 \pm 5\%$	0.0294  < 0.05	OK	
$\sigma_f < \varepsilon(f_0)$	0.62664 < 1.06563	OK	
$\sigma_A(f_0) < \theta(f_0)$	0.4271 < 1.58	OK	

$L_w$	lunghezza della finestra
$n_w$	numero di finestre usate nell'analisi
$n_c = L_w n_w f_0$	numero di cicli significativi
$f$	frequenza attuale
$f_0$	frequenza del picco H/V
$\sigma_f$	deviazione standard della frequenza del picco H/V
$\varepsilon(f_0)$	valore di soglia per la condizione di stabilità $\sigma_f < \varepsilon(f_0)$
$A_0$	ampiezza della curva H/V alla frequenza $f_0$
$A_{H/V}(f)$	ampiezza della curva H/V alla frequenza $f$
$f^-$	frequenza tra $f_0/4$ e $f_0$ alla quale $A_{H/V}(f^-) < A_0/2$
$f^+$	frequenza tra $f_0$ e $4f_0$ alla quale $A_{H/V}(f^+) < A_0/2$
$\sigma_A(f)$	deviazione standard di $A_{H/V}(f)$ , $\sigma_A(f)$ è il fattore per il quale la curva $A_{H/V}(f)$ media deve essere moltiplicata o divisa
$\sigma_{\log H/V}(f)$	deviazione standard della funzione $\log A_{H/V}(f)$
$\theta(f_0)$	valore di soglia per la condizione di stabilità $\sigma_A(f) < \theta(f_0)$

Valori di soglia per $\sigma_f$ e $\sigma_A(f_0)$					
Intervallo di freq. [Hz]	< 0.2	0.2 – 0.5	0.5 – 1.0	1.0 – 2.0	> 2.0
$\varepsilon(f_0)$ [Hz]	0.25 $f_0$	0.2 $f_0$	0.15 $f_0$	0.10 $f_0$	0.05 $f_0$
$\theta(f_0)$ per $\sigma_A(f_0)$	3.0	2.5	2.0	1.78	1.58
$\log \theta(f_0)$ per $\sigma_{\log H/V}(f_0)$	0.48	0.40	0.30	0.25	0.20

**FELI\_1158, FELINO T16**

Strumento: TRZ-0091/01-10

Inizio registrazione: 27/01/12 18:04:22 Fine registrazione: 27/01/12 18:18:23

Nomi canali: NORTH SOUTH; EAST WEST ; UP DOWN

Dato GPS non disponibile

Durata registrazione: 0h14'00".

Analisi effettuata sull'intera traccia.

Freq. campionamento: 128 Hz

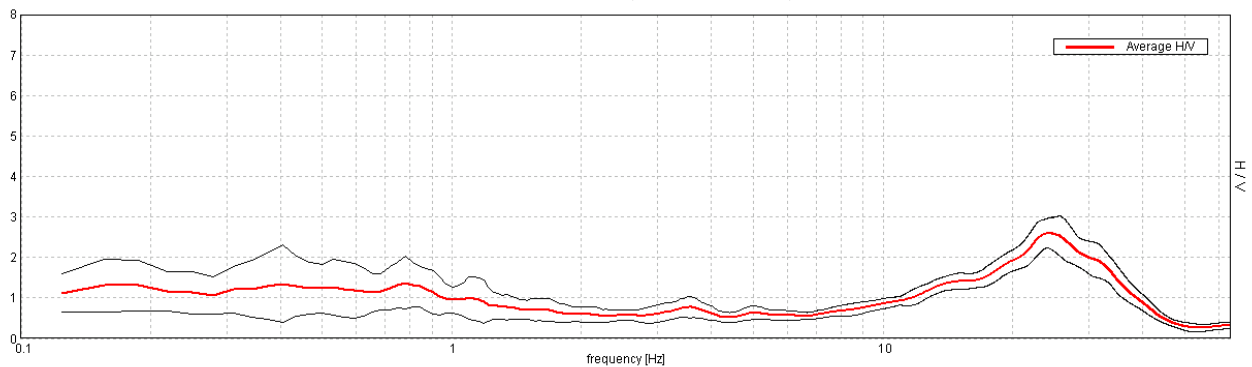
Lunghezza finestre: 20 s

Tipo di lisciamento: Triangular window

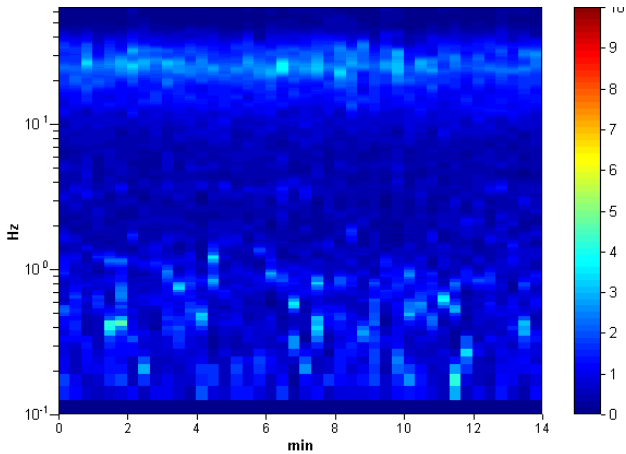
Lisciamento: 10%

**RAPPORTO SPETTRALE ORIZZONTALE SU VERTICALE**

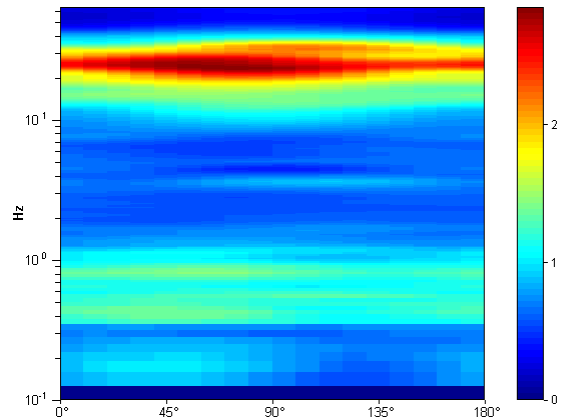
Picco H/V a  $24.28 \pm 0.23$  Hz (nell'intervallo 0.0 - 64.0 Hz).



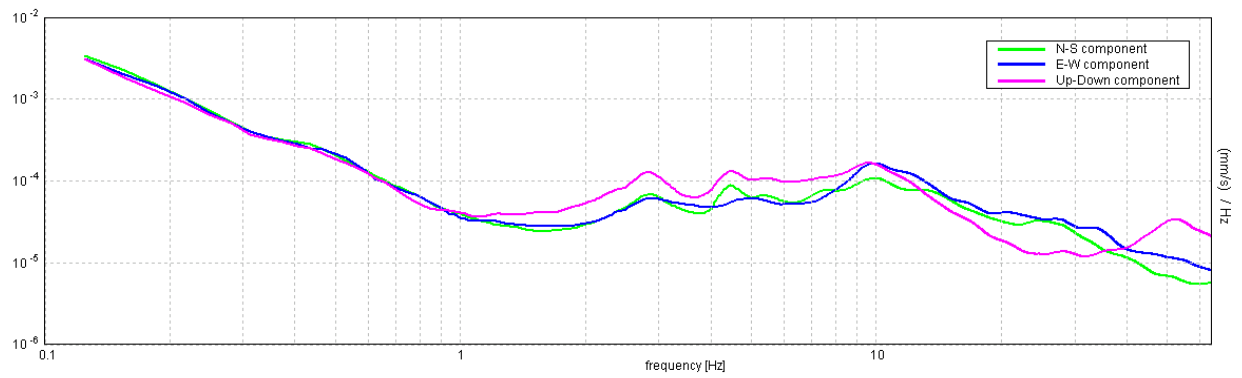
**SERIE TEMPORALE H/V**



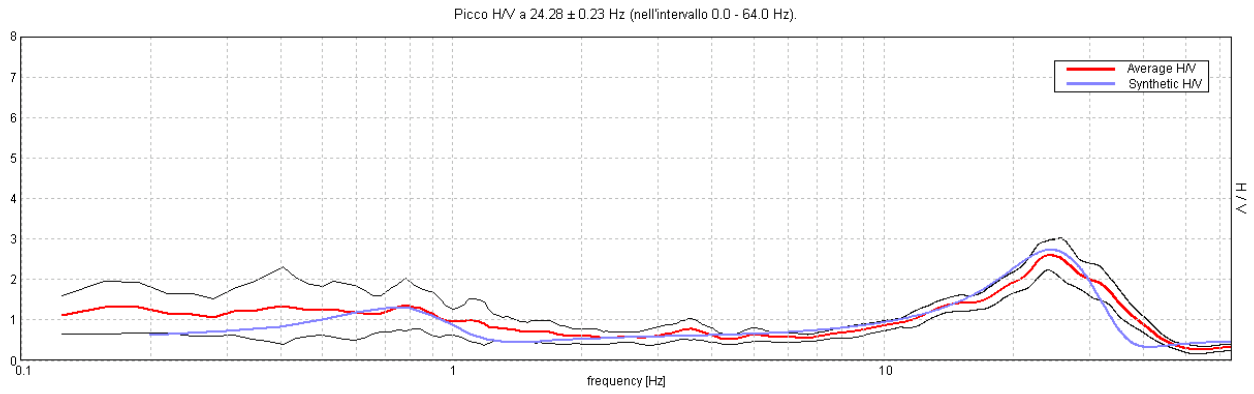
**DIREZIONALITA' H/V**



### SPETTRI DELLE SINGOLE COMPONENTI

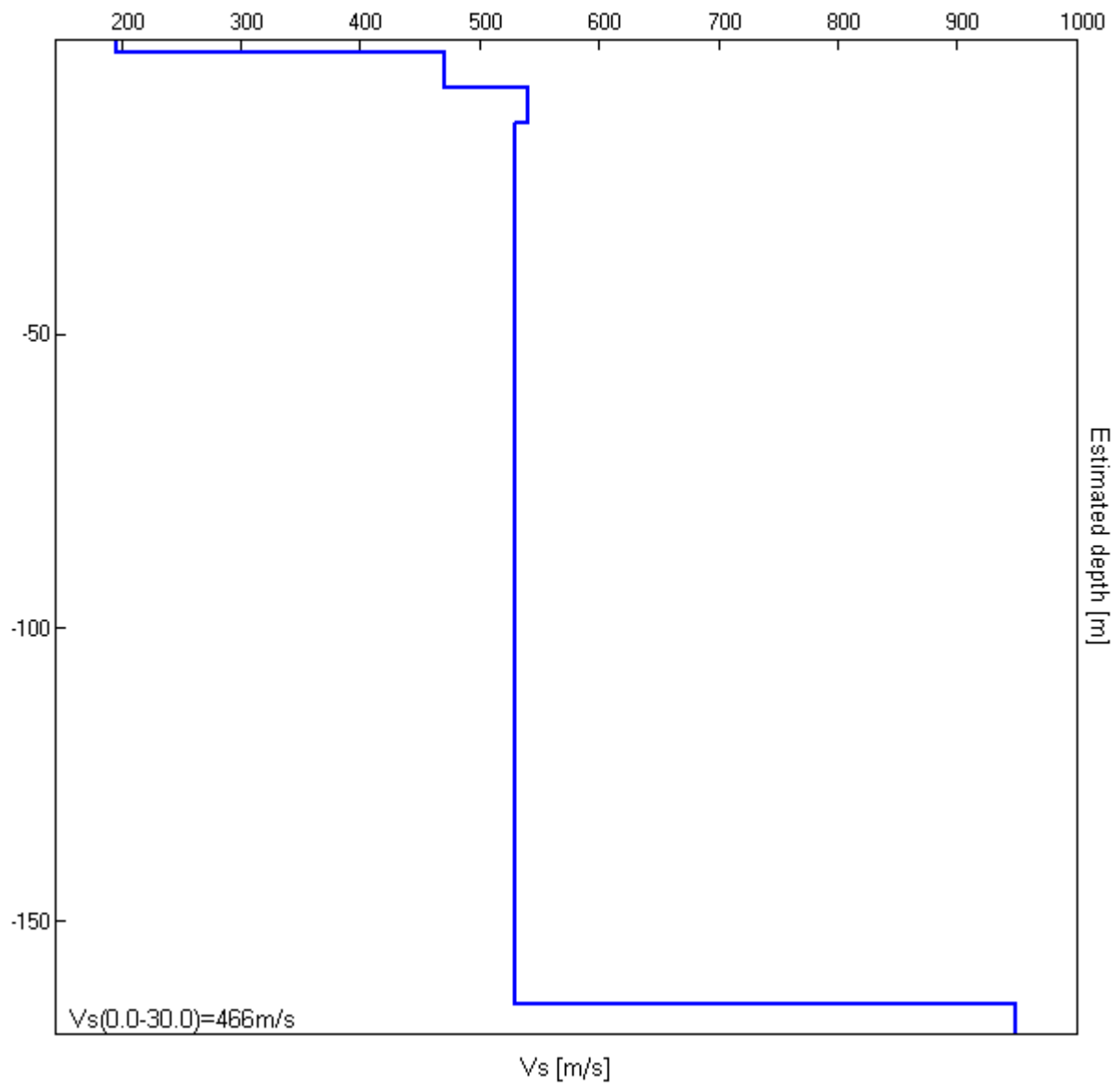


### H/V SPERIMENTALE vs. H/V SINTETICO



Profondità alla base dello strato [m]	Spessore [m]	Vs [m/s]	Rapporto di Poisson
2.00	2.00	195	0.35
8.00	6.00	470	0.35
14.00	6.00	540	0.35
164.00	150.00	530	0.35
inf.	inf.	950	0.35

Vs(0.0-30.0)=466m/s





[Secondo le linee guida SESAME, 2005]

**Picco H/V a 24.28 ± 0.23 Hz (nell'intervallo 0.0 - 64.0 Hz).**

**Criteri per una curva H/V affidabile**  
[Tutti 3 dovrebbero risultare soddisfatti]

$f_0 > 10 / L_w$	24.28 > 0.50	OK	
$n_c(f_0) > 200$	20396.3 > 200	OK	
$\sigma_A(f) < 2$ per $0.5f_0 < f < 2f_0$ se $f_0 > 0.5\text{Hz}$ $\sigma_A(f) < 3$ per $0.5f_0 < f < 2f_0$ se $f_0 < 0.5\text{Hz}$	Superato 0 volte su 1166	OK	

**Criteri per un picco H/V chiaro**  
[Almeno 5 su 6 dovrebbero essere soddisfatti]

<b>Esiste <math>f^-</math> in <math>[f_0/4, f_0]</math>   <math>A_{H/V}(f^-) &lt; A_0 / 2</math></b>	13.406 Hz	OK	
<b>Esiste <math>f^+</math> in <math>[f_0, 4f_0]</math>   <math>A_{H/V}(f^+) &lt; A_0 / 2</math></b>	36.0 Hz	OK	
$A_0 > 2$	2.60 > 2	OK	
$f_{\text{picco}}[A_{H/V}(f) \pm \sigma_A(f)] = f_0 \pm 5\%$	$ 0.00454  < 0.05$	OK	
$\sigma_f < \varepsilon(f_0)$	0.11015 < 1.21406	OK	
$\sigma_A(f_0) < \theta(f_0)$	0.1845 < 1.58	OK	

$L_w$	lunghezza della finestra
$n_w$	numero di finestre usate nell'analisi
$n_c = L_w n_w f_0$	numero di cicli significativi
$f$	frequenza attuale
$f_0$	frequenza del picco H/V
$\sigma_f$	deviazione standard della frequenza del picco H/V
$\varepsilon(f_0)$	valore di soglia per la condizione di stabilità $\sigma_f < \varepsilon(f_0)$
$A_0$	ampiezza della curva H/V alla frequenza $f_0$
$A_{H/V}(f)$	ampiezza della curva H/V alla frequenza $f$
$f^-$	frequenza tra $f_0/4$ e $f_0$ alla quale $A_{H/V}(f^-) < A_0/2$
$f^+$	frequenza tra $f_0$ e $4f_0$ alla quale $A_{H/V}(f^+) < A_0/2$
$\sigma_A(f)$	deviazione standard di $A_{H/V}(f)$ , $\sigma_A(f)$ è il fattore per il quale la curva $A_{H/V}(f)$ media deve essere moltiplicata o divisa
$\sigma_{\log H/V}(f)$	deviazione standard della funzione $\log A_{H/V}(f)$
$\theta(f_0)$	valore di soglia per la condizione di stabilità $\sigma_A(f) < \theta(f_0)$

Valori di soglia per $\sigma_f$ e $\sigma_A(f_0)$					
Intervallo di freq. [Hz]	< 0.2	0.2 – 0.5	0.5 – 1.0	1.0 – 2.0	> 2.0
$\varepsilon(f_0)$ [Hz]	0.25 $f_0$	0.2 $f_0$	0.15 $f_0$	0.10 $f_0$	0.05 $f_0$
$\theta(f_0)$ per $\sigma_A(f_0)$	3.0	2.5	2.0	1.78	1.58
$\log \theta(f_0)$ per $\sigma_{\log H/V}(f_0)$	0.48	0.40	0.30	0.25	0.20

**FELI\_1158, FELINO T17**

Strumento: TRZ-0091/01-10

Inizio registrazione: 27/01/12 18:28:13 Fine registrazione: 27/01/12 18:42:14

Nomi canali: NORTH SOUTH; EAST WEST ; UP DOWN

Dato GPS non disponibile

Durata registrazione: 0h14'00".

Analizzato 93% tracciato (selezione manuale)

Freq. campionamento: 128 Hz

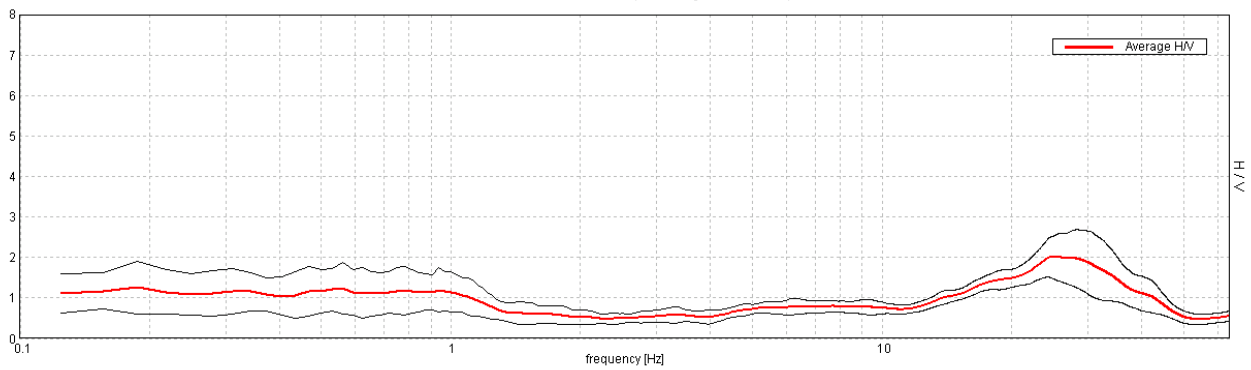
Lunghezza finestre: 20 s

Tipo di lisciamento: Triangular window

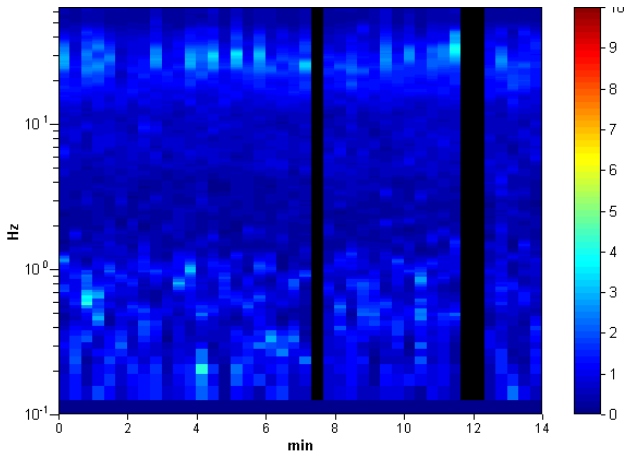
Lisciamento: 10%

**RAPPORTO SPETTRALE ORIZZONTALE SU VERTICALE**

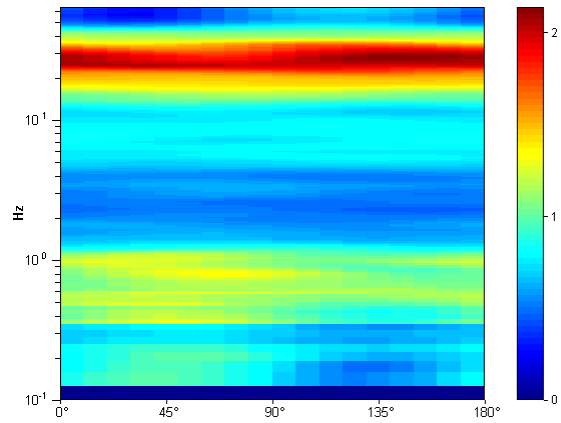
Max. H/V at 25.56 ± 0.53 Hz. (In the range 0.0 - 64.0 Hz).



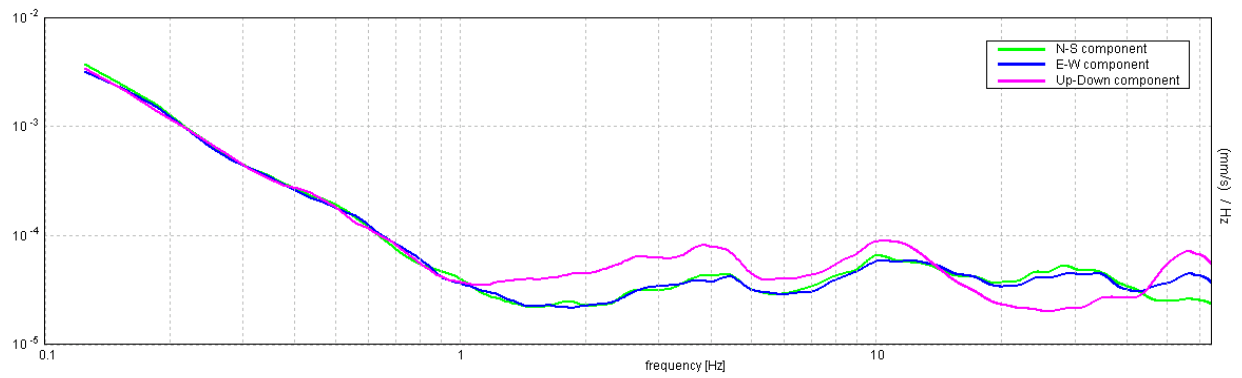
**SERIE TEMPORALE H/V**



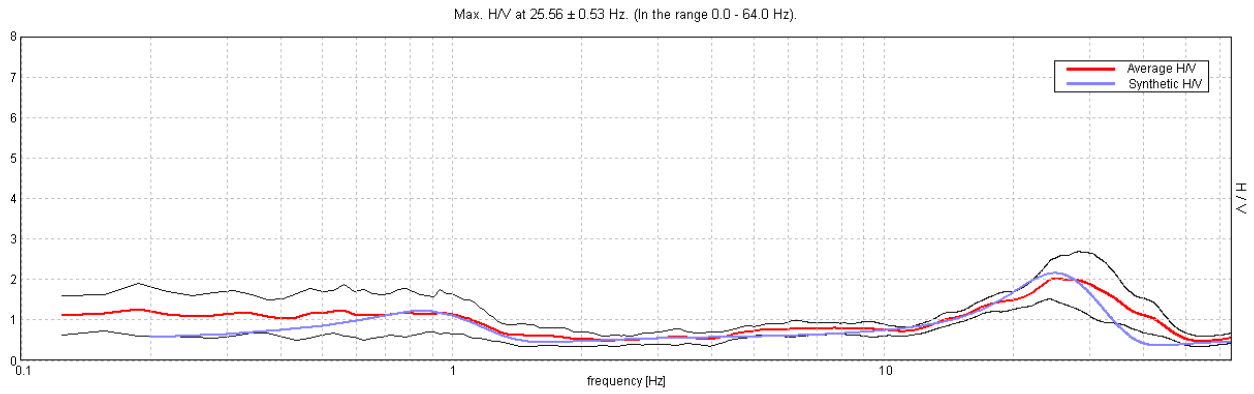
**DIREZIONALITA' H/V**



SPETTRI DELLE SINGOLE COMPONENTI

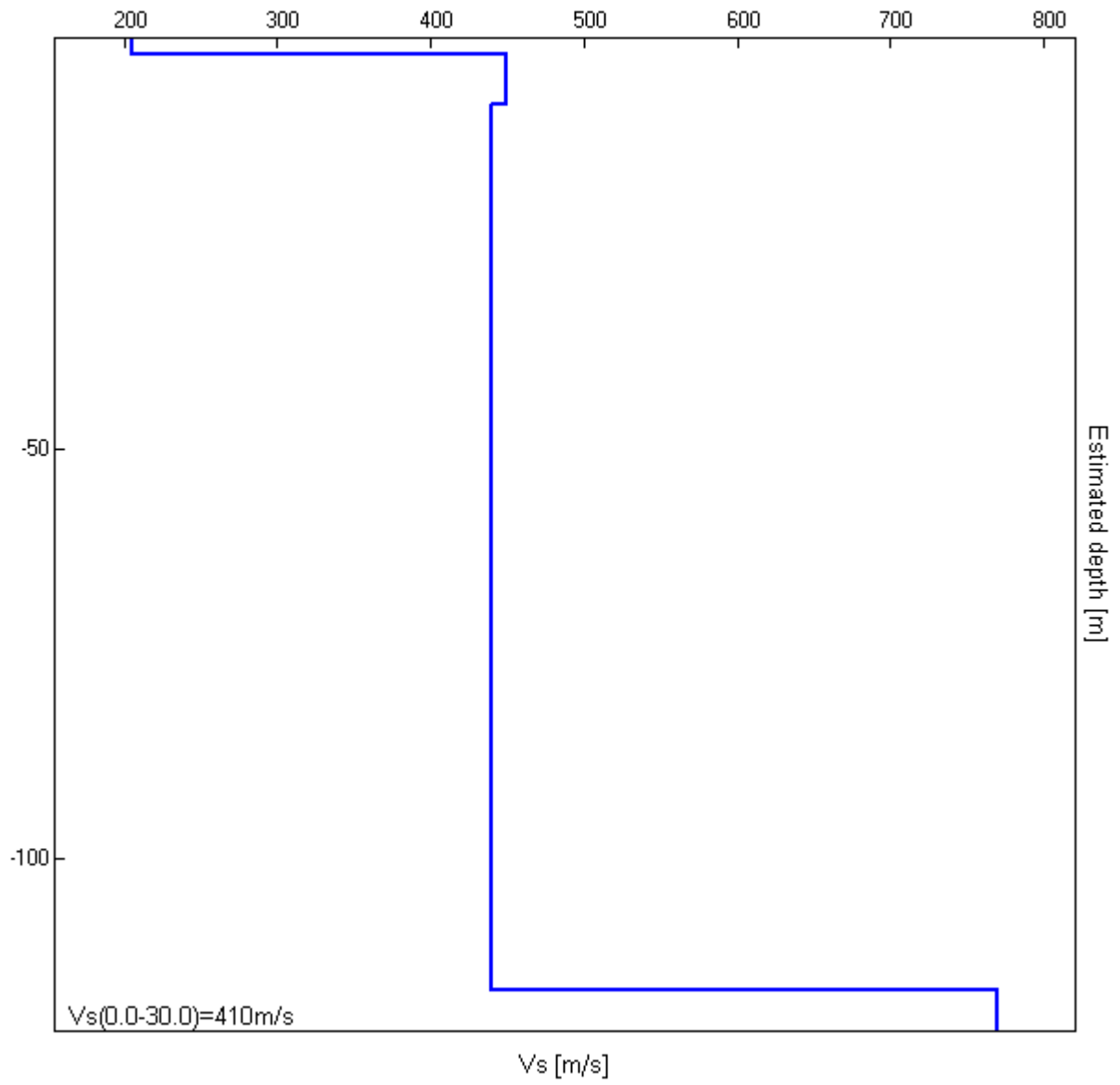


### H/V SPERIMENTALE vs. H/V SINTETICO



Profondità alla base dello strato [m]	Spessore [m]	Vs [m/s]	Rapporto di Poisson
2.00	2.00	205	0.35
8.00	6.00	450	0.35
116.00	108.00	440	0.35
inf.	inf.	770	0.35

Vs(0.0-30.0)=410m/s



[Secondo le linee guida SESAME, 2005]

**Picco H/V a 25.56 ± 0.53 Hz (nell'intervallo 0.0 - 64.0 Hz).**

**Criteri per una curva H/V affidabile**  
[Tutti 3 dovrebbero risultare soddisfatti]

$f_0 > 10 / L_w$	25.56 > 0.50	OK	
$n_c(f_0) > 200$	19938.8 > 200	OK	
$\sigma_A(f) < 2$ per $0.5f_0 < f < 2f_0$ se $f_0 > 0.5\text{Hz}$ $\sigma_A(f) < 3$ per $0.5f_0 < f < 2f_0$ se $f_0 < 0.5\text{Hz}$	Superato 0 volte su 1228	OK	

**Criteri per un picco H/V chiaro**  
[Almeno 5 su 6 dovrebbero essere soddisfatti]

<b>Esiste <math>f^-</math> in <math>[f_0/4, f_0]</math>   <math>A_{H/V}(f^-) &lt; A_0 / 2</math></b>	13.844 Hz	OK	
<b>Esiste <math>f^+</math> in <math>[f_0, 4f_0]</math>   <math>A_{H/V}(f^+) &lt; A_0 / 2</math></b>	42.688 Hz	OK	
$A_0 > 2$	2.00 > 2	OK	
$f_{\text{picco}}[A_{H/V}(f) \pm \sigma_A(f)] = f_0 \pm 5\%$	$ 0.01012  < 0.05$	OK	
$\sigma_f < \varepsilon(f_0)$	0.2587 < 1.27813	OK	
$\sigma_A(f_0) < \theta(f_0)$	0.2815 < 1.58	OK	

$L_w$	lunghezza della finestra
$n_w$	numero di finestre usate nell'analisi
$n_c = L_w n_w f_0$	numero di cicli significativi
$f$	frequenza attuale
$f_0$	frequenza del picco H/V
$\sigma_f$	deviazione standard della frequenza del picco H/V
$\varepsilon(f_0)$	valore di soglia per la condizione di stabilità $\sigma_f < \varepsilon(f_0)$
$A_0$	ampiezza della curva H/V alla frequenza $f_0$
$A_{H/V}(f)$	ampiezza della curva H/V alla frequenza $f$
$f^-$	frequenza tra $f_0/4$ e $f_0$ alla quale $A_{H/V}(f^-) < A_0/2$
$f^+$	frequenza tra $f_0$ e $4f_0$ alla quale $A_{H/V}(f^+) < A_0/2$
$\sigma_A(f)$	deviazione standard di $A_{H/V}(f)$ , $\sigma_A(f)$ è il fattore per il quale la curva $A_{H/V}(f)$ media deve essere moltiplicata o divisa
$\sigma_{\log H/V}(f)$	deviazione standard della funzione $\log A_{H/V}(f)$
$\theta(f_0)$	valore di soglia per la condizione di stabilità $\sigma_A(f) < \theta(f_0)$

Valori di soglia per $\sigma_f$ e $\sigma_A(f_0)$					
Intervallo di freq. [Hz]	< 0.2	0.2 – 0.5	0.5 – 1.0	1.0 – 2.0	> 2.0
$\varepsilon(f_0)$ [Hz]	0.25 $f_0$	0.2 $f_0$	0.15 $f_0$	0.10 $f_0$	0.05 $f_0$
$\theta(f_0)$ per $\sigma_A(f_0)$	3.0	2.5	2.0	1.78	1.58
$\log \theta(f_0)$ per $\sigma_{\log H/V}(f_0)$	0.48	0.40	0.30	0.25	0.20

**FELI\_1158, FELINO T18**

Strumento: TRZ-0091/01-10

Inizio registrazione: 30/01/12 10:42:41 Fine registrazione: 30/01/12 10:56:42

Nomi canali: NORTH SOUTH; EAST WEST ; UP DOWN

Dato GPS non disponibile

Durata registrazione: 0h14'00".

Analisi effettuata sull'intera traccia.

Freq. campionamento: 128 Hz

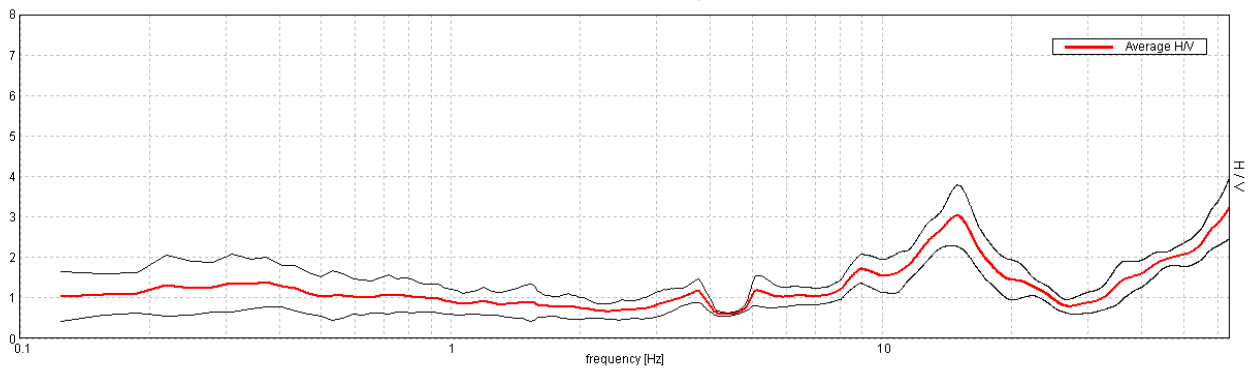
Lunghezza finestre: 20 s

Tipo di lisciamento: Triangular window

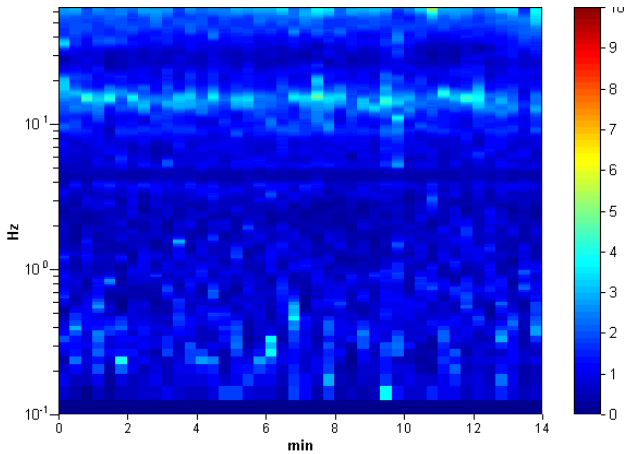
Lisciamento: 10%

**RAPPORTO SPETTRALE ORIZZONTALE SU VERTICALE**

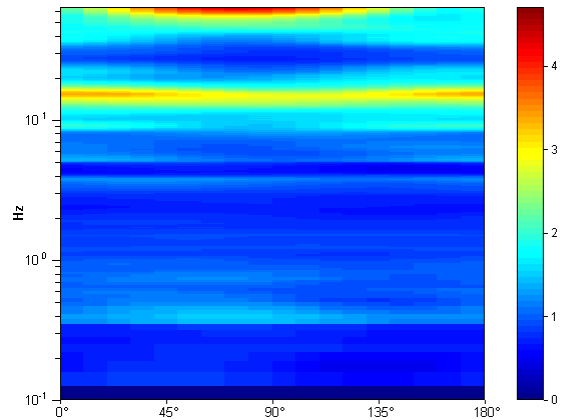
Max. H/V at 63.97 ± 11.76 Hz. (In the range 0.0 - 64.0 Hz).



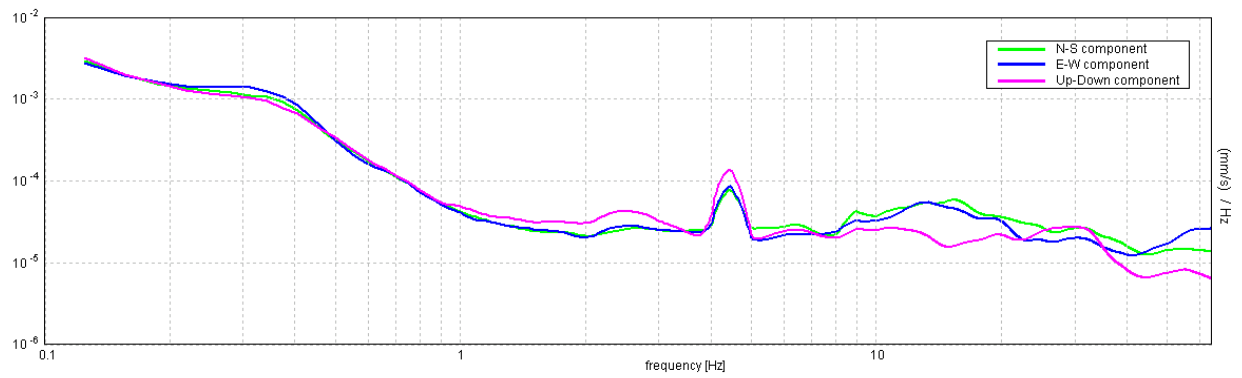
**SERIE TEMPORALE H/V**



**DIREZIONALITA' H/V**

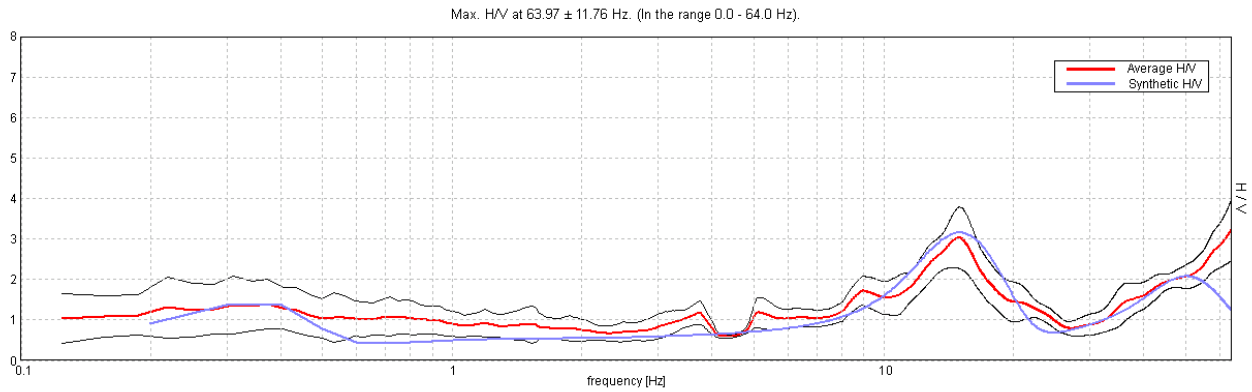


SPETTRI DELLE SINGOLE COMPONENTI



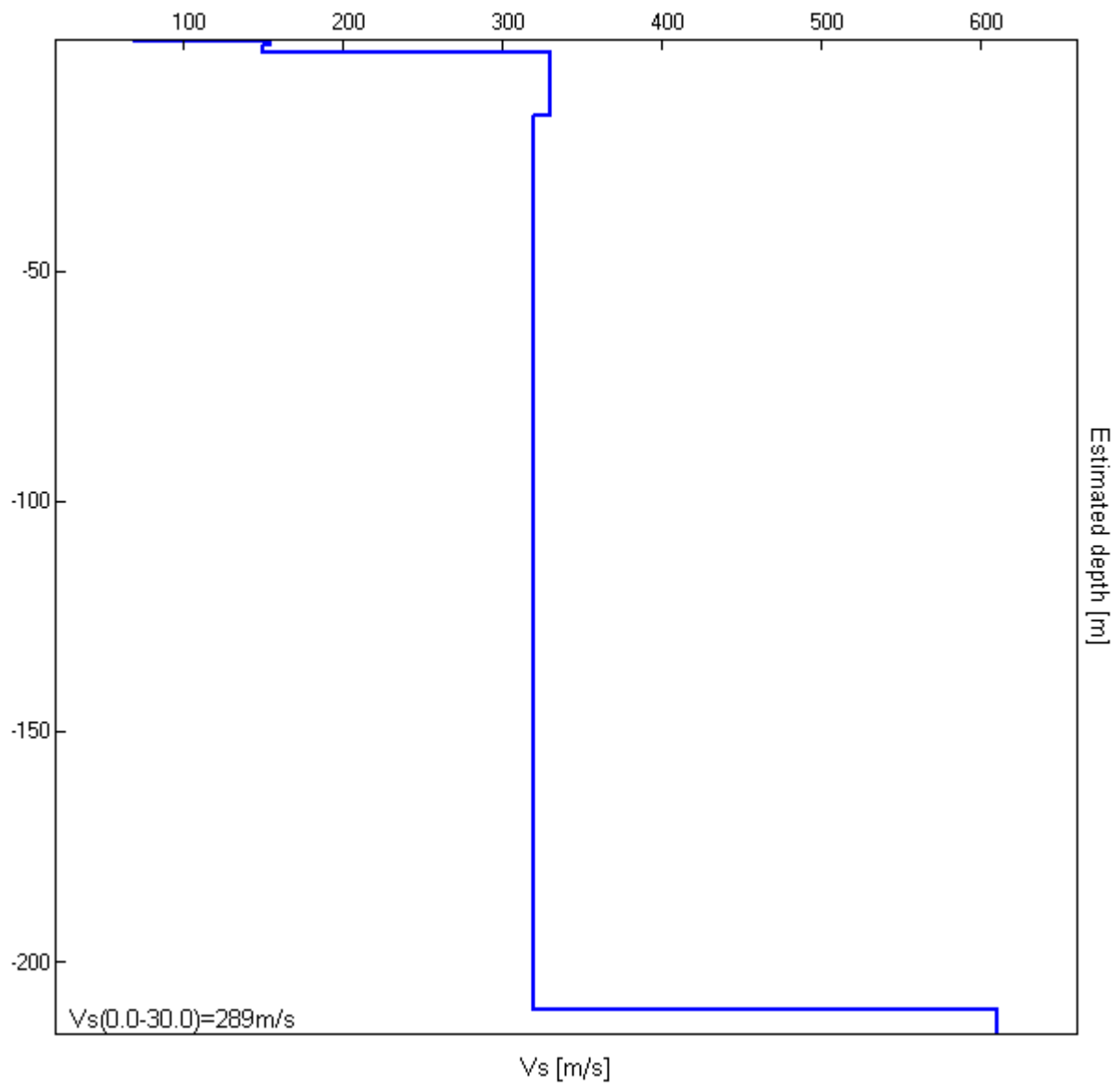


### H/V SPERIMENTALE vs. H/V SINTETICO



Profondità alla base dello strato [m]	Spessore [m]	Vs [m/s]	Rapporto di Poisson
0.35	0.35	70	0.35
1.25	0.90	155	0.35
2.55	1.30	150	0.35
16.55	14.00	330	0.35
210.55	194.00	320	0.35
inf.	inf.	610	0.35

Vs(0.0-30.0)=289m/s



[Secondo le linee guida SESAME, 2005]

**Picco H/V a 63.97 ± 11.76 Hz (nell'intervallo 0.0 - 64.0 Hz).**

**Criteri per una curva H/V affidabile**  
[Tutti 3 dovrebbero risultare soddisfatti]

$f_0 > 10 / L_w$	63.97 > 0.50	OK	
$n_c(f_0) > 200$	53733.8 > 200	OK	
$\sigma_A(f) < 2$ per $0.5f_0 < f < 2f_0$ se $f_0 > 0.5\text{Hz}$ $\sigma_A(f) < 3$ per $0.5f_0 < f < 2f_0$ se $f_0 < 0.5\text{Hz}$	Superato 0 volte su 1026	OK	

**Criteri per un picco H/V chiaro**  
[Almeno 5 su 6 dovrebbero essere soddisfatti]

Esiste $f^-$ in $[f_0/4, f_0] \mid A_{H/V}(f^-) < A_0 / 2$	40.219 Hz	OK	
Esiste $f^+$ in $[f_0, 4f_0] \mid A_{H/V}(f^+) < A_0 / 2$			NO
$A_0 > 2$	3.22 > 2	OK	
$f_{\text{picco}}[A_{H/V}(f) \pm \sigma_A(f)] = f_0 \pm 5\%$	$ 0.08991  < 0.05$		NO
$\sigma_f < \varepsilon(f_0)$	5.75111 < 3.19844		NO
$\sigma_A(f_0) < \theta(f_0)$	0.3759 < 1.58	OK	

$L_w$	lunghezza della finestra
$n_w$	numero di finestre usate nell'analisi
$n_c = L_w n_w f_0$	numero di cicli significativi
$f$	frequenza attuale
$f_0$	frequenza del picco H/V
$\sigma_f$	deviazione standard della frequenza del picco H/V
$\varepsilon(f_0)$	valore di soglia per la condizione di stabilità $\sigma_f < \varepsilon(f_0)$
$A_0$	ampiezza della curva H/V alla frequenza $f_0$
$A_{H/V}(f)$	ampiezza della curva H/V alla frequenza $f$
$f^-$	frequenza tra $f_0/4$ e $f_0$ alla quale $A_{H/V}(f^-) < A_0/2$
$f^+$	frequenza tra $f_0$ e $4f_0$ alla quale $A_{H/V}(f^+) < A_0/2$
$\sigma_A(f)$	deviazione standard di $A_{H/V}(f)$ , $\sigma_A(f)$ è il fattore per il quale la curva $A_{H/V}(f)$ media deve essere moltiplicata o divisa
$\sigma_{\log H/V}(f)$	deviazione standard della funzione $\log A_{H/V}(f)$
$\theta(f_0)$	valore di soglia per la condizione di stabilità $\sigma_A(f) < \theta(f_0)$

Valori di soglia per $\sigma_f$ e $\sigma_A(f_0)$					
Intervallo di freq. [Hz]	< 0.2	0.2 – 0.5	0.5 – 1.0	1.0 – 2.0	> 2.0
$\varepsilon(f_0)$ [Hz]	0.25 $f_0$	0.2 $f_0$	0.15 $f_0$	0.10 $f_0$	0.05 $f_0$
$\theta(f_0)$ per $\sigma_A(f_0)$	3.0	2.5	2.0	1.78	1.58
$\log \theta(f_0)$ per $\sigma_{\log H/V}(f_0)$	0.48	0.40	0.30	0.25	0.20

**FELI\_1158, FELINO T19**

Strumento: TRZ-0091/01-10

Inizio registrazione: 30/01/12 11:16:40 Fine registrazione: 30/01/12 11:30:41

Nomi canali: NORTH SOUTH; EAST WEST ; UP DOWN

Dato GPS non disponibile

Durata registrazione: 0h14'00".

Analizzato 86% tracciato (selezione manuale)

Freq. campionamento: 128 Hz

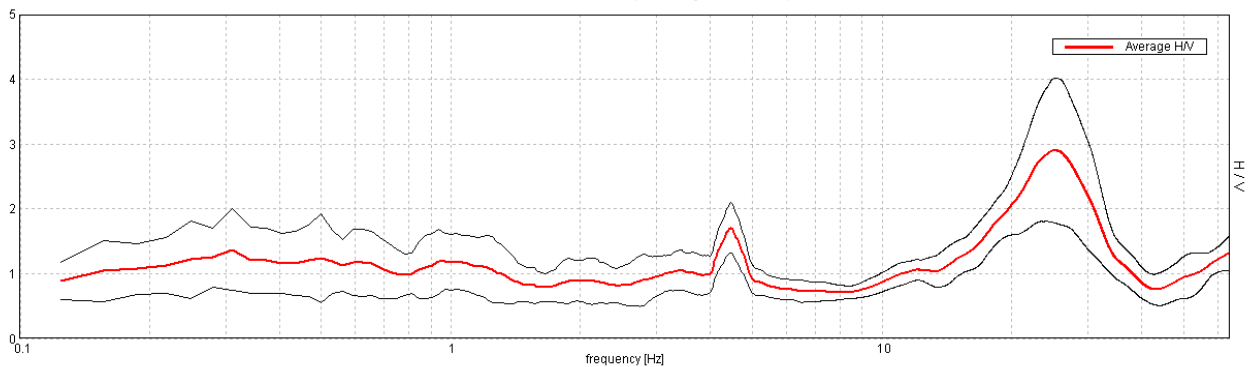
Lunghezza finestre: 20 s

Tipo di lisciamento: Triangular window

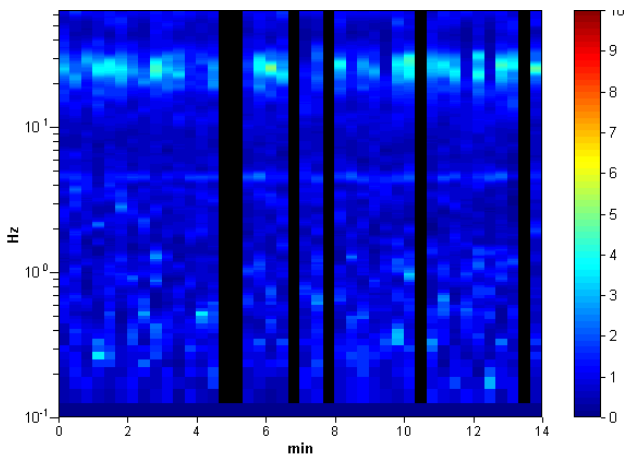
Lisciamento: 10%

**RAPPORTO SPETTRALE ORIZZONTALE SU VERTICALE**

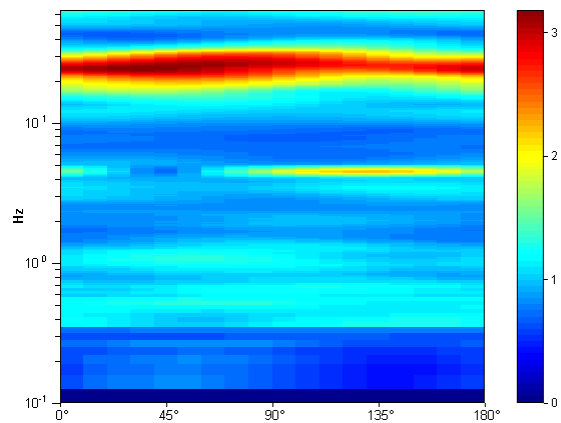
Max. H/V at 25.06 ± 0.08 Hz. (In the range 0.0 - 64.0 Hz).



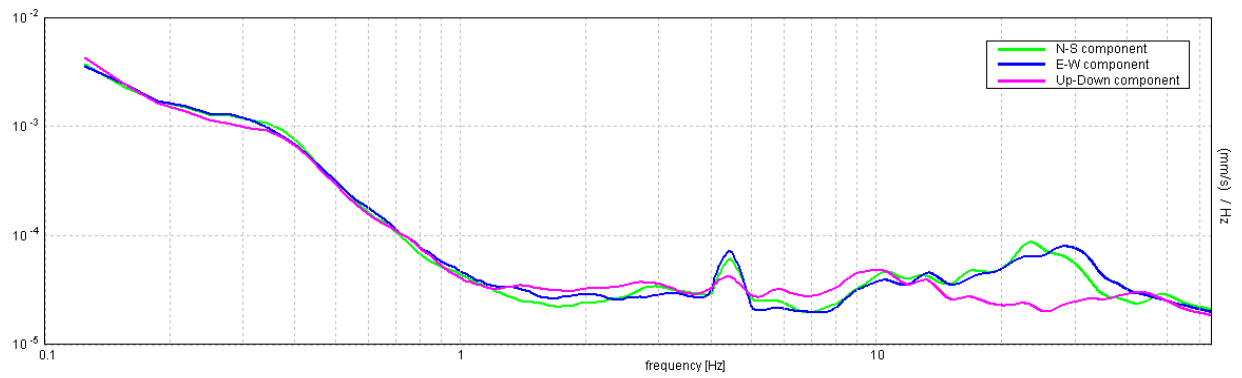
**SERIE TEMPORALE H/V**



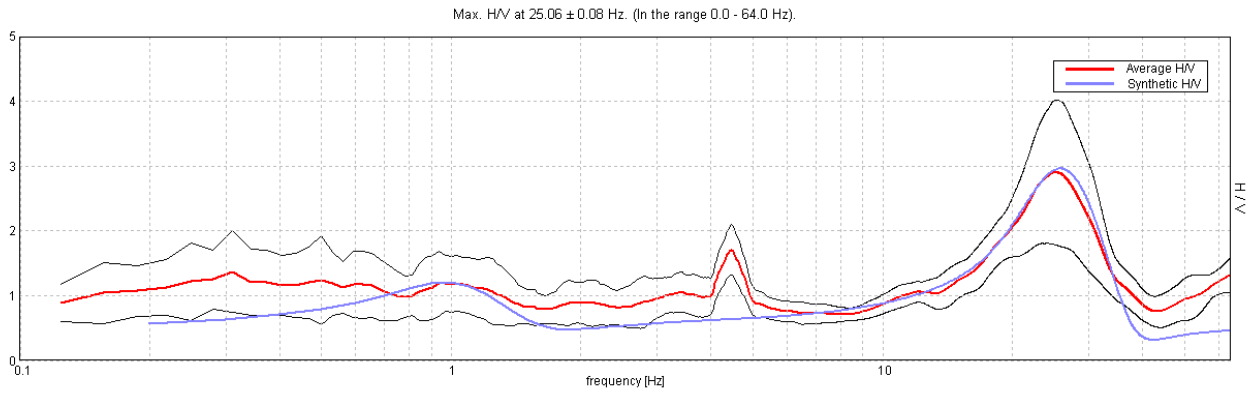
**DIREZIONALITA' H/V**



### SPETTRI DELLE SINGOLE COMPONENTI

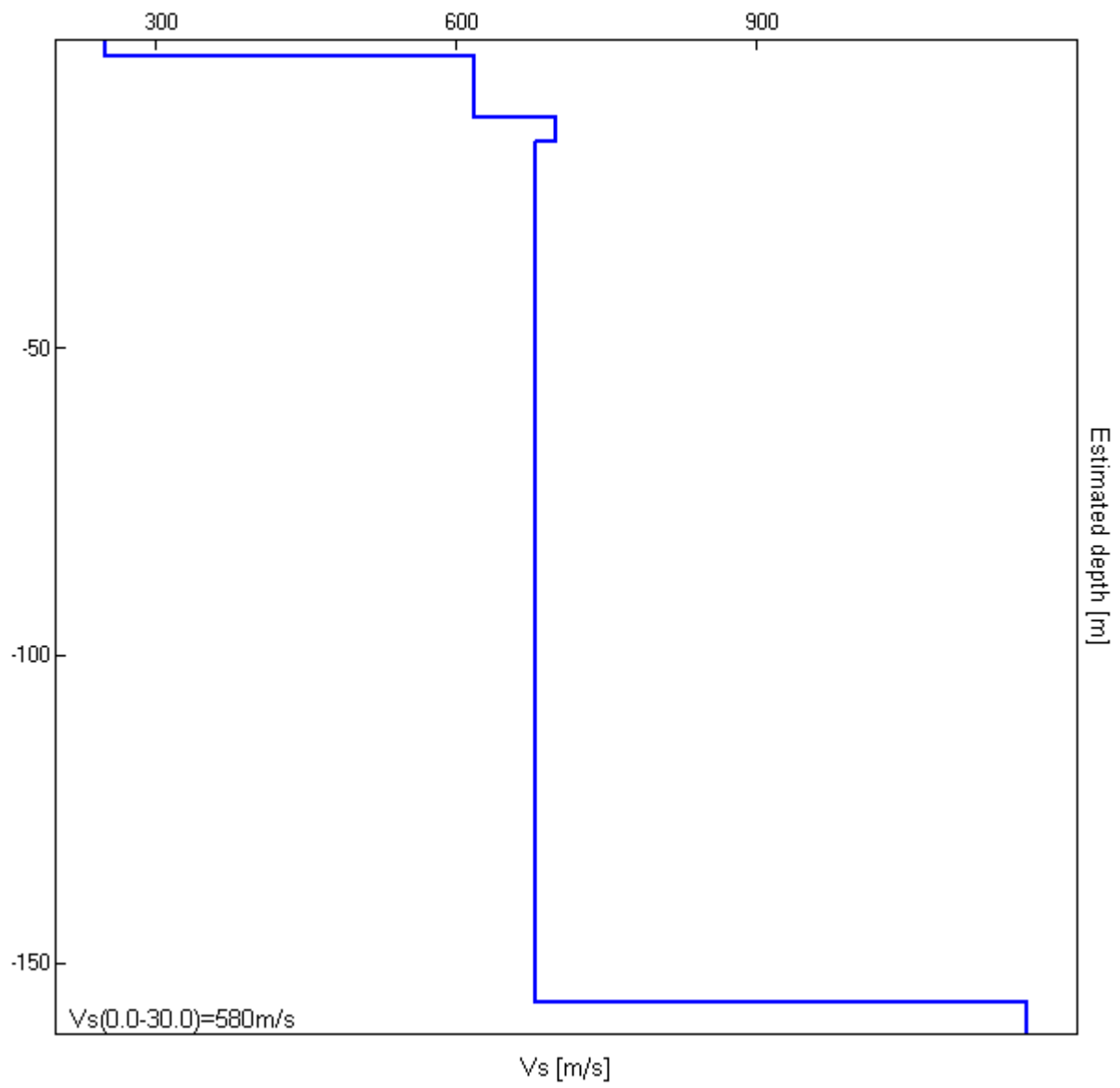


### H/V SPERIMENTALE vs. H/V SINTETICO



Profondità alla base dello strato [m]	Spessore [m]	Vs [m/s]	Rapporto di Poisson
2.50	2.50	251	0.35
12.50	10.00	618	0.35
16.50	4.00	700	0.35
156.50	140.00	680	0.35
inf.	inf.	1170	0.35

Vs(0.0-30.0)=580m/s



[Secondo le linee guida SESAME, 2005]

**Picco H/V a 25.06 ± 0.08 Hz (nell'intervallo 0.0 - 64.0 Hz).**

**Criteri per una curva H/V affidabile**  
[Tutti 3 dovrebbero risultare soddisfatti]

$f_0 > 10 / L_w$	25.06 > 0.50	OK	
$n_c(f_0) > 200$	18045.0 > 200	OK	
$\sigma_A(f) < 2$ per $0.5f_0 < f < 2f_0$ se $f_0 > 0.5\text{Hz}$ $\sigma_A(f) < 3$ per $0.5f_0 < f < 2f_0$ se $f_0 < 0.5\text{Hz}$	Superato 0 volte su 1204	OK	

**Criteri per un picco H/V chiaro**  
[Almeno 5 su 6 dovrebbero essere soddisfatti]

<b>Esiste <math>f^-</math> in <math>[f_0/4, f_0]</math>   <math>A_{H/V}(f^-) &lt; A_0 / 2</math></b>	16.719 Hz	OK	
<b>Esiste <math>f^+</math> in <math>[f_0, 4f_0]</math>   <math>A_{H/V}(f^+) &lt; A_0 / 2</math></b>	33.438 Hz	OK	
$A_0 > 2$	2.90 > 2	OK	
$f_{\text{picco}}[A_{H/V}(f) \pm \sigma_A(f)] = f_0 \pm 5\%$	0.00155  < 0.05	OK	
$\sigma_f < \varepsilon(f_0)$	0.03874 < 1.25313	OK	
$\sigma_A(f_0) < \theta(f_0)$	0.5409 < 1.58	OK	

$L_w$	lunghezza della finestra
$n_w$	numero di finestre usate nell'analisi
$n_c = L_w n_w f_0$	numero di cicli significativi
$f$	frequenza attuale
$f_0$	frequenza del picco H/V
$\sigma_f$	deviazione standard della frequenza del picco H/V
$\varepsilon(f_0)$	valore di soglia per la condizione di stabilità $\sigma_f < \varepsilon(f_0)$
$A_0$	ampiezza della curva H/V alla frequenza $f_0$
$A_{H/V}(f)$	ampiezza della curva H/V alla frequenza $f$
$f^-$	frequenza tra $f_0/4$ e $f_0$ alla quale $A_{H/V}(f^-) < A_0/2$
$f^+$	frequenza tra $f_0$ e $4f_0$ alla quale $A_{H/V}(f^+) < A_0/2$
$\sigma_A(f)$	deviazione standard di $A_{H/V}(f)$ , $\sigma_A(f)$ è il fattore per il quale la curva $A_{H/V}(f)$ media deve essere moltiplicata o divisa
$\sigma_{\log H/V}(f)$	deviazione standard della funzione $\log A_{H/V}(f)$
$\theta(f_0)$	valore di soglia per la condizione di stabilità $\sigma_A(f) < \theta(f_0)$

Valori di soglia per $\sigma_f$ e $\sigma_A(f_0)$					
Intervallo di freq. [Hz]	< 0.2	0.2 – 0.5	0.5 – 1.0	1.0 – 2.0	> 2.0
$\varepsilon(f_0)$ [Hz]	0.25 $f_0$	0.2 $f_0$	0.15 $f_0$	0.10 $f_0$	0.05 $f_0$
$\theta(f_0)$ per $\sigma_A(f_0)$	3.0	2.5	2.0	1.78	1.58
$\log \theta(f_0)$ per $\sigma_{\log H/V}(f_0)$	0.48	0.40	0.30	0.25	0.20



**FELI\_1158, FELINO T20**

Strumento: TRZ-0091/01-10

Inizio registrazione: 30/01/12 11:46:02 Fine registrazione: 30/01/12 12:00:03

Nomi canali: NORTH SOUTH; EAST WEST ; UP DOWN

Dato GPS non disponibile

Durata registrazione: 0h14'00".

Analizzato 86% tracciato (selezione manuale)

Freq. campionamento: 128 Hz

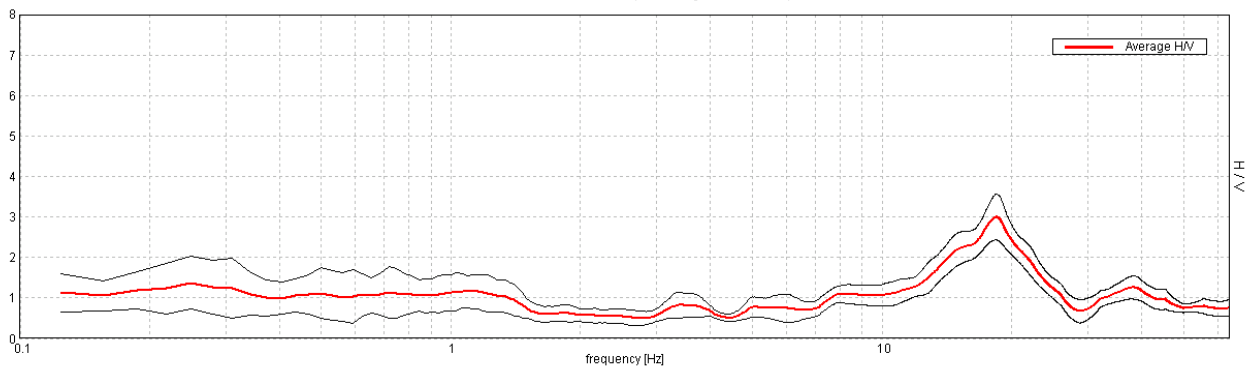
Lunghezza finestre: 20 s

Tipo di lisciamento: Triangular window

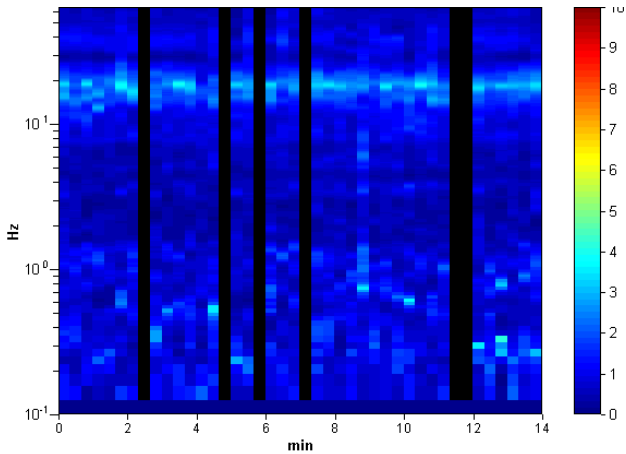
Lisciamento: 10%

**RAPPORTO SPETTRALE ORIZZONTALE SU VERTICALE**

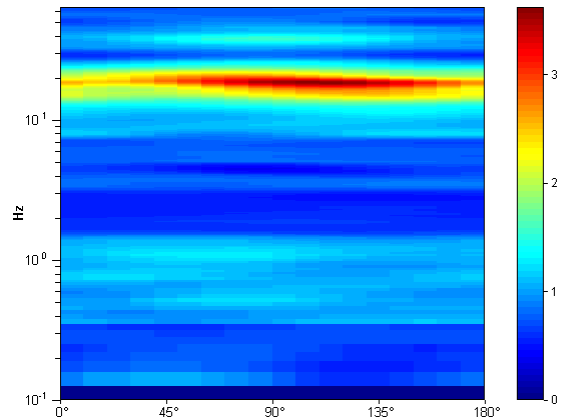
Max. H/V at 18.41 ± 0.04 Hz. (In the range 0.0 - 64.0 Hz).



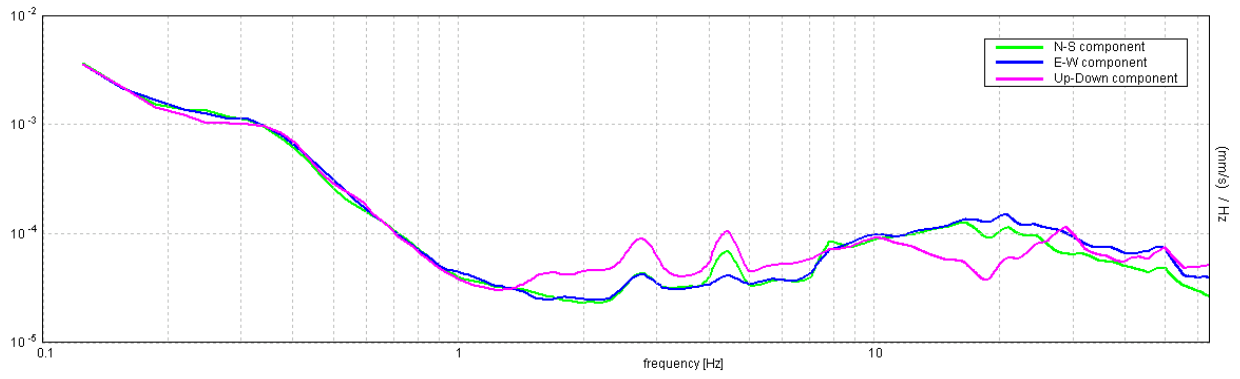
**SERIE TEMPORALE H/V**



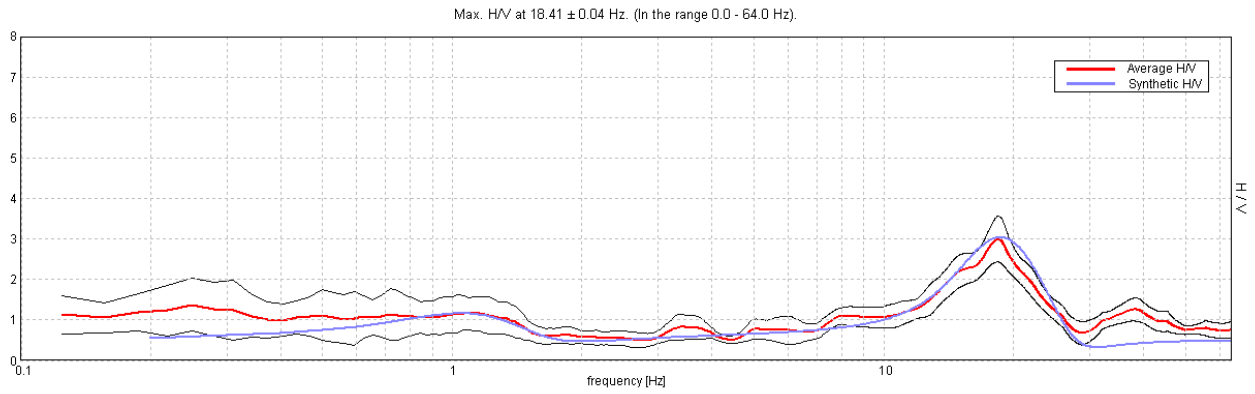
**DIREZIONALITA' H/V**



SPETTRI DELLE SINGOLE COMPONENTI

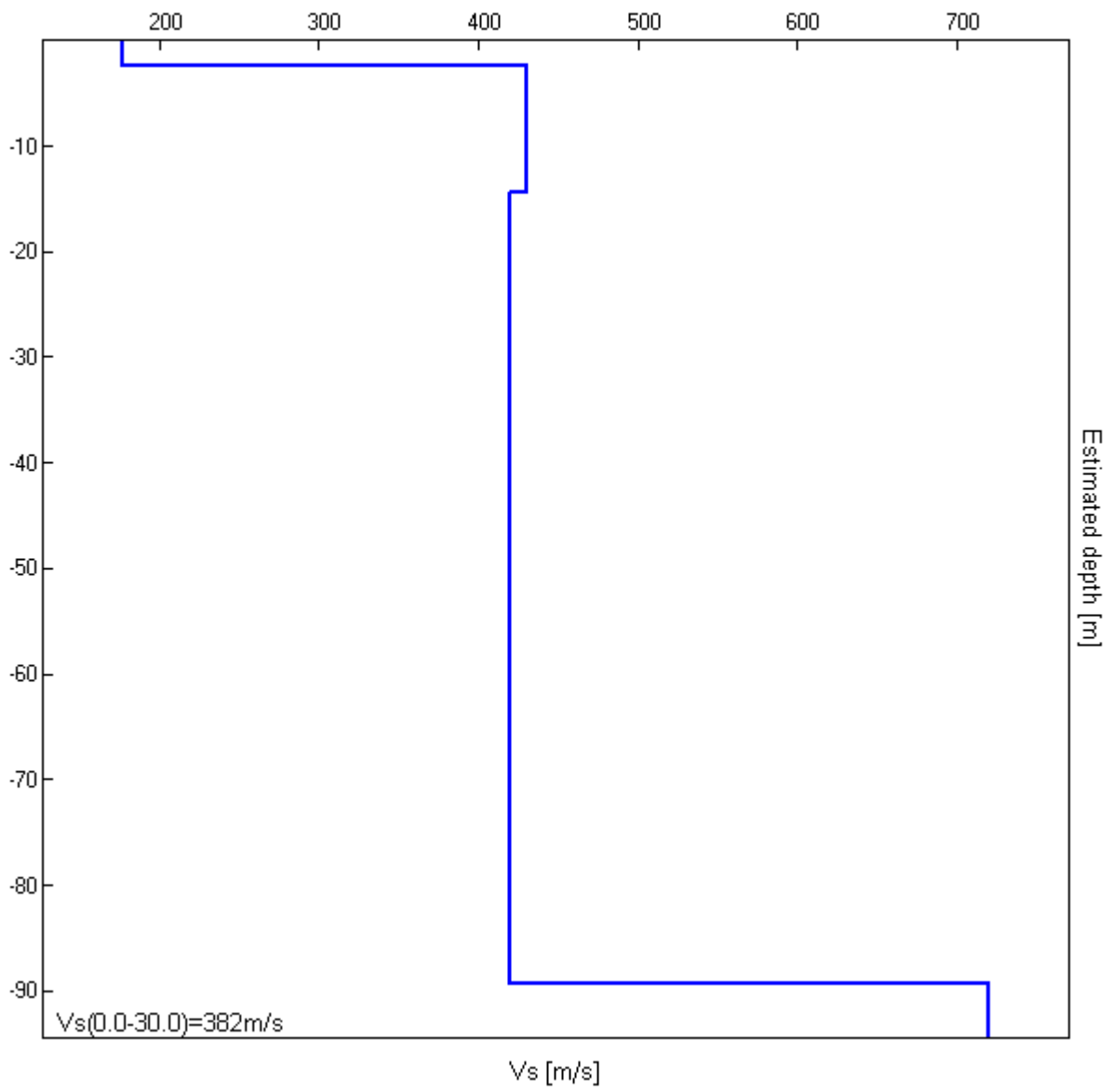


### H/V SPERIMENTALE vs. H/V SINTETICO



Profondità alla base dello strato [m]	Spessore [m]	Vs [m/s]	Rapporto di Poisson
2.40	2.40	177	0.35
14.40	12.00	430	0.35
89.40	75.00	420	0.35
inf.	inf.	720	0.35

Vs(0.0-30.0)=382m/s



[Secondo le linee guida SESAME, 2005]

**Picco H/V a 18.41 ± 0.04 Hz (nell'intervallo 0.0 - 64.0 Hz).**

**Criteri per una curva H/V affidabile**  
[Tutti 3 dovrebbero risultare soddisfatti]

$f_0 > 10 / L_w$	18.41 > 0.50	OK	
$n_c(f_0) > 200$	13252.5 > 200	OK	
$\sigma_A(f) < 2$ per $0.5f_0 < f < 2f_0$ se $f_0 > 0.5\text{Hz}$ $\sigma_A(f) < 3$ per $0.5f_0 < f < 2f_0$ se $f_0 < 0.5\text{Hz}$	Superato 0 volte su 884	OK	

**Criteri per un picco H/V chiaro**  
[Almeno 5 su 6 dovrebbero essere soddisfatti]

Esiste $f^-$ in $[f_0/4, f_0] \mid A_{H/V}(f^-) < A_0 / 2$	12.781 Hz	OK	
Esiste $f^+$ in $[f_0, 4f_0] \mid A_{H/V}(f^+) < A_0 / 2$	23.531 Hz	OK	
$A_0 > 2$	3.00 > 2	OK	
$f_{\text{picco}}[A_{H/V}(f) \pm \sigma_A(f)] = f_0 \pm 5\%$	$ 0.001  < 0.05$	OK	
$\sigma_f < \varepsilon(f_0)$	0.0185 < 0.92031	OK	
$\sigma_A(f_0) < \theta(f_0)$	0.2764 < 1.58	OK	

$L_w$	lunghezza della finestra
$n_w$	numero di finestre usate nell'analisi
$n_c = L_w n_w f_0$	numero di cicli significativi
$f$	frequenza attuale
$f_0$	frequenza del picco H/V
$\sigma_f$	deviazione standard della frequenza del picco H/V
$\varepsilon(f_0)$	valore di soglia per la condizione di stabilità $\sigma_f < \varepsilon(f_0)$
$A_0$	ampiezza della curva H/V alla frequenza $f_0$
$A_{H/V}(f)$	ampiezza della curva H/V alla frequenza $f$
$f^-$	frequenza tra $f_0/4$ e $f_0$ alla quale $A_{H/V}(f^-) < A_0/2$
$f^+$	frequenza tra $f_0$ e $4f_0$ alla quale $A_{H/V}(f^+) < A_0/2$
$\sigma_A(f)$	deviazione standard di $A_{H/V}(f)$ , $\sigma_A(f)$ è il fattore per il quale la curva $A_{H/V}(f)$ media deve essere moltiplicata o divisa
$\sigma_{\log H/V}(f)$	deviazione standard della funzione $\log A_{H/V}(f)$
$\theta(f_0)$	valore di soglia per la condizione di stabilità $\sigma_A(f) < \theta(f_0)$

Valori di soglia per $\sigma_f$ e $\sigma_A(f_0)$					
Intervallo di freq. [Hz]	< 0.2	0.2 – 0.5	0.5 – 1.0	1.0 – 2.0	> 2.0
$\varepsilon(f_0)$ [Hz]	0.25 $f_0$	0.2 $f_0$	0.15 $f_0$	0.10 $f_0$	0.05 $f_0$
$\theta(f_0)$ per $\sigma_A(f_0)$	3.0	2.5	2.0	1.78	1.58
$\log \theta(f_0)$ per $\sigma_{\log H/V}(f_0)$	0.48	0.40	0.30	0.25	0.20

**FELI\_1158, FELINO T21**

Strumento: TRZ-0091/01-10

Inizio registrazione: 30/01/12 12:15:51 Fine registrazione: 30/01/12 12:29:52

Nomi canali: NORTH SOUTH; EAST WEST ; UP DOWN

Dato GPS non disponibile

Durata registrazione: 0h14'00".

Analizzato 88% tracciato (selezione manuale)

Freq. campionamento: 128 Hz

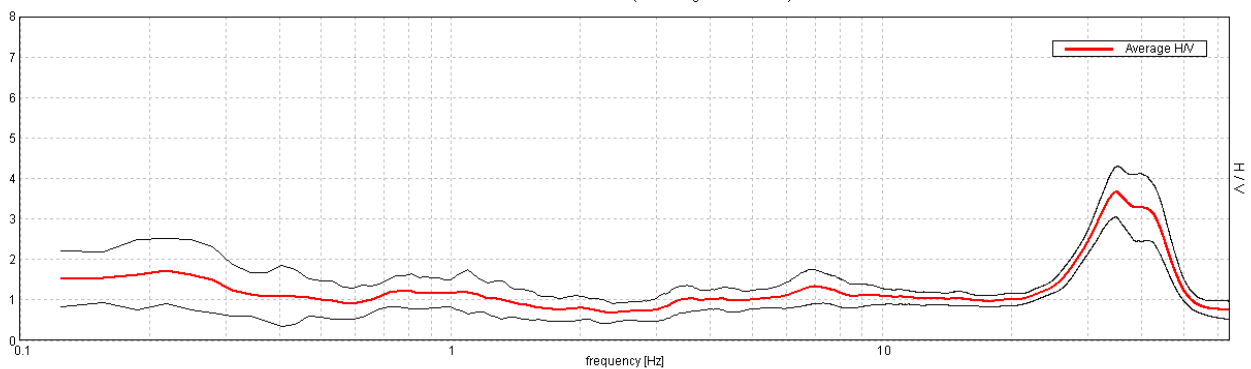
Lunghezza finestre: 20 s

Tipo di lisciamento: Triangular window

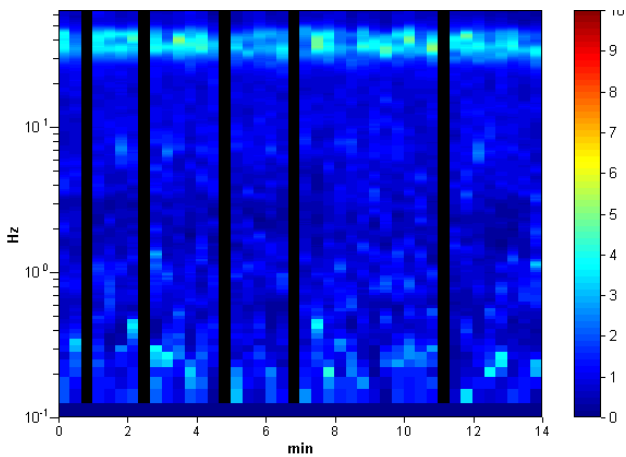
Lisciamento: 10%

**RAPPORTO SPETTRALE ORIZZONTALE SU VERTICALE**

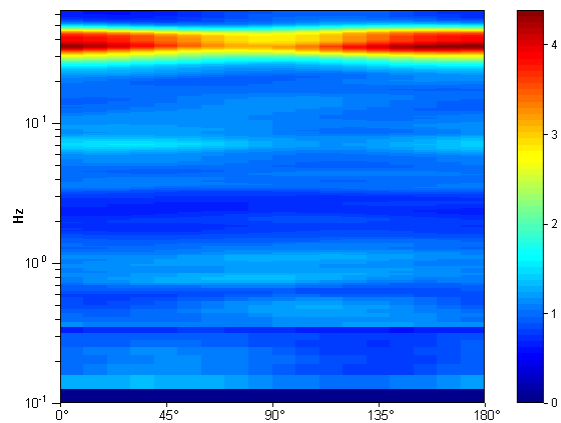
Max. H/V at 34.94 ± 0.39 Hz. (In the range 0.0 - 64.0 Hz).



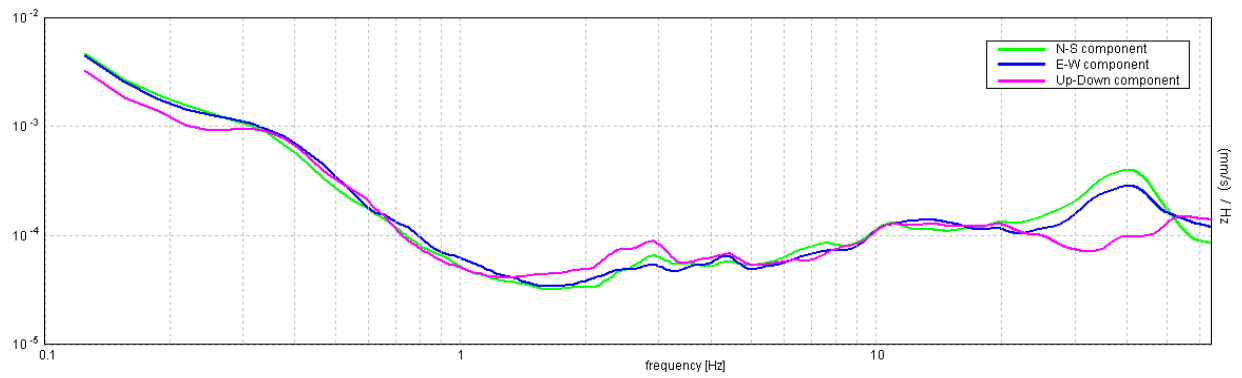
**SERIE TEMPORALE H/V**



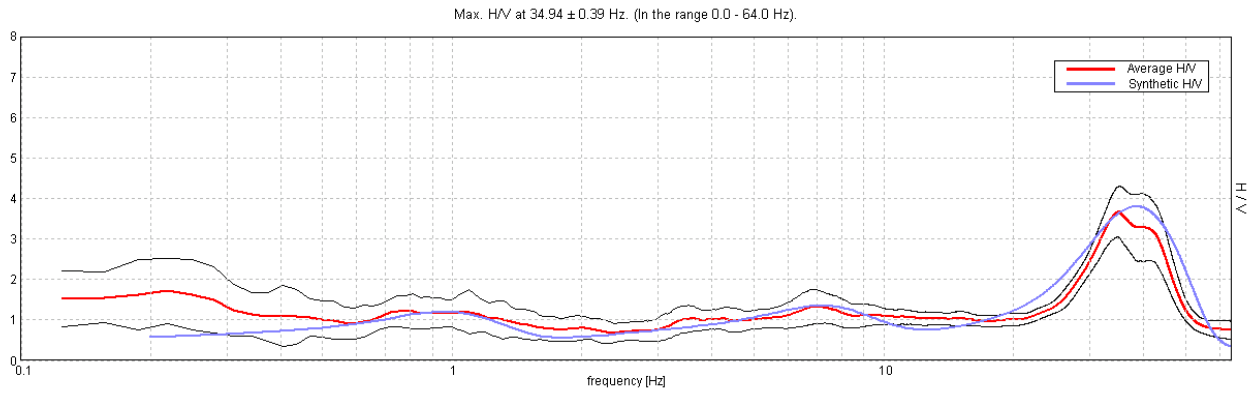
**DIREZIONALITA' H/V**



SPETTRI DELLE SINGOLE COMPONENTI



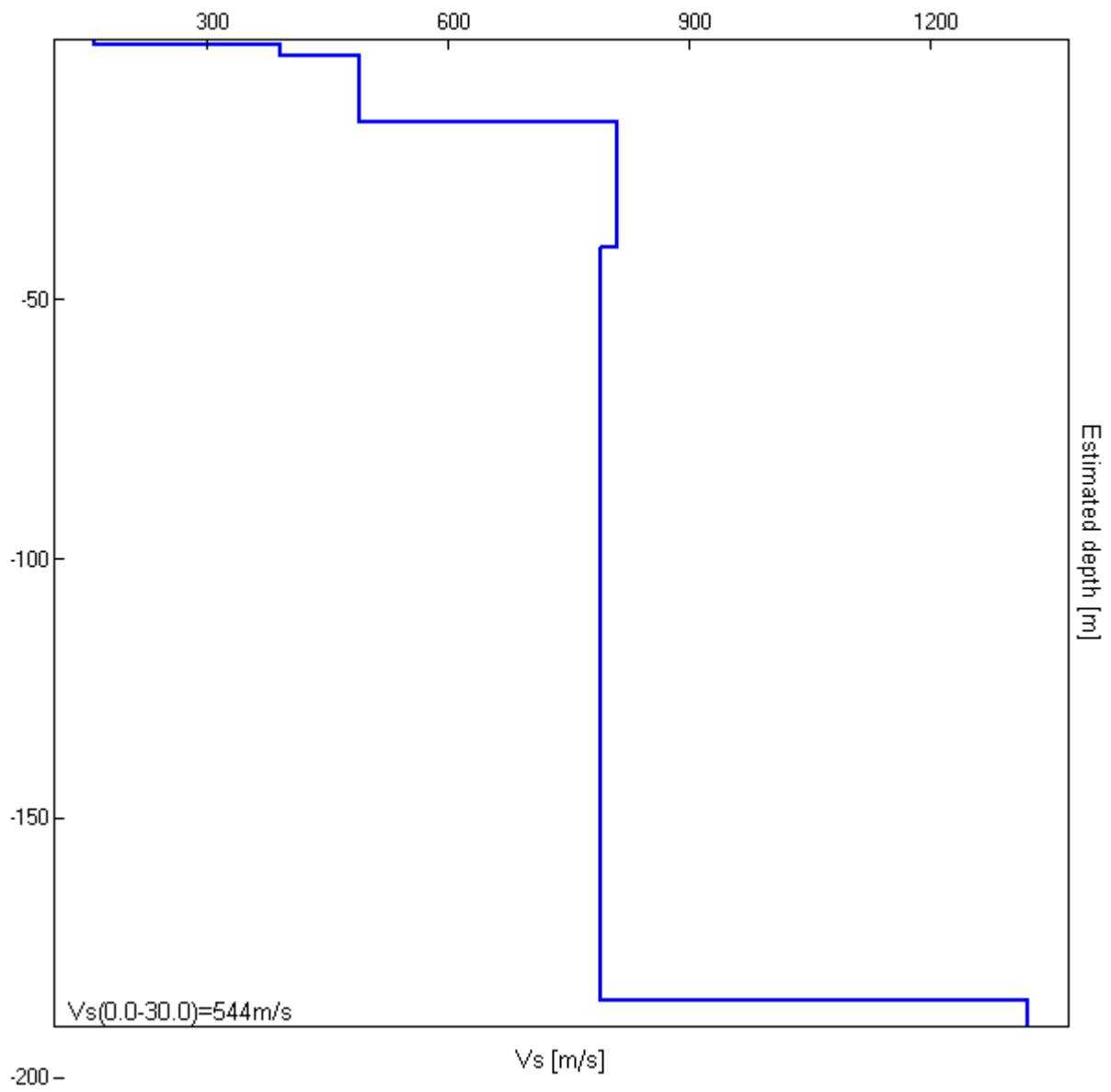
### H/V SPERIMENTALE vs. H/V SINTETICO



Profondità alla base dello strato [m]	Spessore [m]	Vs [m/s]	Rapporto di Poisson
1.00	1.00	160	0.35
3.00	2.00	390	0.35
16.00	13.00	490	0.35
40.00	24.00	810	0.35
185.00	145.00	790	0.35
inf.	inf.	1320	0.35

Vs(0.0-30.0)=544m/s





[Secondo le linee guida SESAME, 2005]

**Picco H/V a 34.94 ± 0.39 Hz (nell'intervallo 0.0 - 64.0 Hz).**

**Criteri per una curva H/V affidabile**  
[Tutti 3 dovrebbero risultare soddisfatti]

$f_0 > 10 / L_w$	34.94 > 0.50	OK	
$n_c(f_0) > 200$	25853.8 > 200	OK	
$\sigma_A(f) < 2$ per $0.5f_0 < f < 2f_0$ se $f_0 > 0.5\text{Hz}$ $\sigma_A(f) < 3$ per $0.5f_0 < f < 2f_0$ se $f_0 < 0.5\text{Hz}$	Superato 0 volte su 1490	OK	

**Criteri per un picco H/V chiaro**  
[Almeno 5 su 6 dovrebbero essere soddisfatti]

<b>Esiste <math>f^-</math> in <math>[f_0/4, f_0]</math>   <math>A_{H/V}(f^-) &lt; A_0 / 2</math></b>	27.656 Hz	OK	
<b>Esiste <math>f^+</math> in <math>[f_0, 4f_0]</math>   <math>A_{H/V}(f^+) &lt; A_0 / 2</math></b>	47.406 Hz	OK	
$A_0 > 2$	3.67 > 2	OK	
$f_{\text{picco}}[A_{H/V}(f) \pm \sigma_A(f)] = f_0 \pm 5\%$	$ 0.00537  < 0.05$	OK	
$\sigma_f < \varepsilon(f_0)$	0.18765 < 1.74688	OK	
$\sigma_A(f_0) < \theta(f_0)$	0.3036 < 1.58	OK	

$L_w$	lunghezza della finestra
$n_w$	numero di finestre usate nell'analisi
$n_c = L_w n_w f_0$	numero di cicli significativi
$f$	frequenza attuale
$f_0$	frequenza del picco H/V
$\sigma_f$	deviazione standard della frequenza del picco H/V
$\varepsilon(f_0)$	valore di soglia per la condizione di stabilità $\sigma_f < \varepsilon(f_0)$
$A_0$	ampiezza della curva H/V alla frequenza $f_0$
$A_{H/V}(f)$	ampiezza della curva H/V alla frequenza $f$
$f^-$	frequenza tra $f_0/4$ e $f_0$ alla quale $A_{H/V}(f^-) < A_0/2$
$f^+$	frequenza tra $f_0$ e $4f_0$ alla quale $A_{H/V}(f^+) < A_0/2$
$\sigma_A(f)$	deviazione standard di $A_{H/V}(f)$ , $\sigma_A(f)$ è il fattore per il quale la curva $A_{H/V}(f)$ media deve essere moltiplicata o divisa
$\sigma_{\log H/V}(f)$	deviazione standard della funzione $\log A_{H/V}(f)$
$\theta(f_0)$	valore di soglia per la condizione di stabilità $\sigma_A(f) < \theta(f_0)$

Valori di soglia per $\sigma_f$ e $\sigma_A(f_0)$					
Intervallo di freq. [Hz]	< 0.2	0.2 – 0.5	0.5 – 1.0	1.0 – 2.0	> 2.0
$\varepsilon(f_0)$ [Hz]	0.25 $f_0$	0.2 $f_0$	0.15 $f_0$	0.10 $f_0$	0.05 $f_0$
$\theta(f_0)$ per $\sigma_A(f_0)$	3.0	2.5	2.0	1.78	1.58
$\log \theta(f_0)$ per $\sigma_{\log H/V}(f_0)$	0.48	0.40	0.30	0.25	0.20

**FELI\_1158, FELINO T22**

Strumento: TRZ-0091/01-10

Inizio registrazione: 30/01/12 12:37:09 Fine registrazione: 30/01/12 12:51:10

Nomi canali: NORTH SOUTH; EAST WEST ; UP DOWN

Dato GPS non disponibile

Durata registrazione: 0h14'00".

Analizzato 86% tracciato (selezione manuale)

Freq. campionamento: 128 Hz

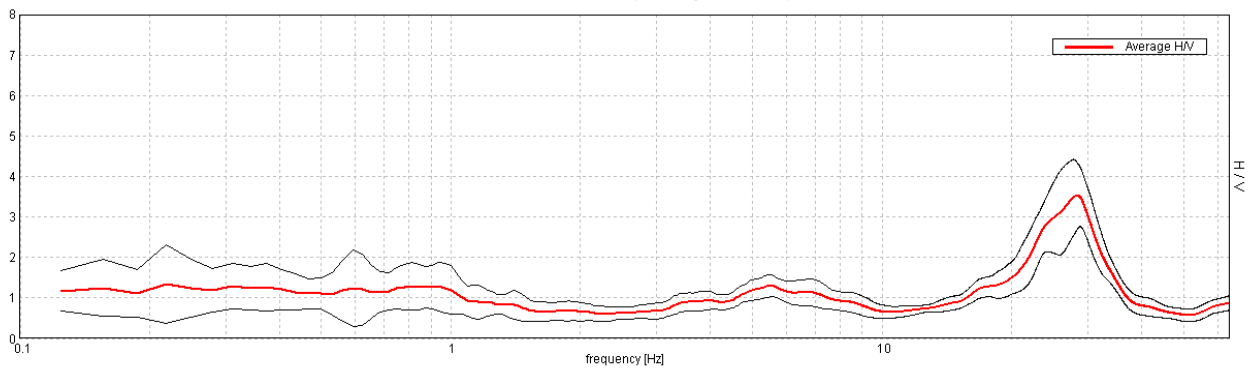
Lunghezza finestre: 20 s

Tipo di lisciamento: Triangular window

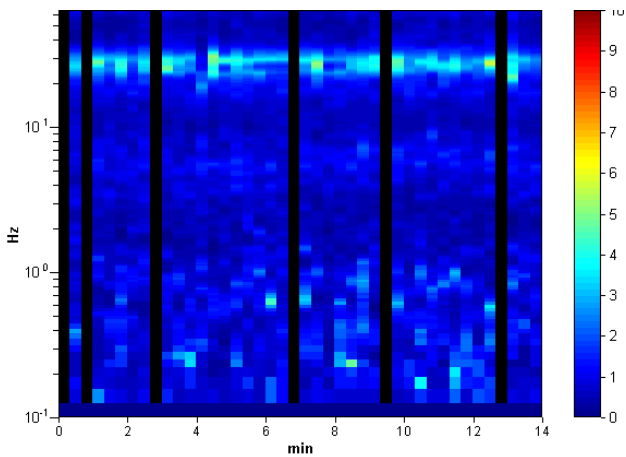
Lisciamento: 10%

**RAPPORTO SPETTRALE ORIZZONTALE SU VERTICALE**

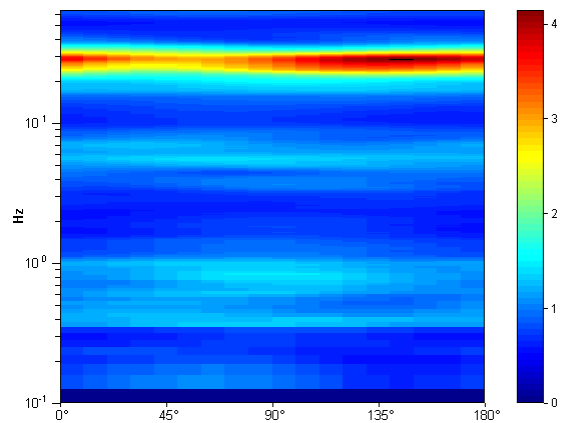
Max. H/V at 28.44 ± 0.22 Hz. (In the range 0.0 - 64.0 Hz).



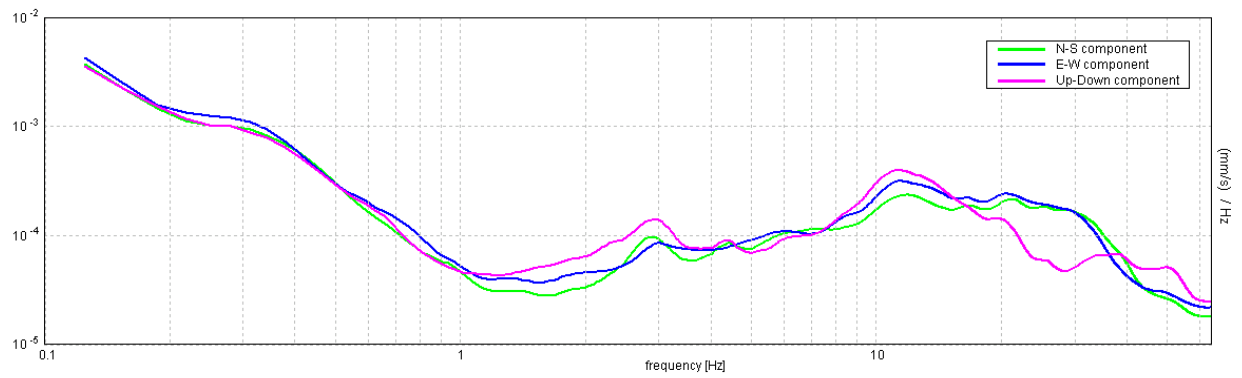
**SERIE TEMPORALE H/V**



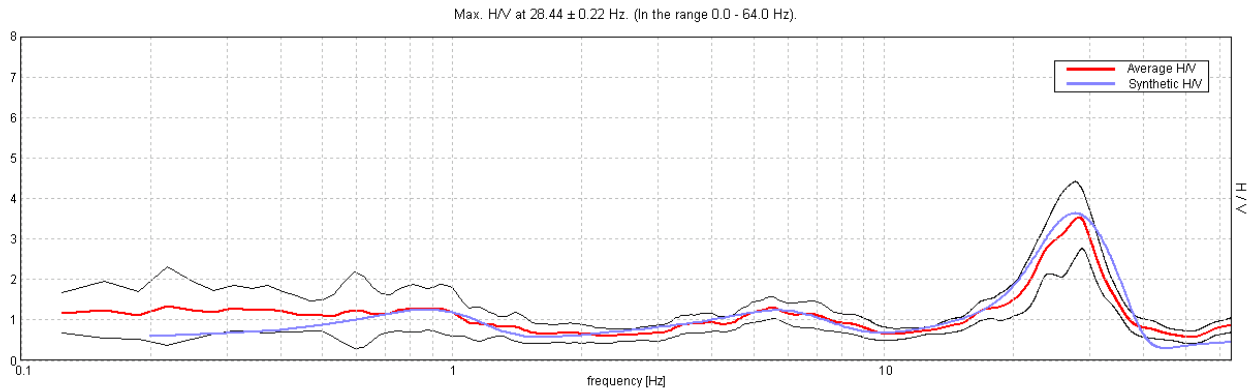
**DIREZIONALITA' H/V**



### SPETTRI DELLE SINGOLE COMPONENTI

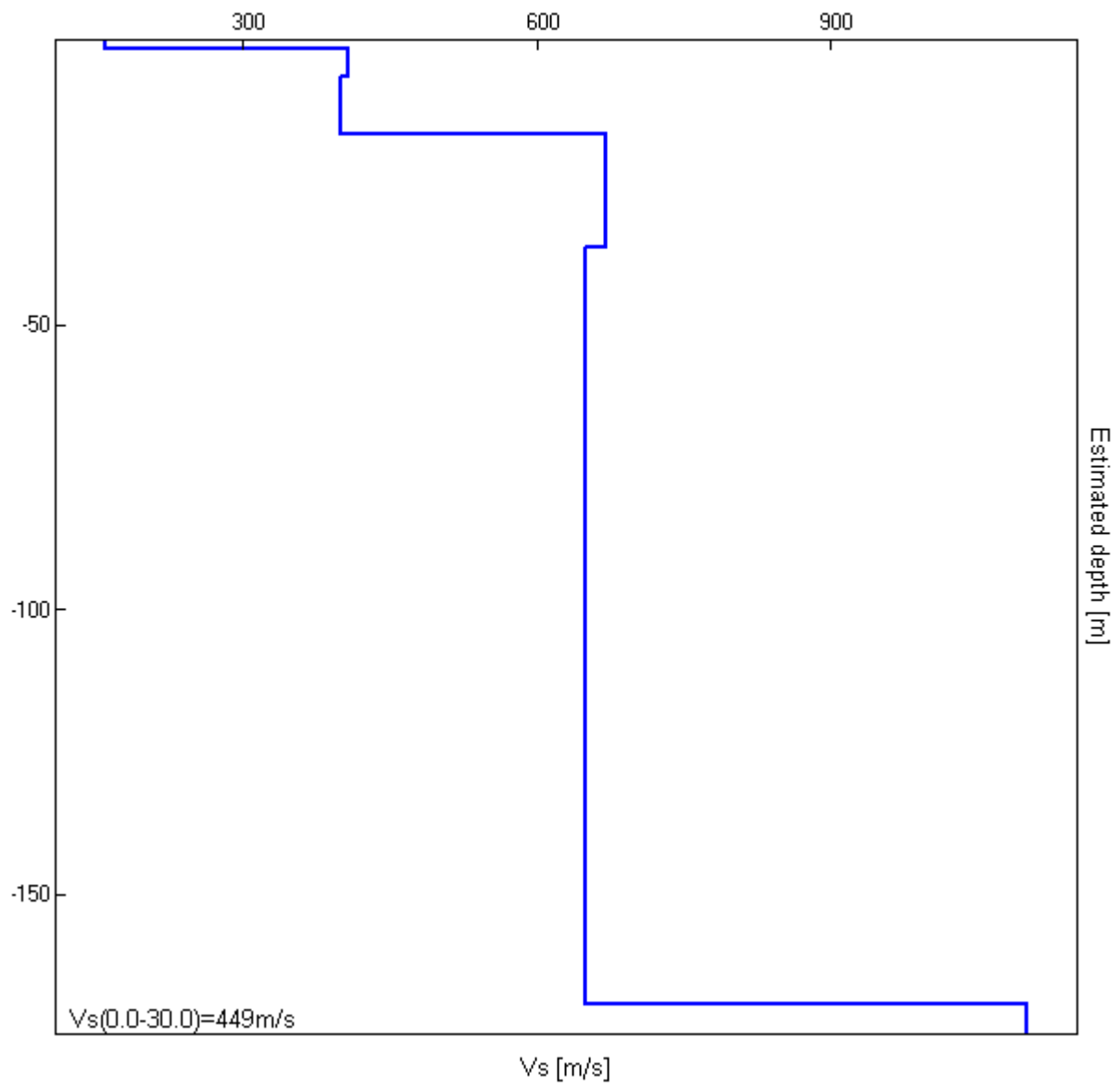


### H/V SPERIMENTALE vs. H/V SINTETICO



Profondità alla base dello strato [m]	Spessore [m]	Vs [m/s]	Rapporto di Poisson
1.50	1.50	160	0.35
6.50	5.00	408	0.35
16.50	10.00	400	0.35
36.50	20.00	670	0.35
169.50	133.00	650	0.35
inf.	inf.	1100	0.35

Vs(0.0-30.0)=449m/s



[Secondo le linee guida SESAME, 2005]

**Picco H/V a 28.44 ± 0.22 Hz (nell'intervallo 0.0 - 64.0 Hz).**

**Criteri per una curva H/V affidabile**  
[Tutti 3 dovrebbero risultare soddisfatti]

$f_0 > 10 / L_w$	28.44 > 0.50	OK	
$n_c(f_0) > 200$	20475.0 > 200	OK	
$\sigma_A(f) < 2$ per $0.5f_0 < f < 2f_0$ se $f_0 > 0.5\text{Hz}$ $\sigma_A(f) < 3$ per $0.5f_0 < f < 2f_0$ se $f_0 < 0.5\text{Hz}$	Superato 0 volte su 1366	OK	

**Criteri per un picco H/V chiaro**  
[Almeno 5 su 6 dovrebbero essere soddisfatti]

Esiste $f^-$ in $[f_0/4, f_0]$   $A_{H/V}(f^-) < A_0 / 2$	21.125 Hz	OK	
Esiste $f^+$ in $[f_0, 4f_0]$   $A_{H/V}(f^+) < A_0 / 2$	33.531 Hz	OK	
$A_0 > 2$	3.52 > 2	OK	
$f_{\text{picco}}[A_{H/V}(f) \pm \sigma_A(f)] = f_0 \pm 5\%$	0.00376  < 0.05	OK	
$\sigma_f < \varepsilon(f_0)$	0.10681 < 1.42188	OK	
$\sigma_A(f_0) < \theta(f_0)$	0.3922 < 1.58	OK	

$L_w$	lunghezza della finestra
$n_w$	numero di finestre usate nell'analisi
$n_c = L_w n_w f_0$	numero di cicli significativi
$f$	frequenza attuale
$f_0$	frequenza del picco H/V
$\sigma_f$	deviazione standard della frequenza del picco H/V
$\varepsilon(f_0)$	valore di soglia per la condizione di stabilità $\sigma_f < \varepsilon(f_0)$
$A_0$	ampiezza della curva H/V alla frequenza $f_0$
$A_{H/V}(f)$	ampiezza della curva H/V alla frequenza $f$
$f^-$	frequenza tra $f_0/4$ e $f_0$ alla quale $A_{H/V}(f^-) < A_0/2$
$f^+$	frequenza tra $f_0$ e $4f_0$ alla quale $A_{H/V}(f^+) < A_0/2$
$\sigma_A(f)$	deviazione standard di $A_{H/V}(f)$ , $\sigma_A(f)$ è il fattore per il quale la curva $A_{H/V}(f)$ media deve essere moltiplicata o divisa
$\sigma_{\log H/V}(f)$	deviazione standard della funzione $\log A_{H/V}(f)$
$\theta(f_0)$	valore di soglia per la condizione di stabilità $\sigma_A(f) < \theta(f_0)$

Valori di soglia per $\sigma_f$ e $\sigma_A(f_0)$					
Intervallo di freq. [Hz]	< 0.2	0.2 – 0.5	0.5 – 1.0	1.0 – 2.0	> 2.0
$\varepsilon(f_0)$ [Hz]	0.25 $f_0$	0.2 $f_0$	0.15 $f_0$	0.10 $f_0$	0.05 $f_0$
$\theta(f_0)$ per $\sigma_A(f_0)$	3.0	2.5	2.0	1.78	1.58
$\log \theta(f_0)$ per $\sigma_{\log H/V}(f_0)$	0.48	0.40	0.30	0.25	0.20

## FELI\_1158, FELINO T23

Strumento: TRZ-0091/01-10

Inizio registrazione: 30/01/12 12:59:02 Fine registrazione: 30/01/12 13:13:03

Nomi canali: NORTH SOUTH; EAST WEST ; UP DOWN

Dato GPS non disponibile

Durata registrazione: 0h14'00".

Analizzato 64% tracciato (selezione manuale)

Freq. campionamento: 128 Hz

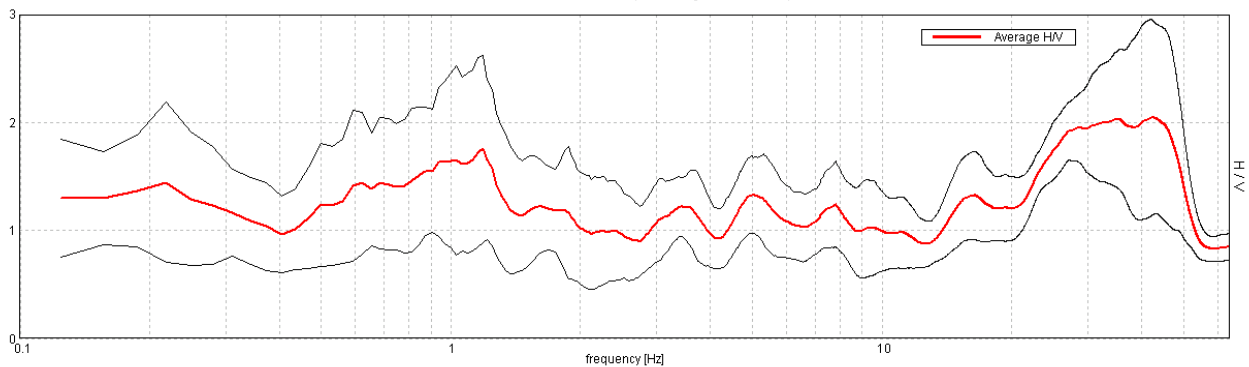
Lunghezza finestre: 20 s

Tipo di lisciamento: Triangular window

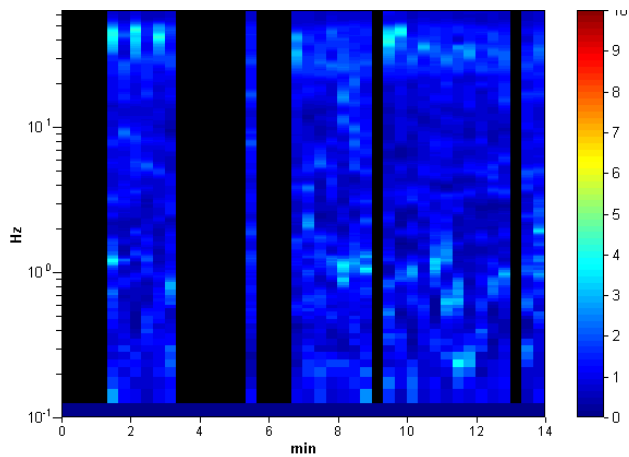
Lisciamento: 10%

### RAPPORTO SPETTRALE ORIZZONTALE SU VERTICALE

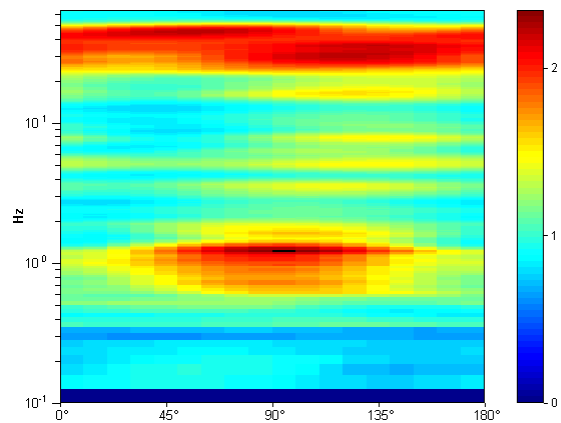
Max. H/V at 42.38 ± 0.31 Hz. (In the range 0.0 - 64.0 Hz).



### SERIE TEMPORALE H/V

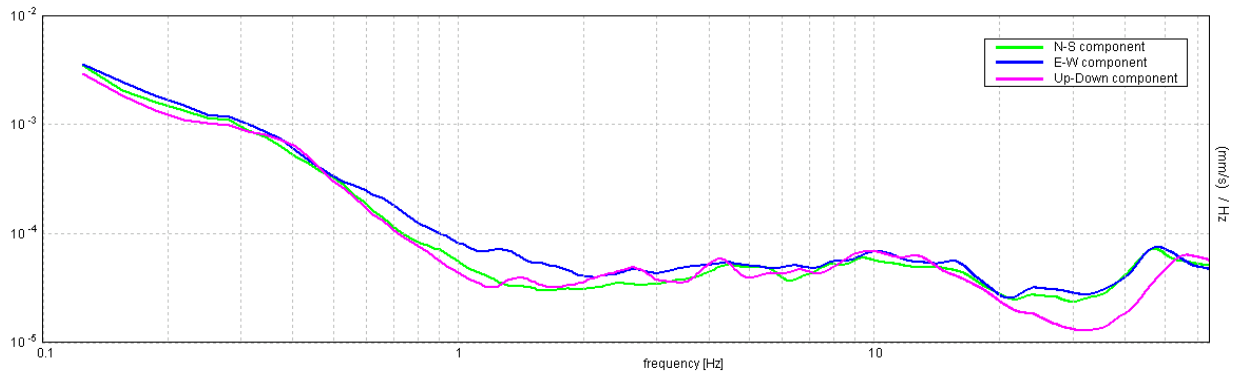


### DIREZIONALITA' H/V

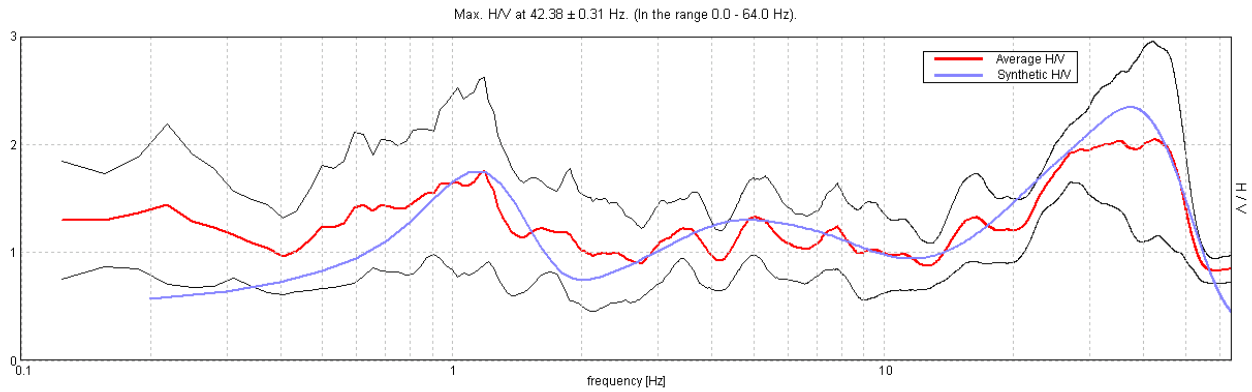




SPETTRI DELLE SINGOLE COMPONENTI

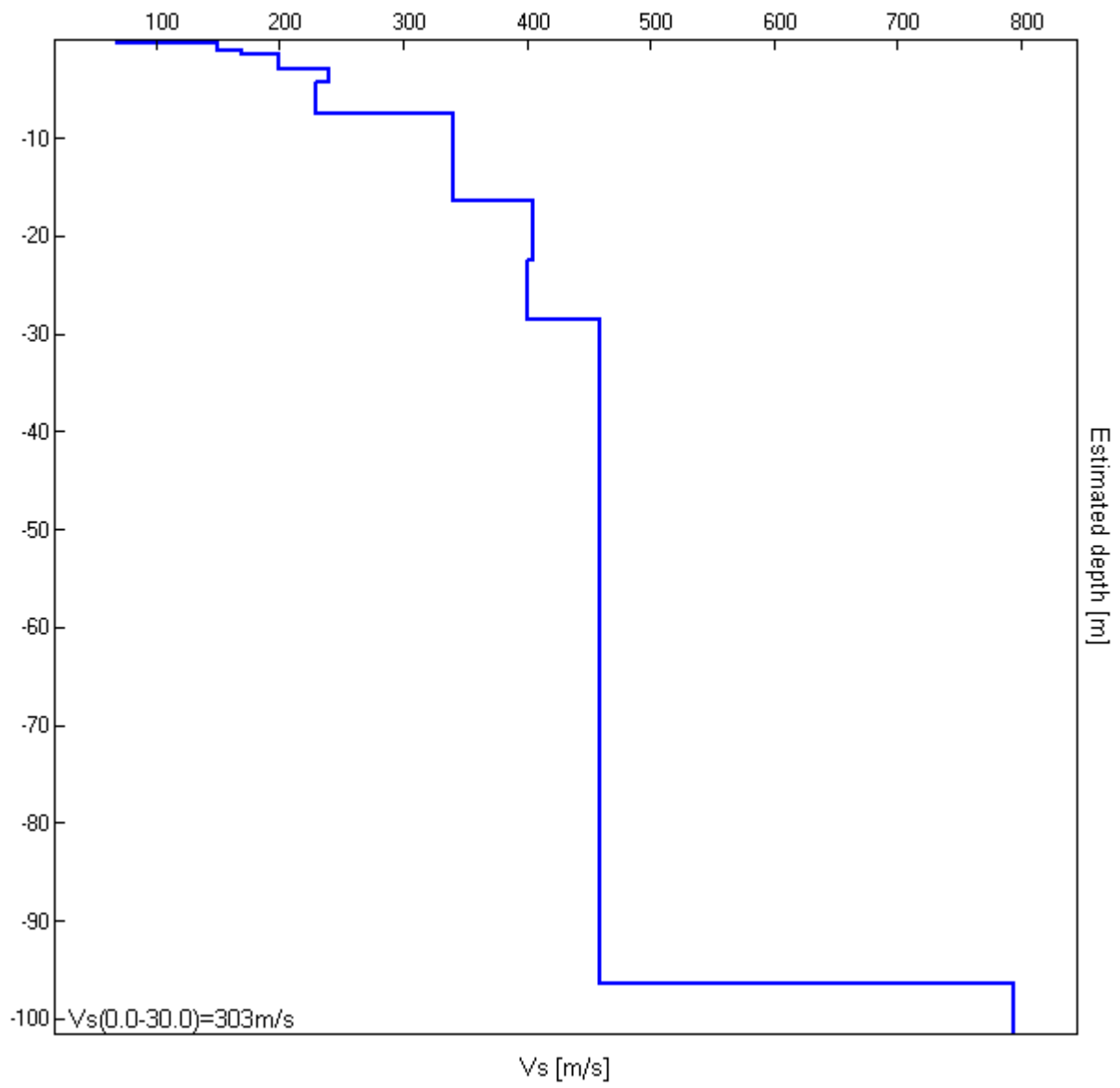


H/V SPERIMENTALE vs. H/V SINTETICO



Profondità alla base dello strato [m]	Spessore [m]	Vs [m/s]	Rapporto di Poisson
0.40	0.40	68	0.35
1.10	0.70	150	0.35
1.40	0.30	170	0.35
2.90	1.50	200	0.35
4.30	1.40	240	0.35
7.50	3.20	230	0.35
16.50	9.00	340	0.35
22.50	6.00	405	0.35
28.50	6.00	400	0.35
96.50	68.00	460	0.35
inf.	inf.	795	0.35

Vs(0.0-30.0)=303m/s



[Secondo le linee guida SESAME, 2005]

**Picco H/V a 42.38 ± 0.31 Hz (nell'intervallo 0.0 - 64.0 Hz).**

**Criteri per una curva H/V affidabile**  
[Tutti 3 dovrebbero risultare soddisfatti]

$f_0 > 10 / L_w$	42.38 > 0.50	OK	
$n_c(f_0) > 200$	22882.5 > 200	OK	
$\sigma_A(f) < 2$ per $0.5f_0 < f < 2f_0$ se $f_0 > 0.5\text{Hz}$ $\sigma_A(f) < 3$ per $0.5f_0 < f < 2f_0$ se $f_0 < 0.5\text{Hz}$	Superato 0 volte su 1371	OK	

**Criteri per un picco H/V chiaro**  
[Almeno 5 su 6 dovrebbero essere soddisfatti]

<b>Esiste <math>f^-</math> in <math>[f_0/4, f_0]</math>   <math>A_{H/V}(f^-) &lt; A_0 / 2</math></b>	13.906 Hz	OK	
<b>Esiste <math>f^+</math> in <math>[f_0, 4f_0]</math>   <math>A_{H/V}(f^+) &lt; A_0 / 2</math></b>	53.063 Hz	OK	
$A_0 > 2$	2.05 > 2	OK	
$f_{\text{picco}}[A_{H/V}(f) \pm \sigma_A(f)] = f_0 \pm 5\%$	0.00346  < 0.05	OK	
$\sigma_f < \varepsilon(f_0)$	0.14676 < 2.11875	OK	
$\sigma_A(f_0) < \theta(f_0)$	0.4306 < 1.58	OK	

$L_w$	lunghezza della finestra
$n_w$	numero di finestre usate nell'analisi
$n_c = L_w n_w f_0$	numero di cicli significativi
$f$	frequenza attuale
$f_0$	frequenza del picco H/V
$\sigma_f$	deviazione standard della frequenza del picco H/V
$\varepsilon(f_0)$	valore di soglia per la condizione di stabilità $\sigma_f < \varepsilon(f_0)$
$A_0$	ampiezza della curva H/V alla frequenza $f_0$
$A_{H/V}(f)$	ampiezza della curva H/V alla frequenza $f$
$f^-$	frequenza tra $f_0/4$ e $f_0$ alla quale $A_{H/V}(f^-) < A_0/2$
$f^+$	frequenza tra $f_0$ e $4f_0$ alla quale $A_{H/V}(f^+) < A_0/2$
$\sigma_A(f)$	deviazione standard di $A_{H/V}(f)$ , $\sigma_A(f)$ è il fattore per il quale la curva $A_{H/V}(f)$ media deve essere moltiplicata o divisa
$\sigma_{\log H/V}(f)$	deviazione standard della funzione $\log A_{H/V}(f)$
$\theta(f_0)$	valore di soglia per la condizione di stabilità $\sigma_A(f) < \theta(f_0)$

Valori di soglia per $\sigma_f$ e $\sigma_A(f_0)$					
Intervallo di freq. [Hz]	< 0.2	0.2 – 0.5	0.5 – 1.0	1.0 – 2.0	> 2.0
$\varepsilon(f_0)$ [Hz]	0.25 $f_0$	0.2 $f_0$	0.15 $f_0$	0.10 $f_0$	0.05 $f_0$
$\theta(f_0)$ per $\sigma_A(f_0)$	3.0	2.5	2.0	1.78	1.58
$\log \theta(f_0)$ per $\sigma_{\log H/V}(f_0)$	0.48	0.40	0.30	0.25	0.20

**FELI\_1158, FELINO T24**

Strumento: TRZ-0091/01-10

Inizio registrazione: 30/01/12 13:25:53 Fine registrazione: 30/01/12 13:39:54

Nomi canali: NORTH SOUTH; EAST WEST ; UP DOWN

Dato GPS non disponibile

Durata registrazione: 0h14'00".

Analizzato 90% tracciato (selezione manuale)

Freq. campionamento: 128 Hz

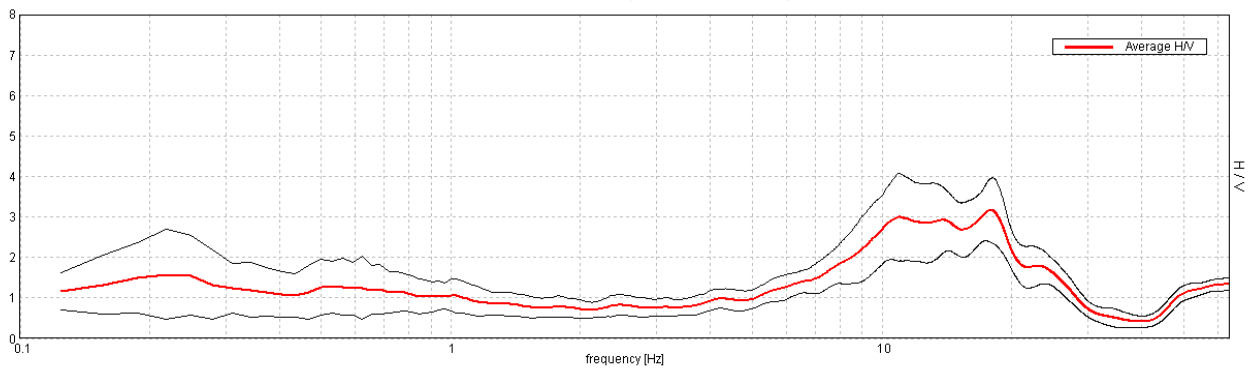
Lunghezza finestre: 20 s

Tipo di lisciamento: Triangular window

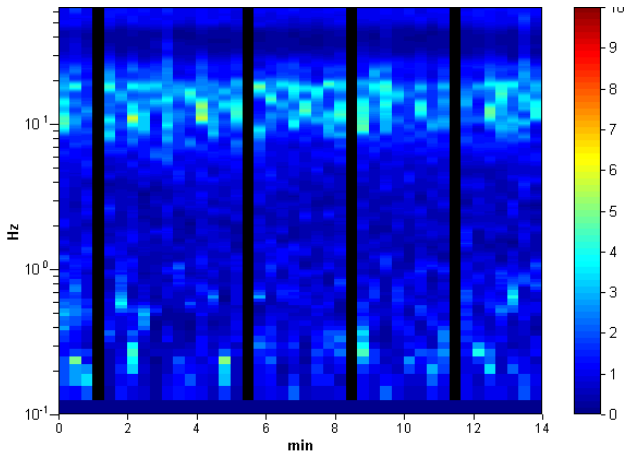
Lisciamento: 10%

**RAPPORTO SPETTRALE ORIZZONTALE SU VERTICALE**

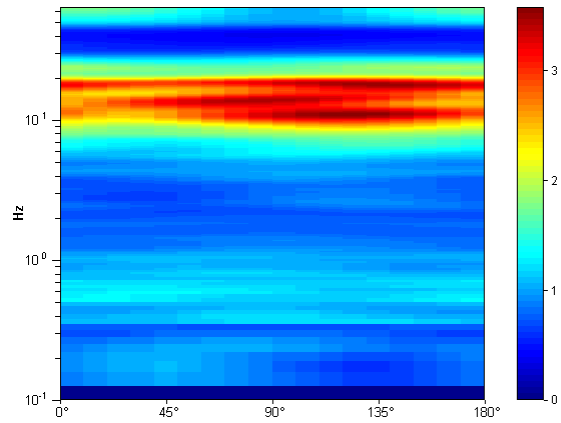
Picco H/V a 17.81 ± 1.16 Hz (nell'intervallo 0.0 - 64.0 Hz).



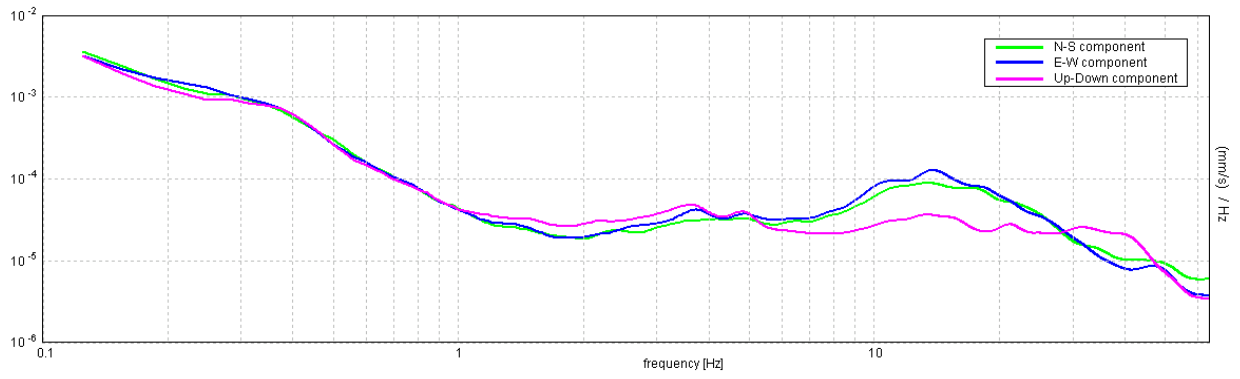
**SERIE TEMPORALE H/V**



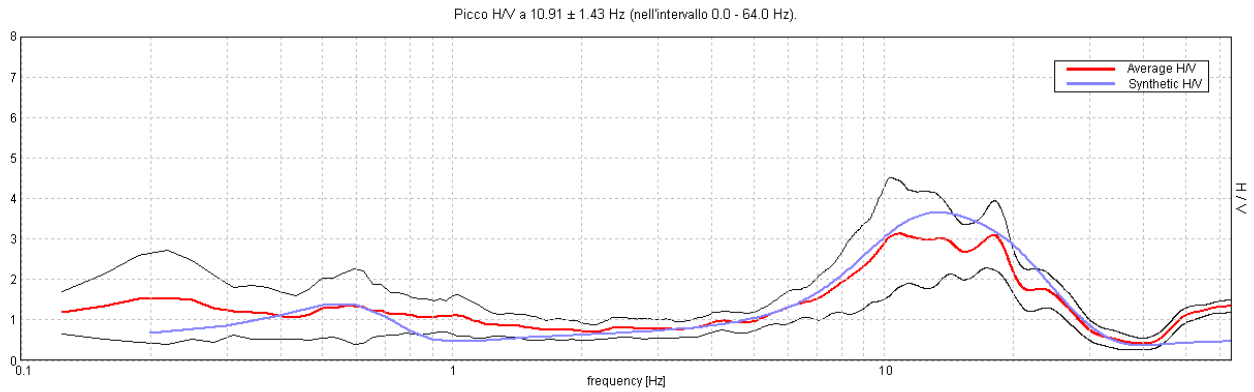
**DIREZIONALITA' H/V**



SPETTRI DELLE SINGOLE COMPONENTI

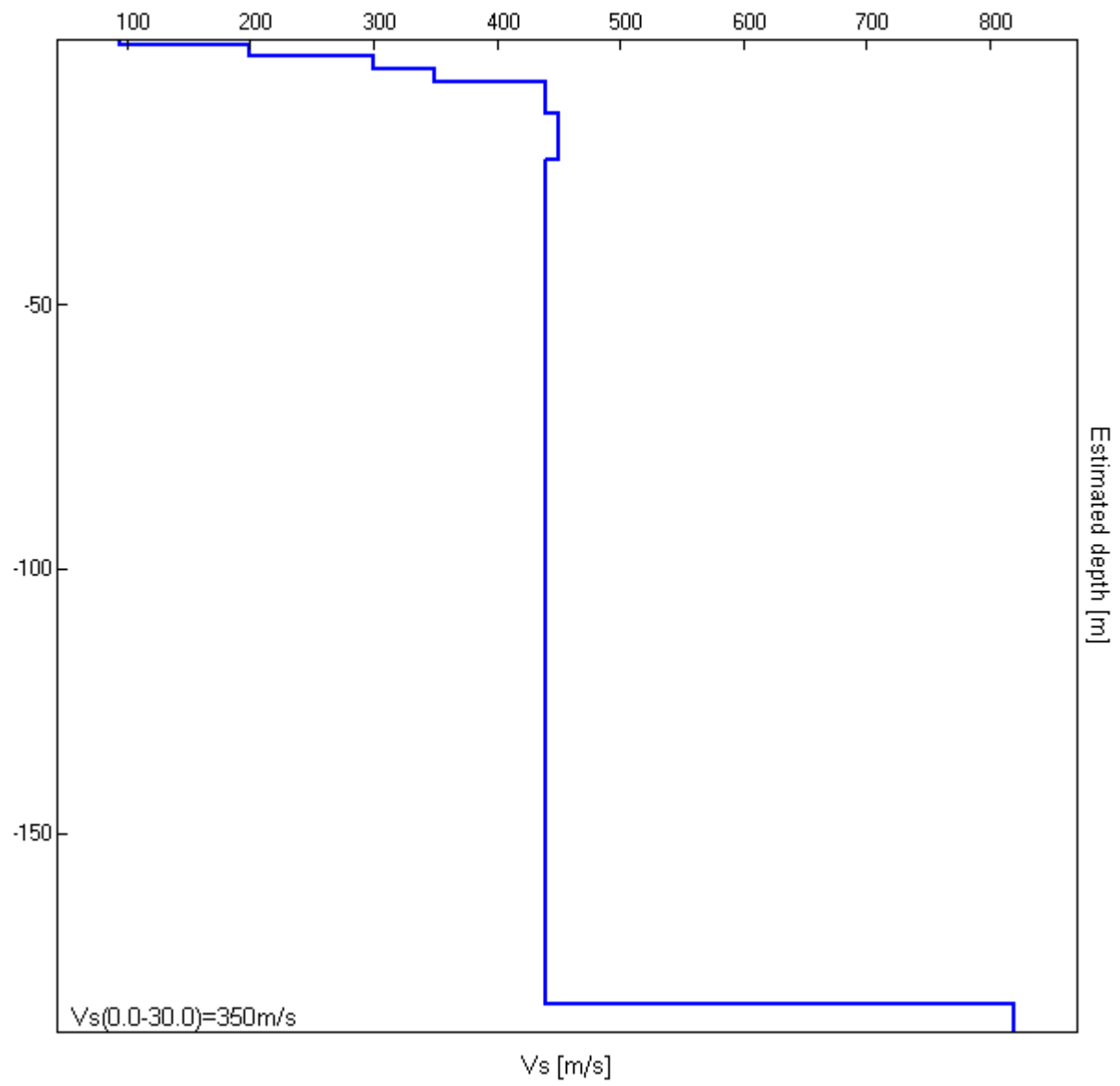


### H/V SPERIMENTALE vs. H/V SINTETICO



Profondità alla base dello strato [m]	Spessore [m]	Vs [m/s]	Rapporto di Poisson
1.00	1.00	94	0.35
3.00	2.00	200	0.35
5.40	2.40	300	0.35
8.00	2.60	350	0.35
14.00	6.00	440	0.35
22.50	8.50	450	0.35
182.50	160.00	440	0.35
inf.	inf.	820	0.35

Vs(0.0-30.0)=350m/s





[Secondo le linee guida SESAME, 2005]

**Picco H/V a 17.81 ± 1.16 Hz (nell'intervallo 0.0 - 64.0 Hz).**

**Criteri per una curva H/V affidabile**  
[Tutti 3 dovrebbero risultare soddisfatti]

$f_0 > 10 / L_w$	17.81 > 0.50	OK	
$n_c(f_0) > 200$	13537.5 > 200	OK	
$\sigma_A(f) < 2$ per $0.5f_0 < f < 2f_0$ se $f_0 > 0.5\text{Hz}$ $\sigma_A(f) < 3$ per $0.5f_0 < f < 2f_0$ se $f_0 < 0.5\text{Hz}$	Superato 0 volte su 856	OK	

**Criteri per un picco H/V chiaro**  
[Almeno 5 su 6 dovrebbero essere soddisfatti]

Esiste $f^-$ in $[f_0/4, f_0]$   $A_{H/V}(f^-) < A_0 / 2$	7.313 Hz	OK	
Esiste $f^+$ in $[f_0, 4f_0]$   $A_{H/V}(f^+) < A_0 / 2$	25.188 Hz	OK	
$A_0 > 2$	3.16 > 2	OK	
$f_{\text{picco}}[A_{H/V}(f) \pm \sigma_A(f)] = f_0 \pm 5\%$	$ 0.03175  < 0.05$	OK	
$\sigma_f < \varepsilon(f_0)$	0.56563 < 0.89063	OK	
$\sigma_A(f_0) < \theta(f_0)$	0.3823 < 1.58	OK	

$L_w$	lunghezza della finestra
$n_w$	numero di finestre usate nell'analisi
$n_c = L_w n_w f_0$	numero di cicli significativi
$f$	frequenza attuale
$f_0$	frequenza del picco H/V
$\sigma_f$	deviazione standard della frequenza del picco H/V
$\varepsilon(f_0)$	valore di soglia per la condizione di stabilità $\sigma_f < \varepsilon(f_0)$
$A_0$	ampiezza della curva H/V alla frequenza $f_0$
$A_{H/V}(f)$	ampiezza della curva H/V alla frequenza $f$
$f^-$	frequenza tra $f_0/4$ e $f_0$ alla quale $A_{H/V}(f^-) < A_0/2$
$f^+$	frequenza tra $f_0$ e $4f_0$ alla quale $A_{H/V}(f^+) < A_0/2$
$\sigma_A(f)$	deviazione standard di $A_{H/V}(f)$ , $\sigma_A(f)$ è il fattore per il quale la curva $A_{H/V}(f)$ media deve essere moltiplicata o divisa
$\sigma_{\log H/V}(f)$	deviazione standard della funzione $\log A_{H/V}(f)$
$\theta(f_0)$	valore di soglia per la condizione di stabilità $\sigma_A(f) < \theta(f_0)$

Valori di soglia per $\sigma_f$ e $\sigma_A(f_0)$					
Intervallo di freq. [Hz]	< 0.2	0.2 – 0.5	0.5 – 1.0	1.0 – 2.0	> 2.0
$\varepsilon(f_0)$ [Hz]	0.25 $f_0$	0.2 $f_0$	0.15 $f_0$	0.10 $f_0$	0.05 $f_0$
$\theta(f_0)$ per $\sigma_A(f_0)$	3.0	2.5	2.0	1.78	1.58
$\log \theta(f_0)$ per $\sigma_{\log H/V}(f_0)$	0.48	0.40	0.30	0.25	0.20

## FELI\_1158, FELINO T25

Strumento: TRZ-0091/01-10

Inizio registrazione: 30/01/12 13:46:36 Fine registrazione: 30/01/12 14:00:37

Nomi canali: NORTH SOUTH; EAST WEST ; UP DOWN

Dato GPS non disponibile

Durata registrazione: 0h14'00".

Analizzato 95% tracciato (selezione manuale)

Freq. campionamento: 128 Hz

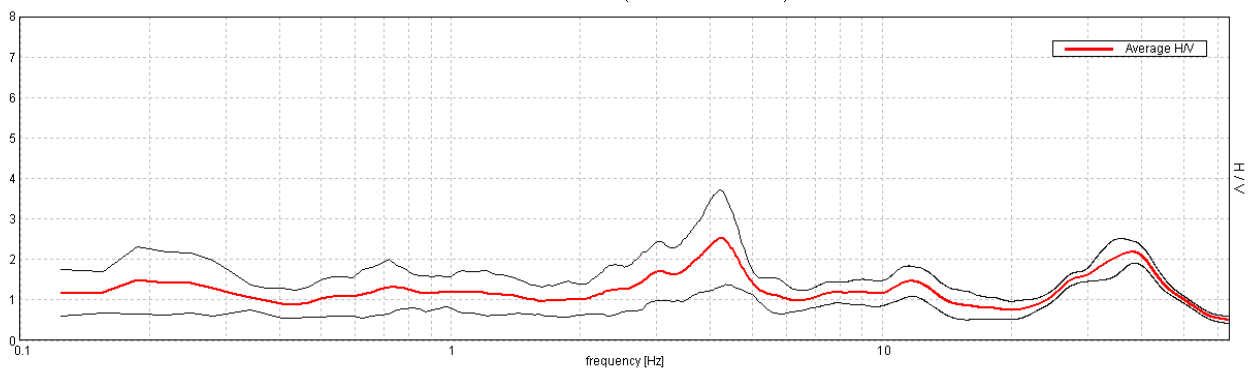
Lunghezza finestre: 20 s

Tipo di lisciamento: Triangular window

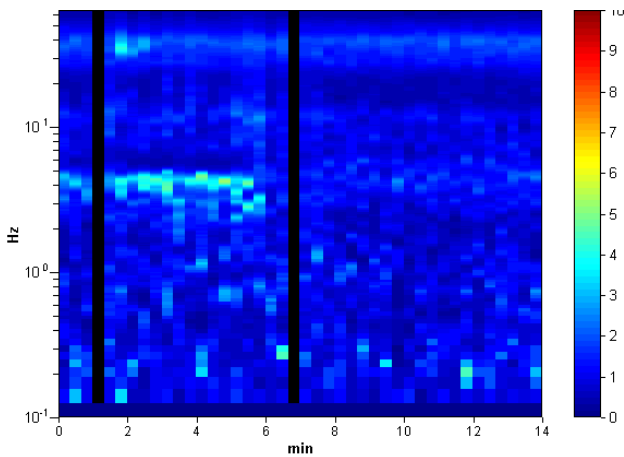
Lisciamento: 10%

### RAPPORTO SPETTRALE ORIZZONTALE SU VERTICALE

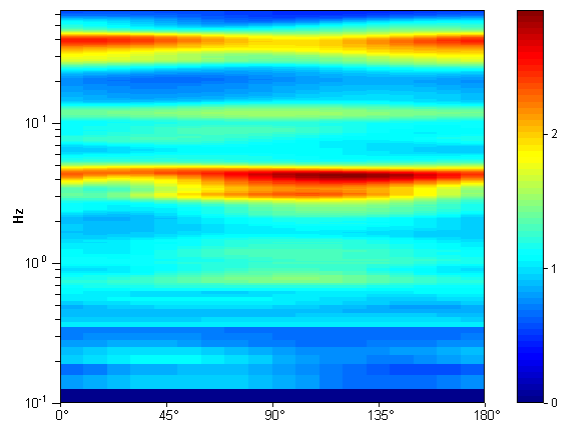
Picco H/V a  $4.22 \pm 0.02$  Hz (nell'intervallo 0.0 - 64.0 Hz).



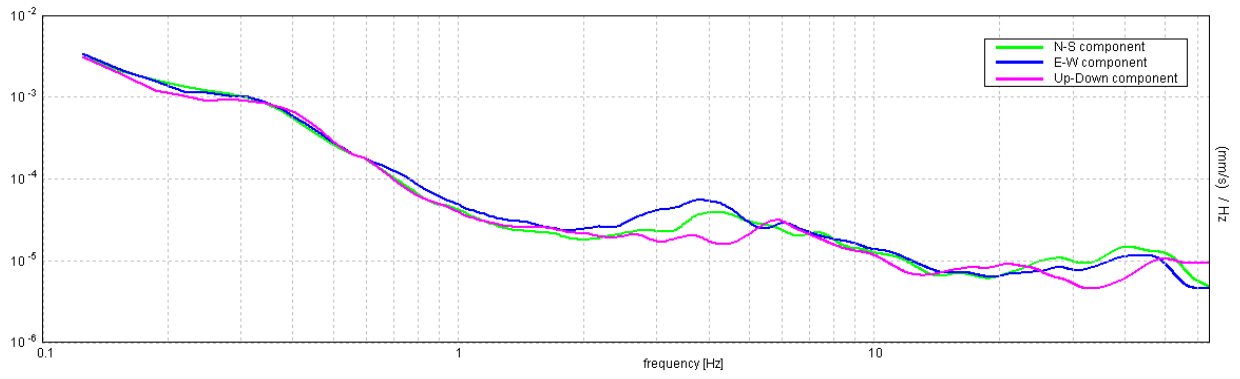
### SERIE TEMPORALE H/V



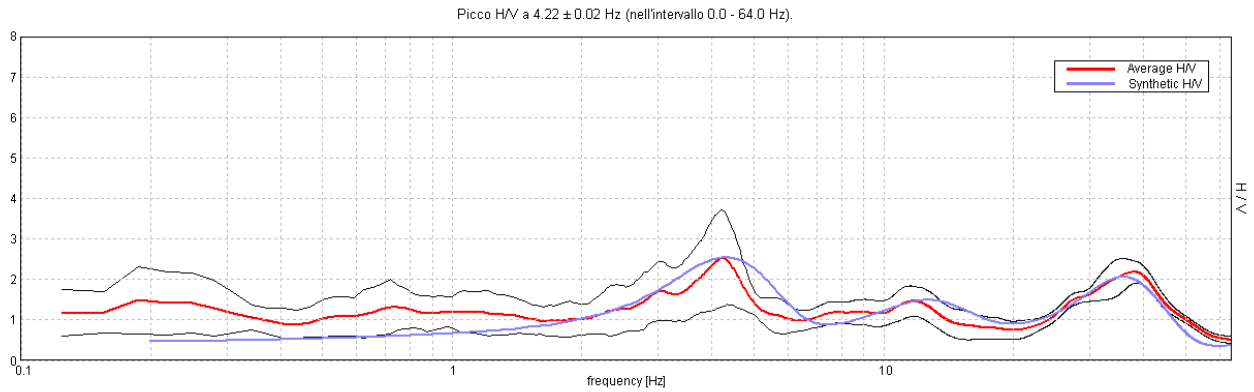
### DIREZIONALITA' H/V



SPETTRI DELLE SINGOLE COMPONENTI

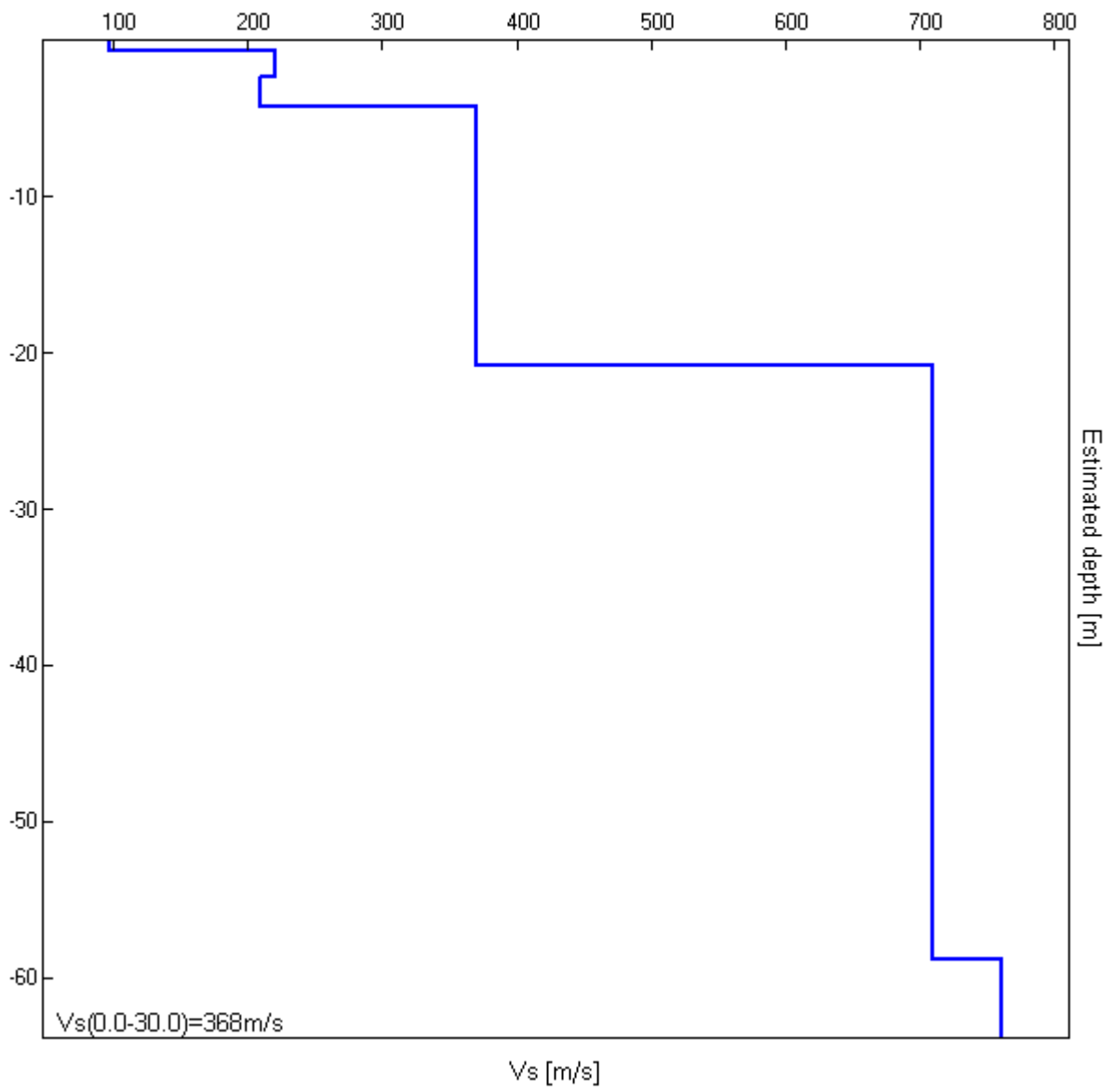


### H/V SPERIMENTALE vs. H/V SINTETICO



Profondità alla base dello strato [m]	Spessore [m]	Vs [m/s]	Rapporto di Poisson
0.70	0.70	98	0.35
2.40	1.70	220	0.35
4.30	1.90	210	0.35
20.80	16.50	370	0.35
58.80	38.00	710	0.35
inf.	inf.	760	0.35

Vs(0.0-30.0)=368m/s



[Secondo le linee guida SESAME, 2005]

**Picco H/V a  $4.22 \pm 0.02$  Hz (nell'intervallo 0.0 - 64.0 Hz).**

**Criteri per una curva H/V affidabile**  
[Tutti 3 dovrebbero risultare soddisfatti]

$f_0 > 10 / L_w$	$4.22 > 0.50$	<b>OK</b>	
$n_c(f_0) > 200$	$3375.0 > 200$	<b>OK</b>	
$\sigma_A(f) < 2$ per $0.5f_0 < f < 2f_0$ se $f_0 > 0.5\text{Hz}$ $\sigma_A(f) < 3$ per $0.5f_0 < f < 2f_0$ se $f_0 < 0.5\text{Hz}$	Superato 0 volte su 204	<b>OK</b>	

**Criteri per un picco H/V chiaro**  
[Almeno 5 su 6 dovrebbero essere soddisfatti]

<b>Esiste <math>f^-</math> in <math>[f_0/4, f_0]</math>   <math>A_{H/V}(f^-) &lt; A_0 / 2</math></b>	2.438 Hz	<b>OK</b>	
<b>Esiste <math>f^+</math> in <math>[f_0, 4f_0]</math>   <math>A_{H/V}(f^+) &lt; A_0 / 2</math></b>	5.188 Hz	<b>OK</b>	
$A_0 > 2$	$2.52 > 2$	<b>OK</b>	
$f_{\text{picco}}[A_{H/V}(f) \pm \sigma_A(f)] = f_0 \pm 5\%$	$ 0.00215  < 0.05$	<b>OK</b>	
$\sigma_f < \varepsilon(f_0)$	$0.00908 < 0.21094$	<b>OK</b>	
$\sigma_A(f_0) < \theta(f_0)$	$0.5818 < 1.58$	<b>OK</b>	

$L_w$	lunghezza della finestra
$n_w$	numero di finestre usate nell'analisi
$n_c = L_w n_w f_0$	numero di cicli significativi
$f$	frequenza attuale
$f_0$	frequenza del picco H/V
$\sigma_f$	deviazione standard della frequenza del picco H/V
$\varepsilon(f_0)$	valore di soglia per la condizione di stabilità $\sigma_f < \varepsilon(f_0)$
$A_0$	ampiezza della curva H/V alla frequenza $f_0$
$A_{H/V}(f)$	ampiezza della curva H/V alla frequenza $f$
$f^-$	frequenza tra $f_0/4$ e $f_0$ alla quale $A_{H/V}(f^-) < A_0/2$
$f^+$	frequenza tra $f_0$ e $4f_0$ alla quale $A_{H/V}(f^+) < A_0/2$
$\sigma_A(f)$	deviazione standard di $A_{H/V}(f)$ , $\sigma_A(f)$ è il fattore per il quale la curva $A_{H/V}(f)$ media deve essere moltiplicata o divisa
$\sigma_{\log H/V}(f)$	deviazione standard della funzione $\log A_{H/V}(f)$
$\theta(f_0)$	valore di soglia per la condizione di stabilità $\sigma_A(f) < \theta(f_0)$

Valori di soglia per $\sigma_f$ e $\sigma_A(f_0)$					
Intervallo di freq. [Hz]	< 0.2	0.2 – 0.5	0.5 – 1.0	1.0 – 2.0	> 2.0
$\varepsilon(f_0)$ [Hz]	$0.25 f_0$	$0.2 f_0$	$0.15 f_0$	$0.10 f_0$	$0.05 f_0$
$\theta(f_0)$ per $\sigma_A(f_0)$	3.0	2.5	2.0	1.78	1.58
$\log \theta(f_0)$ per $\sigma_{\log H/V}(f_0)$	0.48	0.40	0.30	0.25	0.20

**FELI\_1158, FELINO T26**

Strumento: TRZ-0091/01-10

Inizio registrazione: 30/01/12 14:11:17 Fine registrazione: 30/01/12 14:25:18

Nomi canali: NORTH SOUTH; EAST WEST ; UP DOWN

Dato GPS non disponibile

Durata registrazione: 0h14'00".

Analizzato 79% tracciato (selezione manuale)

Freq. campionamento: 128 Hz

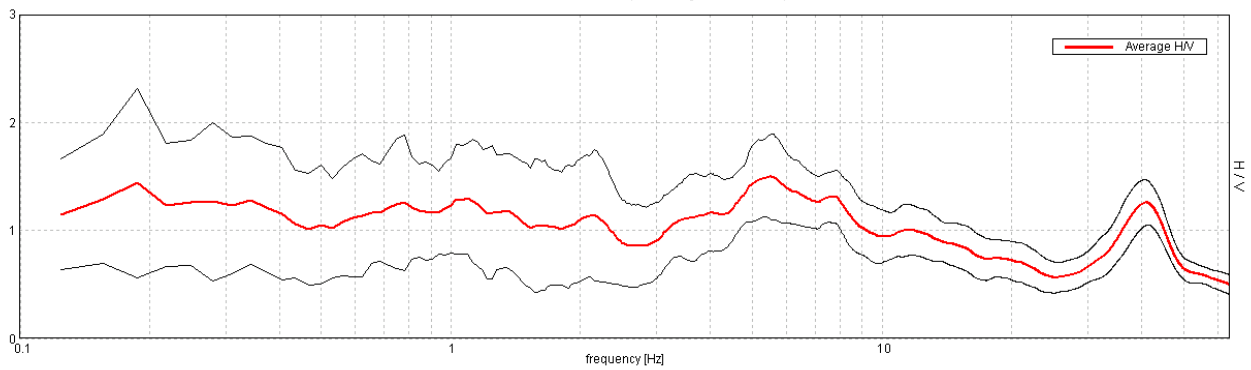
Lunghezza finestre: 20 s

Tipo di lisciamento: Triangular window

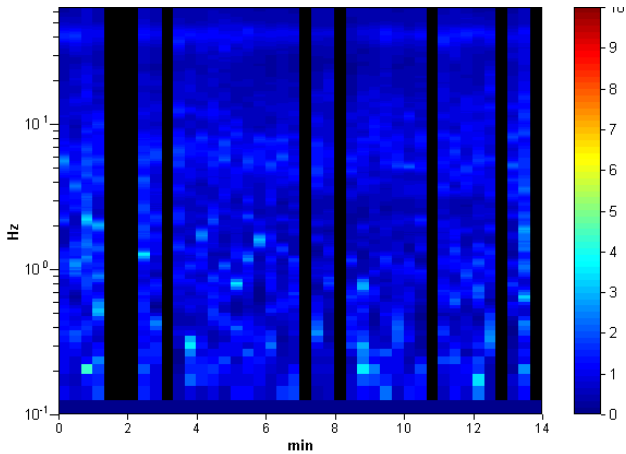
Lisciamento: 10%

**RAPPORTO SPETTRALE ORIZZONTALE SU VERTICALE**

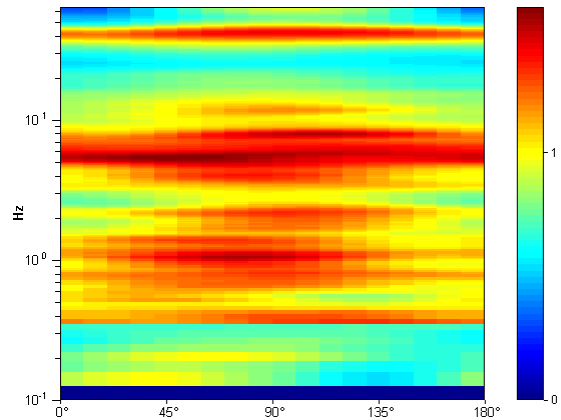
Max. H/V at 5.47 ± 0.79 Hz. (In the range 0.0 - 64.0 Hz).



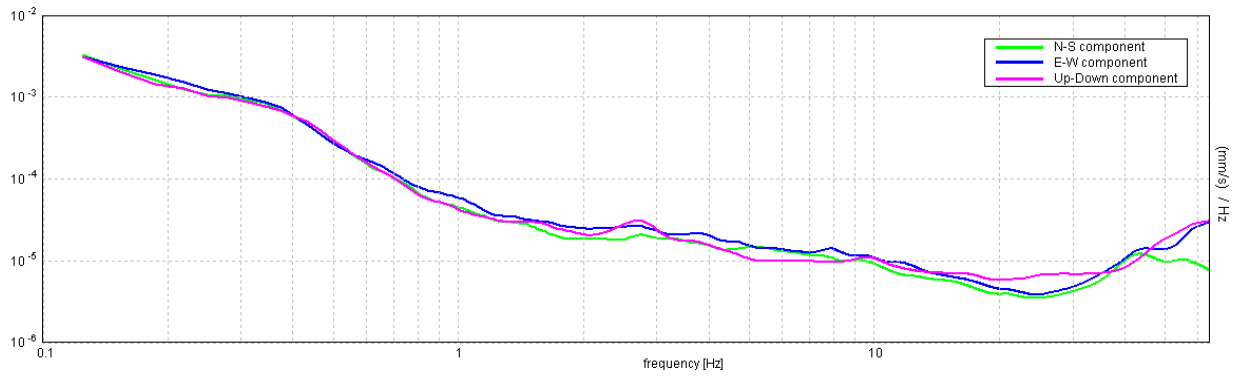
**SERIE TEMPORALE H/V**



**DIREZIONALITA' H/V**

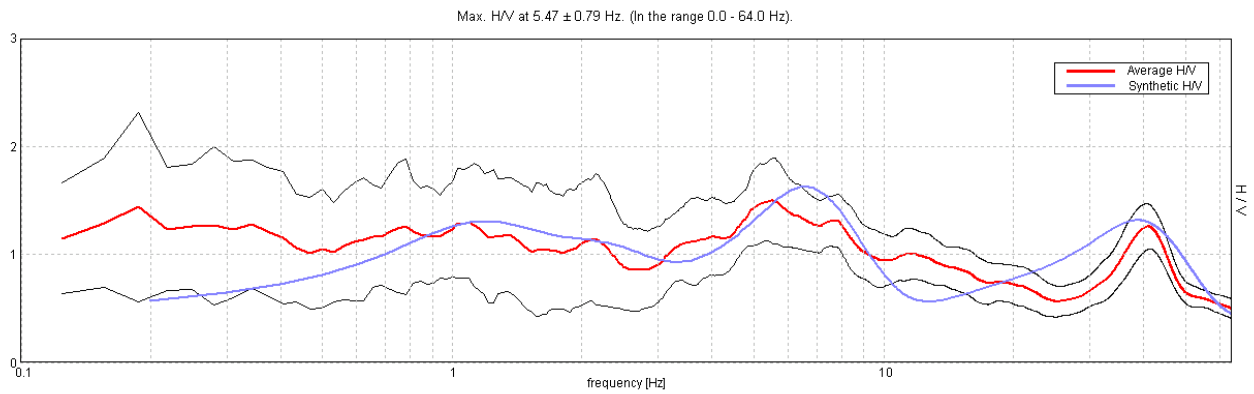


SPETTRI DELLE SINGOLE COMPONENTI



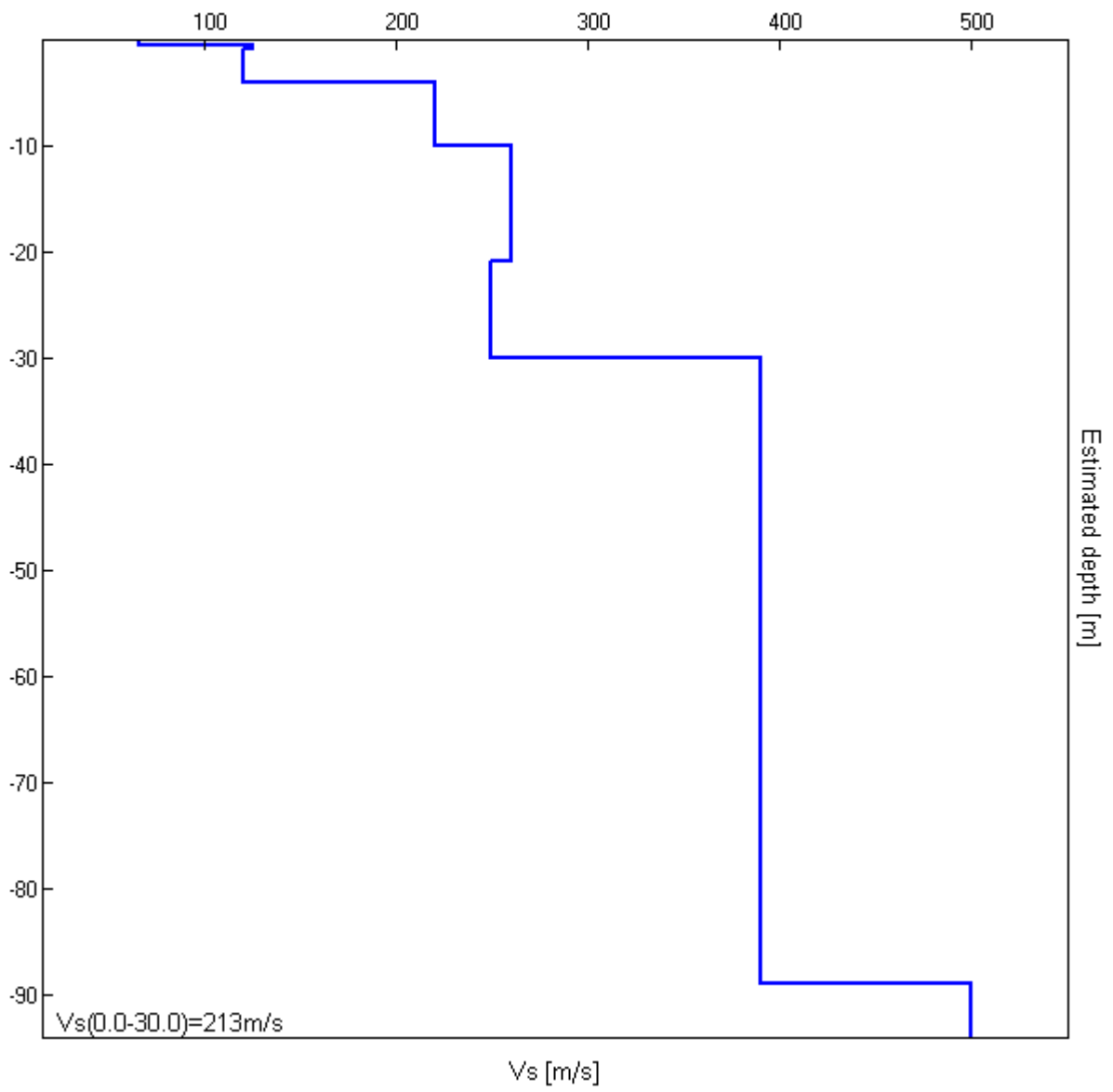


### H/V SPERIMENTALE vs. H/V SINTETICO



Profondità alla base dello strato [m]	Spessore [m]	Vs [m/s]	Rapporto di Poisson
0.40	0.40	66	0.35
0.90	0.50	125	0.35
3.90	3.00	120	0.35
9.90	6.00	220	0.35
20.90	11.00	260	0.35
29.90	9.00	250	0.35
88.90	59.00	390	0.35
inf.	inf.	500	0.35

Vs(0.0-30.0)=213m/s



[Secondo le linee guida SESAME, 2005]

**Picco H/V a  $5.47 \pm 0.79$  Hz (nell'intervallo 0.0 - 64.0 Hz).**

**Criteri per una curva H/V affidabile**  
[Tutti 3 dovrebbero risultare soddisfatti]

$f_0 > 10 / L_w$	$5.47 > 0.50$	<b>OK</b>	
$n_c(f_0) > 200$	$3609.4 > 200$	<b>OK</b>	
$\sigma_A(f) < 2$ per $0.5f_0 < f < 2f_0$ se $f_0 > 0.5$ Hz $\sigma_A(f) < 3$ per $0.5f_0 < f < 2f_0$ se $f_0 < 0.5$ Hz	Superato 0 volte su 264	<b>OK</b>	

**Criteri per un picco H/V chiaro**  
[Almeno 5 su 6 dovrebbero essere soddisfatti]

<b>Esiste <math>f^-</math> in <math>[f_0/4, f_0]</math>   <math>A_{H/V}(f^-) &lt; A_0 / 2</math></b>			<b>NO</b>
<b>Esiste <math>f^+</math> in <math>[f_0, 4f_0]</math>   <math>A_{H/V}(f^+) &lt; A_0 / 2</math></b>	16.969 Hz	<b>OK</b>	
$A_0 > 2$	$1.50 > 2$		<b>NO</b>
$f_{picco}[A_{H/V}(f) \pm \sigma_A(f)] = f_0 \pm 5\%$	$ 0.07003  < 0.05$		<b>NO</b>
$\sigma_f < \varepsilon(f_0)$	$0.38299 < 0.27344$		<b>NO</b>
$\sigma_A(f_0) < \theta(f_0)$	$0.1849 < 1.58$	<b>OK</b>	

$L_w$	lunghezza della finestra
$n_w$	numero di finestre usate nell'analisi
$n_c = L_w n_w f_0$	numero di cicli significativi
$f$	frequenza attuale
$f_0$	frequenza del picco H/V
$\sigma_f$	deviazione standard della frequenza del picco H/V
$\varepsilon(f_0)$	valore di soglia per la condizione di stabilità $\sigma_f < \varepsilon(f_0)$
$A_0$	ampiezza della curva H/V alla frequenza $f_0$
$A_{H/V}(f)$	ampiezza della curva H/V alla frequenza $f$
$f^-$	frequenza tra $f_0/4$ e $f_0$ alla quale $A_{H/V}(f^-) < A_0/2$
$f^+$	frequenza tra $f_0$ e $4f_0$ alla quale $A_{H/V}(f^+) < A_0/2$
$\sigma_A(f)$	deviazione standard di $A_{H/V}(f)$ , $\sigma_A(f)$ è il fattore per il quale la curva $A_{H/V}(f)$ media deve essere moltiplicata o divisa
$\sigma_{\log H/V}(f)$	deviazione standard della funzione $\log A_{H/V}(f)$
$\theta(f_0)$	valore di soglia per la condizione di stabilità $\sigma_A(f) < \theta(f_0)$

Valori di soglia per $\sigma_f$ e $\sigma_A(f_0)$					
Intervallo di freq. [Hz]	< 0.2	0.2 – 0.5	0.5 – 1.0	1.0 – 2.0	> 2.0
$\varepsilon(f_0)$ [Hz]	$0.25 f_0$	$0.2 f_0$	$0.15 f_0$	$0.10 f_0$	$0.05 f_0$
$\theta(f_0)$ per $\sigma_A(f_0)$	3.0	2.5	2.0	1.78	1.58
$\log \theta(f_0)$ per $\sigma_{\log H/V}(f_0)$	0.48	0.40	0.30	0.25	0.20

**FELI\_1158, FELINO T27**

Strumento: TRZ-0091/01-10

Inizio registrazione: 30/01/12 14:36:47 Fine registrazione: 30/01/12 14:50:48

Nomi canali: NORTH SOUTH; EAST WEST ; UP DOWN

Dato GPS non disponibile

Durata registrazione: 0h14'00".

Analizzato 88% tracciato (selezione manuale)

Freq. campionamento: 128 Hz

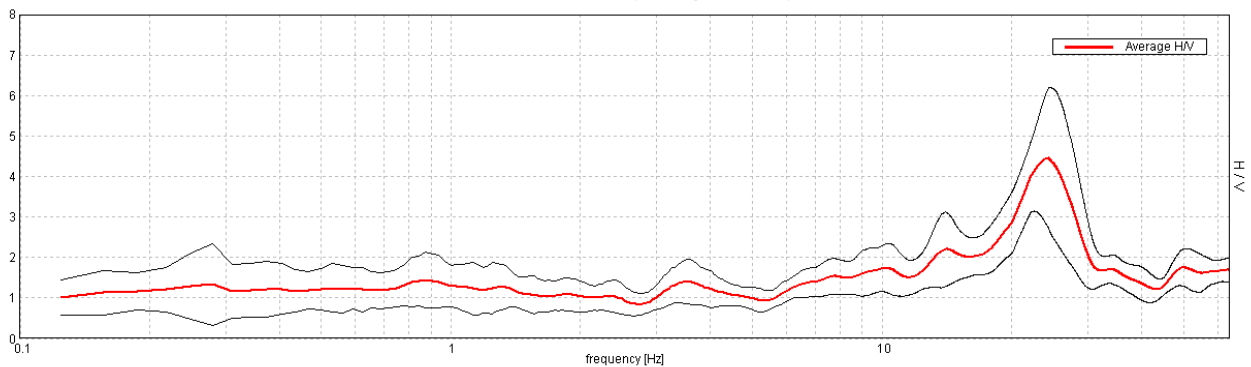
Lunghezza finestre: 20 s

Tipo di lisciamento: Triangular window

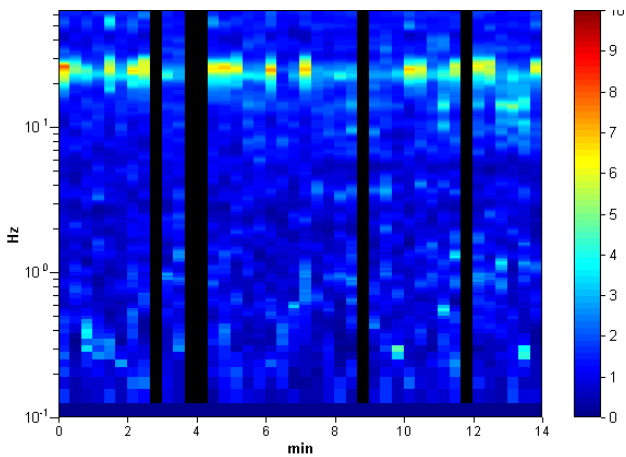
Lisciamento: 10%

**RAPPORTO SPETTRALE ORIZZONTALE SU VERTICALE**

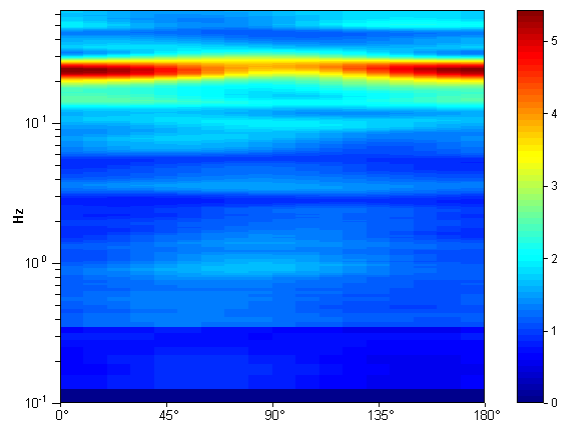
Max. H/V at 24.31 ± 0.12 Hz. (In the range 0.0 - 64.0 Hz).



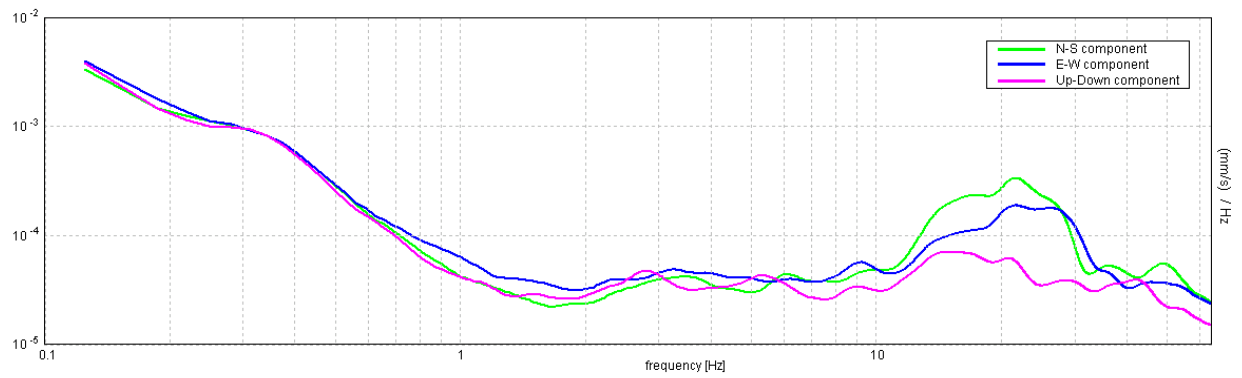
**SERIE TEMPORALE H/V**



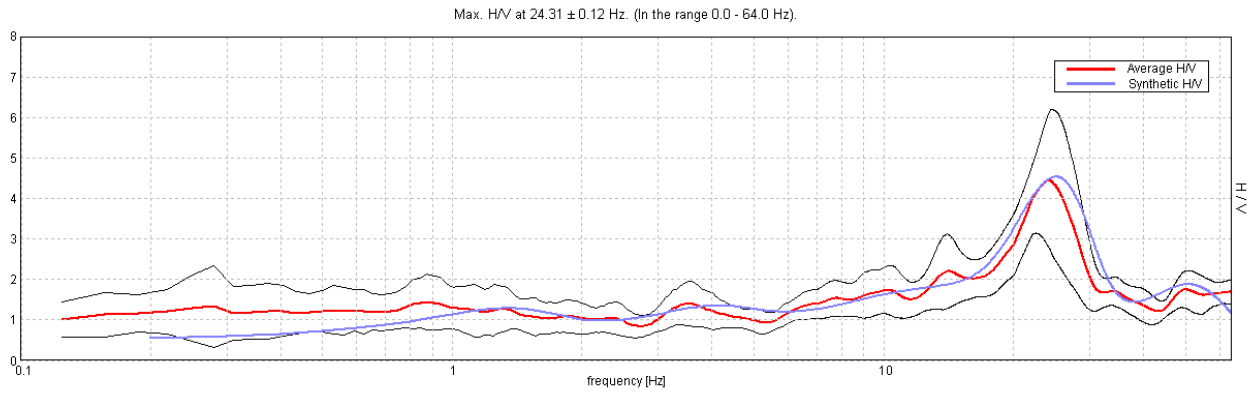
**DIREZIONALITA' H/V**



### SPETTRI DELLE SINGOLE COMPONENTI

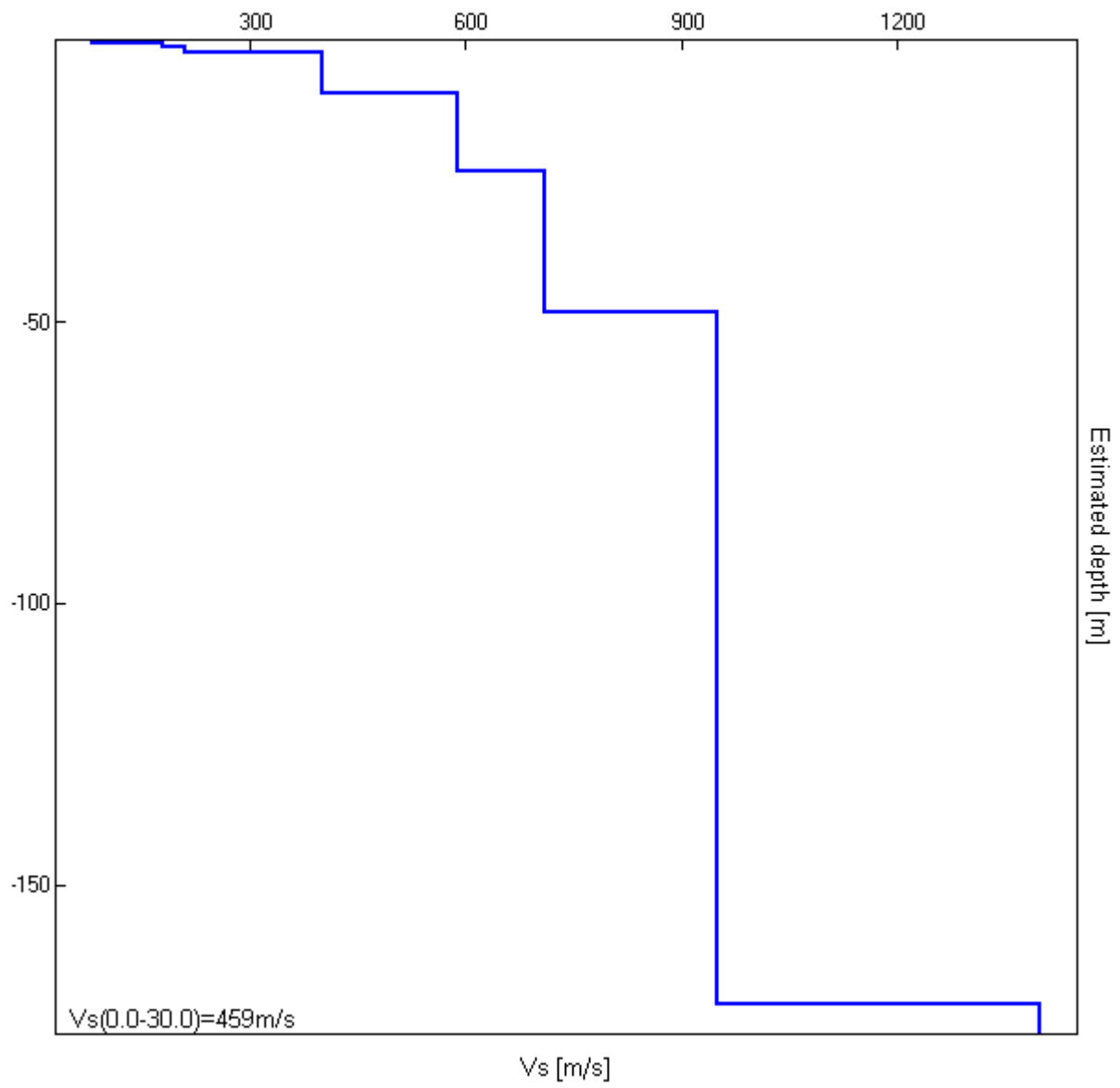


### H/V SPERIMENTALE vs. H/V SINTETICO



Profondità alla base dello strato [m]	Spessore [m]	Vs [m/s]	Rapporto di Poisson
0.40	0.40	80	0.35
1.30	0.90	180	0.35
2.30	1.00	210	0.35
9.30	7.00	400	0.35
23.30	14.00	590	0.35
48.30	25.00	710	0.35
171.30	123.00	950	0.35
inf.	inf.	1400	0.35

Vs(0.0-30.0)=459m/s



[Secondo le linee guida SESAME, 2005]

**Picco H/V a 24.31 ± 0.12 Hz (nell'intervallo 0.0 - 64.0 Hz).**

**Criteri per una curva H/V affidabile**  
[Tutti 3 dovrebbero risultare soddisfatti]

$f_0 > 10 / L_w$	24.31 > 0.50	OK	
$n_c(f_0) > 200$	17991.3 > 200	OK	
$\sigma_A(f) < 2$ per $0.5f_0 < f < 2f_0$ se $f_0 > 0.5\text{Hz}$ $\sigma_A(f) < 3$ per $0.5f_0 < f < 2f_0$ se $f_0 < 0.5\text{Hz}$	Superato 0 volte su 1168	OK	

**Criteri per un picco H/V chiaro**  
[Almeno 5 su 6 dovrebbero essere soddisfatti]

Esiste $f^-$ in $[f_0/4, f_0]$   $A_{H/V}(f^-) < A_0 / 2$	17.906 Hz	OK	
Esiste $f^+$ in $[f_0, 4f_0]$   $A_{H/V}(f^+) < A_0 / 2$	29.688 Hz	OK	
$A_0 > 2$	4.45 > 2	OK	
$f_{\text{picco}}[A_{H/V}(f) \pm \sigma_A(f)] = f_0 \pm 5\%$	$ 0.00242  < 0.05$	OK	
$\sigma_f < \varepsilon(f_0)$	0.05883 < 1.21563	OK	
$\sigma_A(f_0) < \theta(f_0)$	0.8381 < 1.58	OK	

$L_w$	lunghezza della finestra
$n_w$	numero di finestre usate nell'analisi
$n_c = L_w n_w f_0$	numero di cicli significativi
$f$	frequenza attuale
$f_0$	frequenza del picco H/V
$\sigma_f$	deviazione standard della frequenza del picco H/V
$\varepsilon(f_0)$	valore di soglia per la condizione di stabilità $\sigma_f < \varepsilon(f_0)$
$A_0$	ampiezza della curva H/V alla frequenza $f_0$
$A_{H/V}(f)$	ampiezza della curva H/V alla frequenza $f$
$f^-$	frequenza tra $f_0/4$ e $f_0$ alla quale $A_{H/V}(f^-) < A_0/2$
$f^+$	frequenza tra $f_0$ e $4f_0$ alla quale $A_{H/V}(f^+) < A_0/2$
$\sigma_A(f)$	deviazione standard di $A_{H/V}(f)$ , $\sigma_A(f)$ è il fattore per il quale la curva $A_{H/V}(f)$ media deve essere moltiplicata o divisa
$\sigma_{\log H/V}(f)$	deviazione standard della funzione $\log A_{H/V}(f)$
$\theta(f_0)$	valore di soglia per la condizione di stabilità $\sigma_A(f) < \theta(f_0)$

Valori di soglia per $\sigma_f$ e $\sigma_A(f_0)$					
Intervallo di freq. [Hz]	< 0.2	0.2 – 0.5	0.5 – 1.0	1.0 – 2.0	> 2.0
$\varepsilon(f_0)$ [Hz]	0.25 $f_0$	0.2 $f_0$	0.15 $f_0$	0.10 $f_0$	0.05 $f_0$
$\theta(f_0)$ per $\sigma_A(f_0)$	3.0	2.5	2.0	1.78	1.58
$\log \theta(f_0)$ per $\sigma_{\log H/V}(f_0)$	0.48	0.40	0.30	0.25	0.20



## FELI\_1158, FELINO T28

Strumento: TRZ-0091/01-10

Inizio registrazione: 30/01/12 15:33:00 Fine registrazione: 30/01/12 15:47:01

Nomi canali: NORTH SOUTH; EAST WEST ; UP DOWN

Dato GPS non disponibile

Durata registrazione: 0h14'00".

Analizzato 76% tracciato (selezione manuale)

Freq. campionamento: 128 Hz

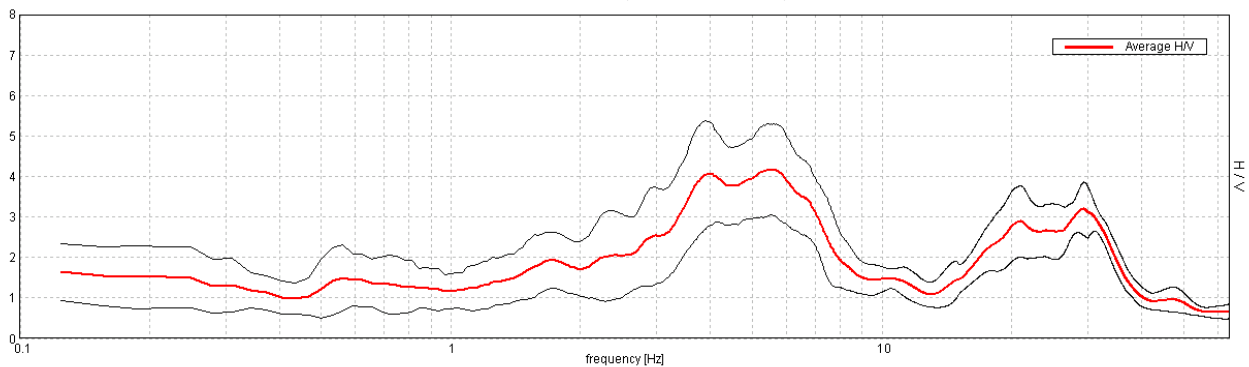
Lunghezza finestre: 20 s

Tipo di lisciamento: Triangular window

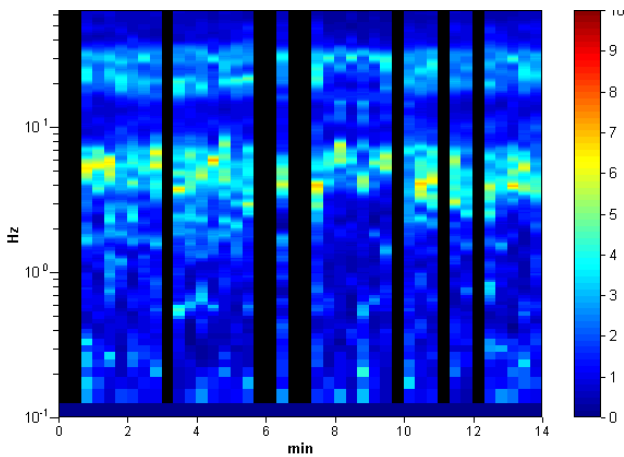
Lisciamento: 10%

### RAPPORTO SPETTRALE ORIZZONTALE SU VERTICALE

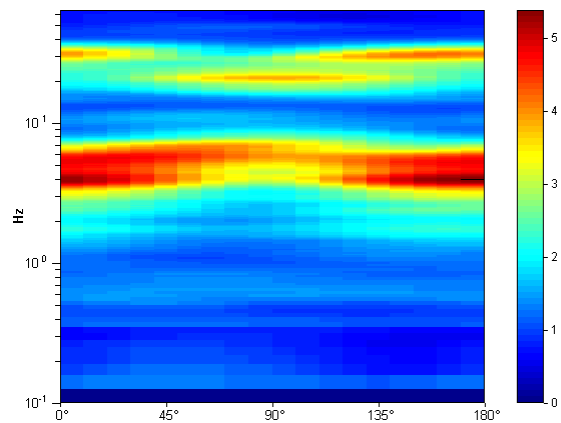
Picco H/V a  $5.59 \pm 0.07$  Hz (nell'intervallo 0.0 - 64.0 Hz).



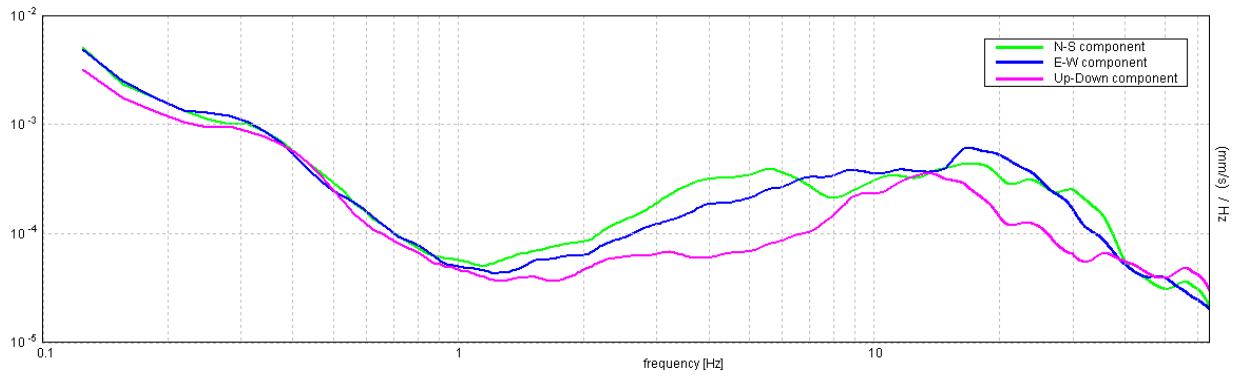
### SERIE TEMPORALE H/V



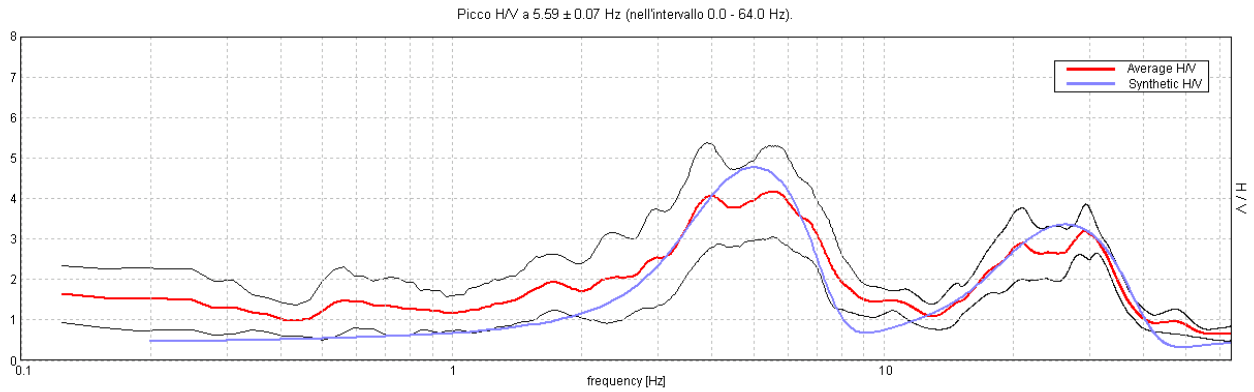
### DIREZIONALITA' H/V



SPETTRI DELLE SINGOLE COMPONENTI

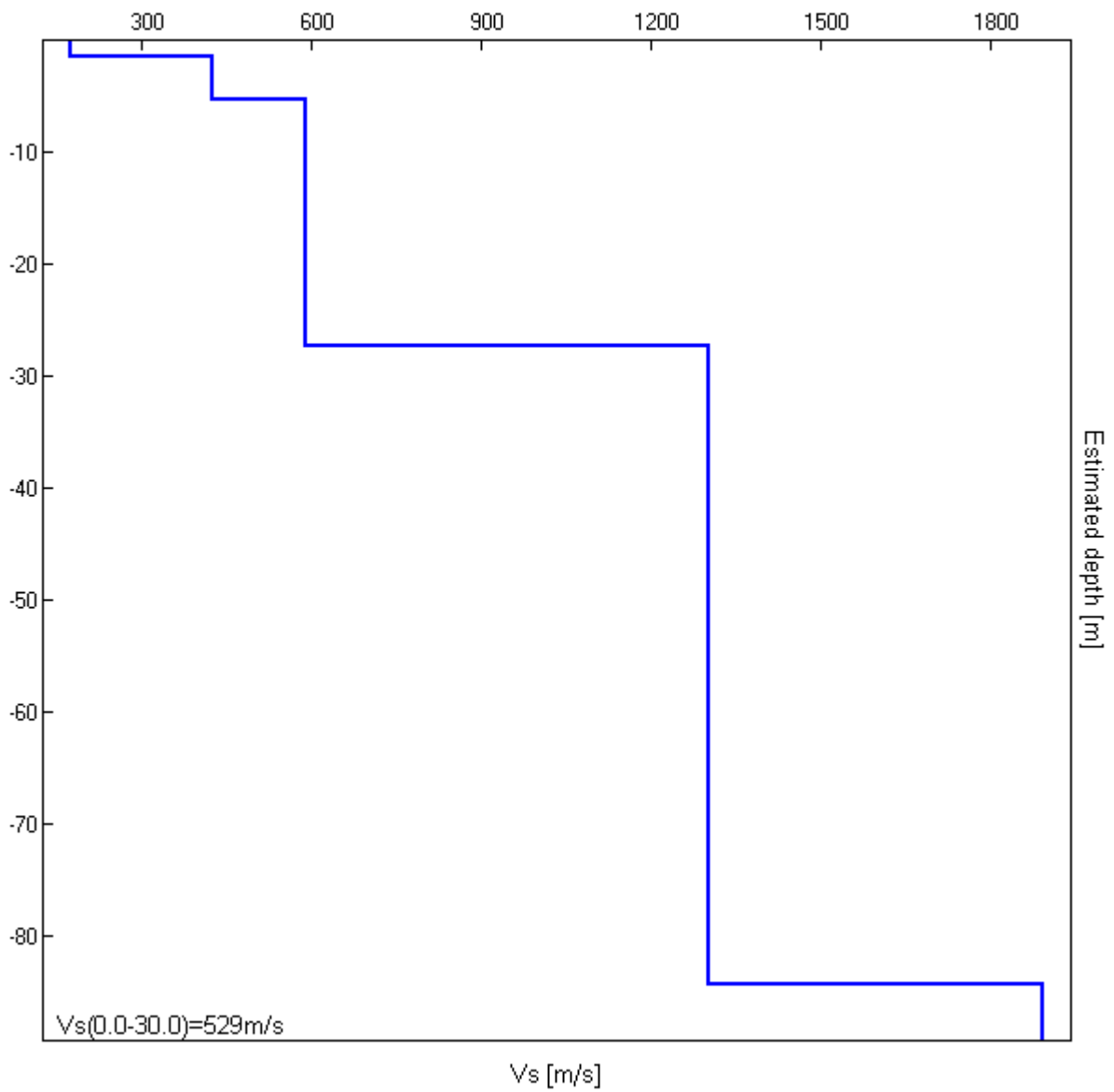


H/V SPERIMENTALE vs. H/V SINTETICO



Profondità alla base dello strato [m]	Spessore [m]	Vs [m/s]	Rapporto di Poisson
1.50	1.50	175	0.35
5.20	3.70	425	0.35
27.20	22.00	590	0.35
84.20	57.00	1300	0.35
inf.	inf.	1890	0.35

Vs(0.0-30.0)=529m/s



[Secondo le linee guida SESAME, 2005]

**Picco H/V a 5.59 ± 0.07 Hz (nell'intervallo 0.0 - 64.0 Hz).**

**Criteri per una curva H/V affidabile**  
[Tutti 3 dovrebbero risultare soddisfatti]

$f_0 > 10 / L_w$	5.59 > 0.50	OK	
$n_c(f_0) > 200$	3580.0 > 200	OK	
$\sigma_A(f) < 2$ per $0.5f_0 < f < 2f_0$ se $f_0 > 0.5\text{Hz}$ $\sigma_A(f) < 3$ per $0.5f_0 < f < 2f_0$ se $f_0 < 0.5\text{Hz}$	Superato 0 volte su 270	OK	

**Criteri per un picco H/V chiaro**  
[Almeno 5 su 6 dovrebbero essere soddisfatti]

Esiste $f^-$ in $[f_0/4, f_0]$   $A_{H/V}(f^-) < A_0 / 2$	2.625 Hz	OK	
Esiste $f^+$ in $[f_0, 4f_0]$   $A_{H/V}(f^+) < A_0 / 2$	7.813 Hz	OK	
$A_0 > 2$	4.17 > 2	OK	
$f_{\text{picco}}[A_{H/V}(f) \pm \sigma_A(f)] = f_0 \pm 5\%$	$ 0.00595  < 0.05$	OK	
$\sigma_f < \varepsilon(f_0)$	0.03327 < 0.27969	OK	
$\sigma_A(f_0) < \theta(f_0)$	0.548 < 1.58	OK	

$L_w$	lunghezza della finestra
$n_w$	numero di finestre usate nell'analisi
$n_c = L_w n_w f_0$	numero di cicli significativi
$f$	frequenza attuale
$f_0$	frequenza del picco H/V
$\sigma_f$	deviazione standard della frequenza del picco H/V
$\varepsilon(f_0)$	valore di soglia per la condizione di stabilità $\sigma_f < \varepsilon(f_0)$
$A_0$	ampiezza della curva H/V alla frequenza $f_0$
$A_{H/V}(f)$	ampiezza della curva H/V alla frequenza $f$
$f^-$	frequenza tra $f_0/4$ e $f_0$ alla quale $A_{H/V}(f^-) < A_0/2$
$f^+$	frequenza tra $f_0$ e $4f_0$ alla quale $A_{H/V}(f^+) < A_0/2$
$\sigma_A(f)$	deviazione standard di $A_{H/V}(f)$ , $\sigma_A(f)$ è il fattore per il quale la curva $A_{H/V}(f)$ media deve essere moltiplicata o divisa
$\sigma_{\log H/V}(f)$	deviazione standard della funzione $\log A_{H/V}(f)$
$\theta(f_0)$	valore di soglia per la condizione di stabilità $\sigma_A(f) < \theta(f_0)$

Valori di soglia per $\sigma_f$ e $\sigma_A(f_0)$					
Intervallo di freq. [Hz]	< 0.2	0.2 – 0.5	0.5 – 1.0	1.0 – 2.0	> 2.0
$\varepsilon(f_0)$ [Hz]	0.25 $f_0$	0.2 $f_0$	0.15 $f_0$	0.10 $f_0$	0.05 $f_0$
$\theta(f_0)$ per $\sigma_A(f_0)$	3.0	2.5	2.0	1.78	1.58
$\log \theta(f_0)$ per $\sigma_{\log H/V}(f_0)$	0.48	0.40	0.30	0.25	0.20

**FELI\_1158, FELINO T29**

Strumento: TRZ-0091/01-10

Inizio registrazione: 30/01/12 15:58:07 Fine registrazione: 30/01/12 16:12:08

Nomi canali: NORTH SOUTH; EAST WEST ; UP DOWN

Dato GPS non disponibile

Durata registrazione: 0h14'00".

Analizzato 86% tracciato (selezione manuale)

Freq. campionamento: 128 Hz

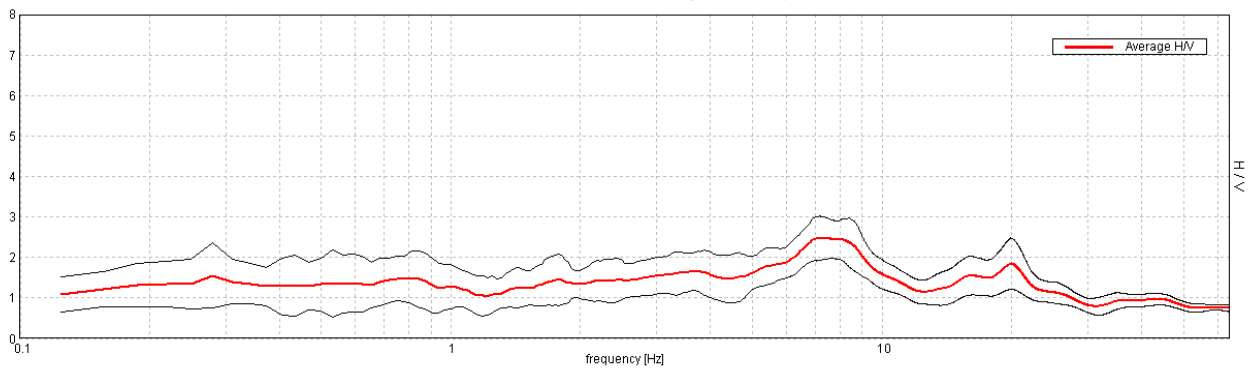
Lunghezza finestre: 20 s

Tipo di lisciamento: Triangular window

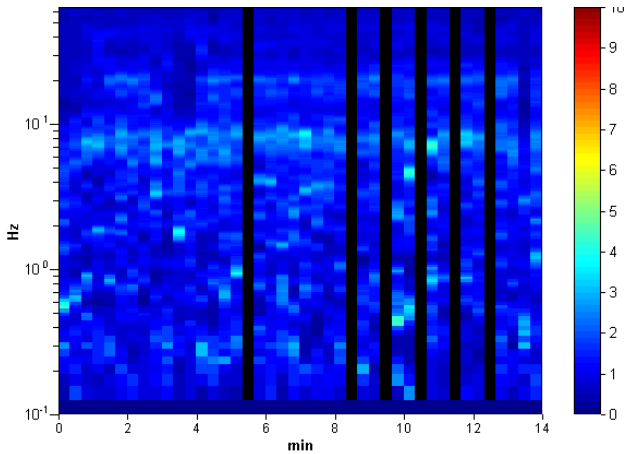
Lisciamento: 10%

**RAPPORTO SPETTRALE ORIZZONTALE SU VERTICALE**

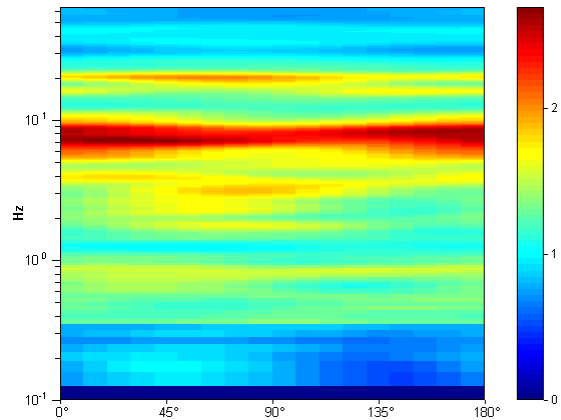
Max. H/V at 7.19 ± 0.56 Hz. (In the range 0.0 - 64.0 Hz).



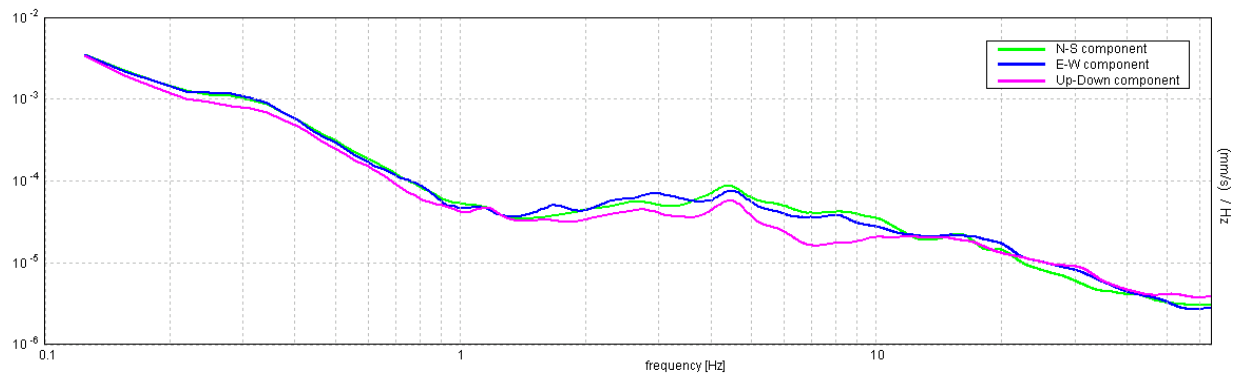
**SERIE TEMPORALE H/V**



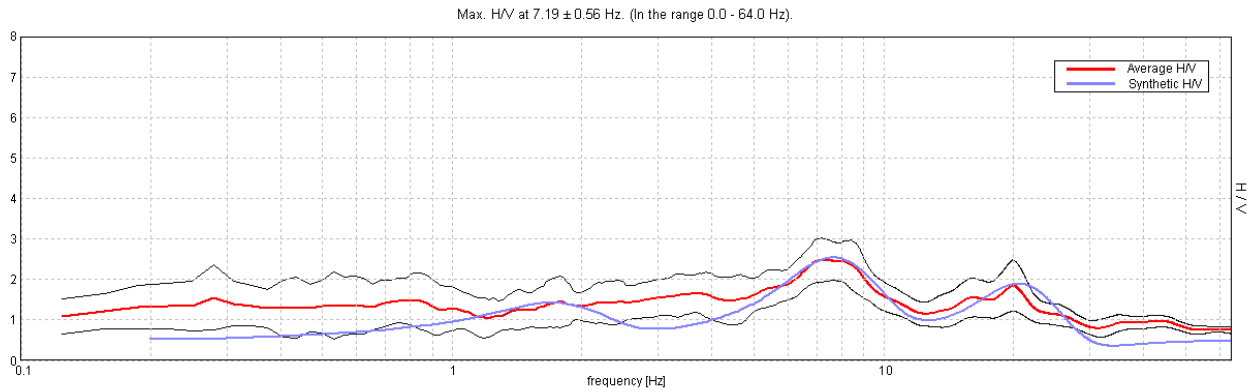
**DIREZIONALITA' H/V**



SPETTRI DELLE SINGOLE COMPONENTI



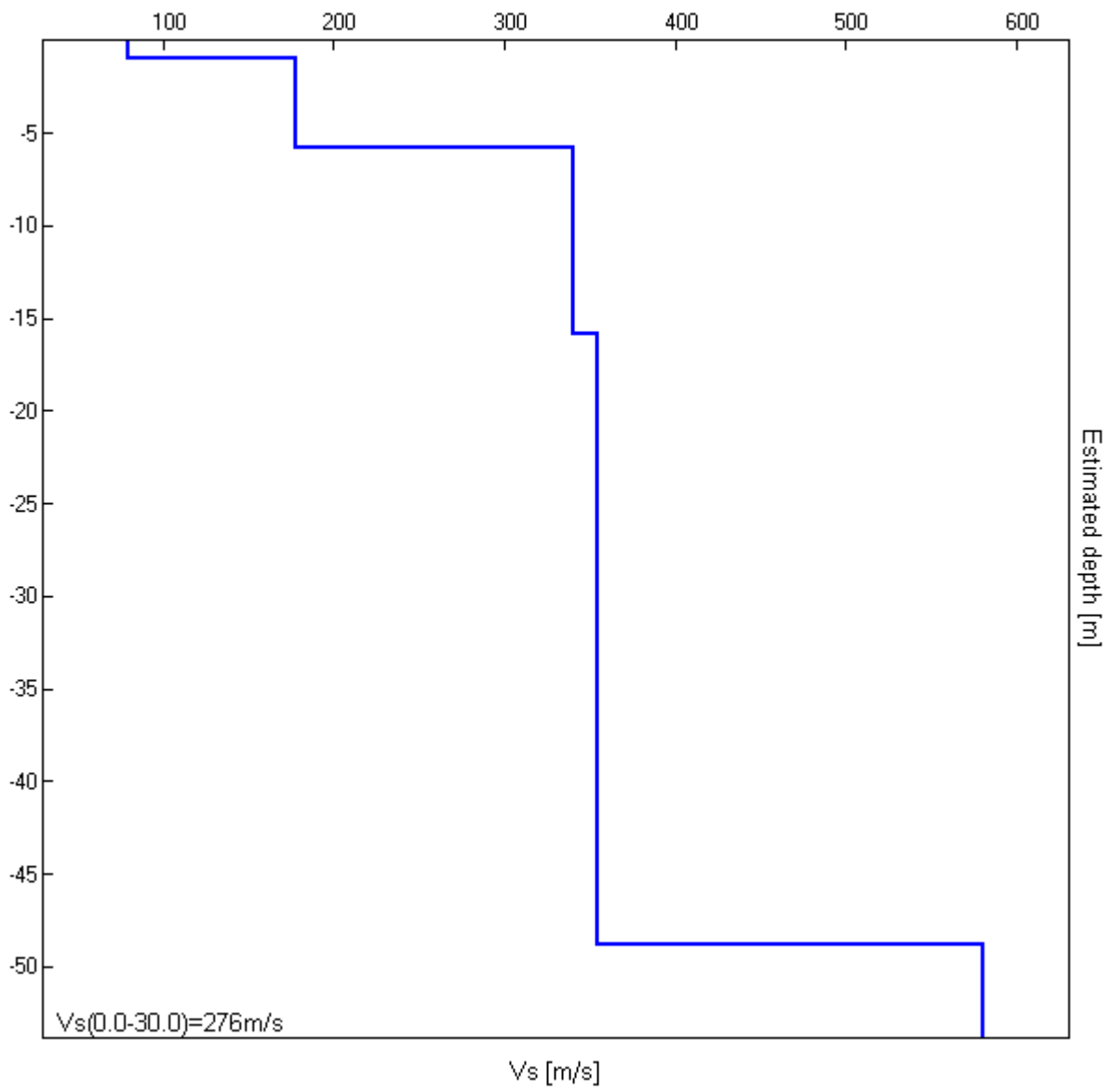
### H/V SPERIMENTALE vs. H/V SINTETICO



Profondità alla base dello strato [m]	Spessore [m]	Vs [m/s]	Rapporto di Poisson
1.00	1.00	80	0.35
5.80	4.80	178	0.35
15.80	10.00	340	0.35
48.80	33.00	355	0.35
inf.	inf.	580	0.35

Vs(0.0-30.0)=276m/s





[Secondo le linee guida SESAME, 2005]

**Picco H/V a  $7.19 \pm 0.56$  Hz (nell'intervallo 0.0 - 64.0 Hz).**

**Criteri per una curva H/V affidabile**  
[Tutti 3 dovrebbero risultare soddisfatti]

$f_0 > 10 / L_w$	$7.19 > 0.50$	<b>OK</b>	
$n_c(f_0) > 200$	$5175.0 > 200$	<b>OK</b>	
$\sigma_A(f) < 2$ per $0.5f_0 < f < 2f_0$ se $f_0 > 0.5\text{Hz}$ $\sigma_A(f) < 3$ per $0.5f_0 < f < 2f_0$ se $f_0 < 0.5\text{Hz}$	Superato 0 volte su 346	<b>OK</b>	

**Criteri per un picco H/V chiaro**  
[Almeno 5 su 6 dovrebbero essere soddisfatti]

<b>Esiste <math>f^-</math> in <math>[f_0/4, f_0]</math>   <math>A_{H/V}(f^-) &lt; A_0 / 2</math></b>			<b>NO</b>
<b>Esiste <math>f^+</math> in <math>[f_0, 4f_0]</math>   <math>A_{H/V}(f^+) &lt; A_0 / 2</math></b>	11.656 Hz	<b>OK</b>	
$A_0 > 2$	$2.47 > 2$	<b>OK</b>	
$f_{\text{picco}}[A_{H/V}(f) \pm \sigma_A(f)] = f_0 \pm 5\%$	$ 0.03801  < 0.05$	<b>OK</b>	
$\sigma_f < \varepsilon(f_0)$	$0.27318 < 0.35938$	<b>OK</b>	
$\sigma_A(f_0) < \theta(f_0)$	$0.2654 < 1.58$	<b>OK</b>	

$L_w$	lunghezza della finestra
$n_w$	numero di finestre usate nell'analisi
$n_c = L_w n_w f_0$	numero di cicli significativi
$f$	frequenza attuale
$f_0$	frequenza del picco H/V
$\sigma_f$	deviazione standard della frequenza del picco H/V
$\varepsilon(f_0)$	valore di soglia per la condizione di stabilità $\sigma_f < \varepsilon(f_0)$
$A_0$	ampiezza della curva H/V alla frequenza $f_0$
$A_{H/V}(f)$	ampiezza della curva H/V alla frequenza $f$
$f^-$	frequenza tra $f_0/4$ e $f_0$ alla quale $A_{H/V}(f^-) < A_0/2$
$f^+$	frequenza tra $f_0$ e $4f_0$ alla quale $A_{H/V}(f^+) < A_0/2$
$\sigma_A(f)$	deviazione standard di $A_{H/V}(f)$ , $\sigma_A(f)$ è il fattore per il quale la curva $A_{H/V}(f)$ media deve essere moltiplicata o divisa
$\sigma_{\log H/V}(f)$	deviazione standard della funzione $\log A_{H/V}(f)$
$\theta(f_0)$	valore di soglia per la condizione di stabilità $\sigma_A(f) < \theta(f_0)$

Valori di soglia per $\sigma_f$ e $\sigma_A(f_0)$					
Intervallo di freq. [Hz]	< 0.2	0.2 – 0.5	0.5 – 1.0	1.0 – 2.0	> 2.0
$\varepsilon(f_0)$ [Hz]	$0.25 f_0$	$0.2 f_0$	$0.15 f_0$	$0.10 f_0$	$0.05 f_0$
$\theta(f_0)$ per $\sigma_A(f_0)$	3.0	2.5	2.0	1.78	1.58
$\log \theta(f_0)$ per $\sigma_{\log H/V}(f_0)$	0.48	0.40	0.30	0.25	0.20

**FELI\_1158, FELINO T30**

Strumento: TRZ-0091/01-10

Inizio registrazione: 30/01/12 16:21:24 Fine registrazione: 30/01/12 16:35:25

Nomi canali: NORTH SOUTH; EAST WEST ; UP DOWN

Dato GPS non disponibile

Durata registrazione: 0h14'00".

Analizzato 81% tracciato (selezione manuale)

Freq. campionamento: 128 Hz

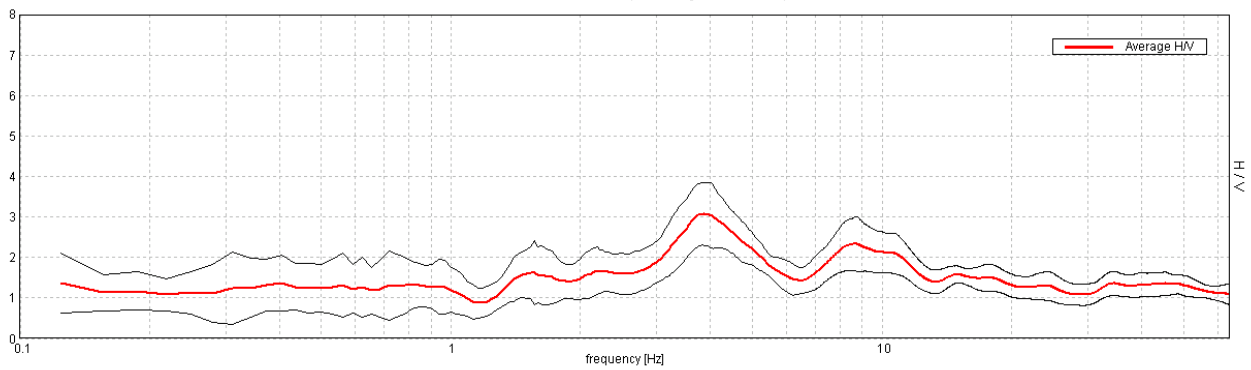
Lunghezza finestre: 20 s

Tipo di lisciamento: Triangular window

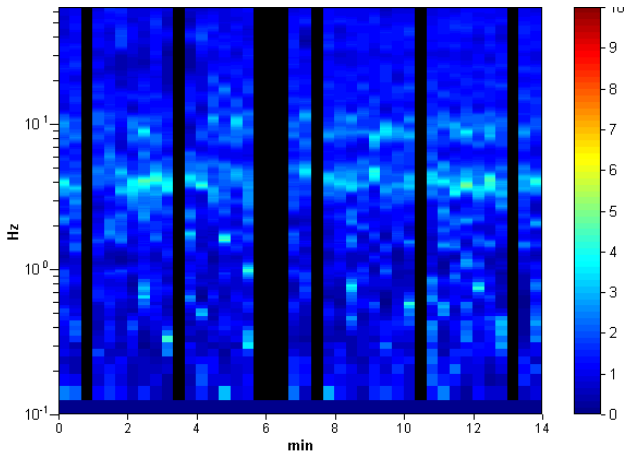
Lisciamento: 10%

**RAPPORTO SPETTRALE ORIZZONTALE SU VERTICALE**

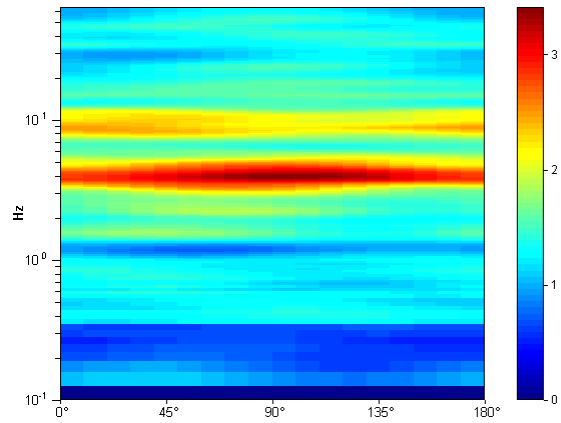
Max. H/V at 3.88 ± 0.02 Hz. (In the range 0.0 - 64.0 Hz).



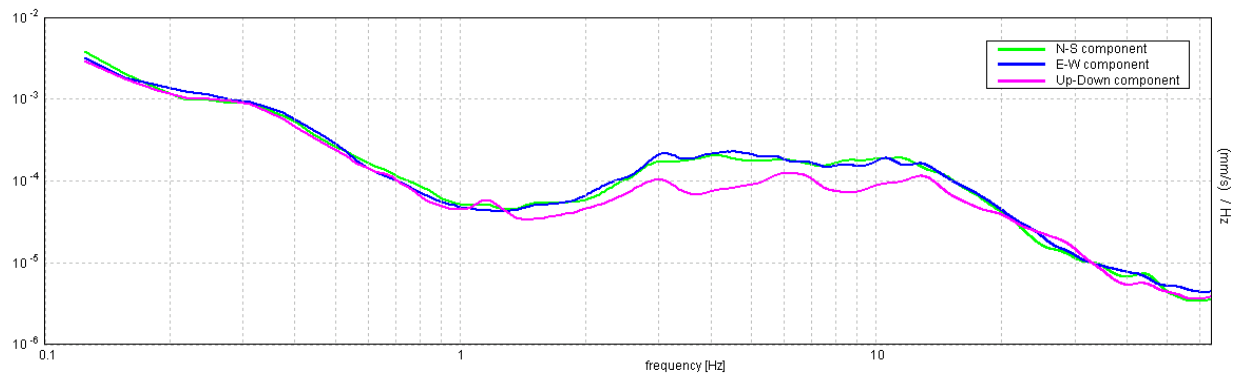
**SERIE TEMPORALE H/V**



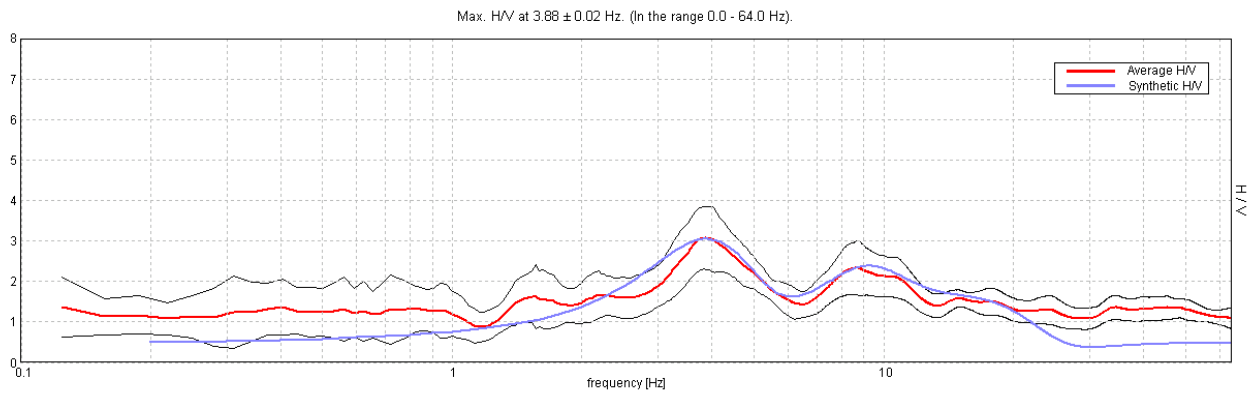
**DIREZIONALITA' H/V**



### SPETTRI DELLE SINGOLE COMPONENTI

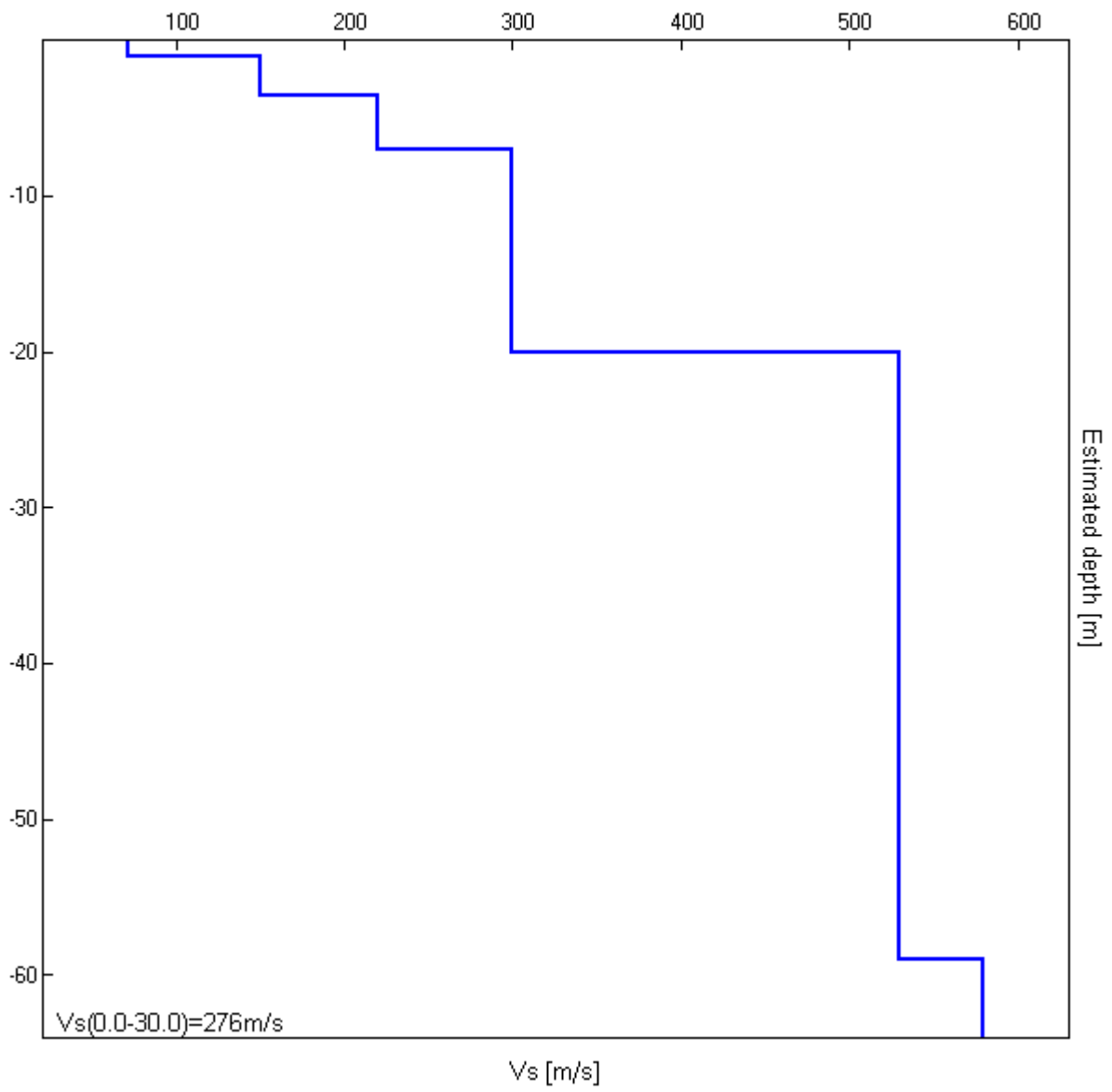


### H/V SPERIMENTALE vs. H/V SINTETICO



Profondità alla base dello strato [m]	Spessore [m]	Vs [m/s]	Rapporto di Poisson
1.00	1.00	71	0.35
3.50	2.50	150	0.35
7.00	3.50	220	0.35
20.00	13.00	300	0.35
59.00	39.00	530	0.35
inf.	inf.	580	0.35

Vs(0.0-30.0)=276m/s



[Secondo le linee guida SESAME, 2005]

**Picco H/V a  $3.88 \pm 0.02$  Hz (nell'intervallo 0.0 - 64.0 Hz).**

**Criteri per una curva H/V affidabile**  
[Tutti 3 dovrebbero risultare soddisfatti]

$f_0 > 10 / L_w$	$3.88 > 0.50$	<b>OK</b>	
$n_c(f_0) > 200$	$2635.0 > 200$	<b>OK</b>	
$\sigma_A(f) < 2$ per $0.5f_0 < f < 2f_0$ se $f_0 > 0.5\text{Hz}$ $\sigma_A(f) < 3$ per $0.5f_0 < f < 2f_0$ se $f_0 < 0.5\text{Hz}$	Superato 0 volte su 187	<b>OK</b>	

**Criteri per un picco H/V chiaro**  
[Almeno 5 su 6 dovrebbero essere soddisfatti]

<b>Esiste <math>f^-</math> in <math>[f_0/4, f_0]</math>   <math>A_{H/V}(f^-) &lt; A_0 / 2</math></b>	2.031 Hz	<b>OK</b>	
<b>Esiste <math>f^+</math> in <math>[f_0, 4f_0]</math>   <math>A_{H/V}(f^+) &lt; A_0 / 2</math></b>	6.031 Hz	<b>OK</b>	
$A_0 > 2$	$3.07 > 2$	<b>OK</b>	
$f_{\text{picco}}[A_{H/V}(f) \pm \sigma_A(f)] = f_0 \pm 5\%$	$ 0.00304  < 0.05$	<b>OK</b>	
$\sigma_f < \varepsilon(f_0)$	$0.01177 < 0.19375$	<b>OK</b>	
$\sigma_A(f_0) < \theta(f_0)$	$0.3758 < 1.58$	<b>OK</b>	

$L_w$	lunghezza della finestra
$n_w$	numero di finestre usate nell'analisi
$n_c = L_w n_w f_0$	numero di cicli significativi
$f$	frequenza attuale
$f_0$	frequenza del picco H/V
$\sigma_f$	deviazione standard della frequenza del picco H/V
$\varepsilon(f_0)$	valore di soglia per la condizione di stabilità $\sigma_f < \varepsilon(f_0)$
$A_0$	ampiezza della curva H/V alla frequenza $f_0$
$A_{H/V}(f)$	ampiezza della curva H/V alla frequenza $f$
$f^-$	frequenza tra $f_0/4$ e $f_0$ alla quale $A_{H/V}(f^-) < A_0/2$
$f^+$	frequenza tra $f_0$ e $4f_0$ alla quale $A_{H/V}(f^+) < A_0/2$
$\sigma_A(f)$	deviazione standard di $A_{H/V}(f)$ , $\sigma_A(f)$ è il fattore per il quale la curva $A_{H/V}(f)$ media deve essere moltiplicata o divisa
$\sigma_{\log H/V}(f)$	deviazione standard della funzione $\log A_{H/V}(f)$
$\theta(f_0)$	valore di soglia per la condizione di stabilità $\sigma_A(f) < \theta(f_0)$

Valori di soglia per $\sigma_f$ e $\sigma_A(f_0)$					
Intervallo di freq. [Hz]	< 0.2	0.2 – 0.5	0.5 – 1.0	1.0 – 2.0	> 2.0
$\varepsilon(f_0)$ [Hz]	$0.25 f_0$	$0.2 f_0$	$0.15 f_0$	$0.10 f_0$	$0.05 f_0$
$\theta(f_0)$ per $\sigma_A(f_0)$	3.0	2.5	2.0	1.78	1.58
$\log \theta(f_0)$ per $\sigma_{\log H/V}(f_0)$	0.48	0.40	0.30	0.25	0.20

**FELI\_1158, FELINO T31**

Strumento: TRZ-0091/01-10

Inizio registrazione: 30/01/12 16:46:43 Fine registrazione: 30/01/12 17:00:44

Nomi canali: NORTH SOUTH; EAST WEST ; UP DOWN

Dato GPS non disponibile

Durata registrazione: 0h14'00".

Analizzato 81% tracciato (selezione manuale)

Freq. campionamento: 128 Hz

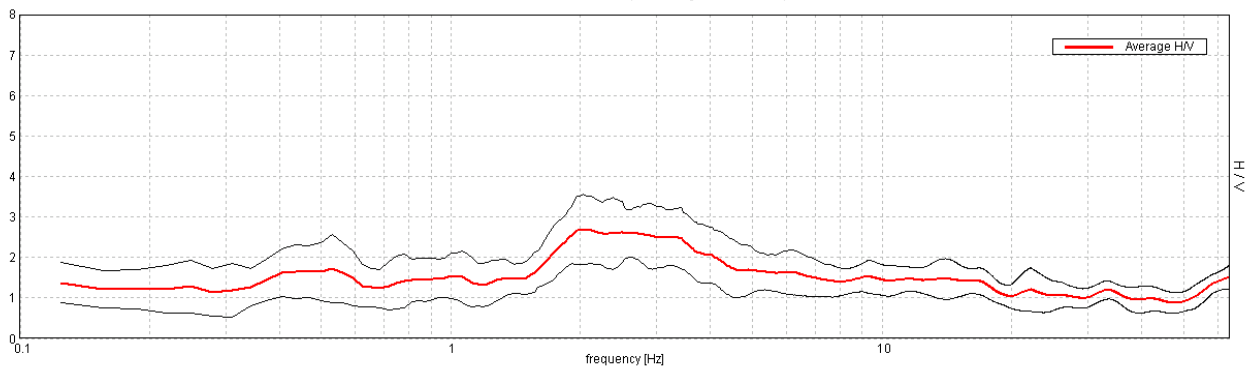
Lunghezza finestre: 20 s

Tipo di lisciamento: Triangular window

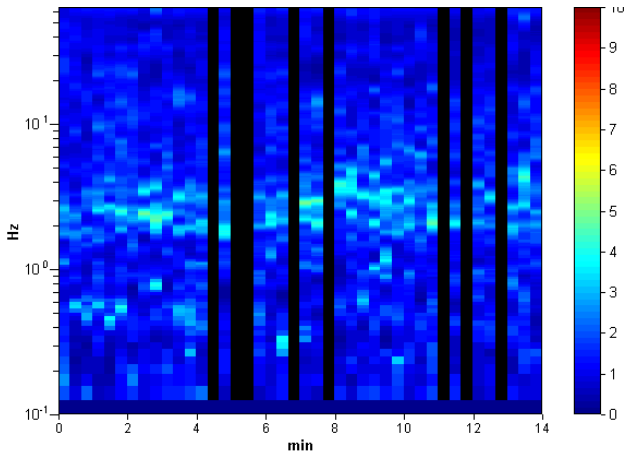
Lisciamento: 10%

**RAPPORTO SPETTRALE ORIZZONTALE SU VERTICALE**

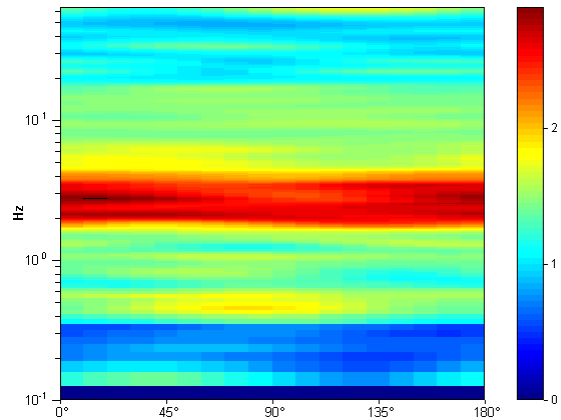
Max. H/V at 2.03 ± 0.13 Hz. (In the range 0.0 - 64.0 Hz).



**SERIE TEMPORALE H/V**

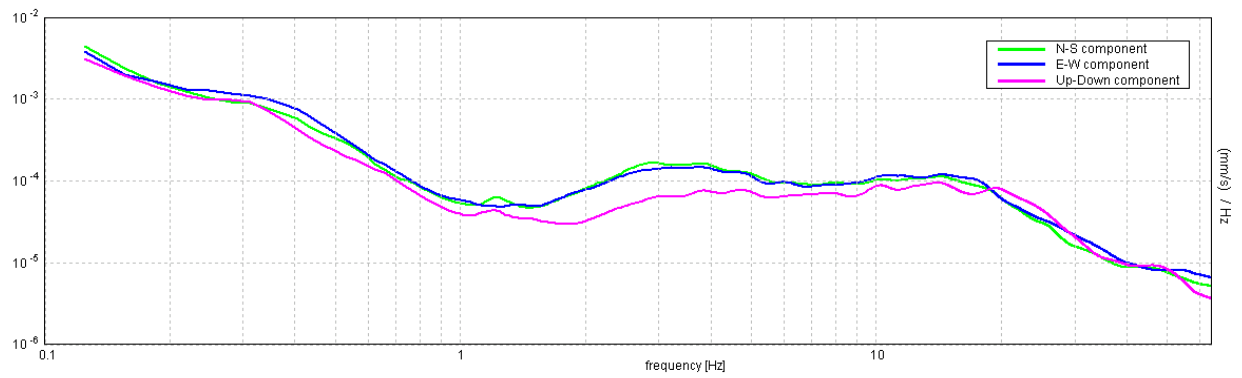


**DIREZIONALITA' H/V**

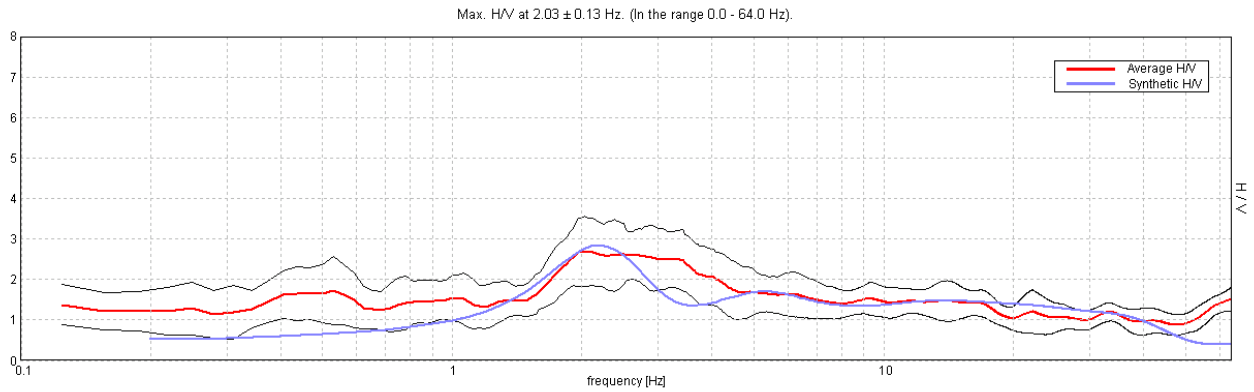




SPETTRI DELLE SINGOLE COMPONENTI

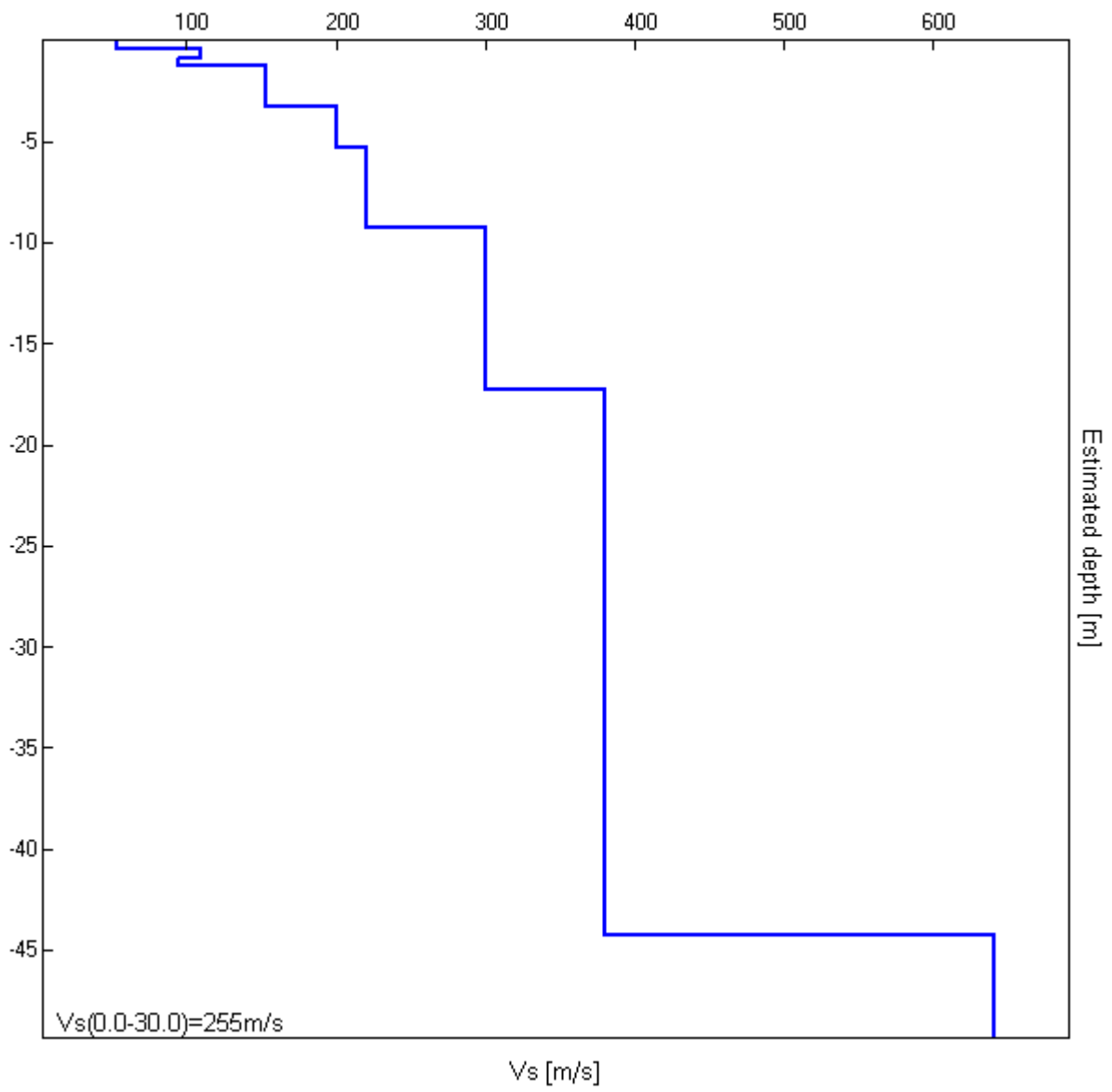


### H/V SPERIMENTALE vs. H/V SINTETICO



Profondità alla base dello strato [m]	Spessore [m]	Vs [m/s]	Rapporto di Poisson
0.40	0.40	54	0.35
0.90	0.50	110	0.35
1.30	0.40	95	0.35
3.30	2.00	153	0.35
5.30	2.00	200	0.35
9.30	4.00	220	0.35
17.30	8.00	300	0.35
44.30	27.00	380	0.35
inf.	inf.	640	0.35

Vs(0.0-30.0)=255m/s



[Secondo le linee guida SESAME, 2005]

**Picco H/V a 2.03 ± 0.13 Hz (nell'intervallo 0.0 - 64.0 Hz).**

**Criteri per una curva H/V affidabile**  
[Tutti 3 dovrebbero risultare soddisfatti]

$f_0 > 10 / L_w$	2.03 > 0.50	OK	
$n_c(f_0) > 200$	1381.3 > 200	OK	
$\sigma_A(f) < 2$ per $0.5f_0 < f < 2f_0$ se $f_0 > 0.5\text{Hz}$ $\sigma_A(f) < 3$ per $0.5f_0 < f < 2f_0$ se $f_0 < 0.5\text{Hz}$	Superato 0 volte su 98	OK	

**Criteri per un picco H/V chiaro**  
[Almeno 5 su 6 dovrebbero essere soddisfatti]

Esiste $f^-$ in $[f_0/4, f_0] \mid A_{H/V}(f^-) < A_0 / 2$	1.219 Hz	OK	
Esiste $f^+$ in $[f_0, 4f_0] \mid A_{H/V}(f^+) < A_0 / 2$			NO
$A_0 > 2$	2.69 > 2	OK	
$f_{\text{picco}}[A_{H/V}(f) \pm \sigma_A(f)] = f_0 \pm 5\%$	$ 0.03155  < 0.05$	OK	
$\sigma_f < \varepsilon(f_0)$	0.06409 < 0.10156	OK	
$\sigma_A(f_0) < \theta(f_0)$	0.4191 < 1.58	OK	

$L_w$	lunghezza della finestra
$n_w$	numero di finestre usate nell'analisi
$n_c = L_w n_w f_0$	numero di cicli significativi
$f$	frequenza attuale
$f_0$	frequenza del picco H/V
$\sigma_f$	deviazione standard della frequenza del picco H/V
$\varepsilon(f_0)$	valore di soglia per la condizione di stabilità $\sigma_f < \varepsilon(f_0)$
$A_0$	ampiezza della curva H/V alla frequenza $f_0$
$A_{H/V}(f)$	ampiezza della curva H/V alla frequenza $f$
$f^-$	frequenza tra $f_0/4$ e $f_0$ alla quale $A_{H/V}(f^-) < A_0/2$
$f^+$	frequenza tra $f_0$ e $4f_0$ alla quale $A_{H/V}(f^+) < A_0/2$
$\sigma_A(f)$	deviazione standard di $A_{H/V}(f)$ , $\sigma_A(f)$ è il fattore per il quale la curva $A_{H/V}(f)$ media deve essere moltiplicata o divisa
$\sigma_{\log H/V}(f)$	deviazione standard della funzione $\log A_{H/V}(f)$
$\theta(f_0)$	valore di soglia per la condizione di stabilità $\sigma_A(f) < \theta(f_0)$

Valori di soglia per $\sigma_f$ e $\sigma_A(f_0)$					
Intervallo di freq. [Hz]	< 0.2	0.2 – 0.5	0.5 – 1.0	1.0 – 2.0	> 2.0
$\varepsilon(f_0)$ [Hz]	0.25 $f_0$	0.2 $f_0$	0.15 $f_0$	0.10 $f_0$	0.05 $f_0$
$\theta(f_0)$ per $\sigma_A(f_0)$	3.0	2.5	2.0	1.78	1.58
$\log \theta(f_0)$ per $\sigma_{\log H/V}(f_0)$	0.48	0.40	0.30	0.25	0.20

**FELI\_1158, FELINO T32**

Strumento: TRZ-0091/01-10

Inizio registrazione: 30/01/12 17:09:50 Fine registrazione: 30/01/12 17:23:51

Nomi canali: NORTH SOUTH; EAST WEST ; UP DOWN

Dato GPS non disponibile

Durata registrazione: 0h14'00".

Analizzato 93% tracciato (selezione manuale)

Freq. campionamento: 128 Hz

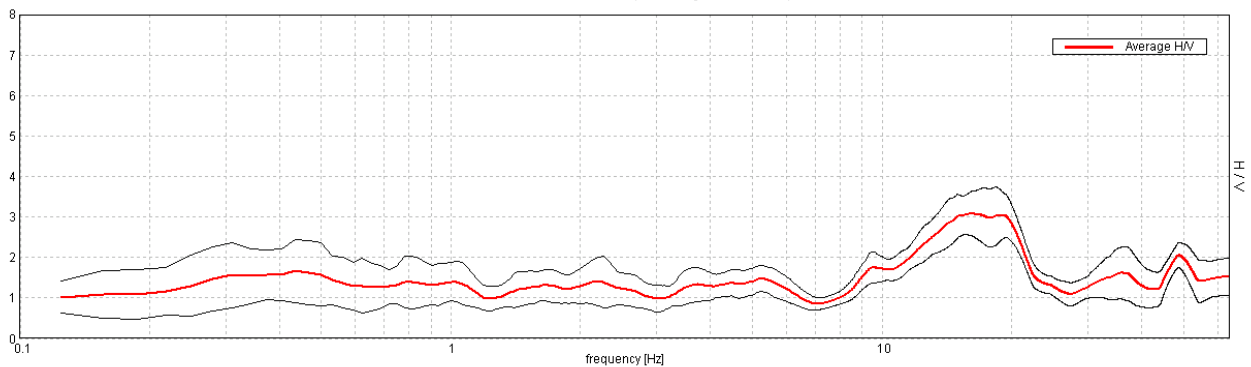
Lunghezza finestre: 20 s

Tipo di lisciamento: Triangular window

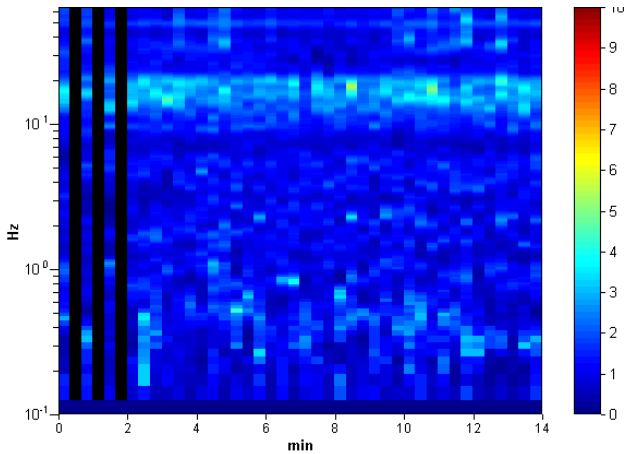
Lisciamento: 10%

**RAPPORTO SPETTRALE ORIZZONTALE SU VERTICALE**

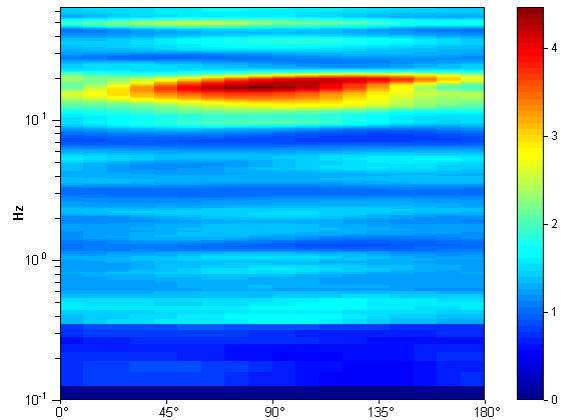
Max. H/V at 16.16 ± 0.26 Hz. (In the range 0.0 - 64.0 Hz).



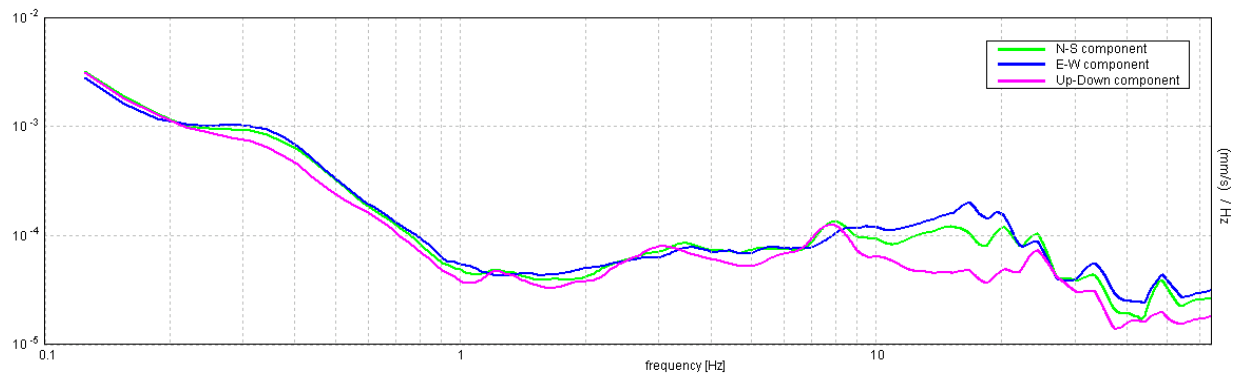
**SERIE TEMPORALE H/V**



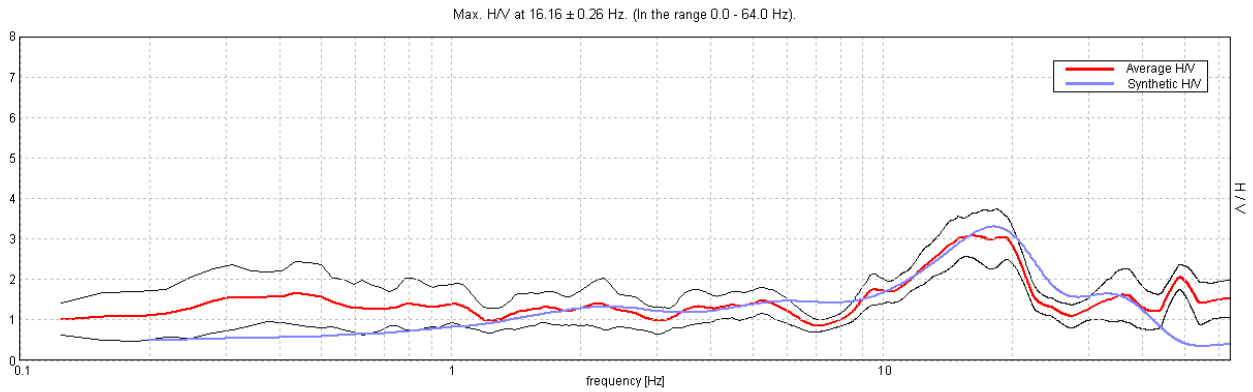
**DIREZIONALITA' H/V**



SPETTRI DELLE SINGOLE COMPONENTI

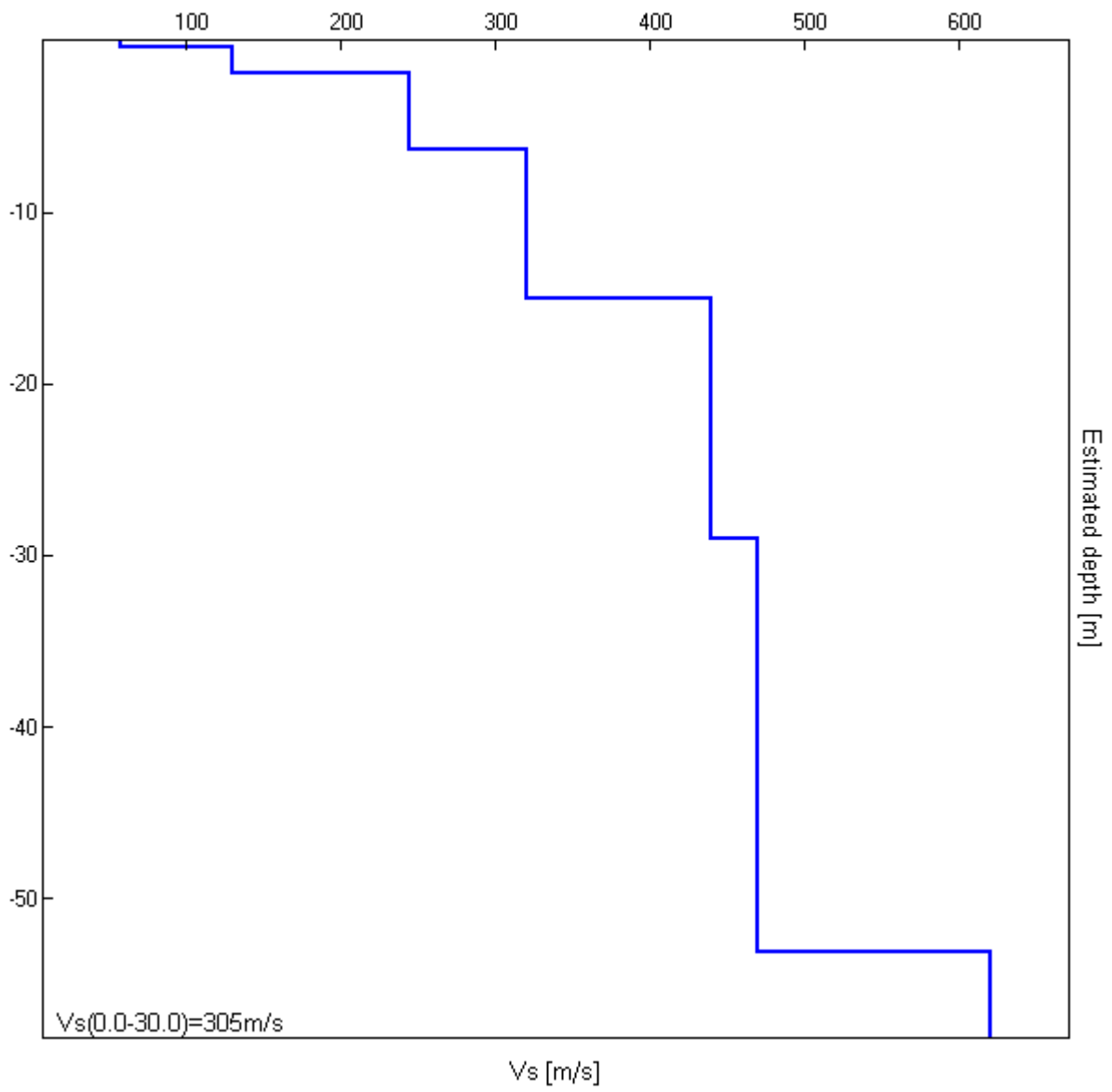


### H/V SPERIMENTALE vs. H/V SINTETICO



Profondità alla base dello strato [m]	Spessore [m]	Vs [m/s]	Rapporto di Poisson
0.45	0.45	58	0.35
1.95	1.50	130	0.35
6.35	4.40	245	0.35
15.05	8.70	320	0.35
29.05	14.00	440	0.35
53.05	24.00	470	0.35
inf.	inf.	620	0.35

Vs(0.0-30.0)=305m/s





[Secondo le linee guida SESAME, 2005]

**Picco H/V a 16.16 ± 0.26 Hz (nell'intervallo 0.0 - 64.0 Hz).**

**Criteri per una curva H/V affidabile**  
[Tutti 3 dovrebbero risultare soddisfatti]

$f_0 > 10 / L_w$	16.16 > 0.50	OK	
$n_c(f_0) > 200$	12601.9 > 200	OK	
$\sigma_A(f) < 2$ per $0.5f_0 < f < 2f_0$ se $f_0 > 0.5\text{Hz}$ $\sigma_A(f) < 3$ per $0.5f_0 < f < 2f_0$ se $f_0 < 0.5\text{Hz}$	Superato 0 volte su 776	OK	

**Criteri per un picco H/V chiaro**  
[Almeno 5 su 6 dovrebbero essere soddisfatti]

<b>Esiste <math>f^-</math> in <math>[f_0/4, f_0]</math>   <math>A_{H/V}(f^-) &lt; A_0 / 2</math></b>	9.031 Hz	OK	
<b>Esiste <math>f^+</math> in <math>[f_0, 4f_0]</math>   <math>A_{H/V}(f^+) &lt; A_0 / 2</math></b>	22.563 Hz	OK	
$A_0 > 2$	3.08 > 2	OK	
$f_{\text{picco}}[A_{H/V}(f) \pm \sigma_A(f)] = f_0 \pm 5\%$	$ 0.00784  < 0.05$	OK	
$\sigma_f < \varepsilon(f_0)$	0.12658 < 0.80781	OK	
$\sigma_A(f_0) < \theta(f_0)$	0.2689 < 1.58	OK	

$L_w$	lunghezza della finestra
$n_w$	numero di finestre usate nell'analisi
$n_c = L_w n_w f_0$	numero di cicli significativi
$f$	frequenza attuale
$f_0$	frequenza del picco H/V
$\sigma_f$	deviazione standard della frequenza del picco H/V
$\varepsilon(f_0)$	valore di soglia per la condizione di stabilità $\sigma_f < \varepsilon(f_0)$
$A_0$	ampiezza della curva H/V alla frequenza $f_0$
$A_{H/V}(f)$	ampiezza della curva H/V alla frequenza $f$
$f^-$	frequenza tra $f_0/4$ e $f_0$ alla quale $A_{H/V}(f^-) < A_0/2$
$f^+$	frequenza tra $f_0$ e $4f_0$ alla quale $A_{H/V}(f^+) < A_0/2$
$\sigma_A(f)$	deviazione standard di $A_{H/V}(f)$ , $\sigma_A(f)$ è il fattore per il quale la curva $A_{H/V}(f)$ media deve essere moltiplicata o divisa
$\sigma_{\log H/V}(f)$	deviazione standard della funzione $\log A_{H/V}(f)$
$\theta(f_0)$	valore di soglia per la condizione di stabilità $\sigma_A(f) < \theta(f_0)$

Valori di soglia per $\sigma_f$ e $\sigma_A(f_0)$					
Intervallo di freq. [Hz]	< 0.2	0.2 – 0.5	0.5 – 1.0	1.0 – 2.0	> 2.0
$\varepsilon(f_0)$ [Hz]	0.25 $f_0$	0.2 $f_0$	0.15 $f_0$	0.10 $f_0$	0.05 $f_0$
$\theta(f_0)$ per $\sigma_A(f_0)$	3.0	2.5	2.0	1.78	1.58
$\log \theta(f_0)$ per $\sigma_{\log H/V}(f_0)$	0.48	0.40	0.30	0.25	0.20

**FELI\_1158, FELINO T33**

Strumento: TRZ-0091/01-10

Inizio registrazione: 30/01/12 17:31:38 Fine registrazione: 30/01/12 17:45:39

Nomi canali: NORTH SOUTH; EAST WEST ; UP DOWN

Dato GPS non disponibile

Durata registrazione: 0h14'00".

Analizzato 83% tracciato (selezione manuale)

Freq. campionamento: 128 Hz

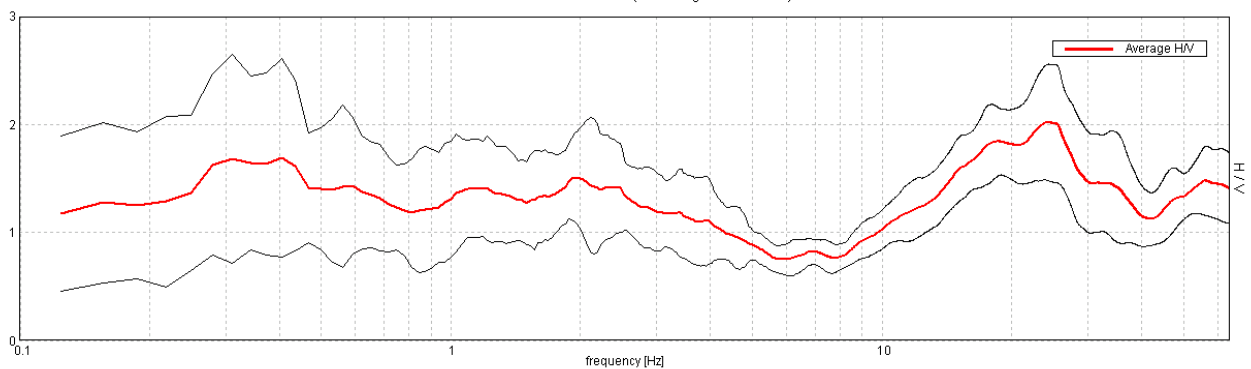
Lunghezza finestre: 20 s

Tipo di lisciamento: Triangular window

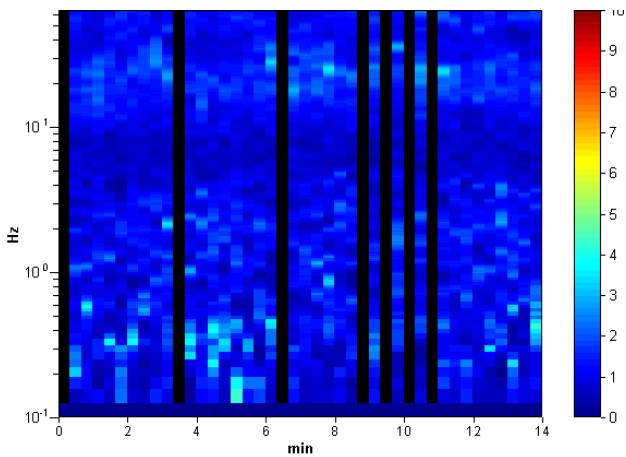
Lisciamento: 10%

**RAPPORTO SPETTRALE ORIZZONTALE SU VERTICALE**

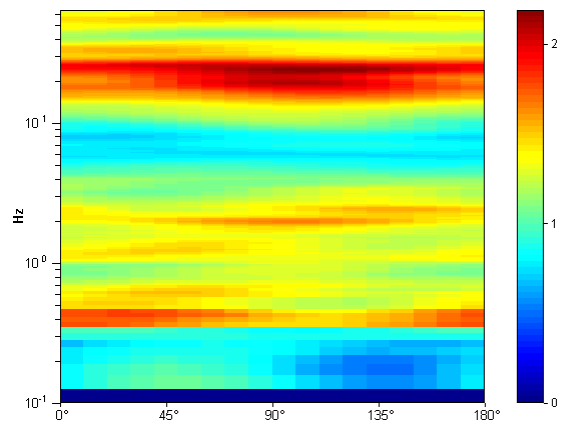
Max. H/V at 24.31 ± 5.99 Hz. (In the range 0.0 - 64.0 Hz).



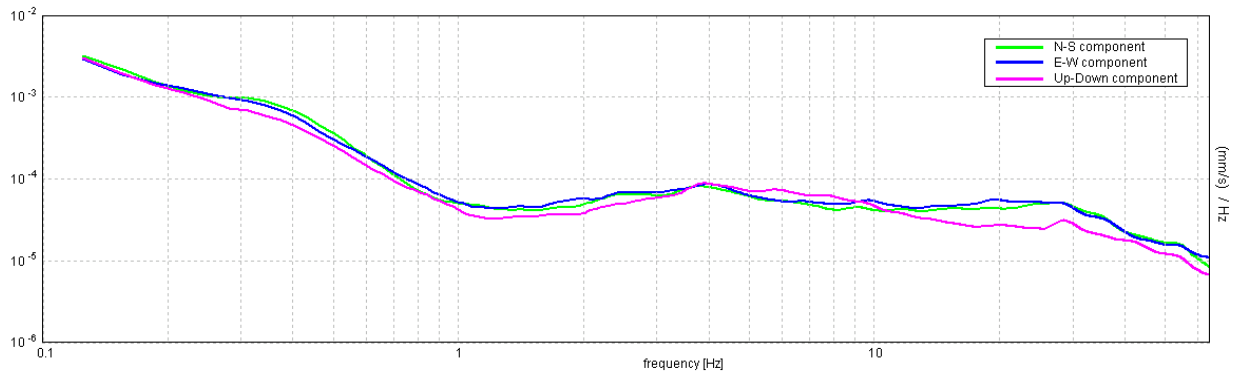
**SERIE TEMPORALE H/V**



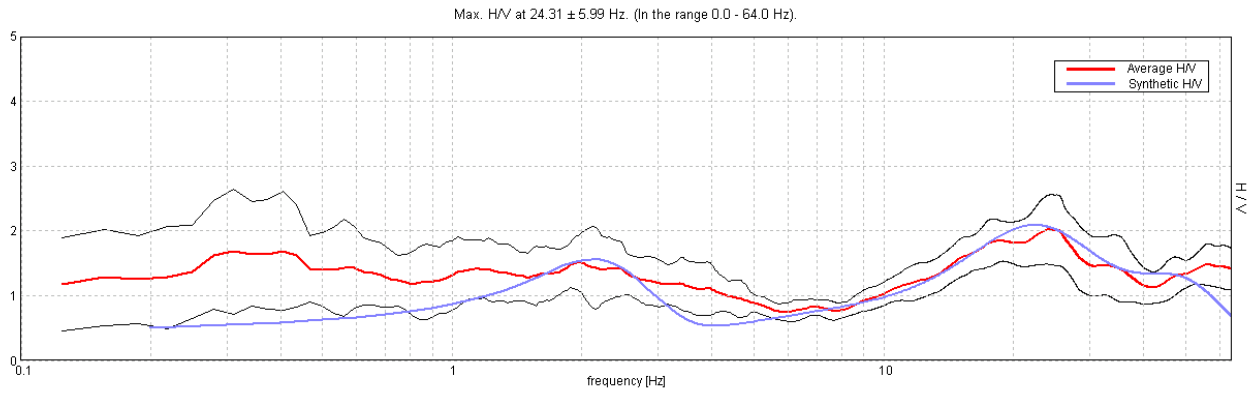
**DIREZIONALITA' H/V**



SPETTRI DELLE SINGOLE COMPONENTI

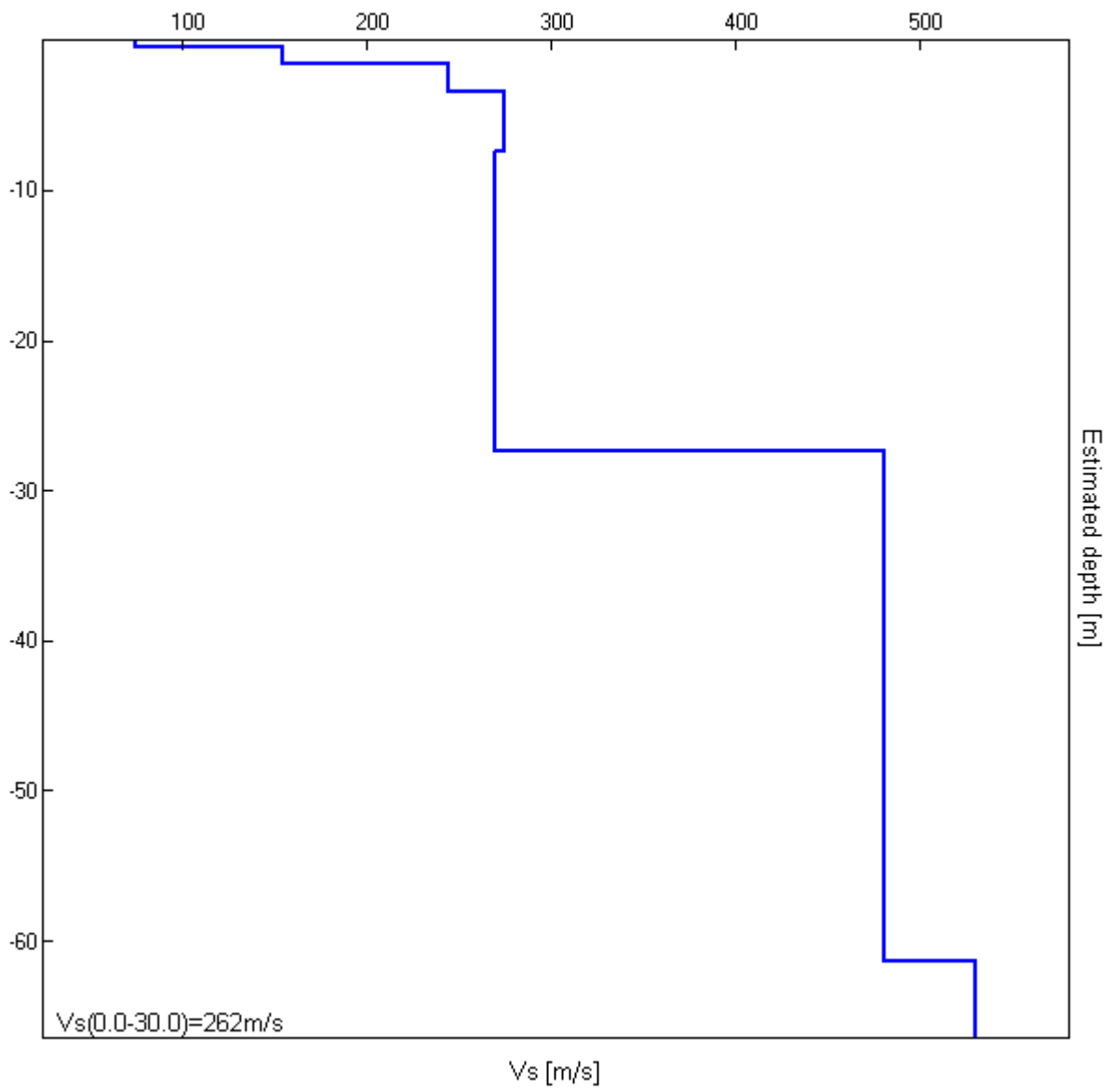


### H/V SPERIMENTALE vs. H/V SINTETICO



Profondità alla base dello strato [m]	Spessore [m]	Vs [m/s]	Rapporto di Poisson
0.40	0.40	75	0.35
1.60	1.20	155	0.35
3.40	1.80	245	0.35
7.40	4.00	275	0.35
27.40	20.00	270	0.35
61.40	34.00	480	0.35
inf.	inf.	530	0.35

Vs(0.0-30.0)=262m/s



[Secondo le linee guida SESAME, 2005]

**Picco H/V a 24.31 ± 5.99 Hz (nell'intervallo 0.0 - 64.0 Hz).**

**Criteri per una curva H/V affidabile**  
[Tutti 3 dovrebbero risultare soddisfatti]

$f_0 > 10 / L_w$	24.31 > 0.50	OK	
$n_c(f_0) > 200$	17018.8 > 200	OK	
$\sigma_A(f) < 2$ per $0.5f_0 < f < 2f_0$ se $f_0 > 0.5\text{Hz}$ $\sigma_A(f) < 3$ per $0.5f_0 < f < 2f_0$ se $f_0 < 0.5\text{Hz}$	Superato 0 volte su 1168	OK	

**Criteri per un picco H/V chiaro**  
[Almeno 5 su 6 dovrebbero essere soddisfatti]

Esiste $f^-$ in $[f_0/4, f_0] \mid A_{H/V}(f^-) < A_0 / 2$	9.875 Hz	OK	
Esiste $f^+$ in $[f_0, 4f_0] \mid A_{H/V}(f^+) < A_0 / 2$			NO
$A_0 > 2$	2.02 > 2	OK	
$f_{\text{picco}}[A_{H/V}(f) \pm \sigma_A(f)] = f_0 \pm 5\%$	$ 0.11952  < 0.05$		NO
$\sigma_f < \varepsilon(f_0)$	2.90572 < 1.21563		NO
$\sigma_A(f_0) < \theta(f_0)$	0.262 < 1.58	OK	

$L_w$	lunghezza della finestra
$n_w$	numero di finestre usate nell'analisi
$n_c = L_w n_w f_0$	numero di cicli significativi
$f$	frequenza attuale
$f_0$	frequenza del picco H/V
$\sigma_f$	deviazione standard della frequenza del picco H/V
$\varepsilon(f_0)$	valore di soglia per la condizione di stabilità $\sigma_f < \varepsilon(f_0)$
$A_0$	ampiezza della curva H/V alla frequenza $f_0$
$A_{H/V}(f)$	ampiezza della curva H/V alla frequenza $f$
$f^-$	frequenza tra $f_0/4$ e $f_0$ alla quale $A_{H/V}(f^-) < A_0/2$
$f^+$	frequenza tra $f_0$ e $4f_0$ alla quale $A_{H/V}(f^+) < A_0/2$
$\sigma_A(f)$	deviazione standard di $A_{H/V}(f)$ , $\sigma_A(f)$ è il fattore per il quale la curva $A_{H/V}(f)$ media deve essere moltiplicata o divisa
$\sigma_{\log H/V}(f)$	deviazione standard della funzione $\log A_{H/V}(f)$
$\theta(f_0)$	valore di soglia per la condizione di stabilità $\sigma_A(f) < \theta(f_0)$

Valori di soglia per $\sigma_f$ e $\sigma_A(f_0)$					
Intervallo di freq. [Hz]	< 0.2	0.2 – 0.5	0.5 – 1.0	1.0 – 2.0	> 2.0
$\varepsilon(f_0)$ [Hz]	0.25 $f_0$	0.2 $f_0$	0.15 $f_0$	0.10 $f_0$	0.05 $f_0$
$\theta(f_0)$ per $\sigma_A(f_0)$	3.0	2.5	2.0	1.78	1.58
$\log \theta(f_0)$ per $\sigma_{\log H/V}(f_0)$	0.48	0.40	0.30	0.25	0.20

**FELI\_1158, FELINO T34**

Strumento: TRZ-0091/01-10

Inizio registrazione: 30/01/12 17:53:26 Fine registrazione: 30/01/12 18:07:27

Nomi canali: NORTH SOUTH; EAST WEST ; UP DOWN

Dato GPS non disponibile

Durata registrazione: 0h14'00".

Analizzato 88% tracciato (selezione manuale)

Freq. campionamento: 128 Hz

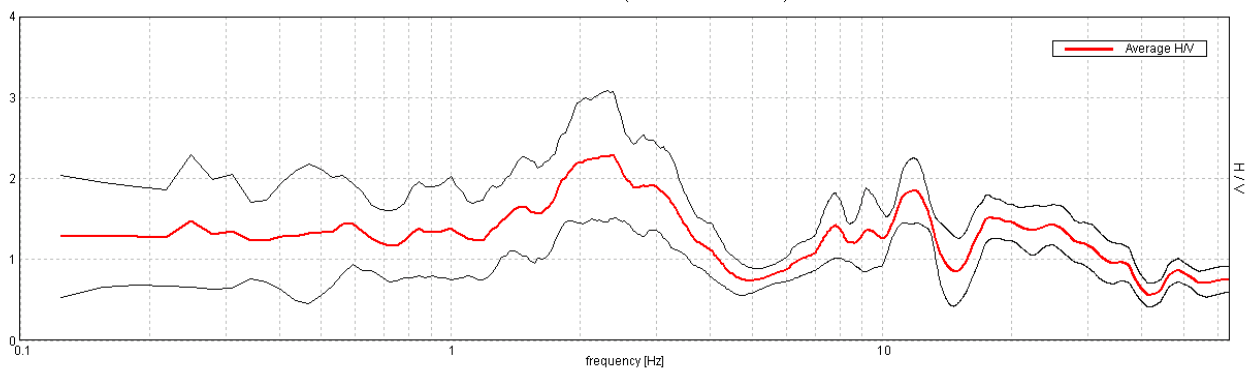
Lunghezza finestre: 20 s

Tipo di lisciamento: Triangular window

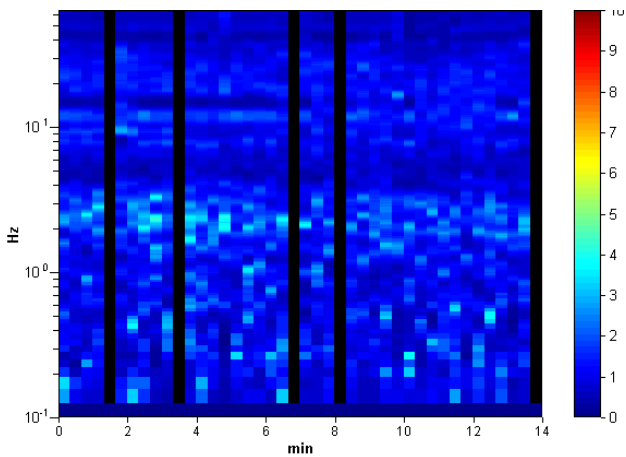
Lisciamento: 10%

**RAPPORTO SPETTRALE ORIZZONTALE SU VERTICALE**

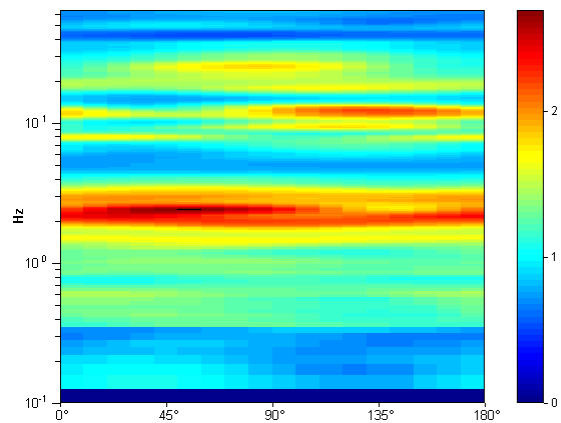
Picco H/V a  $2.38 \pm 0.13$  Hz (nell'intervallo 0.0 - 64.0 Hz).



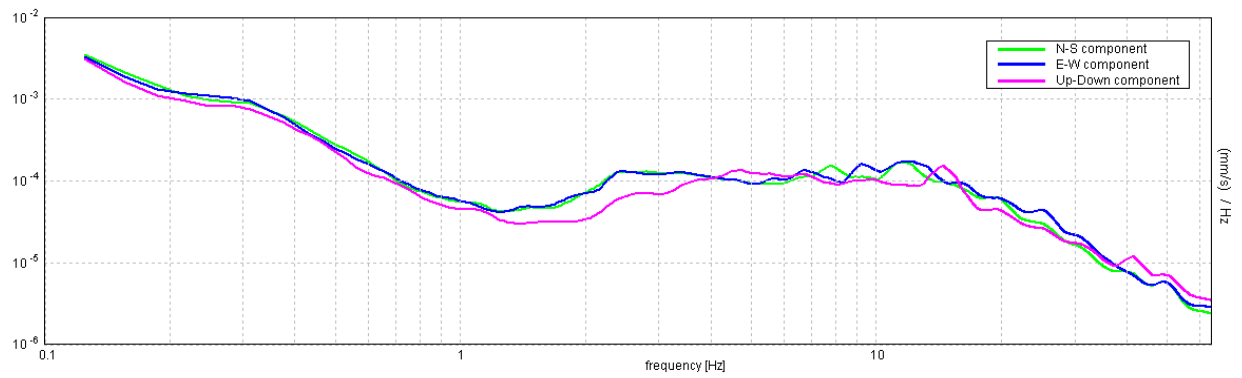
**SERIE TEMPORALE H/V**



**DIREZIONALITA' H/V**

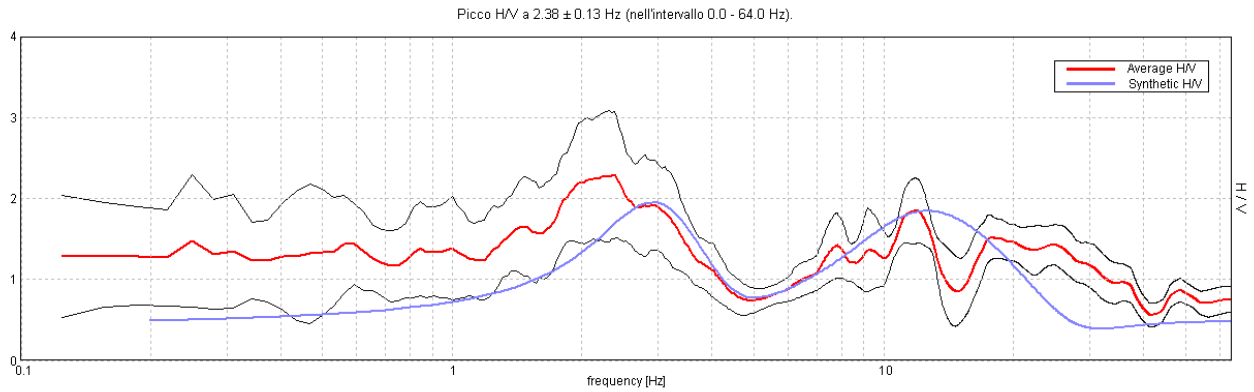


SPETTRI DELLE SINGOLE COMPONENTI



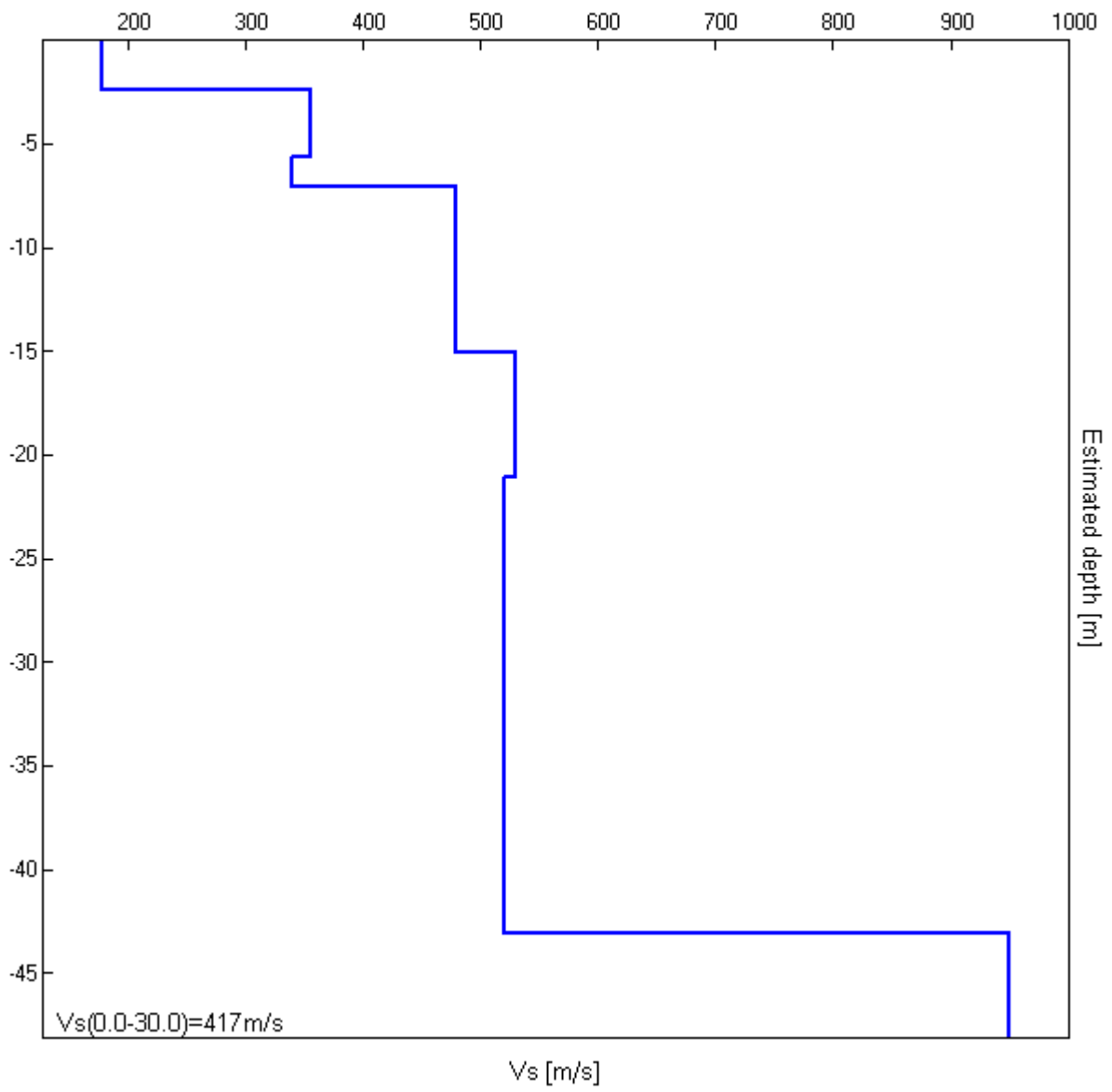


H/V SPERIMENTALE vs. H/V SINTETICO



Profondità alla base dello strato [m]	Spessore [m]	Vs [m/s]	Rapporto di Poisson
2.40	2.40	178	0.35
5.60	3.20	355	0.35
7.10	1.50	340	0.35
15.10	8.00	480	0.35
21.10	6.00	530	0.35
43.10	22.00	520	0.35
inf.	inf.	950	0.35

Vs(0.0-30.0)=417m/s



[Secondo le linee guida SESAME, 2005]

**Picco H/V a  $2.38 \pm 0.13$  Hz (nell'intervallo 0.0 - 64.0 Hz).**

**Criteri per una curva H/V affidabile**  
[Tutti 3 dovrebbero risultare soddisfatti]

$f_0 > 10 / L_w$	$2.38 > 0.50$	<b>OK</b>	
$n_c(f_0) > 200$	$1757.5 > 200$	<b>OK</b>	
$\sigma_A(f) < 2$ per $0.5f_0 < f < 2f_0$ se $f_0 > 0.5\text{Hz}$ $\sigma_A(f) < 3$ per $0.5f_0 < f < 2f_0$ se $f_0 < 0.5\text{Hz}$	Superato 0 volte su 115	<b>OK</b>	

**Criteri per un picco H/V chiaro**  
[Almeno 5 su 6 dovrebbero essere soddisfatti]

<b>Esiste <math>f^-</math> in <math>[f_0/4, f_0]</math>   <math>A_{H/V}(f^-) &lt; A_0 / 2</math></b>			<b>NO</b>
<b>Esiste <math>f^+</math> in <math>[f_0, 4f_0]</math>   <math>A_{H/V}(f^+) &lt; A_0 / 2</math></b>	3.938 Hz	<b>OK</b>	
$A_0 > 2$	$2.29 > 2$	<b>OK</b>	
$f_{\text{picco}}[A_{H/V}(f) \pm \sigma_A(f)] = f_0 \pm 5\%$	$ 0.02583  < 0.05$	<b>OK</b>	
$\sigma_f < \varepsilon(f_0)$	$0.06135 < 0.11875$	<b>OK</b>	
$\sigma_A(f_0) < \theta(f_0)$	$0.3819 < 1.58$	<b>OK</b>	

$L_w$	lunghezza della finestra
$n_w$	numero di finestre usate nell'analisi
$n_c = L_w n_w f_0$	numero di cicli significativi
$f$	frequenza attuale
$f_0$	frequenza del picco H/V
$\sigma_f$	deviazione standard della frequenza del picco H/V
$\varepsilon(f_0)$	valore di soglia per la condizione di stabilità $\sigma_f < \varepsilon(f_0)$
$A_0$	ampiezza della curva H/V alla frequenza $f_0$
$A_{H/V}(f)$	ampiezza della curva H/V alla frequenza $f$
$f^-$	frequenza tra $f_0/4$ e $f_0$ alla quale $A_{H/V}(f^-) < A_0/2$
$f^+$	frequenza tra $f_0$ e $4f_0$ alla quale $A_{H/V}(f^+) < A_0/2$
$\sigma_A(f)$	deviazione standard di $A_{H/V}(f)$ , $\sigma_A(f)$ è il fattore per il quale la curva $A_{H/V}(f)$ media deve essere moltiplicata o divisa
$\sigma_{\log H/V}(f)$	deviazione standard della funzione $\log A_{H/V}(f)$
$\theta(f_0)$	valore di soglia per la condizione di stabilità $\sigma_A(f) < \theta(f_0)$

Valori di soglia per  $\sigma_f$  e  $\sigma_A(f_0)$

Intervallo di freq. [Hz]	< 0.2	0.2 – 0.5	0.5 – 1.0	1.0 – 2.0	> 2.0
$\varepsilon(f_0)$ [Hz]	$0.25 f_0$	$0.2 f_0$	$0.15 f_0$	$0.10 f_0$	$0.05 f_0$
$\theta(f_0)$ per $\sigma_A(f_0)$	3.0	2.5	2.0	1.78	1.58
$\log \theta(f_0)$ per $\sigma_{\log H/V}(f_0)$	0.48	0.40	0.30	0.25	0.20

**FELI\_1158, FELINO T35**

Strumento: TRZ-0091/01-10

Inizio registrazione: 30/01/12 18:17:18 Fine registrazione: 30/01/12 18:31:19

Nomi canali: NORTH SOUTH; EAST WEST ; UP DOWN

Dato GPS non disponibile

Durata registrazione: 0h14'00".

Analizzato 79% tracciato (selezione manuale)

Freq. campionamento: 128 Hz

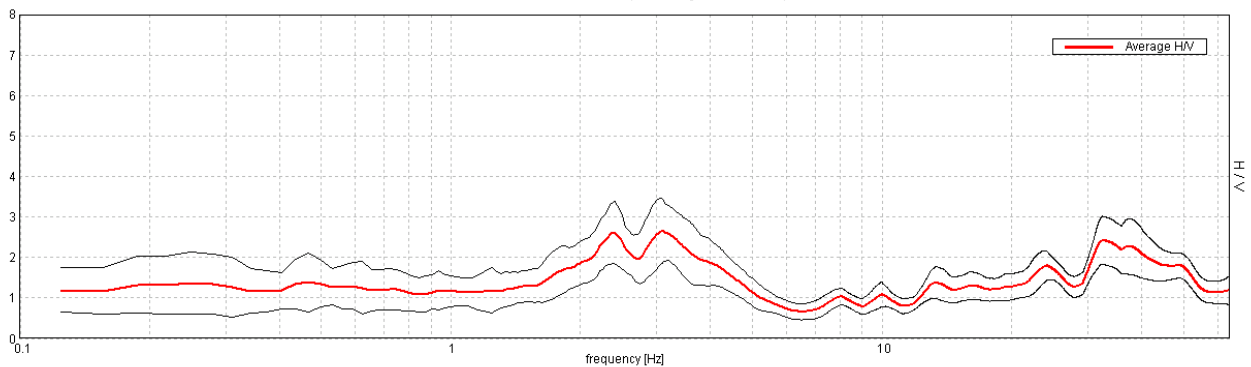
Lunghezza finestre: 20 s

Tipo di lisciamento: Triangular window

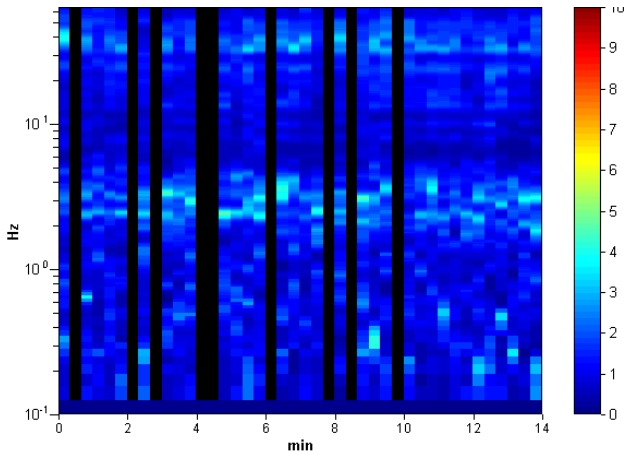
Lisciamento: 10%

**RAPPORTO SPETTRALE ORIZZONTALE SU VERTICALE**

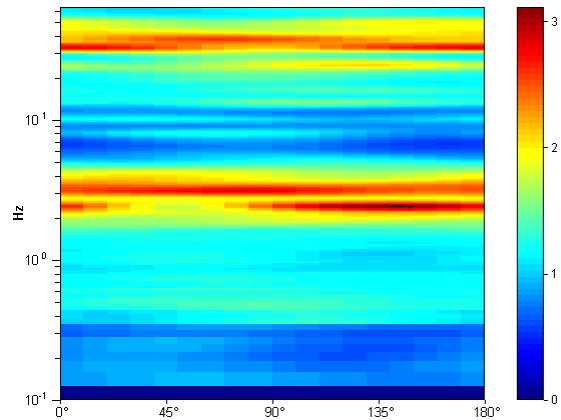
Max. H/V at 3.13 ± 4.44 Hz. (In the range 0.0 - 64.0 Hz).



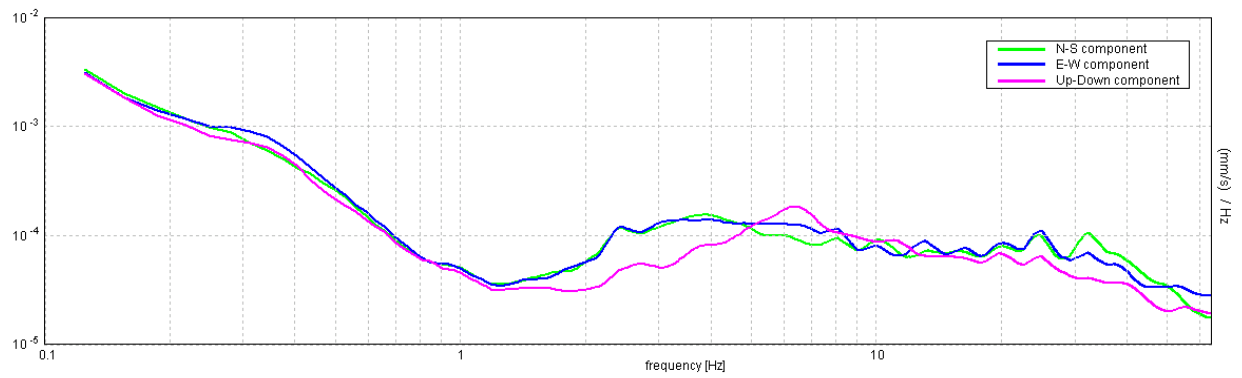
**SERIE TEMPORALE H/V**



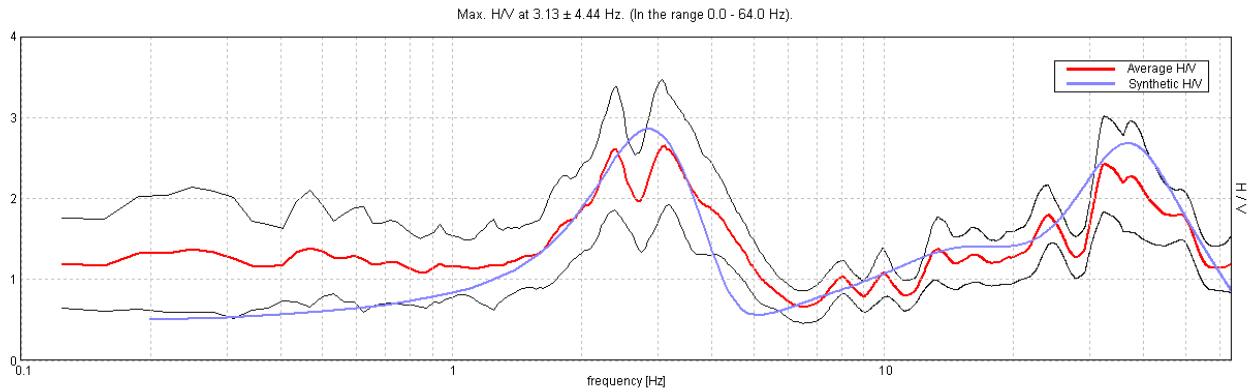
**DIREZIONALITA' H/V**



SPETTRI DELLE SINGOLE COMPONENTI

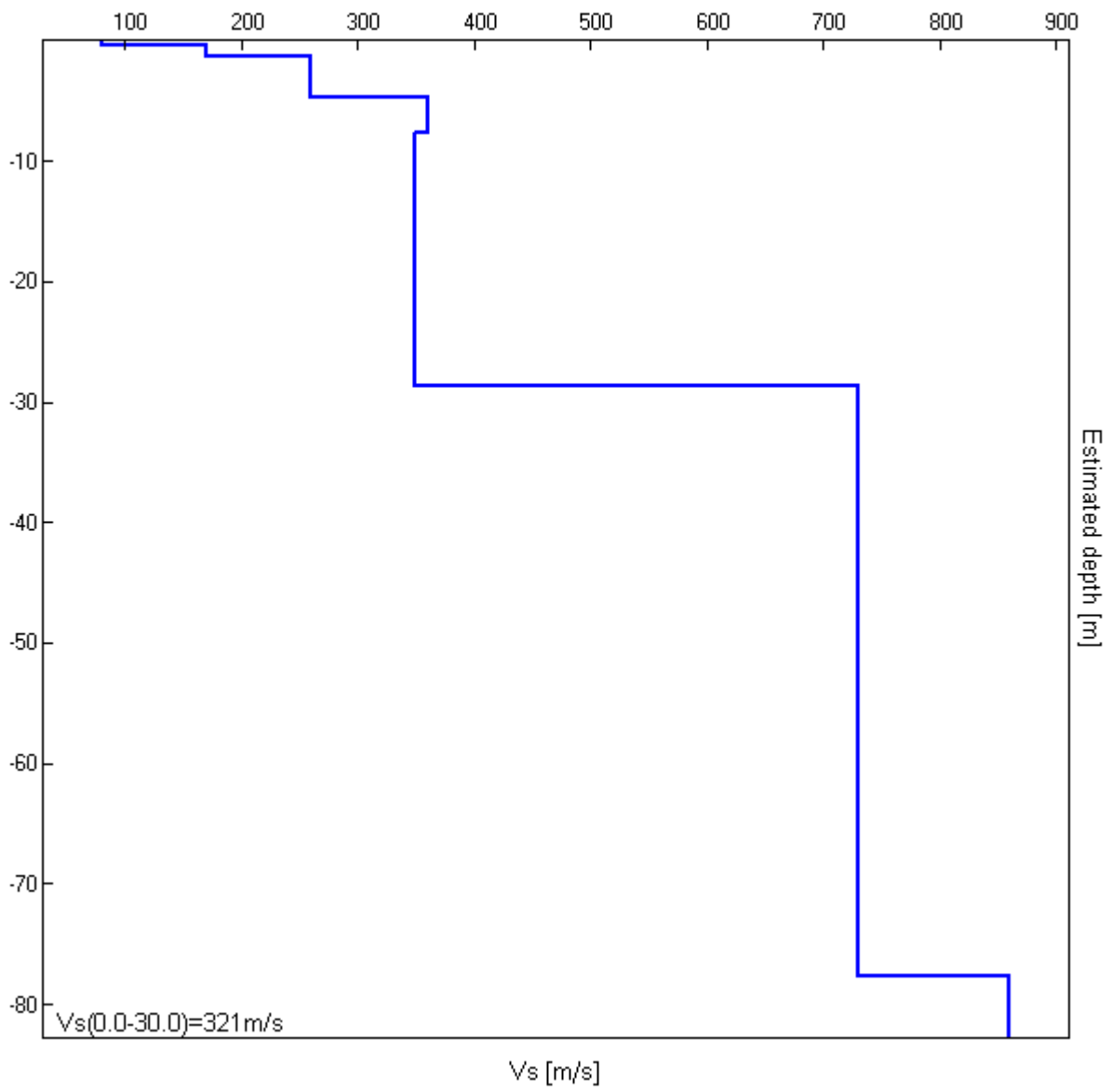


### H/V SPERIMENTALE vs. H/V SINTETICO



Profondità alla base dello strato [m]	Spessore [m]	Vs [m/s]	Rapporto di Poisson
0.40	0.40	80	0.35
1.30	0.90	170	0.35
4.70	3.40	260	0.35
7.70	3.00	360	0.35
28.70	21.00	350	0.35
77.70	49.00	730	0.35
inf.	inf.	860	0.35

Vs(0.0-30.0)=321m/s



[Secondo le linee guida SESAME, 2005]

**Picco H/V a  $3.13 \pm 4.44$  Hz (nell'intervallo 0.0 - 64.0 Hz).**

**Criteri per una curva H/V affidabile**  
[Tutti 3 dovrebbero risultare soddisfatti]

$f_0 > 10 / L_w$	$3.13 > 0.50$	<b>OK</b>	
$n_c(f_0) > 200$	$2062.5 > 200$	<b>OK</b>	
$\sigma_A(f) < 2$ per $0.5f_0 < f < 2f_0$ se $f_0 > 0.5\text{Hz}$ $\sigma_A(f) < 3$ per $0.5f_0 < f < 2f_0$ se $f_0 < 0.5\text{Hz}$	Superato 0 volte su 151	<b>OK</b>	

**Criteri per un picco H/V chiaro**  
[Almeno 5 su 6 dovrebbero essere soddisfatti]

<b>Esiste <math>f^-</math> in <math>[f_0/4, f_0]</math>   <math>A_{H/V}(f^-) &lt; A_0 / 2</math></b>	1.594 Hz	<b>OK</b>	
<b>Esiste <math>f^+</math> in <math>[f_0, 4f_0]</math>   <math>A_{H/V}(f^+) &lt; A_0 / 2</math></b>	4.781 Hz	<b>OK</b>	
$A_0 > 2$	$2.65 > 2$	<b>OK</b>	
$f_{\text{picco}}[A_{H/V}(f) \pm \sigma_A(f)] = f_0 \pm 5\%$	$ 0.68654  < 0.05$		<b>NO</b>
$\sigma_f < \varepsilon(f_0)$	$2.14543 < 0.15625$		<b>NO</b>
$\sigma_A(f_0) < \theta(f_0)$	$0.3682 < 1.58$	<b>OK</b>	

$L_w$	lunghezza della finestra
$n_w$	numero di finestre usate nell'analisi
$n_c = L_w n_w f_0$	numero di cicli significativi
$f$	frequenza attuale
$f_0$	frequenza del picco H/V
$\sigma_f$	deviazione standard della frequenza del picco H/V
$\varepsilon(f_0)$	valore di soglia per la condizione di stabilità $\sigma_f < \varepsilon(f_0)$
$A_0$	ampiezza della curva H/V alla frequenza $f_0$
$A_{H/V}(f)$	ampiezza della curva H/V alla frequenza $f$
$f^-$	frequenza tra $f_0/4$ e $f_0$ alla quale $A_{H/V}(f^-) < A_0/2$
$f^+$	frequenza tra $f_0$ e $4f_0$ alla quale $A_{H/V}(f^+) < A_0/2$
$\sigma_A(f)$	deviazione standard di $A_{H/V}(f)$ , $\sigma_A(f)$ è il fattore per il quale la curva $A_{H/V}(f)$ media deve essere moltiplicata o divisa
$\sigma_{\log H/V}(f)$	deviazione standard della funzione $\log A_{H/V}(f)$
$\theta(f_0)$	valore di soglia per la condizione di stabilità $\sigma_A(f) < \theta(f_0)$

Valori di soglia per $\sigma_f$ e $\sigma_A(f_0)$					
Intervallo di freq. [Hz]	< 0.2	0.2 – 0.5	0.5 – 1.0	1.0 – 2.0	> 2.0
$\varepsilon(f_0)$ [Hz]	$0.25 f_0$	$0.2 f_0$	$0.15 f_0$	$0.10 f_0$	$0.05 f_0$
$\theta(f_0)$ per $\sigma_A(f_0)$	3.0	2.5	2.0	1.78	1.58
$\log \theta(f_0)$ per $\sigma_{\log H/V}(f_0)$	0.48	0.40	0.30	0.25	0.20



**FELI\_1158, FELINO T36**

Strumento: TRZ-0091/01-10

Inizio registrazione: 30/01/12 18:39:34 Fine registrazione: 30/01/12 18:53:34

Nomi canali: NORTH SOUTH; EAST WEST ; UP DOWN

Dato GPS non disponibile

Durata registrazione: 0h14'00".

Analizzato 74% tracciato (selezione manuale)

Freq. campionamento: 128 Hz

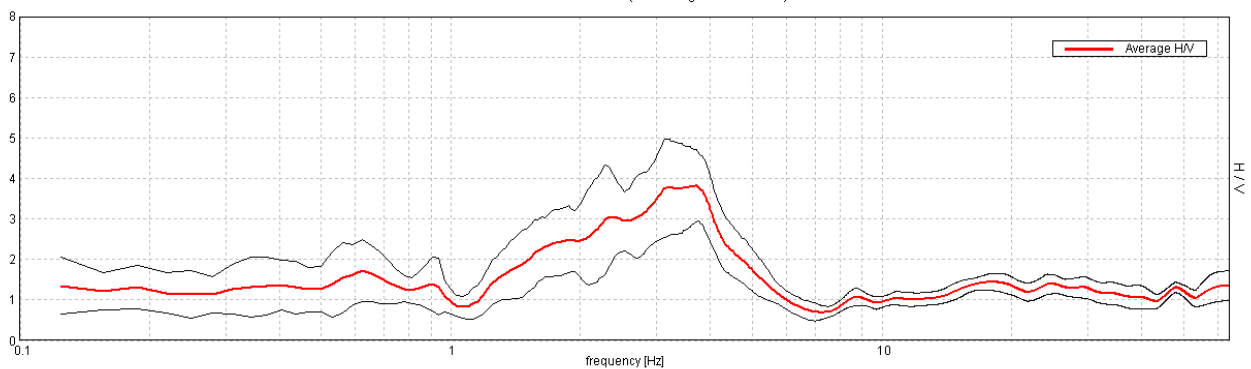
Lunghezza finestre: 20 s

Tipo di lisciamento: Triangular window

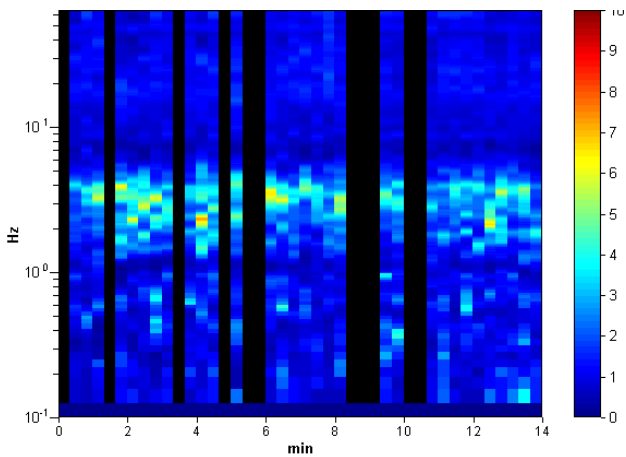
Lisciamento: 10%

**RAPPORTO SPETTRALE ORIZZONTALE SU VERTICALE**

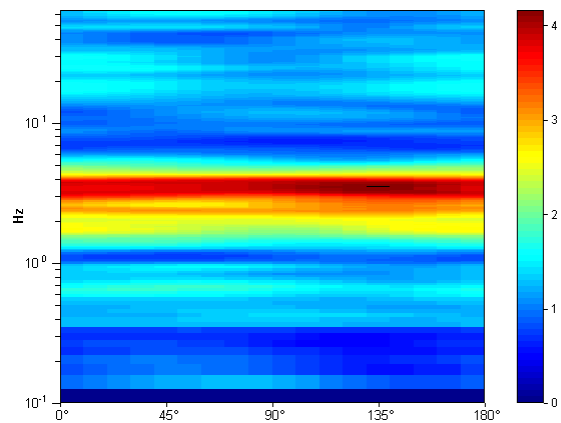
Max. H/V at 3.72 ± 0.17 Hz. (In the range 0.0 - 64.0 Hz).



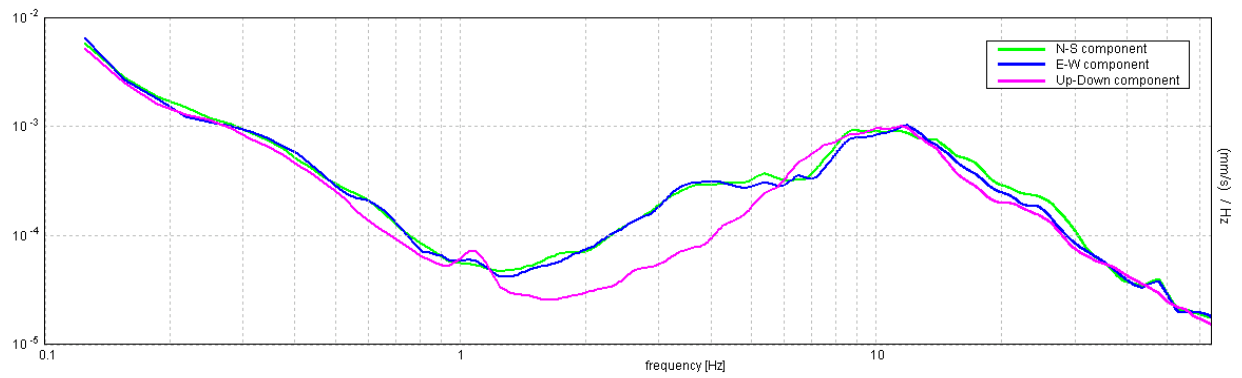
**SERIE TEMPORALE H/V**



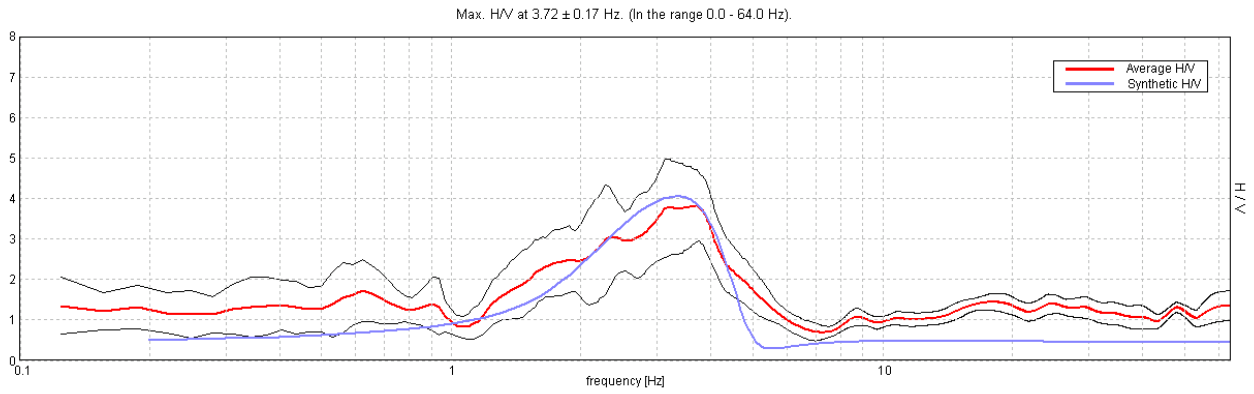
**DIREZIONALITA' H/V**



SPETTRI DELLE SINGOLE COMPONENTI

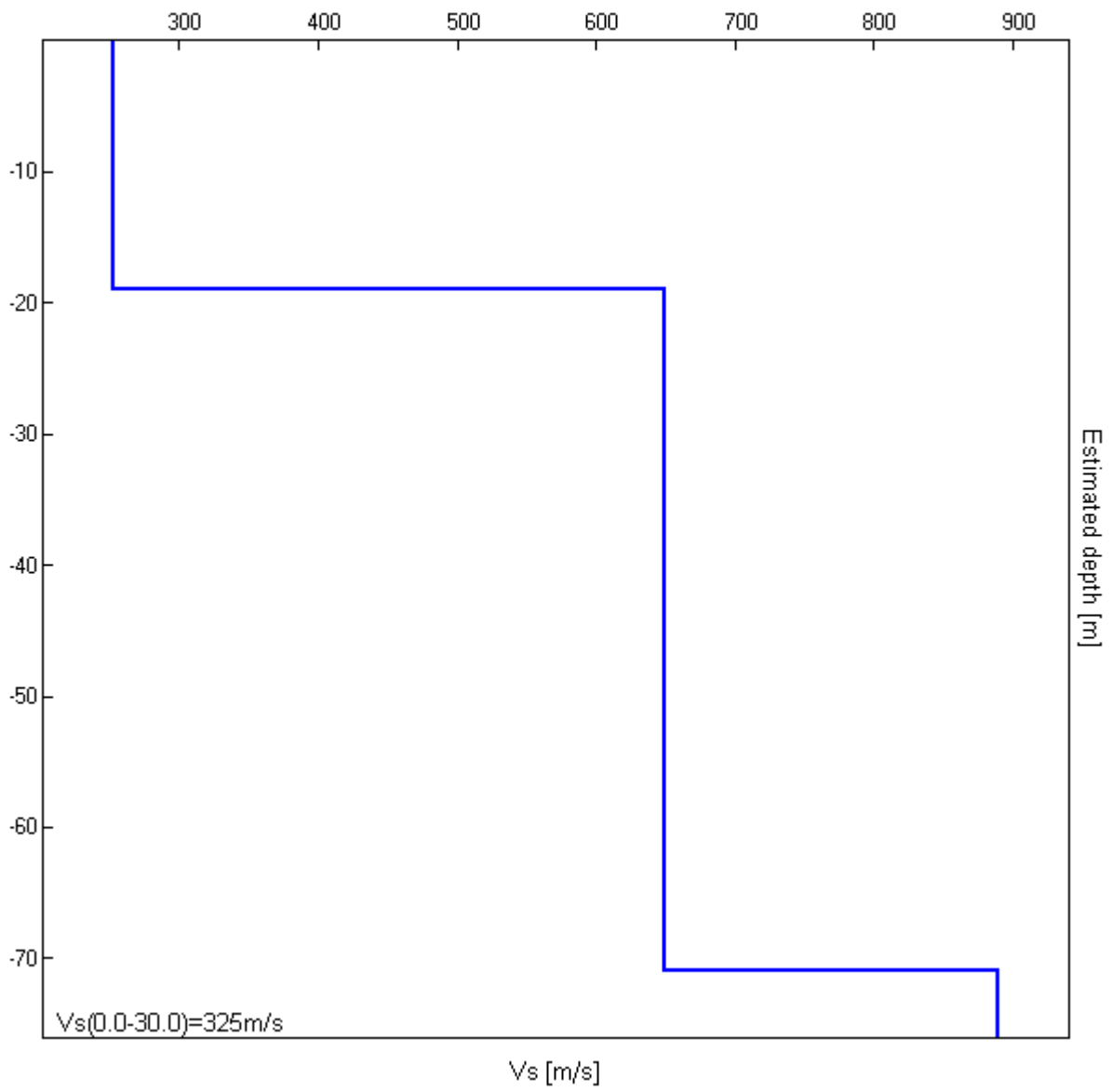


### H/V SPERIMENTALE vs. H/V SINTETICO



Profondità alla base dello strato [m]	Spessore [m]	Vs [m/s]	Rapporto di Poisson
19.00	19.00	252	0.35
71.00	52.00	650	0.35
inf.	inf.	890	0.35

Vs(0.0-30.0)=325m/s



[Secondo le linee guida SESAME, 2005]

**Picco H/V a  $3.72 \pm 0.17$  Hz (nell'intervallo 0.0 - 64.0 Hz).**

**Criteri per una curva H/V affidabile**  
[Tutti 3 dovrebbero risultare soddisfatti]

$f_0 > 10 / L_w$	$3.72 > 0.50$	<b>OK</b>	
$n_c(f_0) > 200$	$2305.6 > 200$	<b>OK</b>	
$\sigma_A(f) < 2$ per $0.5f_0 < f < 2f_0$ se $f_0 > 0.5$ Hz $\sigma_A(f) < 3$ per $0.5f_0 < f < 2f_0$ se $f_0 < 0.5$ Hz	Superato 0 volte su 180	<b>OK</b>	

**Criteri per un picco H/V chiaro**  
[Almeno 5 su 6 dovrebbero essere soddisfatti]

<b>Esiste <math>f^-</math> in <math>[f_0/4, f_0]</math>   <math>A_{H/V}(f^-) &lt; A_0 / 2</math></b>	1.469 Hz	<b>OK</b>	
<b>Esiste <math>f^+</math> in <math>[f_0, 4f_0]</math>   <math>A_{H/V}(f^+) &lt; A_0 / 2</math></b>	4.844 Hz	<b>OK</b>	
$A_0 > 2$	$3.82 > 2$	<b>OK</b>	
$f_{picco}[A_{H/V}(f) \pm \sigma_A(f)] = f_0 \pm 5\%$	$ 0.02231  < 0.05$	<b>OK</b>	
$\sigma_f < \varepsilon(f_0)$	$0.08297 < 0.18594$	<b>OK</b>	
$\sigma_A(f_0) < \theta(f_0)$	$0.426 < 1.58$	<b>OK</b>	

$L_w$	lunghezza della finestra
$n_w$	numero di finestre usate nell'analisi
$n_c = L_w n_w f_0$	numero di cicli significativi
$f$	frequenza attuale
$f_0$	frequenza del picco H/V
$\sigma_f$	deviazione standard della frequenza del picco H/V
$\varepsilon(f_0)$	valore di soglia per la condizione di stabilità $\sigma_f < \varepsilon(f_0)$
$A_0$	ampiezza della curva H/V alla frequenza $f_0$
$A_{H/V}(f)$	ampiezza della curva H/V alla frequenza $f$
$f^-$	frequenza tra $f_0/4$ e $f_0$ alla quale $A_{H/V}(f^-) < A_0/2$
$f^+$	frequenza tra $f_0$ e $4f_0$ alla quale $A_{H/V}(f^+) < A_0/2$
$\sigma_A(f)$	deviazione standard di $A_{H/V}(f)$ , $\sigma_A(f)$ è il fattore per il quale la curva $A_{H/V}(f)$ media deve essere moltiplicata o divisa
$\sigma_{\log H/V}(f)$	deviazione standard della funzione $\log A_{H/V}(f)$
$\theta(f_0)$	valore di soglia per la condizione di stabilità $\sigma_A(f) < \theta(f_0)$

Valori di soglia per $\sigma_f$ e $\sigma_A(f_0)$					
Intervallo di freq. [Hz]	< 0.2	0.2 – 0.5	0.5 – 1.0	1.0 – 2.0	> 2.0
$\varepsilon(f_0)$ [Hz]	$0.25 f_0$	$0.2 f_0$	$0.15 f_0$	$0.10 f_0$	$0.05 f_0$
$\theta(f_0)$ per $\sigma_A(f_0)$	3.0	2.5	2.0	1.78	1.58
$\log \theta(f_0)$ per $\sigma_{\log H/V}(f_0)$	0.48	0.40	0.30	0.25	0.20

**FELI\_1158, FELINO T37**

Strumento: TRZ-0091/01-10

Inizio registrazione: 30/01/12 18:59:02 Fine registrazione: 30/01/12 19:13:03

Nomi canali: NORTH SOUTH; EAST WEST ; UP DOWN

Dato GPS non disponibile

Durata registrazione: 0h14'00".

Analizzato 83% tracciato (selezione manuale)

Freq. campionamento: 128 Hz

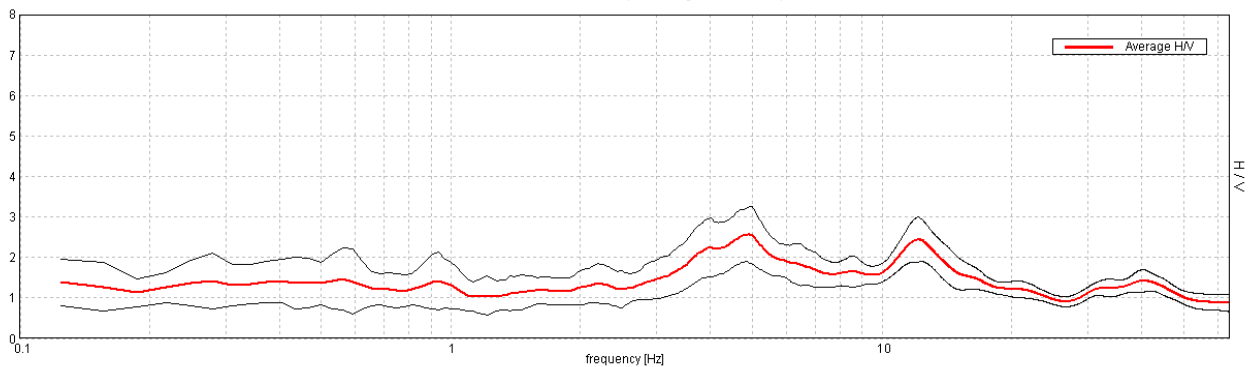
Lunghezza finestre: 20 s

Tipo di lisciamento: Triangular window

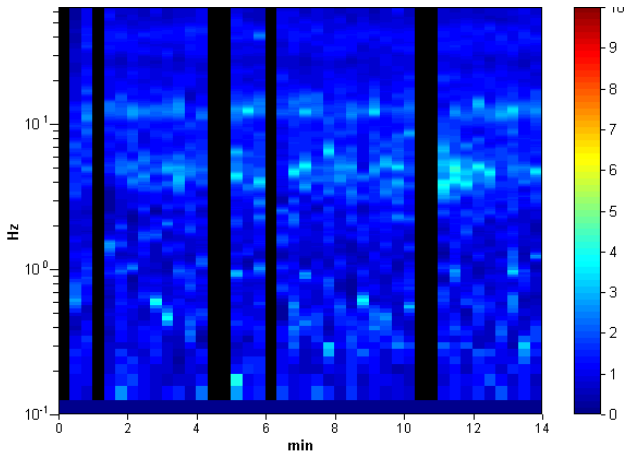
Lisciamento: 10%

**RAPPORTO SPETTRALE ORIZZONTALE SU VERTICALE**

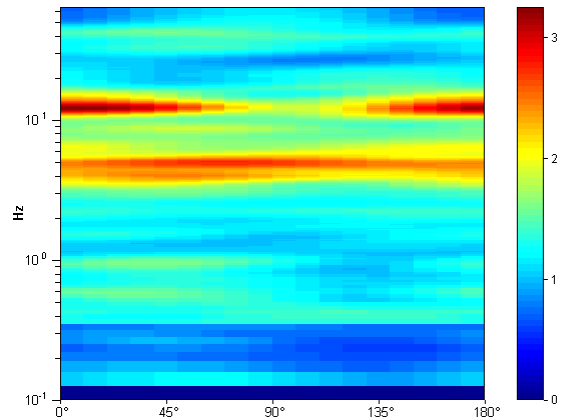
Max. H/V at 4.94 ± 2.0 Hz. (In the range 0.0 - 64.0 Hz).



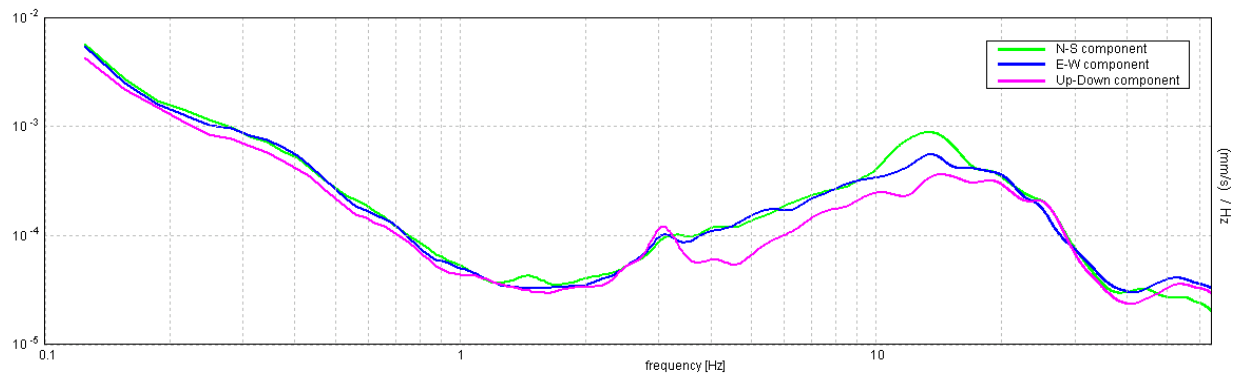
**SERIE TEMPORALE H/V**



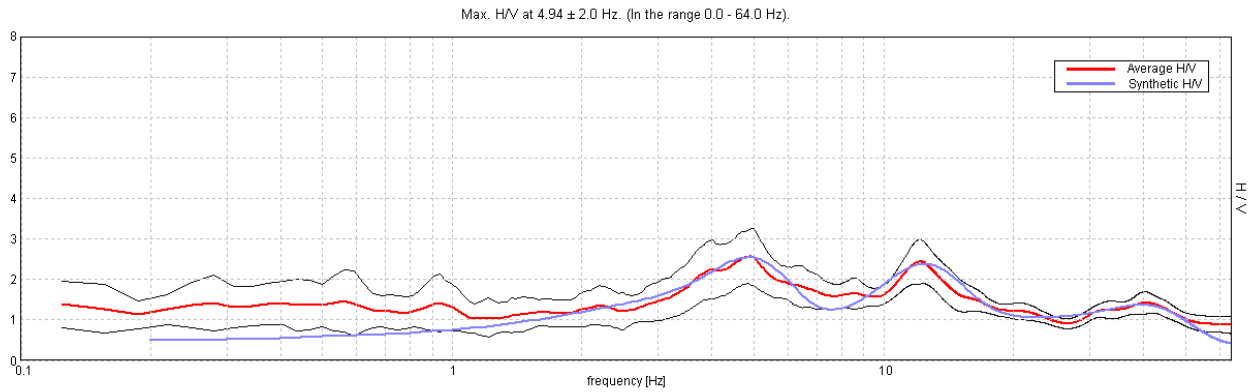
**DIREZIONALITA' H/V**



SPETTRI DELLE SINGOLE COMPONENTI



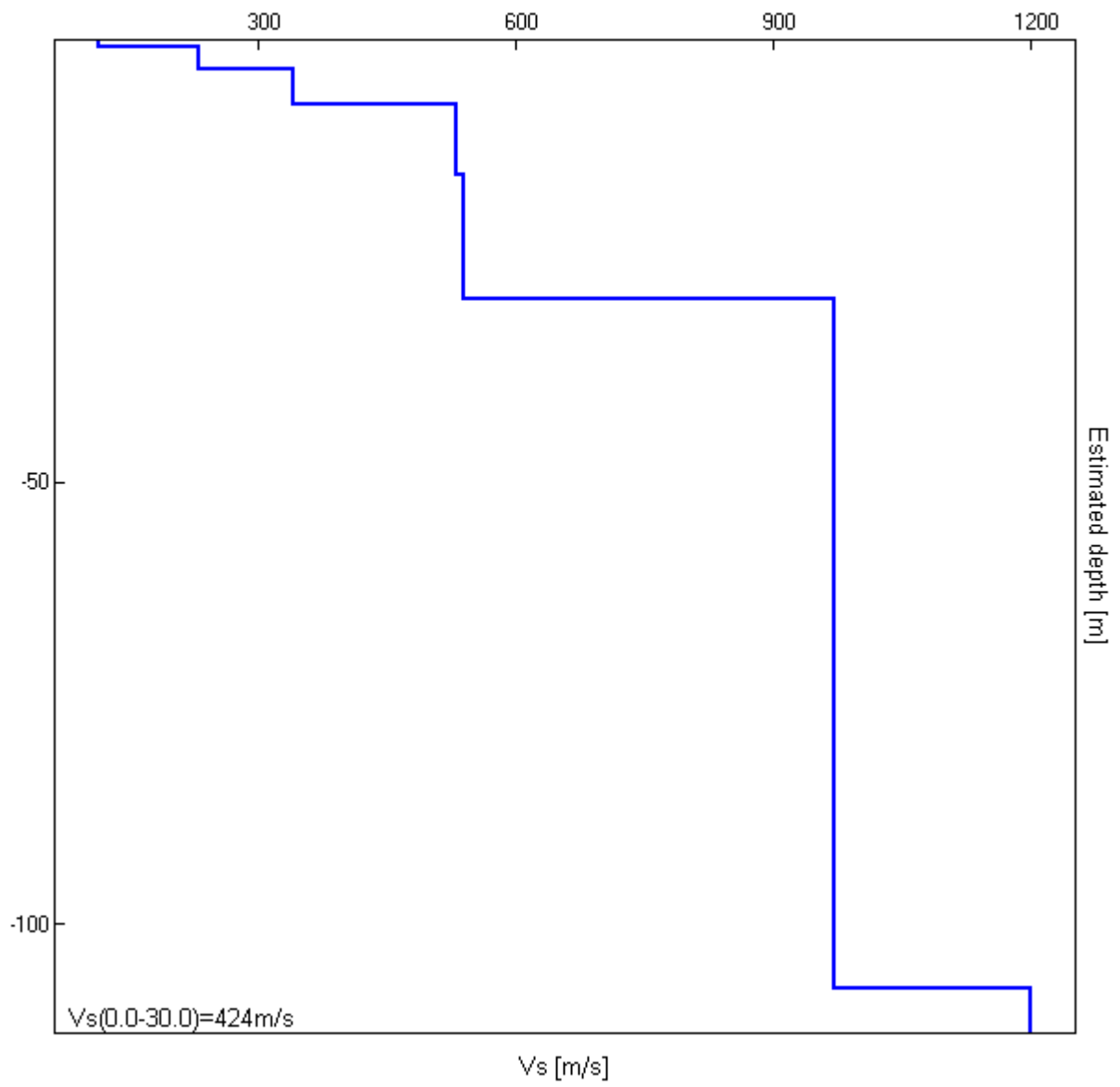
### H/V SPERIMENTALE vs. H/V SINTETICO



Profondità alla base dello strato [m]	Spessore [m]	Vs [m/s]	Rapporto di Poisson
0.70	0.70	113	0.35
3.20	2.50	230	0.35
7.20	4.00	340	0.35
15.20	8.00	530	0.35
29.20	14.00	540	0.35
107.20	78.00	970	0.35
inf.	inf.	1200	0.35

Vs(0.0-30.0)=424m/s





[Secondo le linee guida SESAME, 2005]

**Picco H/V a  $4.94 \pm 2.0$  Hz (nell'intervallo 0.0 - 64.0 Hz).**

**Criteri per una curva H/V affidabile**  
[Tutti 3 dovrebbero risultare soddisfatti]

$f_0 > 10 / L_w$	$4.94 > 0.50$	<b>OK</b>	
$n_c(f_0) > 200$	$3456.3 > 200$	<b>OK</b>	
$\sigma_A(f) < 2$ per $0.5f_0 < f < 2f_0$ se $f_0 > 0.5\text{Hz}$ $\sigma_A(f) < 3$ per $0.5f_0 < f < 2f_0$ se $f_0 < 0.5\text{Hz}$	Superato 0 volte su 238	<b>OK</b>	

**Criteri per un picco H/V chiaro**  
[Almeno 5 su 6 dovrebbero essere soddisfatti]

<b>Esiste <math>f^-</math> in <math>[f_0/4, f_0]</math>   <math>A_{H/V}(f^-) &lt; A_0 / 2</math></b>	2.688 Hz	<b>OK</b>	
<b>Esiste <math>f^+</math> in <math>[f_0, 4f_0]</math>   <math>A_{H/V}(f^+) &lt; A_0 / 2</math></b>	18.094 Hz	<b>OK</b>	
$A_0 > 2$	$2.56 > 2$	<b>OK</b>	
$f_{\text{picco}}[A_{H/V}(f) \pm \sigma_A(f)] = f_0 \pm 5\%$	$ 0.1962  < 0.05$		<b>NO</b>
$\sigma_f < \varepsilon(f_0)$	$0.96873 < 0.24688$		<b>NO</b>
$\sigma_A(f_0) < \theta(f_0)$	$0.338 < 1.58$	<b>OK</b>	

$L_w$	lunghezza della finestra
$n_w$	numero di finestre usate nell'analisi
$n_c = L_w n_w f_0$	numero di cicli significativi
$f$	frequenza attuale
$f_0$	frequenza del picco H/V
$\sigma_f$	deviazione standard della frequenza del picco H/V
$\varepsilon(f_0)$	valore di soglia per la condizione di stabilità $\sigma_f < \varepsilon(f_0)$
$A_0$	ampiezza della curva H/V alla frequenza $f_0$
$A_{H/V}(f)$	ampiezza della curva H/V alla frequenza $f$
$f^-$	frequenza tra $f_0/4$ e $f_0$ alla quale $A_{H/V}(f^-) < A_0/2$
$f^+$	frequenza tra $f_0$ e $4f_0$ alla quale $A_{H/V}(f^+) < A_0/2$
$\sigma_A(f)$	deviazione standard di $A_{H/V}(f)$ , $\sigma_A(f)$ è il fattore per il quale la curva $A_{H/V}(f)$ media deve essere moltiplicata o divisa
$\sigma_{\log H/V}(f)$	deviazione standard della funzione $\log A_{H/V}(f)$
$\theta(f_0)$	valore di soglia per la condizione di stabilità $\sigma_A(f) < \theta(f_0)$

Valori di soglia per $\sigma_f$ e $\sigma_A(f_0)$					
Intervallo di freq. [Hz]	< 0.2	0.2 – 0.5	0.5 – 1.0	1.0 – 2.0	> 2.0
$\varepsilon(f_0)$ [Hz]	$0.25 f_0$	$0.2 f_0$	$0.15 f_0$	$0.10 f_0$	$0.05 f_0$
$\theta(f_0)$ per $\sigma_A(f_0)$	3.0	2.5	2.0	1.78	1.58
$\log \theta(f_0)$ per $\sigma_{\log H/V}(f_0)$	0.48	0.40	0.30	0.25	0.20

**FELI\_1158, FELINO T38**

Strumento: TRZ-0091/01-10

Inizio registrazione: 30/01/12 19:22:44 Fine registrazione: 30/01/12 19:36:45

Nomi canali: NORTH SOUTH; EAST WEST ; UP DOWN

Dato GPS non disponibile

Durata registrazione: 0h14'00".

Analisi effettuata sull'intera traccia.

Freq. campionamento: 128 Hz

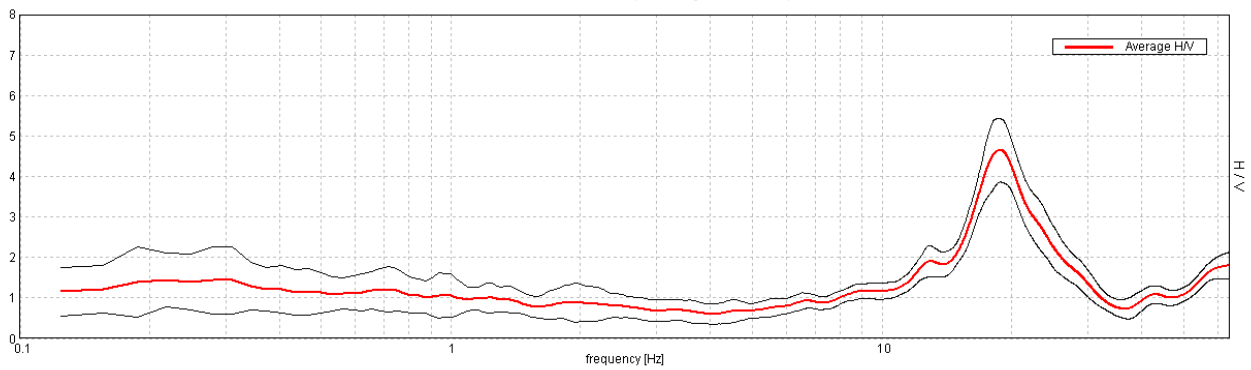
Lunghezza finestre: 20 s

Tipo di lisciamento: Triangular window

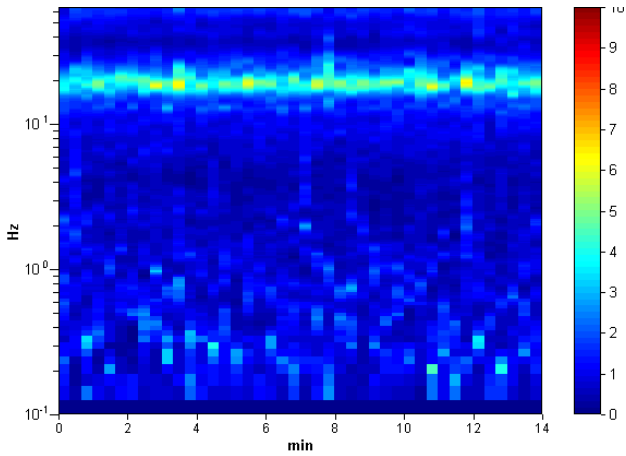
Lisciamento: 10%

**RAPPORTO SPETTRALE ORIZZONTALE SU VERTICALE**

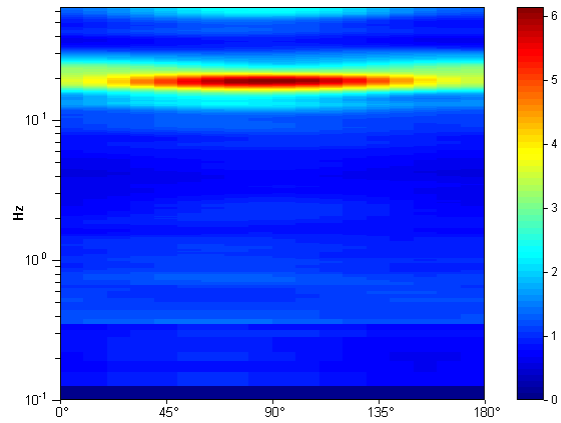
Max. H/V at 18.75 ± 0.12 Hz. (In the range 0.0 - 64.0 Hz).



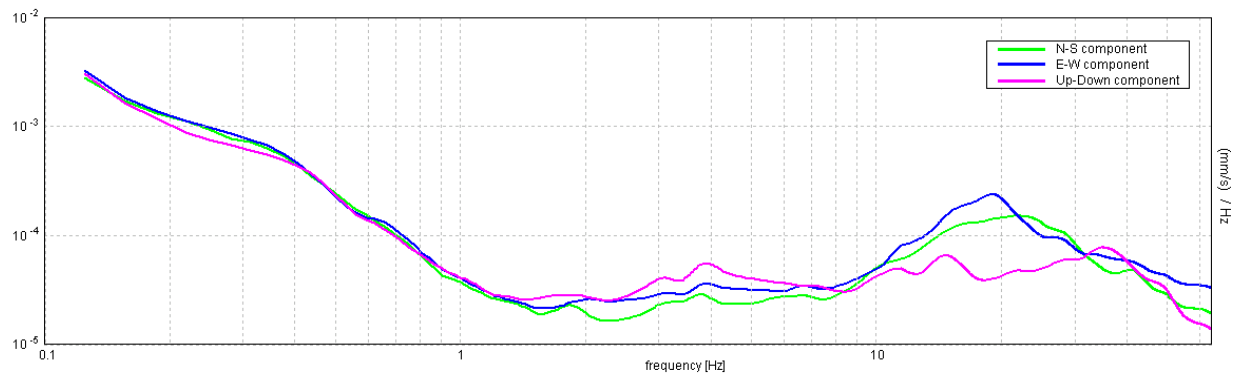
**SERIE TEMPORALE H/V**



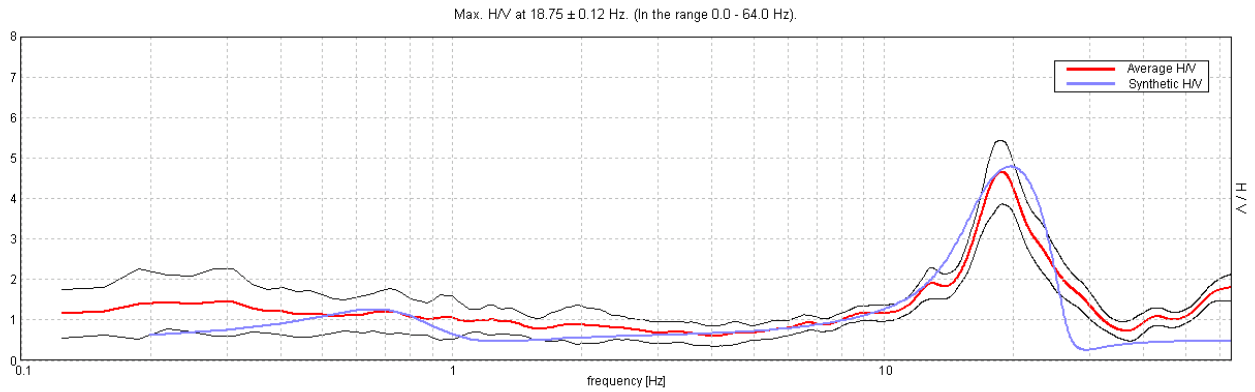
**DIREZIONALITA' H/V**



SPETTRI DELLE SINGOLE COMPONENTI

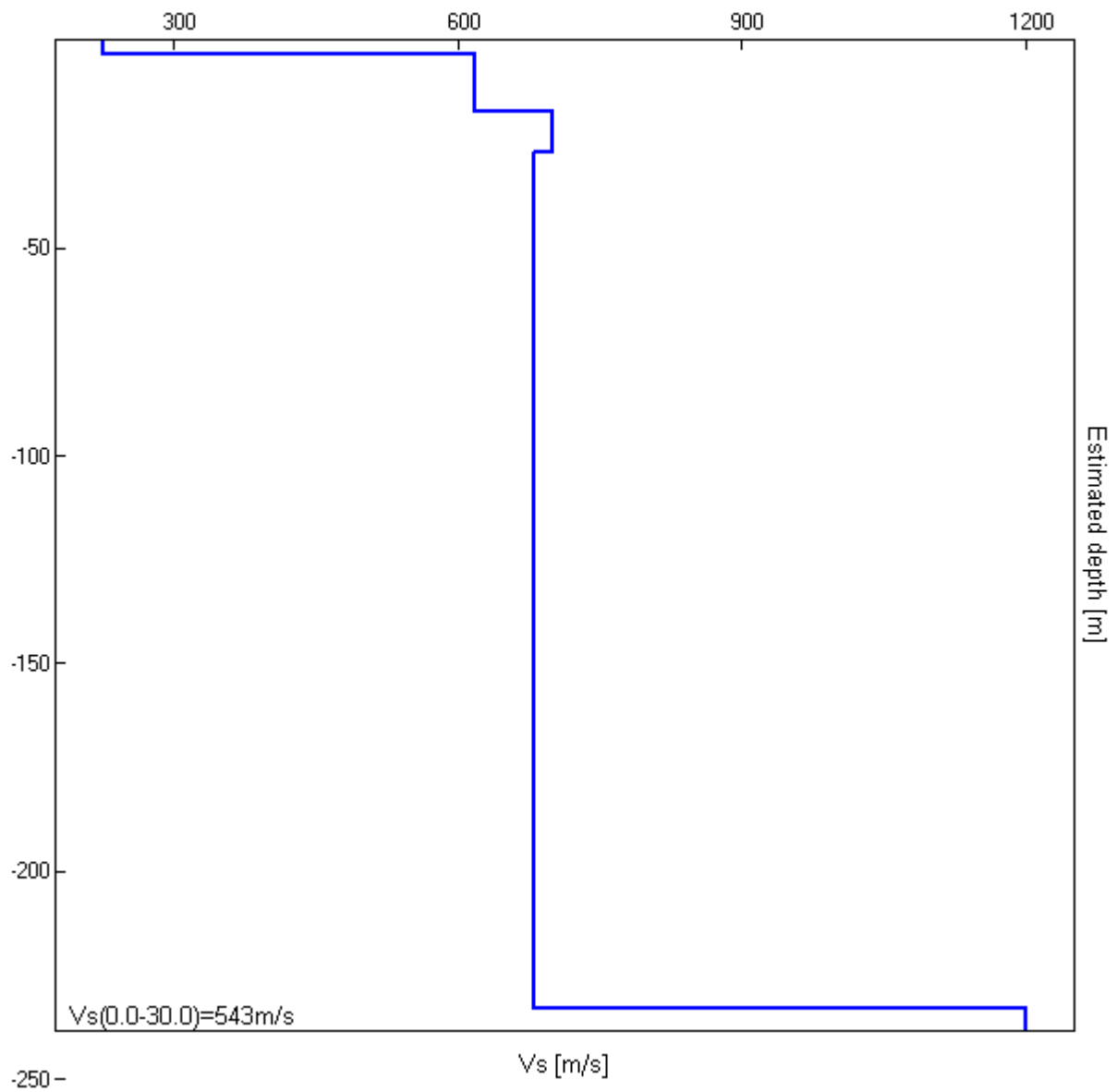


### H/V SPERIMENTALE vs. H/V SINTETICO



Profondità alla base dello strato [m]	Spessore [m]	Vs [m/s]	Rapporto di Poisson
3.20	3.20	225	0.35
17.20	14.00	618	0.35
27.20	10.00	700	0.35
233.20	206.00	680	0.35
inf.	inf.	1200	0.35

Vs(0.0-30.0)=543m/s



[Secondo le linee guida SESAME, 2005]

**Picco H/V a 18.75 ± 0.12 Hz (nell'intervallo 0.0 - 64.0 Hz).**

**Criteri per una curva H/V affidabile**  
[Tutti 3 dovrebbero risultare soddisfatti]

$f_0 > 10 / L_w$	18.75 > 0.50	OK	
$n_c(f_0) > 200$	15750.0 > 200	OK	
$\sigma_A(f) < 2$ per $0.5f_0 < f < 2f_0$ se $f_0 > 0.5\text{Hz}$ $\sigma_A(f) < 3$ per $0.5f_0 < f < 2f_0$ se $f_0 < 0.5\text{Hz}$	Superato 0 volte su 901	OK	

**Criteri per un picco H/V chiaro**  
[Almeno 5 su 6 dovrebbero essere soddisfatti]

<b>Esiste <math>f^-</math> in <math>[f_0/4, f_0]</math>   <math>A_{H/V}(f^-) &lt; A_0 / 2</math></b>	15.313 Hz	OK	
<b>Esiste <math>f^+</math> in <math>[f_0, 4f_0]</math>   <math>A_{H/V}(f^+) &lt; A_0 / 2</math></b>	24.75 Hz	OK	
$A_0 > 2$	4.65 > 2	OK	
$f_{\text{picco}}[A_{H/V}(f) \pm \sigma_A(f)] = f_0 \pm 5\%$	$ 0.00302  < 0.05$	OK	
$\sigma_f < \varepsilon(f_0)$	0.05662 < 0.9375	OK	
$\sigma_A(f_0) < \theta(f_0)$	0.3855 < 1.58	OK	

$L_w$	lunghezza della finestra
$n_w$	numero di finestre usate nell'analisi
$n_c = L_w n_w f_0$	numero di cicli significativi
$f$	frequenza attuale
$f_0$	frequenza del picco H/V
$\sigma_f$	deviazione standard della frequenza del picco H/V
$\varepsilon(f_0)$	valore di soglia per la condizione di stabilità $\sigma_f < \varepsilon(f_0)$
$A_0$	ampiezza della curva H/V alla frequenza $f_0$
$A_{H/V}(f)$	ampiezza della curva H/V alla frequenza $f$
$f^-$	frequenza tra $f_0/4$ e $f_0$ alla quale $A_{H/V}(f^-) < A_0/2$
$f^+$	frequenza tra $f_0$ e $4f_0$ alla quale $A_{H/V}(f^+) < A_0/2$
$\sigma_A(f)$	deviazione standard di $A_{H/V}(f)$ , $\sigma_A(f)$ è il fattore per il quale la curva $A_{H/V}(f)$ media deve essere moltiplicata o divisa
$\sigma_{\log H/V}(f)$	deviazione standard della funzione $\log A_{H/V}(f)$
$\theta(f_0)$	valore di soglia per la condizione di stabilità $\sigma_A(f) < \theta(f_0)$

Valori di soglia per $\sigma_f$ e $\sigma_A(f_0)$					
Intervallo di freq. [Hz]	< 0.2	0.2 – 0.5	0.5 – 1.0	1.0 – 2.0	> 2.0
$\varepsilon(f_0)$ [Hz]	0.25 $f_0$	0.2 $f_0$	0.15 $f_0$	0.10 $f_0$	0.05 $f_0$
$\theta(f_0)$ per $\sigma_A(f_0)$	3.0	2.5	2.0	1.78	1.58
$\log \theta(f_0)$ per $\sigma_{\log H/V}(f_0)$	0.48	0.40	0.30	0.25	0.20

**FELI\_1158, FELINO T39**

Strumento: TRZ-0091/01-10

Inizio registrazione: 24/02/12 13:49:01 Fine registrazione: 24/02/12 14:03:02

Nomi canali: NORTH SOUTH; EAST WEST ; UP DOWN

Dato GPS non disponibile

Durata registrazione: 0h14'00".

Analizzato 83% tracciato (selezione manuale)

Freq. campionamento: 128 Hz

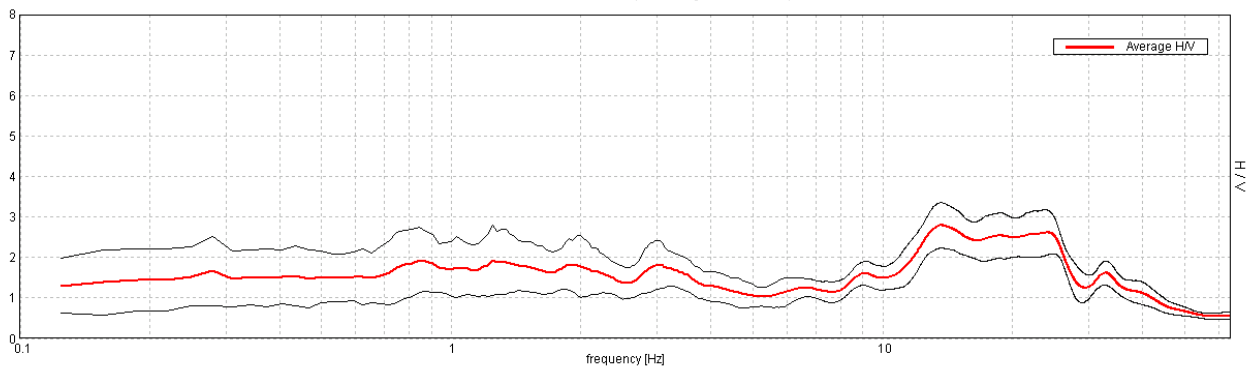
Lunghezza finestre: 20 s

Tipo di lisciamento: Triangular window

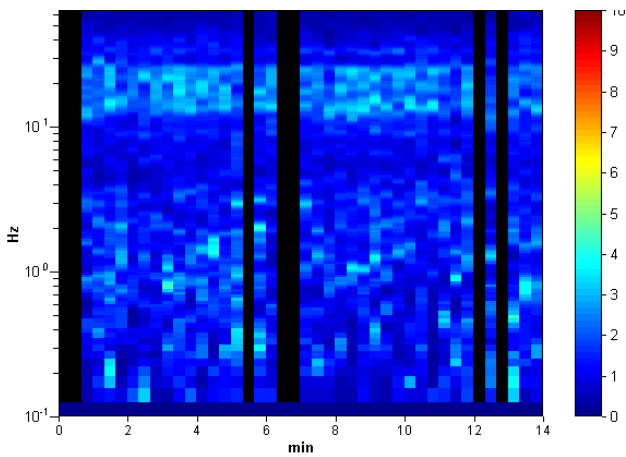
Lisciamento: 10%

**RAPPORTO SPETTRALE ORIZZONTALE SU VERTICALE**

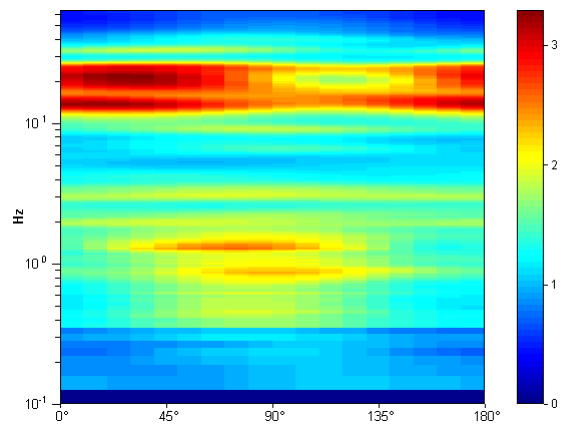
Max. H/V at 13.69 ± 1.28 Hz. (In the range 0.0 - 64.0 Hz).



**SERIE TEMPORALE H/V**

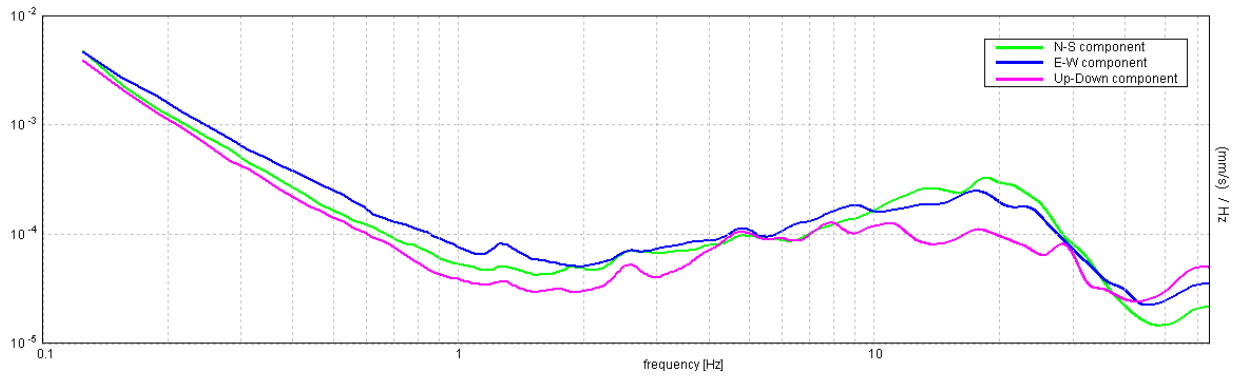


**DIREZIONALITA' H/V**

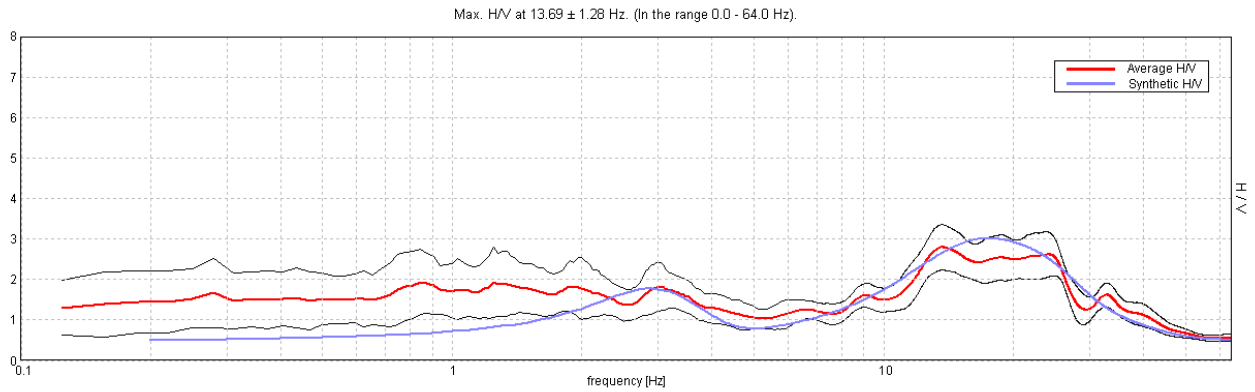




### SPETTRI DELLE SINGOLE COMPONENTI

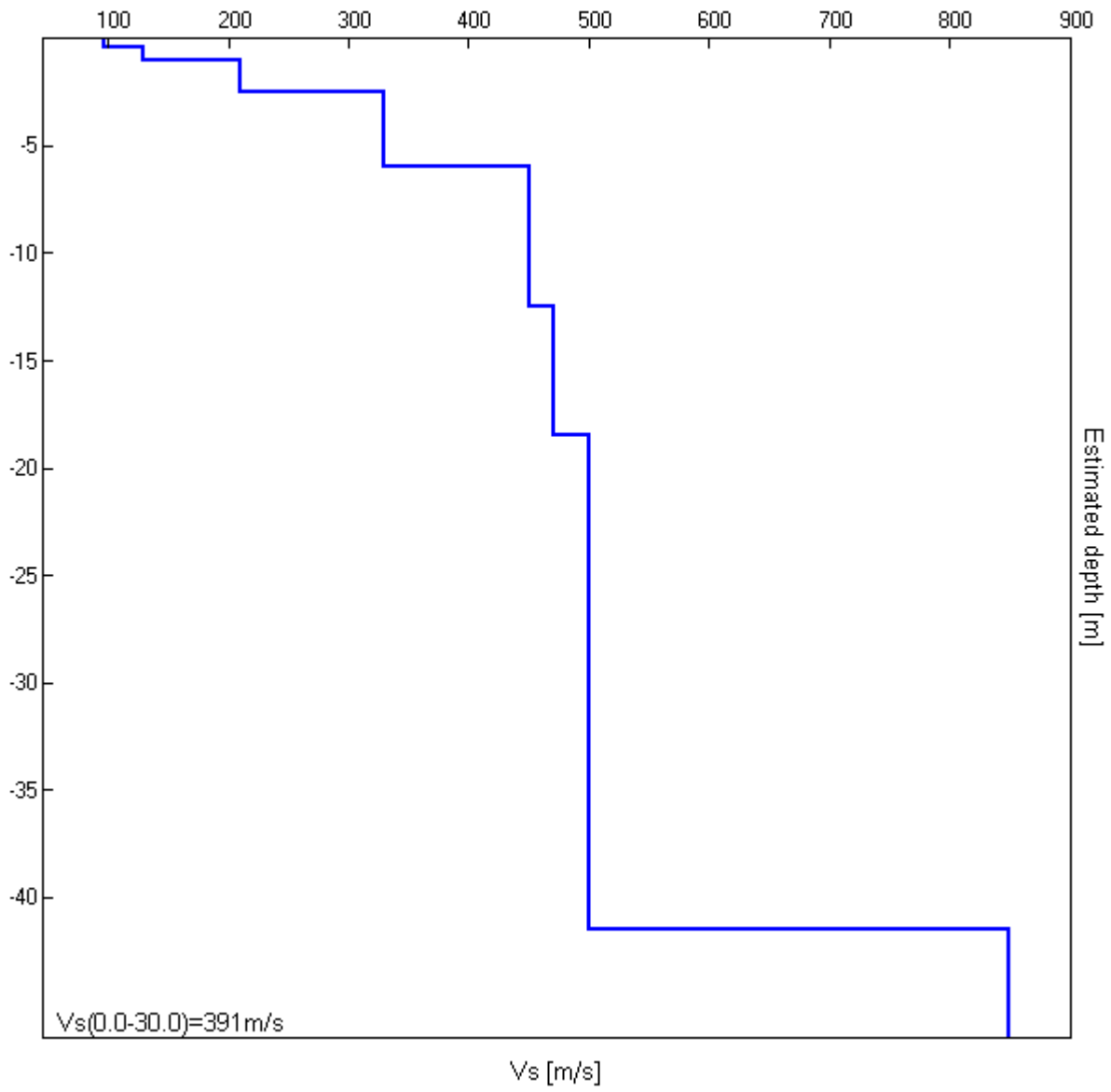


H/V SPERIMENTALE vs. H/V SINTETICO



Profondità alla base dello strato [m]	Spessore [m]	Vs [m/s]	Rapporto di Poisson
0.40	0.40	96	0.35
1.00	0.60	130	0.35
2.50	1.50	210	0.35
6.00	3.50	330	0.35
12.50	6.50	450	0.35
18.50	6.00	470	0.35
41.50	23.00	500	0.35
inf.	inf.	850	0.35

Vs(0.0-30.0)=391m/s



[Secondo le linee guida SESAME, 2005]

**Picco H/V a 13.69 ± 1.28 Hz (nell'intervallo 0.0 - 64.0 Hz).**

**Criteri per una curva H/V affidabile**  
[Tutti 3 dovrebbero risultare soddisfatti]

$f_0 > 10 / L_w$	13.69 > 0.50	OK
$n_c(f_0) > 200$	9581.3 > 200	OK
$\sigma_A(f) < 2$ per $0.5f_0 < f < 2f_0$ se $f_0 > 0.5\text{Hz}$ $\sigma_A(f) < 3$ per $0.5f_0 < f < 2f_0$ se $f_0 < 0.5\text{Hz}$	Superato 0 volte su 658	OK

**Criteri per un picco H/V chiaro**  
[Almeno 5 su 6 dovrebbero essere soddisfatti]

Esiste $f^-$ in $[f_0/4, f_0] \mid A_{H/V}(f^-) < A_0 / 2$	8.406 Hz	OK
Esiste $f^+$ in $[f_0, 4f_0] \mid A_{H/V}(f^+) < A_0 / 2$	28.063 Hz	OK
$A_0 > 2$	2.79 > 2	OK
$f_{\text{picco}}[A_{H/V}(f) \pm \sigma_A(f)] = f_0 \pm 5\%$	$ 0.0452  < 0.05$	OK
$\sigma_f < \varepsilon(f_0)$	0.61873 < 0.68438	OK
$\sigma_A(f_0) < \theta(f_0)$	0.2724 < 1.58	OK

$L_w$	lunghezza della finestra
$n_w$	numero di finestre usate nell'analisi
$n_c = L_w n_w f_0$	numero di cicli significativi
$f$	frequenza attuale
$f_0$	frequenza del picco H/V
$\sigma_f$	deviazione standard della frequenza del picco H/V
$\varepsilon(f_0)$	valore di soglia per la condizione di stabilità $\sigma_f < \varepsilon(f_0)$
$A_0$	ampiezza della curva H/V alla frequenza $f_0$
$A_{H/V}(f)$	ampiezza della curva H/V alla frequenza $f$
$f^-$	frequenza tra $f_0/4$ e $f_0$ alla quale $A_{H/V}(f^-) < A_0/2$
$f^+$	frequenza tra $f_0$ e $4f_0$ alla quale $A_{H/V}(f^+) < A_0/2$
$\sigma_A(f)$	deviazione standard di $A_{H/V}(f)$ , $\sigma_A(f)$ è il fattore per il quale la curva $A_{H/V}(f)$ media deve essere moltiplicata o divisa
$\sigma_{\log H/V}(f)$	deviazione standard della funzione $\log A_{H/V}(f)$
$\theta(f_0)$	valore di soglia per la condizione di stabilità $\sigma_A(f) < \theta(f_0)$

Valori di soglia per $\sigma_f$ e $\sigma_A(f_0)$					
Intervallo di freq. [Hz]	< 0.2	0.2 – 0.5	0.5 – 1.0	1.0 – 2.0	> 2.0
$\varepsilon(f_0)$ [Hz]	0.25 $f_0$	0.2 $f_0$	0.15 $f_0$	0.10 $f_0$	0.05 $f_0$
$\theta(f_0)$ per $\sigma_A(f_0)$	3.0	2.5	2.0	1.78	1.58
$\log \theta(f_0)$ per $\sigma_{\log H/V}(f_0)$	0.48	0.40	0.30	0.25	0.20

**FELI\_1158, FELINO T40**

Strumento: TRZ-0091/01-10

Inizio registrazione: 24/02/12 14:12:55 Fine registrazione: 24/02/12 14:26:56

Nomi canali: NORTH SOUTH; EAST WEST ; UP DOWN

Dato GPS non disponibile

Durata registrazione: 0h14'00".

Analizzato 88% tracciato (selezione manuale)

Freq. campionamento: 128 Hz

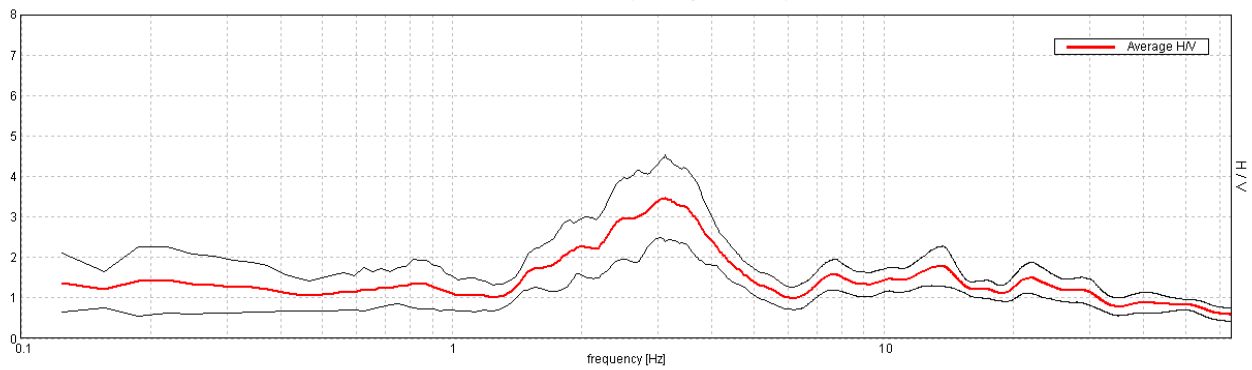
Lunghezza finestre: 20 s

Tipo di lisciamento: Triangular window

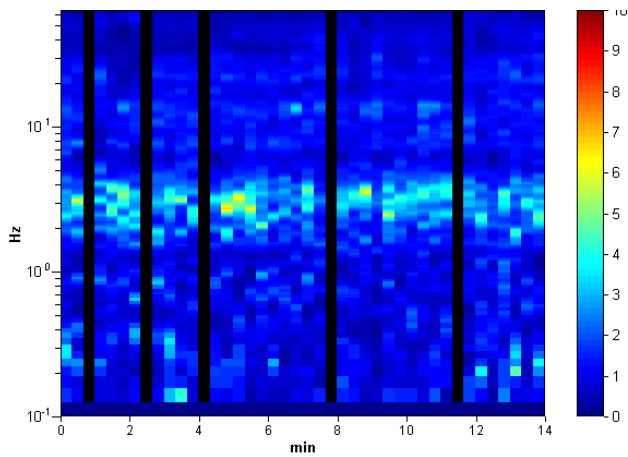
Lisciamento: 10%

**RAPPORTO SPETTRALE ORIZZONTALE SU VERTICALE**

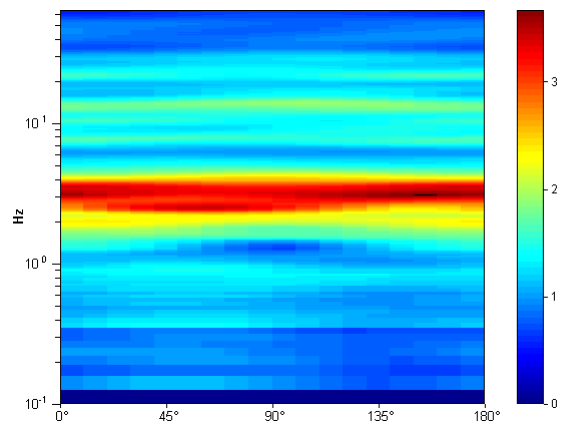
Max. H/V at 3.13 ± 0.04 Hz. (In the range 0.0 - 64.0 Hz).



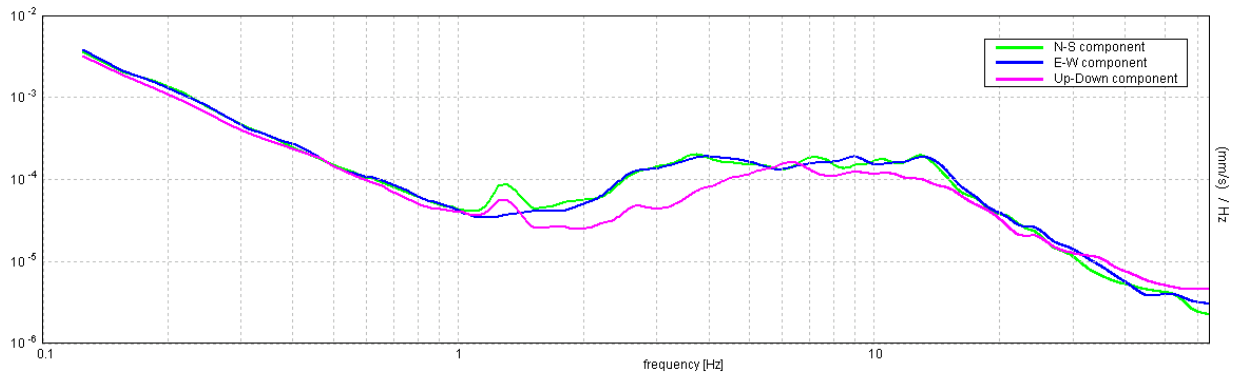
**SERIE TEMPORALE H/V**



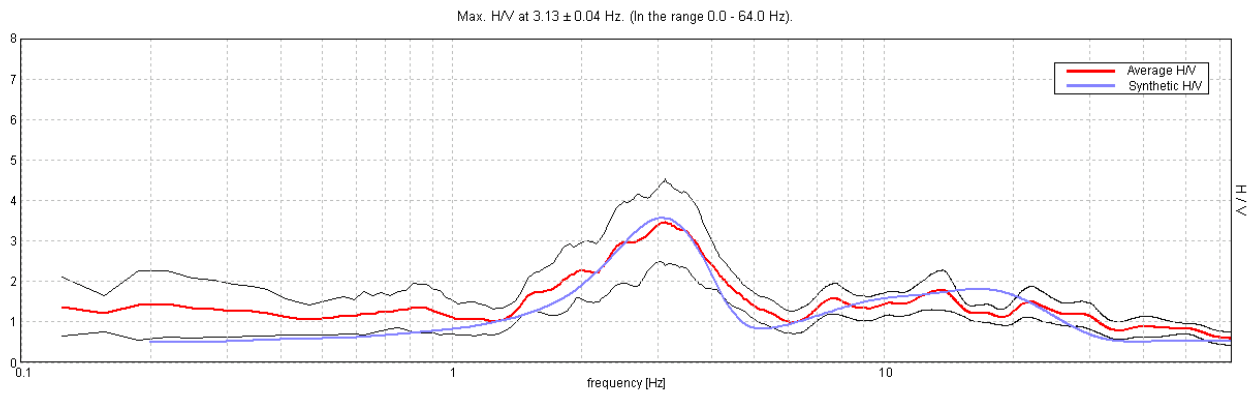
**DIREZIONALITA' H/V**



### SPETTRI DELLE SINGOLE COMPONENTI

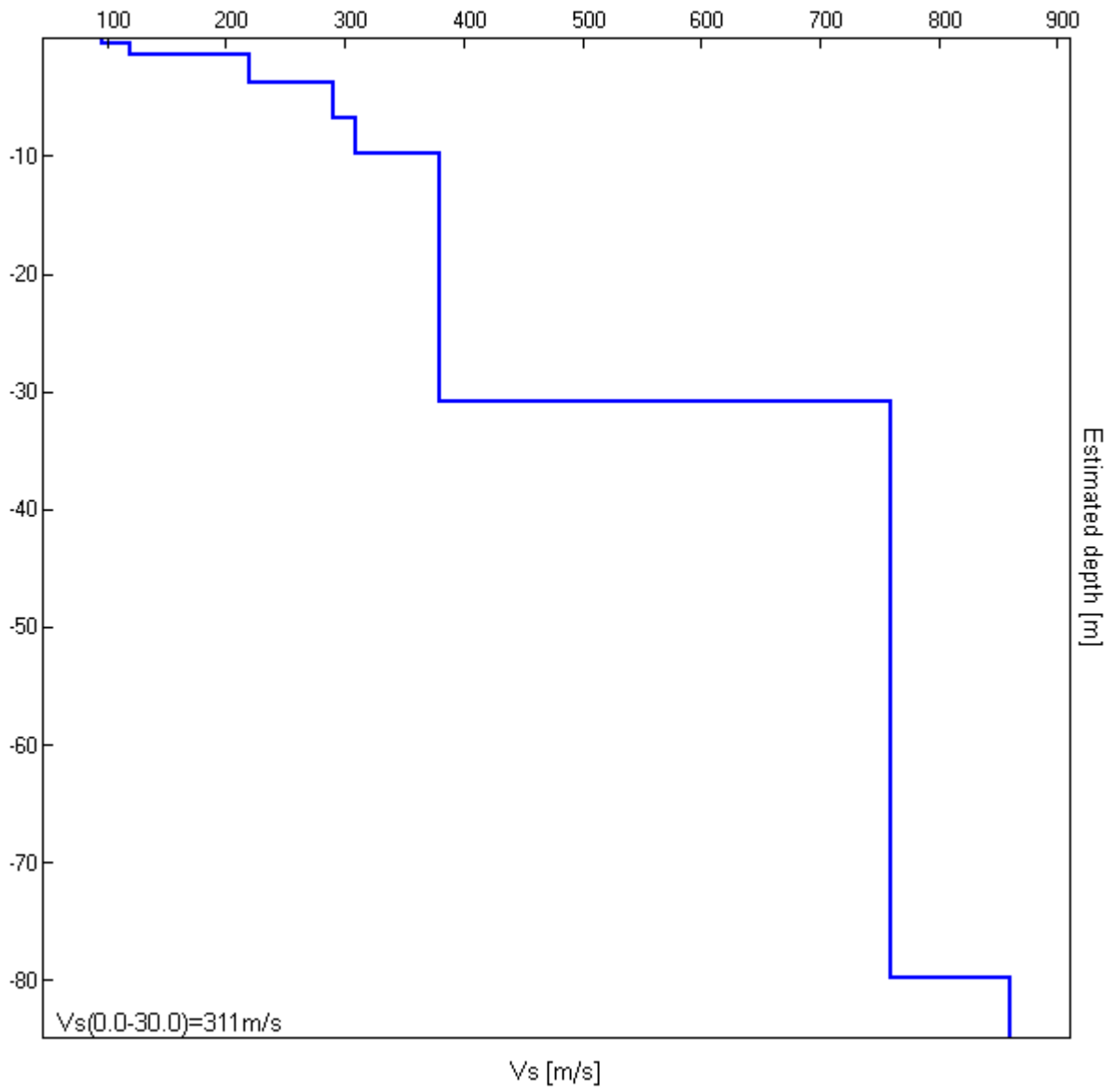


H/V SPERIMENTALE vs. H/V SINTETICO



Profondità alla base dello strato [m]	Spessore [m]	Vs [m/s]	Rapporto di Poisson
0.40	0.40	96	0.35
1.40	1.00	120	0.35
3.80	2.40	220	0.35
6.80	3.00	290	0.35
9.80	3.00	310	0.35
30.80	21.00	380	0.35
79.80	49.00	760	0.35
inf.	inf.	860	0.35

Vs(0.0-30.0)=311m/s





[Secondo le linee guida SESAME, 2005]

**Picco H/V a 3.13 ± 0.04 Hz (nell'intervallo 0.0 - 64.0 Hz).**

**Criteri per una curva H/V affidabile**  
[Tutti 3 dovrebbero risultare soddisfatti]

$f_0 > 10 / L_w$	3.13 > 0.50	OK	
$n_c(f_0) > 200$	2312.5 > 200	OK	
$\sigma_A(f) < 2$ per $0.5f_0 < f < 2f_0$ se $f_0 > 0.5\text{Hz}$ $\sigma_A(f) < 3$ per $0.5f_0 < f < 2f_0$ se $f_0 < 0.5\text{Hz}$	Superato 0 volte su 151	OK	

**Criteri per un picco H/V chiaro**  
[Almeno 5 su 6 dovrebbero essere soddisfatti]

Esiste $f^-$ in $[f_0/4, f_0]$   $A_{H/V}(f^-) < A_0 / 2$	1.531 Hz	OK	
Esiste $f^+$ in $[f_0, 4f_0]$   $A_{H/V}(f^+) < A_0 / 2$	4.594 Hz	OK	
$A_0 > 2$	3.46 > 2	OK	
$f_{\text{picco}}[A_{H/V}(f) \pm \sigma_A(f)] = f_0 \pm 5\%$	$ 0.00682  < 0.05$	OK	
$\sigma_f < \varepsilon(f_0)$	0.0213 < 0.15625	OK	
$\sigma_A(f_0) < \theta(f_0)$	0.5186 < 1.58	OK	

$L_w$	lunghezza della finestra
$n_w$	numero di finestre usate nell'analisi
$n_c = L_w n_w f_0$	numero di cicli significativi
$f$	frequenza attuale
$f_0$	frequenza del picco H/V
$\sigma_f$	deviazione standard della frequenza del picco H/V
$\varepsilon(f_0)$	valore di soglia per la condizione di stabilità $\sigma_f < \varepsilon(f_0)$
$A_0$	ampiezza della curva H/V alla frequenza $f_0$
$A_{H/V}(f)$	ampiezza della curva H/V alla frequenza $f$
$f^-$	frequenza tra $f_0/4$ e $f_0$ alla quale $A_{H/V}(f^-) < A_0/2$
$f^+$	frequenza tra $f_0$ e $4f_0$ alla quale $A_{H/V}(f^+) < A_0/2$
$\sigma_A(f)$	deviazione standard di $A_{H/V}(f)$ , $\sigma_A(f)$ è il fattore per il quale la curva $A_{H/V}(f)$ media deve essere moltiplicata o divisa
$\sigma_{\log H/V}(f)$	deviazione standard della funzione $\log A_{H/V}(f)$
$\theta(f_0)$	valore di soglia per la condizione di stabilità $\sigma_A(f) < \theta(f_0)$

Valori di soglia per $\sigma_f$ e $\sigma_A(f_0)$					
Intervallo di freq. [Hz]	< 0.2	0.2 – 0.5	0.5 – 1.0	1.0 – 2.0	> 2.0
$\varepsilon(f_0)$ [Hz]	0.25 $f_0$	0.2 $f_0$	0.15 $f_0$	0.10 $f_0$	0.05 $f_0$
$\theta(f_0)$ per $\sigma_A(f_0)$	3.0	2.5	2.0	1.78	1.58
$\log \theta(f_0)$ per $\sigma_{\log H/V}(f_0)$	0.48	0.40	0.30	0.25	0.20

**FELI\_1158, FELINO T41**

Strumento: TRZ-0091/01-10

Inizio registrazione: 24/02/12 14:36:13 Fine registrazione: 24/02/12 14:50:13

Nomi canali: NORTH SOUTH; EAST WEST ; UP DOWN

Dato GPS non disponibile

Durata registrazione: 0h14'00".

Analizzato 81% tracciato (selezione manuale)

Freq. campionamento: 128 Hz

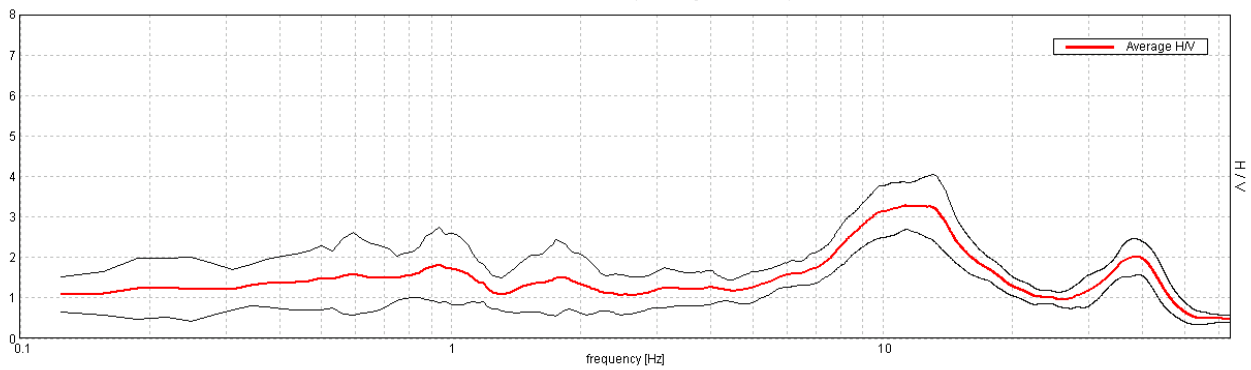
Lunghezza finestre: 20 s

Tipo di lisciamento: Triangular window

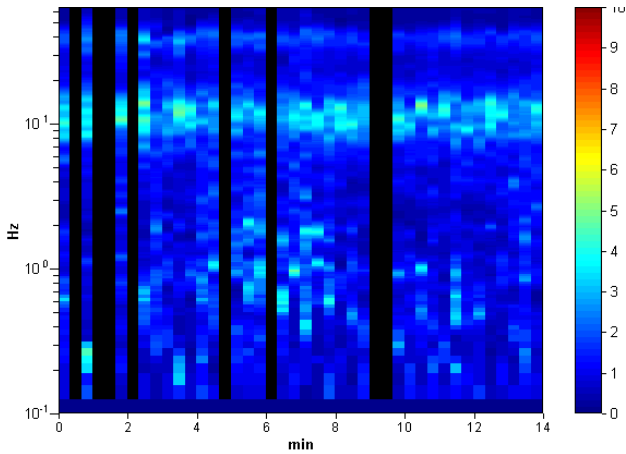
Lisciamento: 10%

**RAPPORTO SPETTRALE ORIZZONTALE SU VERTICALE**

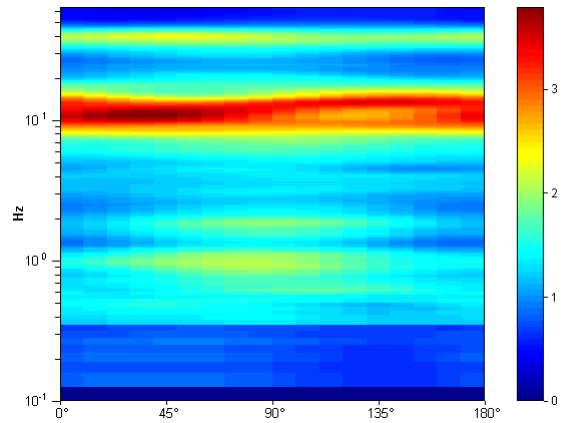
Max. H/V at 11.25 ± 0.24 Hz. (In the range 0.0 - 64.0 Hz).



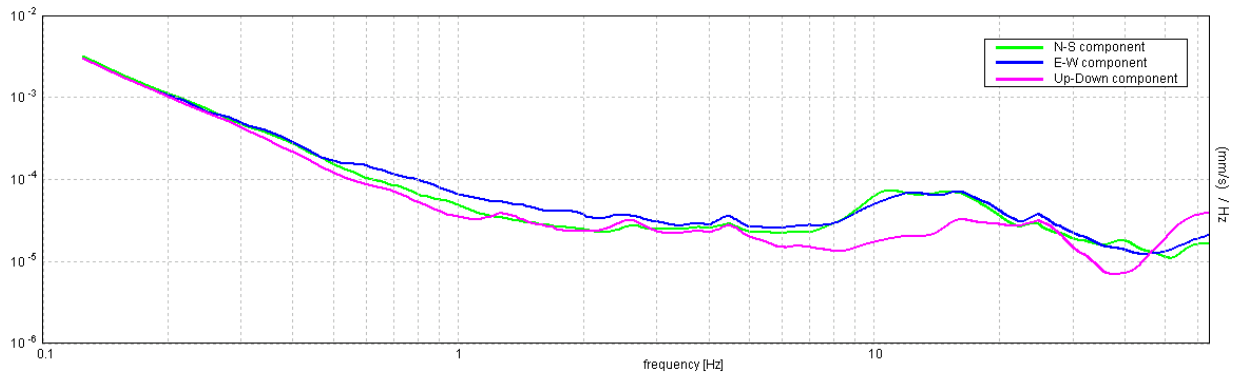
**SERIE TEMPORALE H/V**



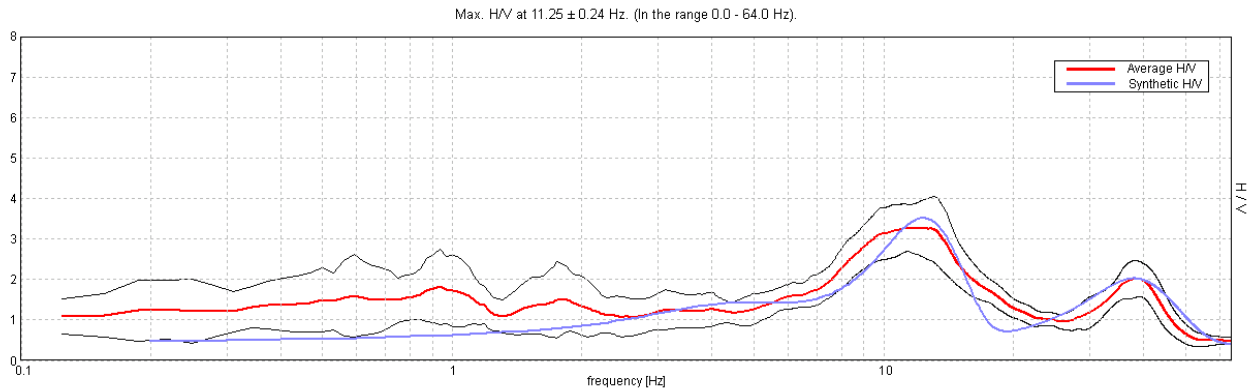
**DIREZIONALITA' H/V**



### SPETTRI DELLE SINGOLE COMPONENTI

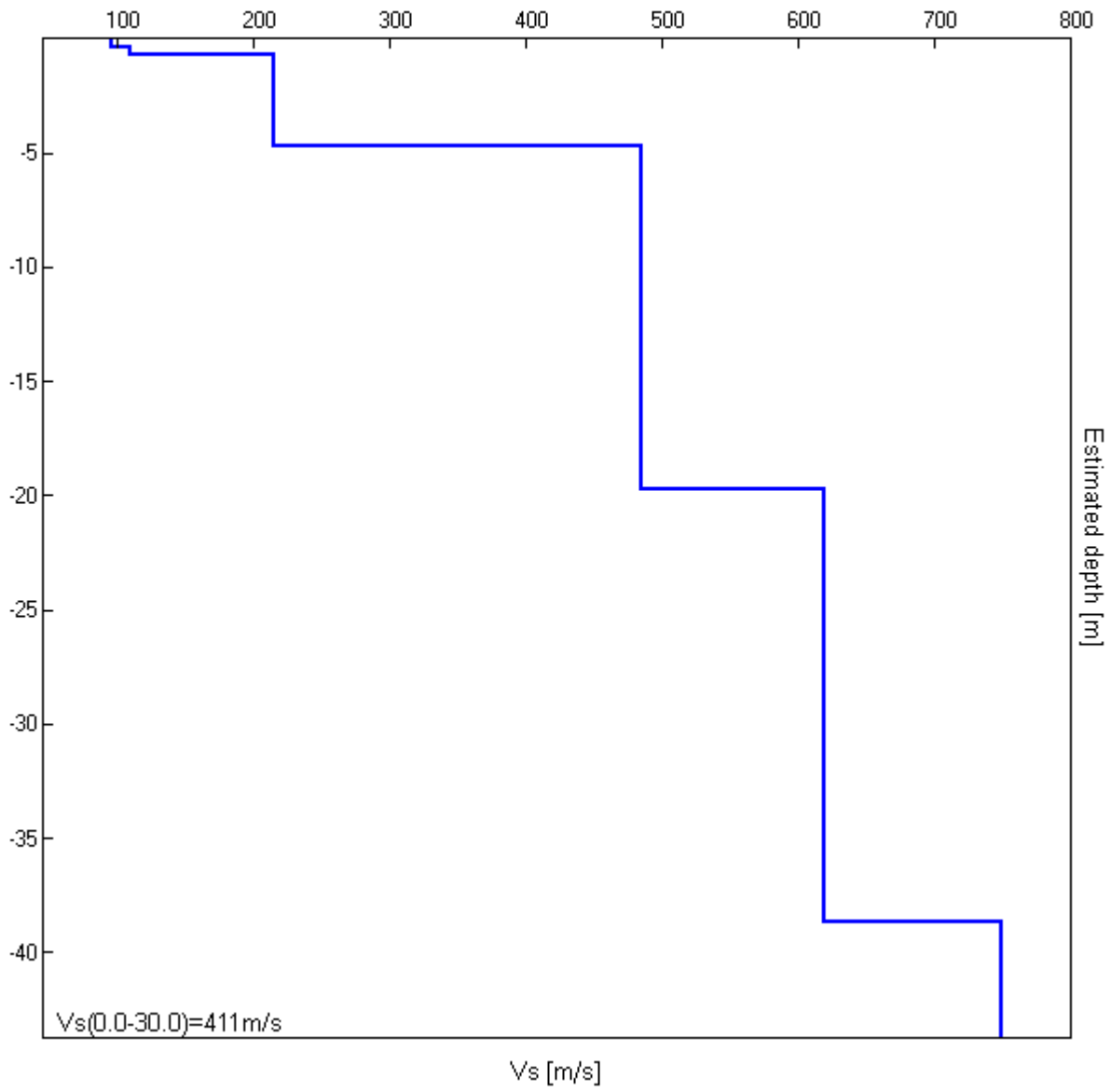


H/V SPERIMENTALE vs. H/V SINTETICO



Profondità alla base dello strato [m]	Spessore [m]	Vs [m/s]	Rapporto di Poisson
0.40	0.40	96	0.35
0.70	0.30	110	0.35
4.70	4.00	215	0.35
19.70	15.00	485	0.35
38.70	19.00	620	0.35
inf.	inf.	750	0.35

Vs(0.0-30.0)=411m/s



[Secondo le linee guida SESAME, 2005]

<b>Picco H/V a 11.25 ± 0.24 Hz (nell'intervallo 0.0 - 64.0 Hz).</b>
---

<b>Criteri per una curva H/V affidabile</b> [Tutti 3 dovrebbero risultare soddisfatti]
---

$f_0 > 10 / L_w$	11.25 > 0.50	OK	
$n_c(f_0) > 200$	7650.0 > 200	OK	
$\sigma_A(f) < 2$ per $0.5f_0 < f < 2f_0$ se $f_0 > 0.5\text{Hz}$ $\sigma_A(f) < 3$ per $0.5f_0 < f < 2f_0$ se $f_0 < 0.5\text{Hz}$	Superato 0 volte su 541	OK	

<b>Criteri per un picco H/V chiaro</b> [Almeno 5 su 6 dovrebbero essere soddisfatti]
---

<b>Esiste <math>f^-</math> in <math>[f_0/4, f_0]</math>   <math>A_{H/V}(f^-) &lt; A_0 / 2</math></b>	6.594 Hz	OK	
<b>Esiste <math>f^+</math> in <math>[f_0, 4f_0]</math>   <math>A_{H/V}(f^+) &lt; A_0 / 2</math></b>	18.063 Hz	OK	
$A_0 > 2$	3.27 > 2	OK	
$f_{\text{picco}}[A_{H/V}(f) \pm \sigma_A(f)] = f_0 \pm 5\%$	$ 0.01041  < 0.05$	OK	
$\sigma_f < \varepsilon(f_0)$	0.11715 < 0.5625	OK	
$\sigma_A(f_0) < \theta(f_0)$	0.2863 < 1.58	OK	

$L_w$	lunghezza della finestra
$n_w$	numero di finestre usate nell'analisi
$n_c = L_w n_w f_0$	numero di cicli significativi
$f$	frequenza attuale
$f_0$	frequenza del picco H/V
$\sigma_f$	deviazione standard della frequenza del picco H/V
$\varepsilon(f_0)$	valore di soglia per la condizione di stabilità $\sigma_f < \varepsilon(f_0)$
$A_0$	ampiezza della curva H/V alla frequenza $f_0$
$A_{H/V}(f)$	ampiezza della curva H/V alla frequenza $f$
$f^-$	frequenza tra $f_0/4$ e $f_0$ alla quale $A_{H/V}(f^-) < A_0/2$
$f^+$	frequenza tra $f_0$ e $4f_0$ alla quale $A_{H/V}(f^+) < A_0/2$
$\sigma_A(f)$	deviazione standard di $A_{H/V}(f)$ , $\sigma_A(f)$ è il fattore per il quale la curva $A_{H/V}(f)$ media deve essere moltiplicata o divisa
$\sigma_{\log H/V}(f)$	deviazione standard della funzione $\log A_{H/V}(f)$
$\theta(f_0)$	valore di soglia per la condizione di stabilità $\sigma_A(f) < \theta(f_0)$

Valori di soglia per $\sigma_f$ e $\sigma_A(f_0)$					
Intervallo di freq. [Hz]	< 0.2	0.2 – 0.5	0.5 – 1.0	1.0 – 2.0	> 2.0
$\varepsilon(f_0)$ [Hz]	0.25 $f_0$	0.2 $f_0$	0.15 $f_0$	0.10 $f_0$	0.05 $f_0$
$\theta(f_0)$ per $\sigma_A(f_0)$	3.0	2.5	2.0	1.78	1.58
$\log \theta(f_0)$ per $\sigma_{\log H/V}(f_0)$	0.48	0.40	0.30	0.25	0.20

**FELI\_1158, FELINO T42**

Strumento: TRZ-0091/01-10

Inizio registrazione: 24/02/12 14:56:33 Fine registrazione: 24/02/12 15:10:34

Nomi canali: NORTH SOUTH; EAST WEST ; UP DOWN

Dato GPS non disponibile

Durata registrazione: 0h14'00".

Analizzato 69% tracciato (selezione manuale)

Freq. campionamento: 128 Hz

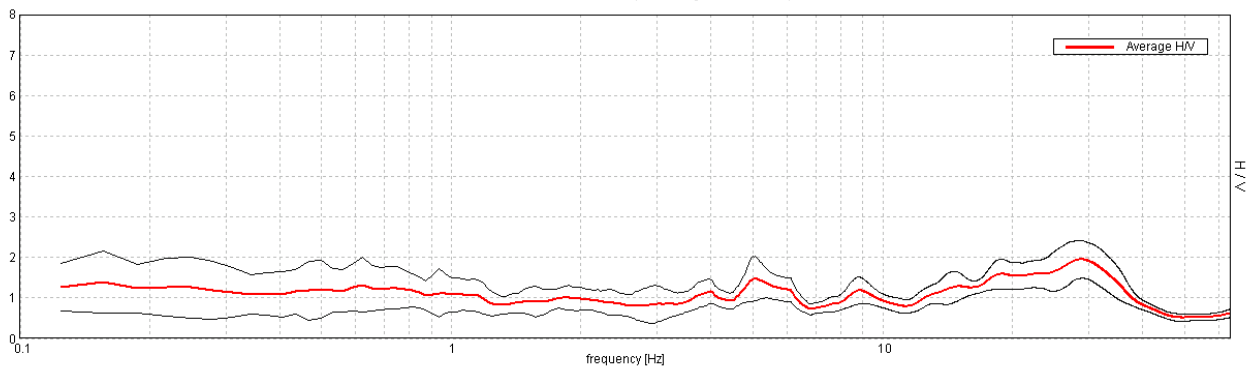
Lunghezza finestre: 20 s

Tipo di lisciamento: Triangular window

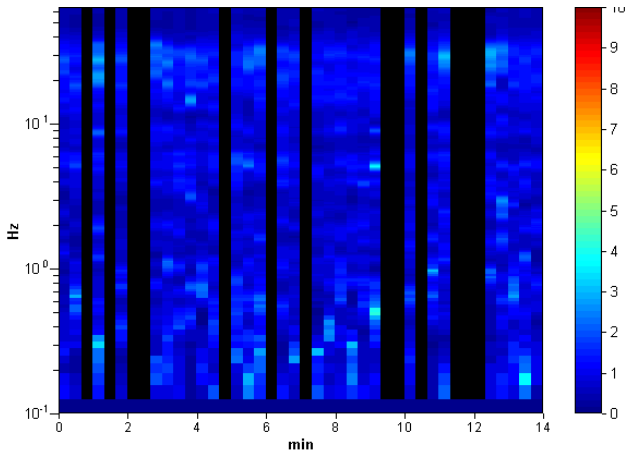
Lisciamento: 10%

**RAPPORTO SPETTRALE ORIZZONTALE SU VERTICALE**

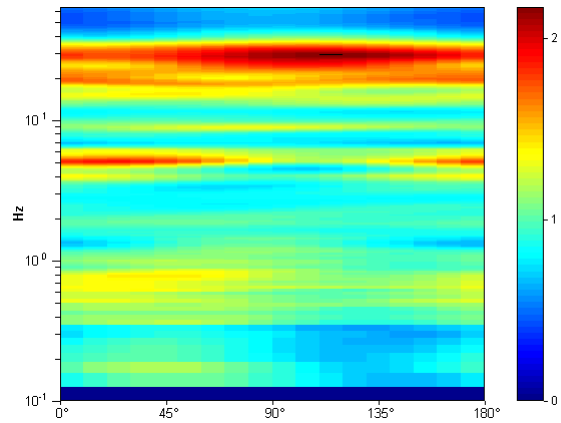
Max. H/V at 29.03 ± 0.43 Hz. (In the range 0.0 - 64.0 Hz).



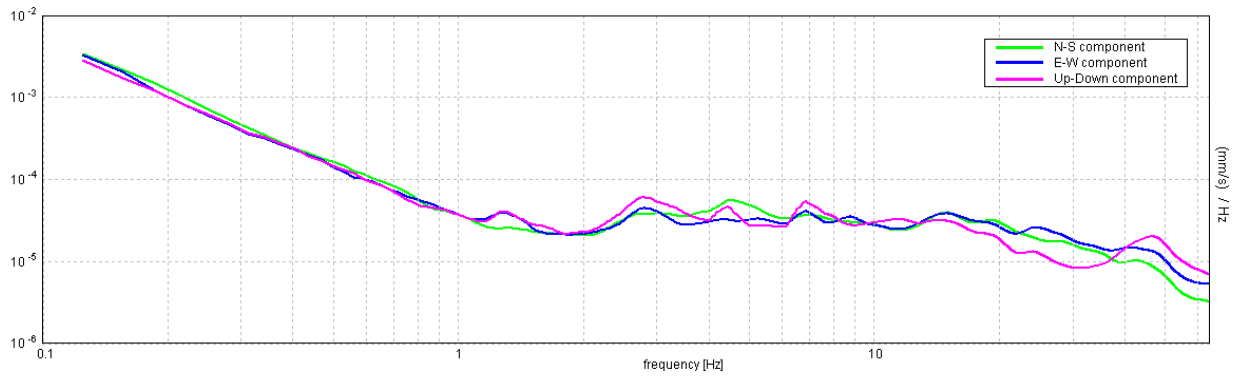
**SERIE TEMPORALE H/V**



**DIREZIONALITA' H/V**

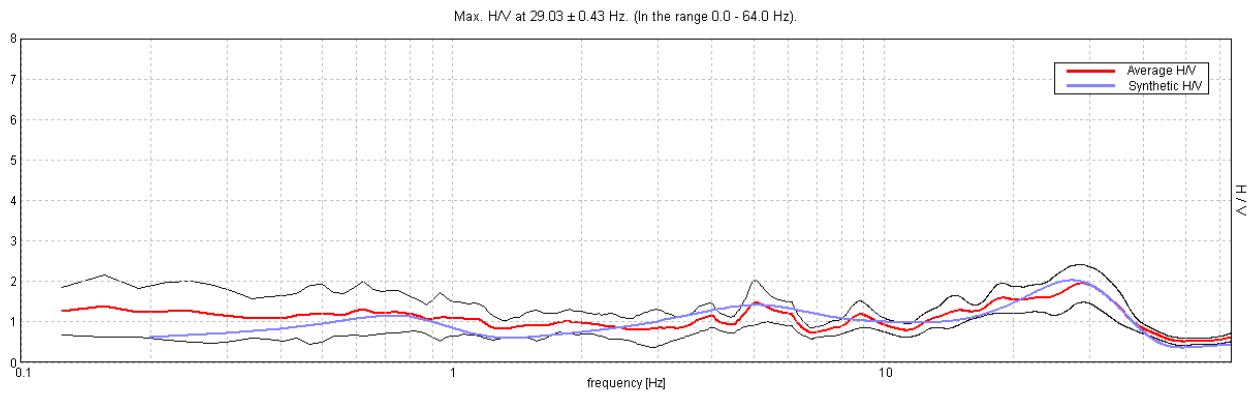


### SPETTRI DELLE SINGOLE COMPONENTI



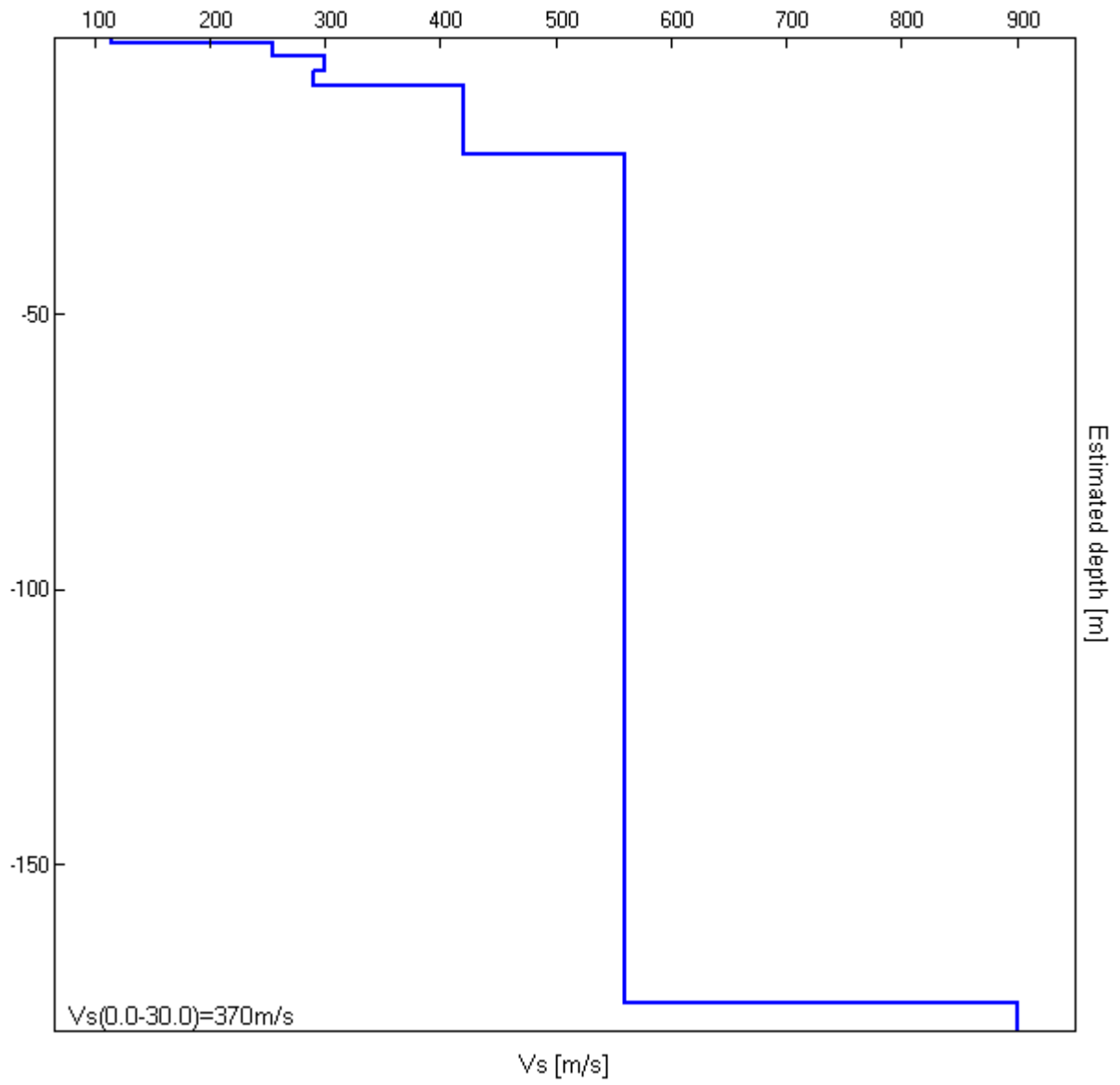


### H/V SPERIMENTALE vs. H/V SINTETICO



Profondità alla base dello strato [m]	Spessore [m]	Vs [m/s]	Rapporto di Poisson
1.00	1.00	116	0.35
3.40	2.40	255	0.35
6.00	2.60	300	0.35
8.50	2.50	290	0.35
21.00	12.50	420	0.35
175.00	154.00	560	0.35
inf.	inf.	900	0.35

Vs(0.0-30.0)=370m/s



[Secondo le linee guida SESAME, 2005]

**Picco H/V a 29.03 ± 0.43 Hz (nell'intervallo 0.0 - 64.0 Hz).**

**Criteri per una curva H/V affidabile**  
 [Tutti 3 dovrebbero risultare soddisfatti]

$f_0 > 10 / L_w$	29.03 > 0.50	OK	
$n_c(f_0) > 200$	16838.1 > 200	OK	
$\sigma_A(f) < 2$ per $0.5f_0 < f < 2f_0$ se $f_0 > 0.5\text{Hz}$ $\sigma_A(f) < 3$ per $0.5f_0 < f < 2f_0$ se $f_0 < 0.5\text{Hz}$	Superato 0 volte su 1394	OK	

**Criteri per un picco H/V chiaro**  
 [Almeno 5 su 6 dovrebbero essere soddisfatti]

Esiste $f^-$ in $[f_0/4, f_0] \mid A_{H/V}(f^-) < A_0 / 2$	12.344 Hz	OK	
Esiste $f^+$ in $[f_0, 4f_0] \mid A_{H/V}(f^+) < A_0 / 2$	38.125 Hz	OK	
$A_0 > 2$	1.95 > 2		NO
$f_{\text{picco}}[A_{H/V}(f) \pm \sigma_A(f)] = f_0 \pm 5\%$	$ 0.00712  < 0.05$	OK	
$\sigma_f < \varepsilon(f_0)$	0.20672 < 1.45156	OK	
$\sigma_A(f_0) < \theta(f_0)$	0.2221 < 1.58	OK	

$L_w$	lunghezza della finestra
$n_w$	numero di finestre usate nell'analisi
$n_c = L_w n_w f_0$	numero di cicli significativi
$f$	frequenza attuale
$f_0$	frequenza del picco H/V
$\sigma_f$	deviazione standard della frequenza del picco H/V
$\varepsilon(f_0)$	valore di soglia per la condizione di stabilità $\sigma_f < \varepsilon(f_0)$
$A_0$	ampiezza della curva H/V alla frequenza $f_0$
$A_{H/V}(f)$	ampiezza della curva H/V alla frequenza $f$
$f^-$	frequenza tra $f_0/4$ e $f_0$ alla quale $A_{H/V}(f^-) < A_0/2$
$f^+$	frequenza tra $f_0$ e $4f_0$ alla quale $A_{H/V}(f^+) < A_0/2$
$\sigma_A(f)$	deviazione standard di $A_{H/V}(f)$ , $\sigma_A(f)$ è il fattore per il quale la curva $A_{H/V}(f)$ media deve essere moltiplicata o divisa
$\sigma_{\log H/V}(f)$	deviazione standard della funzione $\log A_{H/V}(f)$
$\theta(f_0)$	valore di soglia per la condizione di stabilità $\sigma_A(f) < \theta(f_0)$

Valori di soglia per $\sigma_f$ e $\sigma_A(f_0)$					
Intervallo di freq. [Hz]	< 0.2	0.2 – 0.5	0.5 – 1.0	1.0 – 2.0	> 2.0
$\varepsilon(f_0)$ [Hz]	0.25 $f_0$	0.2 $f_0$	0.15 $f_0$	0.10 $f_0$	0.05 $f_0$
$\theta(f_0)$ per $\sigma_A(f_0)$	3.0	2.5	2.0	1.78	1.58
$\log \theta(f_0)$ per $\sigma_{\log H/V}(f_0)$	0.48	0.40	0.30	0.25	0.20

**FELI\_1158, FELINO T43**

Strumento: TRZ-0091/01-10

Inizio registrazione: 24/02/12 15:16:51 Fine registrazione: 24/02/12 15:30:52

Nomi canali: NORTH SOUTH; EAST WEST ; UP DOWN

Dato GPS non disponibile

Durata registrazione: 0h14'00".

Analizzato 83% tracciato (selezione manuale)

Freq. campionamento: 128 Hz

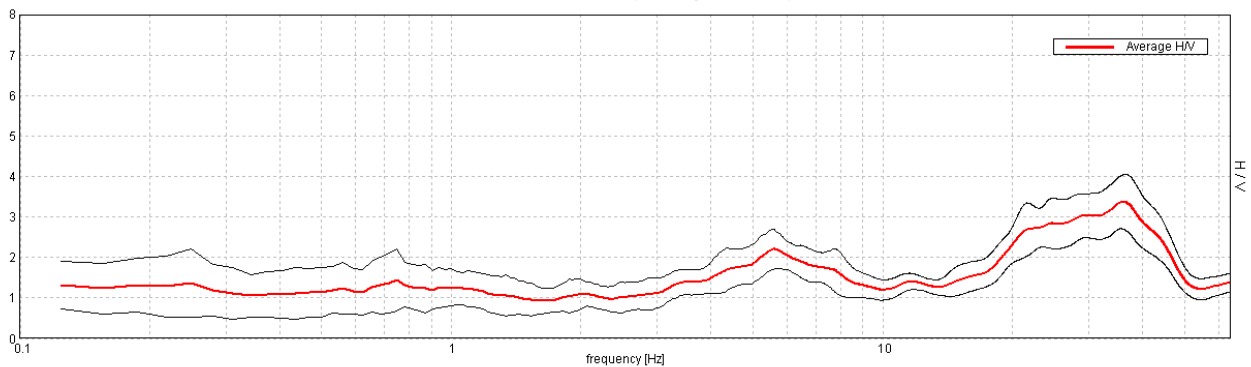
Lunghezza finestre: 20 s

Tipo di lisciamento: Triangular window

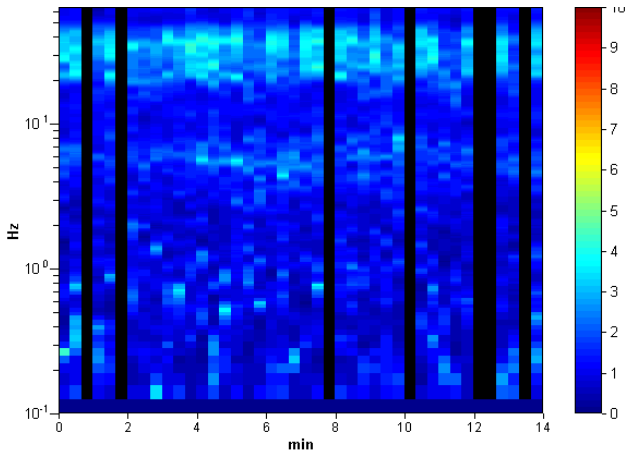
Lisciamento: 10%

**RAPPORTO SPETTRALE ORIZZONTALE SU VERTICALE**

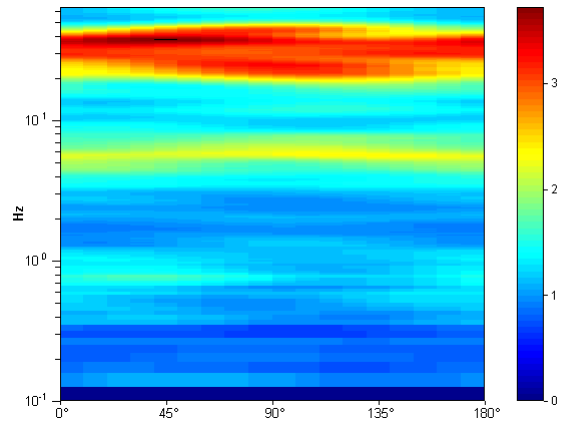
Max. H/V at 35.94 ± 2.31 Hz. (In the range 0.0 - 64.0 Hz).



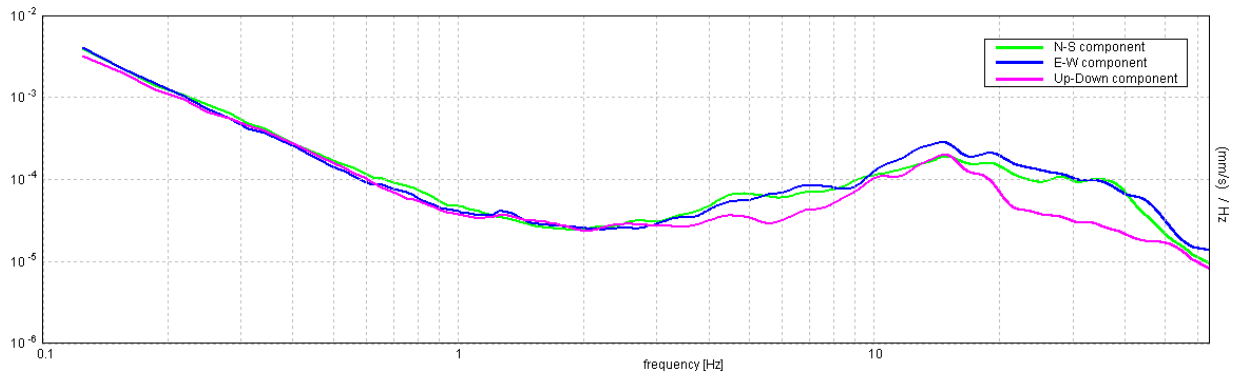
**SERIE TEMPORALE H/V**



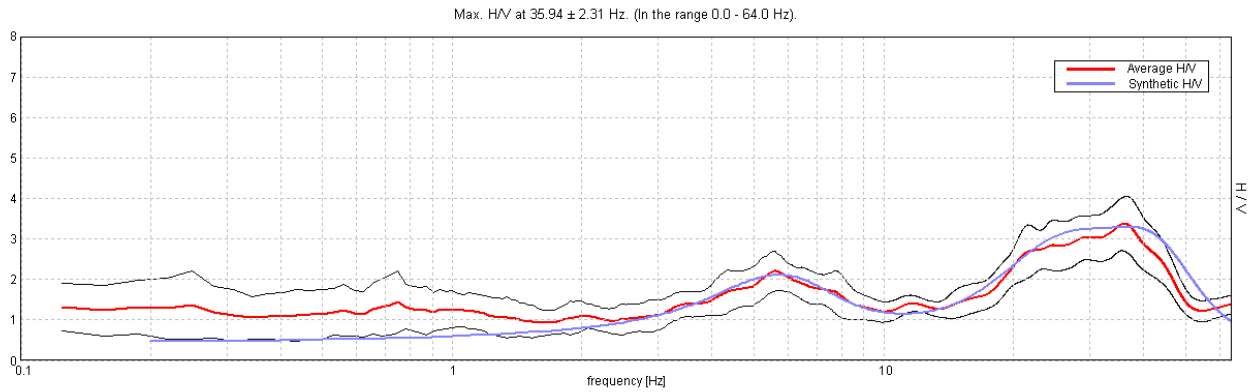
**DIREZIONALITA' H/V**



SPETTRI DELLE SINGOLE COMPONENTI

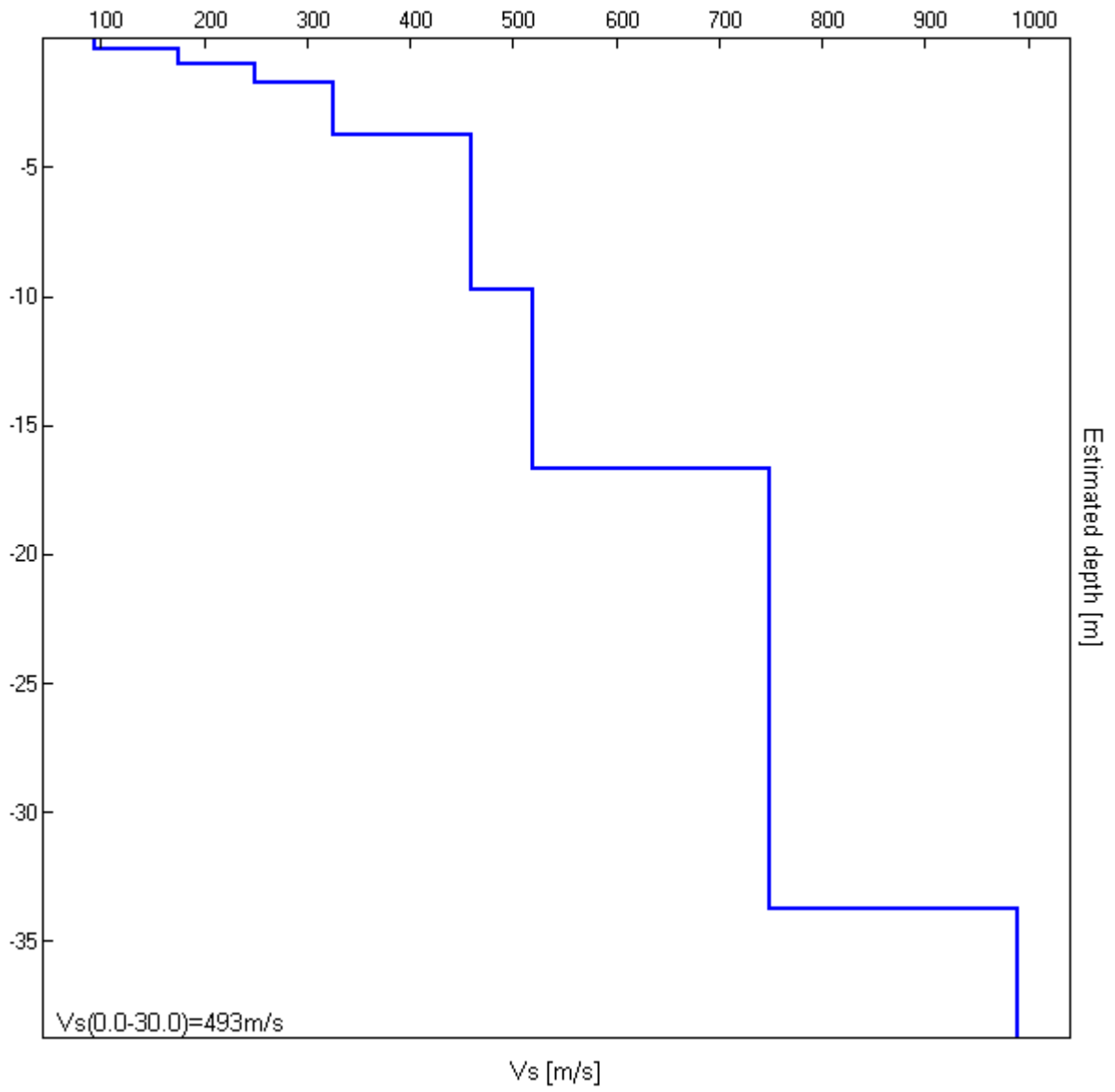


### H/V SPERIMENTALE vs. H/V SINTETICO



Profondità alla base dello strato [m]	Spessore [m]	Vs [m/s]	Rapporto di Poisson
0.40	0.40	94	0.35
1.00	0.60	175	0.35
1.70	0.70	250	0.35
3.70	2.00	325	0.35
9.70	6.00	460	0.35
16.70	7.00	520	0.35
33.70	17.00	750	0.35
inf.	inf.	990	0.35

Vs(0.0-30.0)=493m/s



[Secondo le linee guida SESAME, 2005]

**Picco H/V a 35.94 ± 2.31 Hz (nell'intervallo 0.0 - 64.0 Hz).**

**Criteri per una curva H/V affidabile**  
 [Tutti 3 dovrebbero risultare soddisfatti]

$f_0 > 10 / L_w$	35.94 > 0.50	OK	
$n_c(f_0) > 200$	25156.3 > 200	OK	
$\sigma_A(f) < 2$ per $0.5f_0 < f < 2f_0$ se $f_0 > 0.5\text{Hz}$ $\sigma_A(f) < 3$ per $0.5f_0 < f < 2f_0$ se $f_0 < 0.5\text{Hz}$	Superato 0 volte su 1474	OK	

**Criteri per un picco H/V chiaro**  
 [Almeno 5 su 6 dovrebbero essere soddisfatti]

<b>Esiste <math>f^-</math> in <math>[f_0/4, f_0]</math>   <math>A_{H/V}(f^-) &lt; A_0 / 2</math></b>	17.656 Hz	OK	
<b>Esiste <math>f^+</math> in <math>[f_0, 4f_0]</math>   <math>A_{H/V}(f^+) &lt; A_0 / 2</math></b>	48.438 Hz	OK	
$A_0 > 2$	3.37 > 2	OK	
$f_{\text{picco}}[A_{H/V}(f) \pm \sigma_A(f)] = f_0 \pm 5\%$	$ 0.03121  < 0.05$	OK	
$\sigma_f < \varepsilon(f_0)$	1.12176 < 1.79688	OK	
$\sigma_A(f_0) < \theta(f_0)$	0.3219 < 1.58	OK	

$L_w$	lunghezza della finestra
$n_w$	numero di finestre usate nell'analisi
$n_c = L_w n_w f_0$	numero di cicli significativi
$f$	frequenza attuale
$f_0$	frequenza del picco H/V
$\sigma_f$	deviazione standard della frequenza del picco H/V
$\varepsilon(f_0)$	valore di soglia per la condizione di stabilità $\sigma_f < \varepsilon(f_0)$
$A_0$	ampiezza della curva H/V alla frequenza $f_0$
$A_{H/V}(f)$	ampiezza della curva H/V alla frequenza $f$
$f^-$	frequenza tra $f_0/4$ e $f_0$ alla quale $A_{H/V}(f^-) < A_0/2$
$f^+$	frequenza tra $f_0$ e $4f_0$ alla quale $A_{H/V}(f^+) < A_0/2$
$\sigma_A(f)$	deviazione standard di $A_{H/V}(f)$ , $\sigma_A(f)$ è il fattore per il quale la curva $A_{H/V}(f)$ media deve essere moltiplicata o divisa
$\sigma_{\log H/V}(f)$	deviazione standard della funzione $\log A_{H/V}(f)$
$\theta(f_0)$	valore di soglia per la condizione di stabilità $\sigma_A(f) < \theta(f_0)$

Valori di soglia per $\sigma_f$ e $\sigma_A(f_0)$					
Intervallo di freq. [Hz]	< 0.2	0.2 – 0.5	0.5 – 1.0	1.0 – 2.0	> 2.0
$\varepsilon(f_0)$ [Hz]	0.25 $f_0$	0.2 $f_0$	0.15 $f_0$	0.10 $f_0$	0.05 $f_0$
$\theta(f_0)$ per $\sigma_A(f_0)$	3.0	2.5	2.0	1.78	1.58
$\log \theta(f_0)$ per $\sigma_{\log H/V}(f_0)$	0.48	0.40	0.30	0.25	0.20



**FELI\_1158, FELINO T44**

Strumento: TRZ-0091/01-10

Inizio registrazione: 24/02/12 15:38:13 Fine registrazione: 24/02/12 15:52:14

Nomi canali: NORTH SOUTH; EAST WEST ; UP DOWN

Dato GPS non disponibile

Durata registrazione: 0h14'00".

Analizzato 76% tracciato (selezione manuale)

Freq. campionamento: 128 Hz

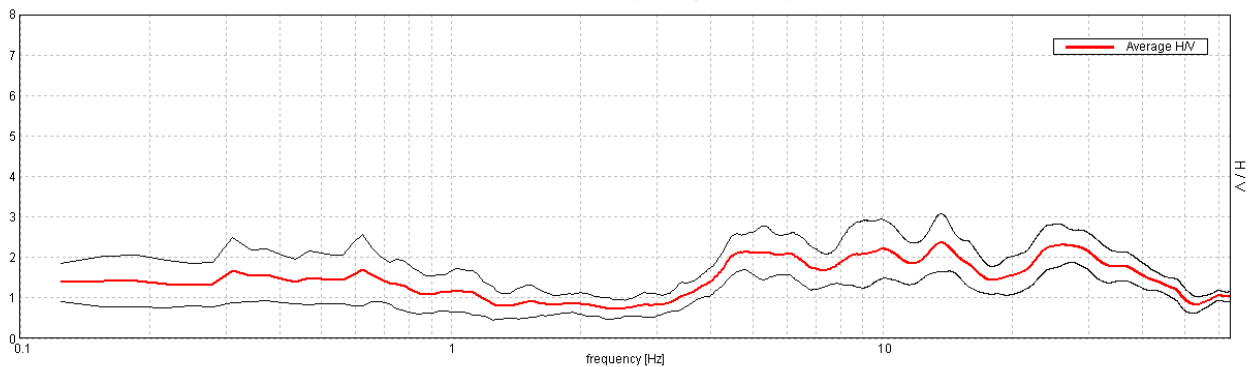
Lunghezza finestre: 20 s

Tipo di lisciamento: Triangular window

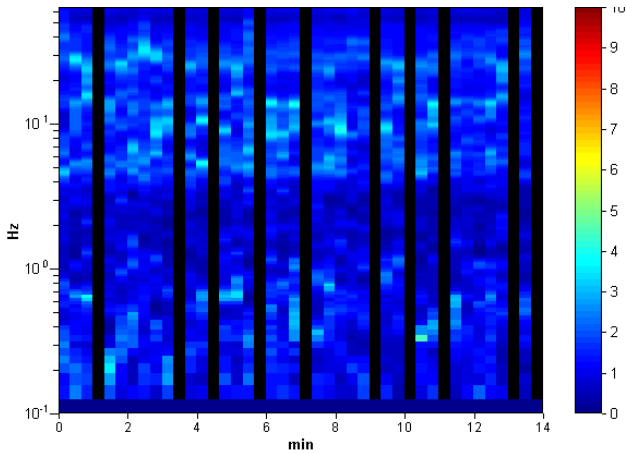
Lisciamento: 10%

**RAPPORTO SPETTRALE ORIZZONTALE SU VERTICALE**

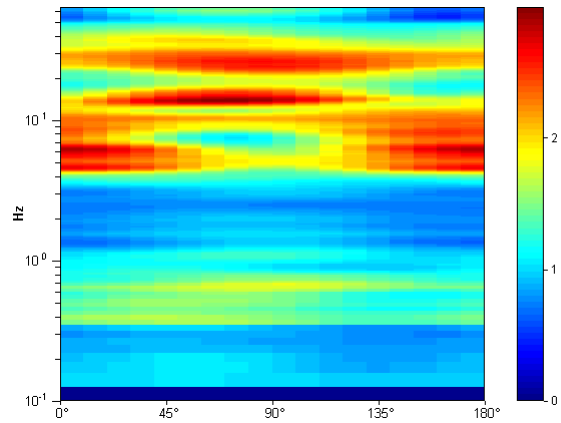
Max. H/V at 13.72 ± 3.53 Hz. (In the range 0.0 - 64.0 Hz).



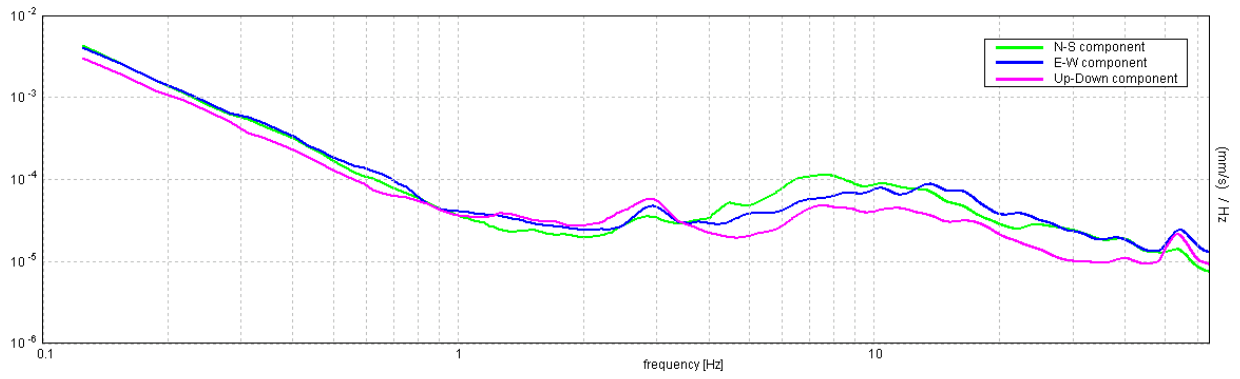
**SERIE TEMPORALE H/V**



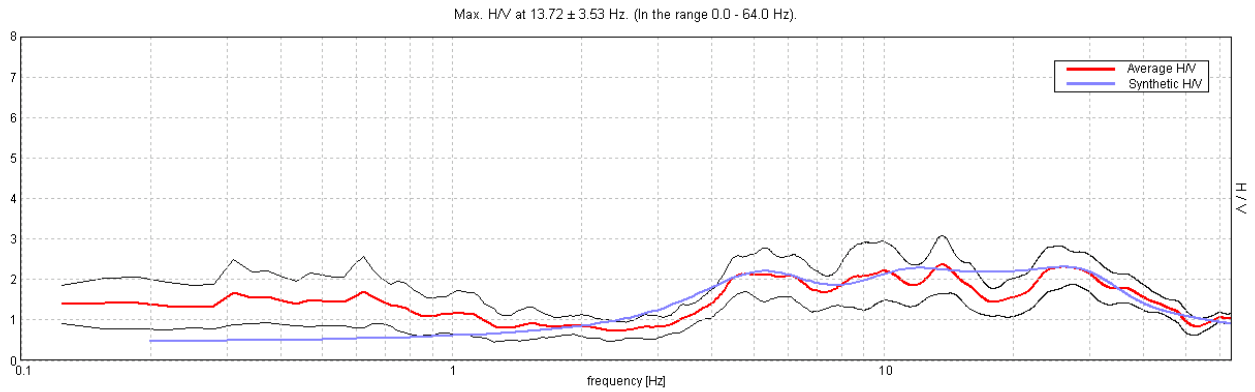
**DIREZIONALITA' H/V**



SPETTRI DELLE SINGOLE COMPONENTI

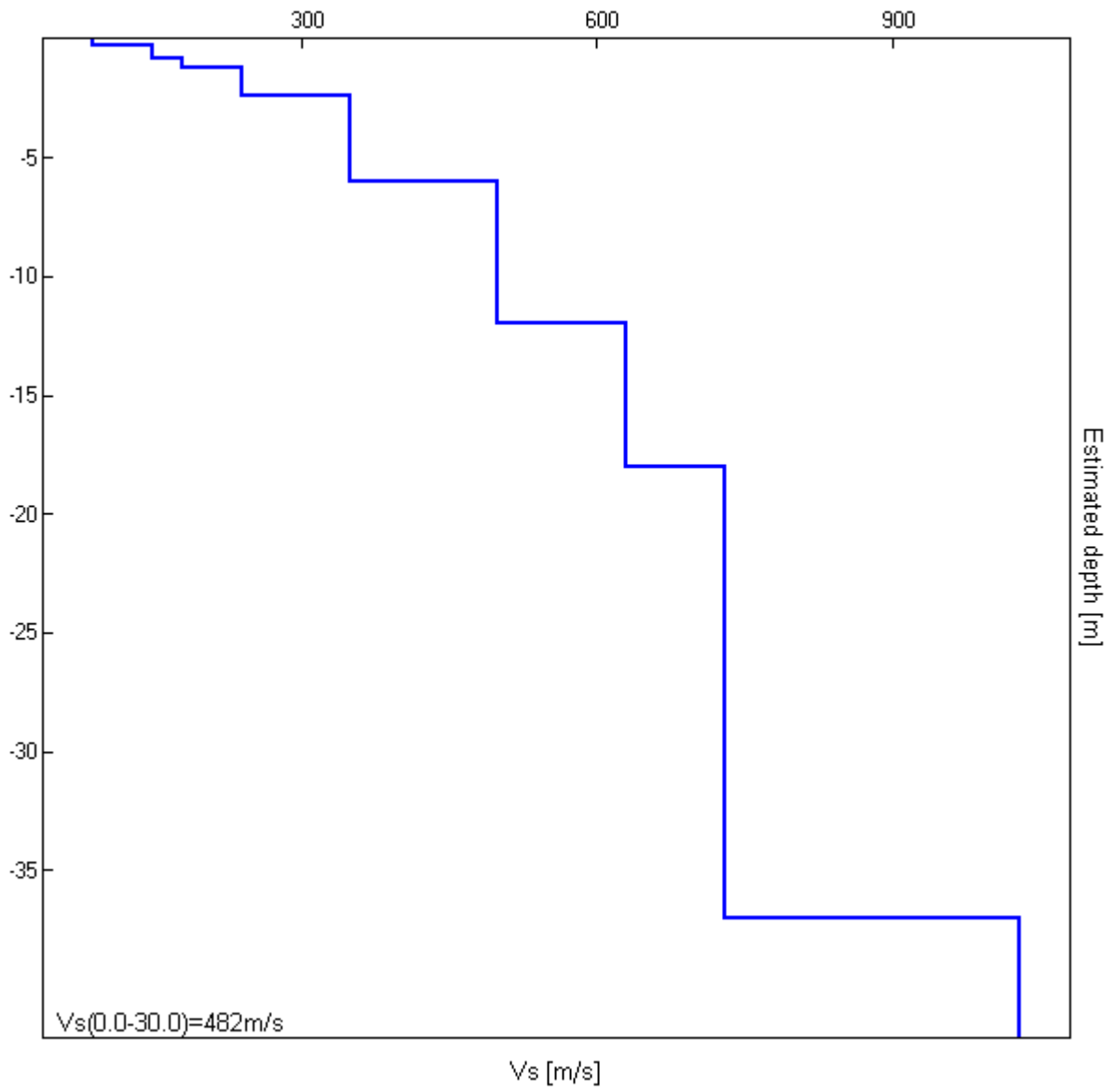


H/V SPERIMENTALE vs. H/V SINTETICO



Profondità alla base dello strato [m]	Spessore [m]	Vs [m/s]	Rapporto di Poisson
0.30	0.30	88	0.35
0.80	0.50	150	0.35
1.20	0.40	180	0.35
2.40	1.20	240	0.35
6.00	3.60	350	0.35
12.00	6.00	500	0.35
18.00	6.00	630	0.35
37.00	19.00	730	0.35
inf.	inf.	1030	0.35

Vs(0.0-30.0)=482m/s



[Secondo le linee guida SESAME, 2005]

**Picco H/V a 13.72 ± 3.53 Hz (nell'intervallo 0.0 - 64.0 Hz).**

**Criteri per una curva H/V affidabile**  
 [Tutti 3 dovrebbero risultare soddisfatti]

$f_0 > 10 / L_w$	13.72 > 0.50	OK	
$n_c(f_0) > 200$	8780.0 > 200	OK	
$\sigma_A(f) < 2$ per $0.5f_0 < f < 2f_0$ se $f_0 > 0.5\text{Hz}$ $\sigma_A(f) < 3$ per $0.5f_0 < f < 2f_0$ se $f_0 < 0.5\text{Hz}$	Superato 0 volte su 660	OK	

**Criteri per un picco H/V chiaro**  
 [Almeno 5 su 6 dovrebbero essere soddisfatti]

<b>Esiste <math>f^-</math> in <math>[f_0/4, f_0]</math>   <math>A_{H/V}(f^-) &lt; A_0 / 2</math></b>	3.656 Hz	OK	
<b>Esiste <math>f^+</math> in <math>[f_0, 4f_0]</math>   <math>A_{H/V}(f^+) &lt; A_0 / 2</math></b>	48.156 Hz	OK	
$A_0 > 2$	2.37 > 2	OK	
$f_{\text{picco}}[A_{H/V}(f) \pm \sigma_A(f)] = f_0 \pm 5\%$	$ 0.1243  < 0.05$		NO
$\sigma_f < \varepsilon(f_0)$	1.70528 < 0.68594		NO
$\sigma_A(f_0) < \theta(f_0)$	0.3456 < 1.58	OK	

$L_w$	lunghezza della finestra
$n_w$	numero di finestre usate nell'analisi
$n_c = L_w n_w f_0$	numero di cicli significativi
$f$	frequenza attuale
$f_0$	frequenza del picco H/V
$\sigma_f$	deviazione standard della frequenza del picco H/V
$\varepsilon(f_0)$	valore di soglia per la condizione di stabilità $\sigma_f < \varepsilon(f_0)$
$A_0$	ampiezza della curva H/V alla frequenza $f_0$
$A_{H/V}(f)$	ampiezza della curva H/V alla frequenza $f$
$f^-$	frequenza tra $f_0/4$ e $f_0$ alla quale $A_{H/V}(f^-) < A_0/2$
$f^+$	frequenza tra $f_0$ e $4f_0$ alla quale $A_{H/V}(f^+) < A_0/2$
$\sigma_A(f)$	deviazione standard di $A_{H/V}(f)$ , $\sigma_A(f)$ è il fattore per il quale la curva $A_{H/V}(f)$ media deve essere moltiplicata o divisa
$\sigma_{\log H/V}(f)$	deviazione standard della funzione $\log A_{H/V}(f)$
$\theta(f_0)$	valore di soglia per la condizione di stabilità $\sigma_A(f) < \theta(f_0)$

Valori di soglia per $\sigma_f$ e $\sigma_A(f_0)$					
Intervallo di freq. [Hz]	< 0.2	0.2 – 0.5	0.5 – 1.0	1.0 – 2.0	> 2.0
$\varepsilon(f_0)$ [Hz]	0.25 $f_0$	0.2 $f_0$	0.15 $f_0$	0.10 $f_0$	0.05 $f_0$
$\theta(f_0)$ per $\sigma_A(f_0)$	3.0	2.5	2.0	1.78	1.58
$\log \theta(f_0)$ per $\sigma_{\log H/V}(f_0)$	0.48	0.40	0.30	0.25	0.20

**FELI\_1158, FELINO T45**

Strumento: TRZ-0091/01-10

Inizio registrazione: 24/02/12 15:59:20 Fine registrazione: 24/02/12 16:13:21

Nomi canali: NORTH SOUTH; EAST WEST ; UP DOWN

Dato GPS non disponibile

Durata registrazione: 0h14'00".

Analizzato 83% tracciato (selezione manuale)

Freq. campionamento: 128 Hz

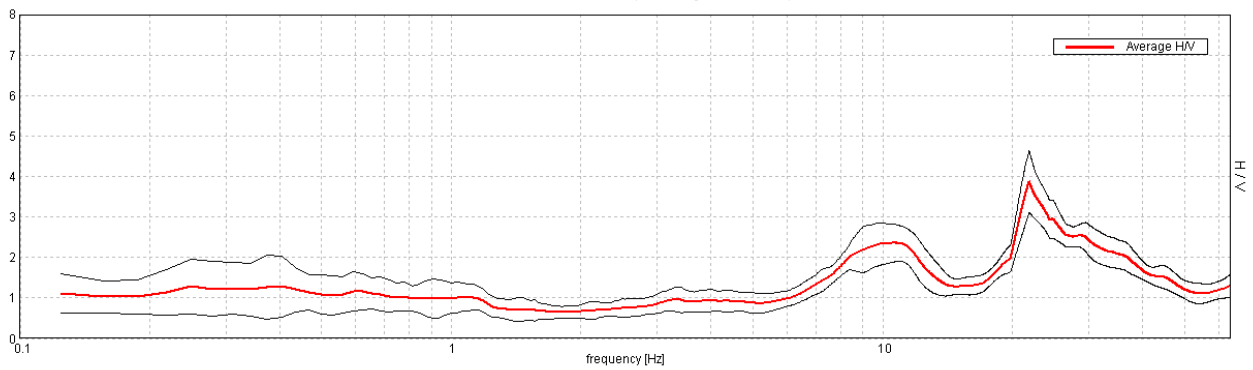
Lunghezza finestre: 20 s

Tipo di lisciamento: Triangular window

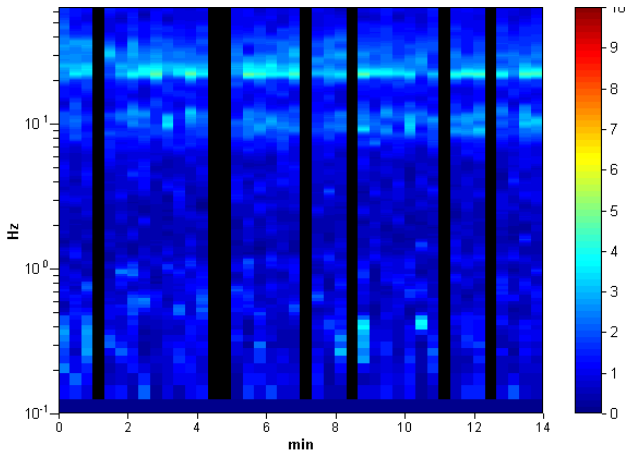
Lisciamento: 10%

**RAPPORTO SPETTRALE ORIZZONTALE SU VERTICALE**

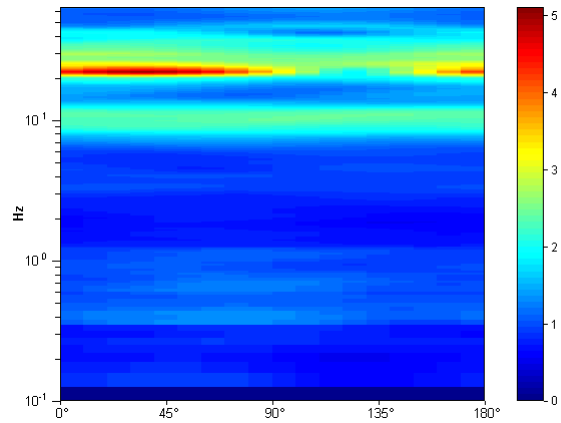
Max. H/V at 21.84 ± 0.17 Hz. (In the range 0.0 - 64.0 Hz).



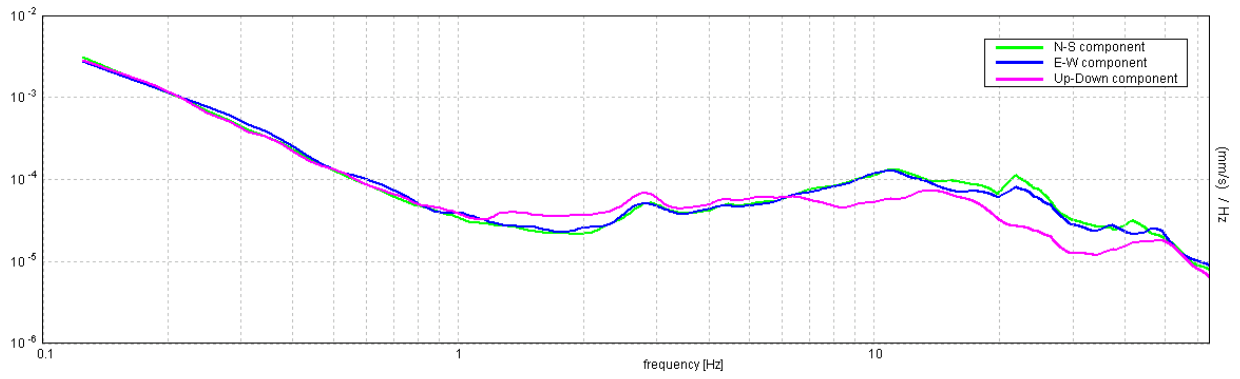
**SERIE TEMPORALE H/V**



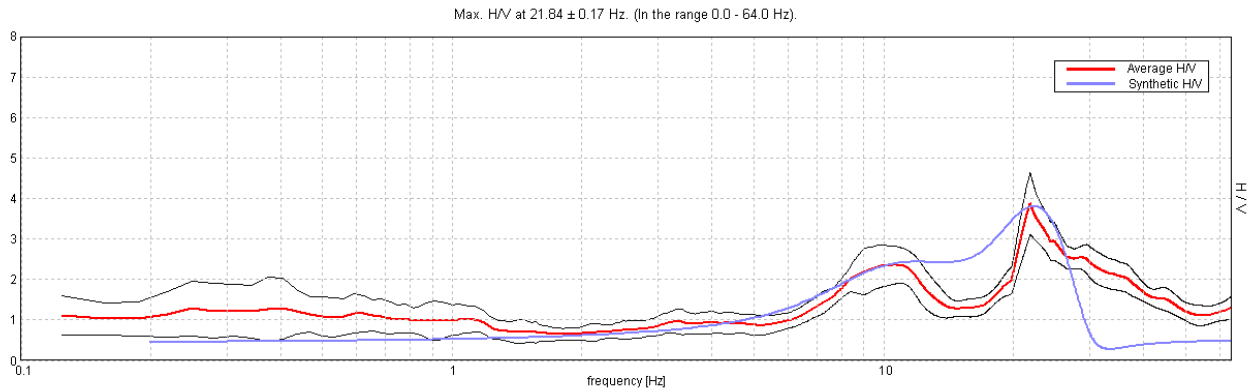
**DIREZIONALITA' H/V**



### SPETTRI DELLE SINGOLE COMPONENTI



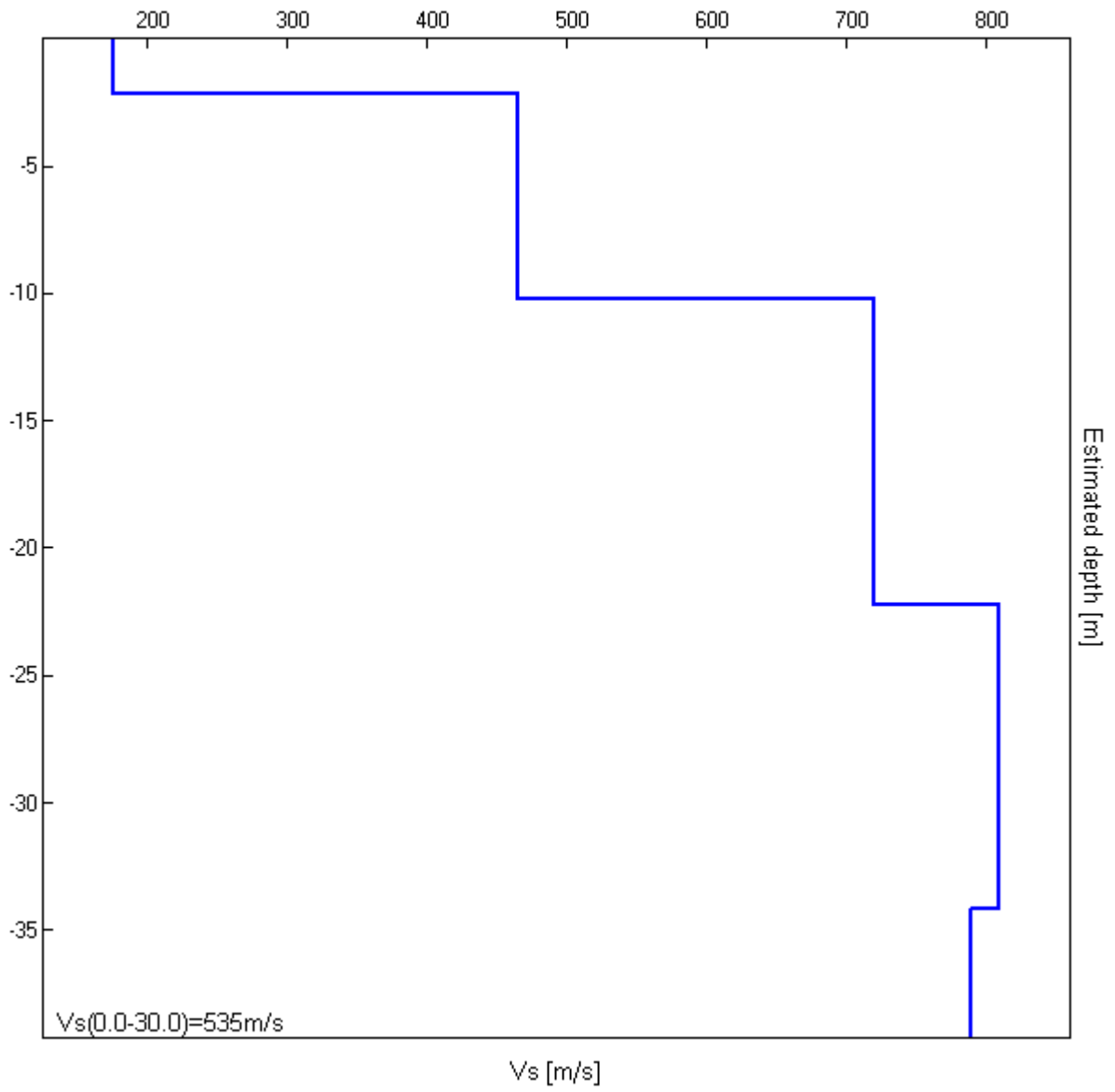
### H/V SPERIMENTALE vs. H/V SINTETICO



Profondità alla base dello strato [m]	Spessore [m]	Vs [m/s]	Rapporto di Poisson
2.20	2.20	175	0.35
10.20	8.00	465	0.35
22.20	12.00	720	0.35
34.20	12.00	810	0.35
inf.	inf.	790	0.35

Vs(0.0-30.0)=535m/s





[Secondo le linee guida SESAME, 2005]

**Picco H/V a 21.84 ± 0.17 Hz (nell'intervallo 0.0 - 64.0 Hz).**

**Criteri per una curva H/V affidabile**  
[Tutti 3 dovrebbero risultare soddisfatti]

$f_0 > 10 / L_w$	21.84 > 0.50	OK	
$n_c(f_0) > 200$	15290.6 > 200	OK	
$\sigma_A(f) < 2$ per $0.5f_0 < f < 2f_0$ se $f_0 > 0.5\text{Hz}$ $\sigma_A(f) < 3$ per $0.5f_0 < f < 2f_0$ se $f_0 < 0.5\text{Hz}$	Superato 0 volte su 1050	OK	

**Criteri per un picco H/V chiaro**  
[Almeno 5 su 6 dovrebbero essere soddisfatti]

<b>Esiste <math>f^-</math> in <math>[f_0/4, f_0]</math>   <math>A_{H/V}(f^-) &lt; A_0 / 2</math></b>	19.531 Hz	OK	
<b>Esiste <math>f^+</math> in <math>[f_0, 4f_0]</math>   <math>A_{H/V}(f^+) &lt; A_0 / 2</math></b>	37.5 Hz	OK	
$A_0 > 2$	3.87 > 2	OK	
$f_{\text{picco}}[A_{H/V}(f) \pm \sigma_A(f)] = f_0 \pm 5\%$	$ 0.00372  < 0.05$	OK	
$\sigma_f < \varepsilon(f_0)$	0.08128 < 1.09219	OK	
$\sigma_A(f_0) < \theta(f_0)$	0.3682 < 1.58	OK	

$L_w$	lunghezza della finestra
$n_w$	numero di finestre usate nell'analisi
$n_c = L_w n_w f_0$	numero di cicli significativi
$f$	frequenza attuale
$f_0$	frequenza del picco H/V
$\sigma_f$	deviazione standard della frequenza del picco H/V
$\varepsilon(f_0)$	valore di soglia per la condizione di stabilità $\sigma_f < \varepsilon(f_0)$
$A_0$	ampiezza della curva H/V alla frequenza $f_0$
$A_{H/V}(f)$	ampiezza della curva H/V alla frequenza $f$
$f^-$	frequenza tra $f_0/4$ e $f_0$ alla quale $A_{H/V}(f^-) < A_0/2$
$f^+$	frequenza tra $f_0$ e $4f_0$ alla quale $A_{H/V}(f^+) < A_0/2$
$\sigma_A(f)$	deviazione standard di $A_{H/V}(f)$ , $\sigma_A(f)$ è il fattore per il quale la curva $A_{H/V}(f)$ media deve essere moltiplicata o divisa
$\sigma_{\log H/V}(f)$	deviazione standard della funzione $\log A_{H/V}(f)$
$\theta(f_0)$	valore di soglia per la condizione di stabilità $\sigma_A(f) < \theta(f_0)$

Valori di soglia per $\sigma_f$ e $\sigma_A(f_0)$					
Intervallo di freq. [Hz]	< 0.2	0.2 – 0.5	0.5 – 1.0	1.0 – 2.0	> 2.0
$\varepsilon(f_0)$ [Hz]	0.25 $f_0$	0.2 $f_0$	0.15 $f_0$	0.10 $f_0$	0.05 $f_0$
$\theta(f_0)$ per $\sigma_A(f_0)$	3.0	2.5	2.0	1.78	1.58
$\log \theta(f_0)$ per $\sigma_{\log H/V}(f_0)$	0.48	0.40	0.30	0.25	0.20

**FELI\_1158, FELINO T46**

Strumento: TRZ-0091/01-10

Inizio registrazione: 24/02/12 16:19:42 Fine registrazione: 24/02/12 16:33:42

Nomi canali: NORTH SOUTH; EAST WEST ; UP DOWN

Dato GPS non disponibile

Durata registrazione: 0h14'00".

Analizzato 76% tracciato (selezione manuale)

Freq. campionamento: 128 Hz

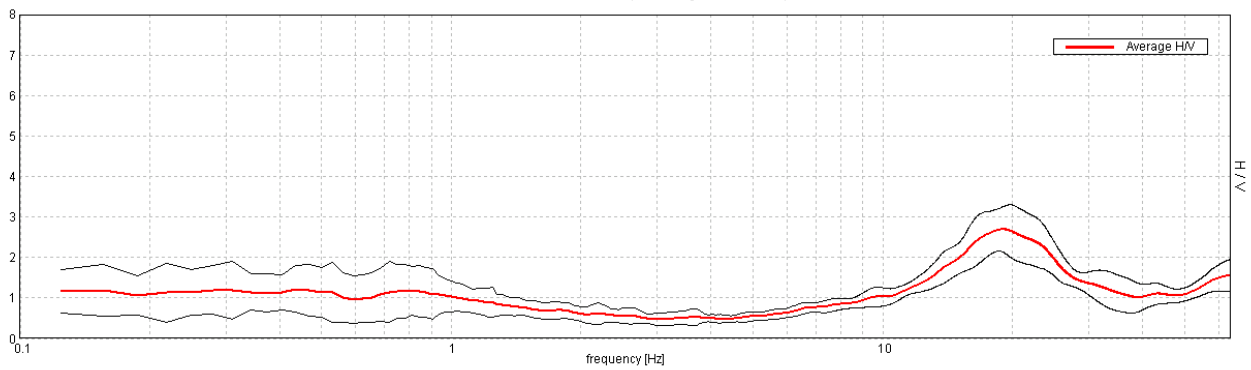
Lunghezza finestre: 20 s

Tipo di lisciamento: Triangular window

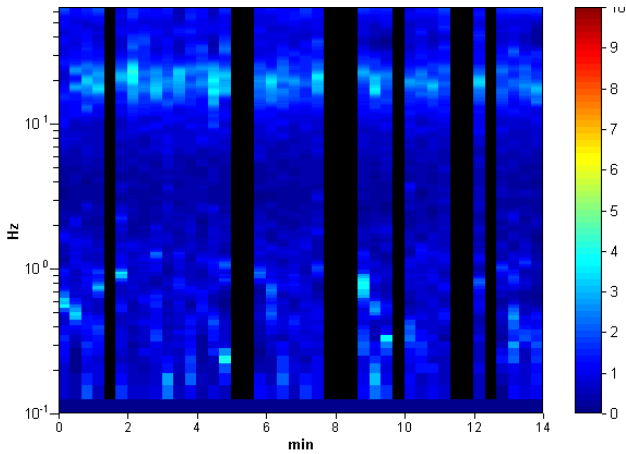
Lisciamento: 10%

**RAPPORTO SPETTRALE ORIZZONTALE SU VERTICALE**

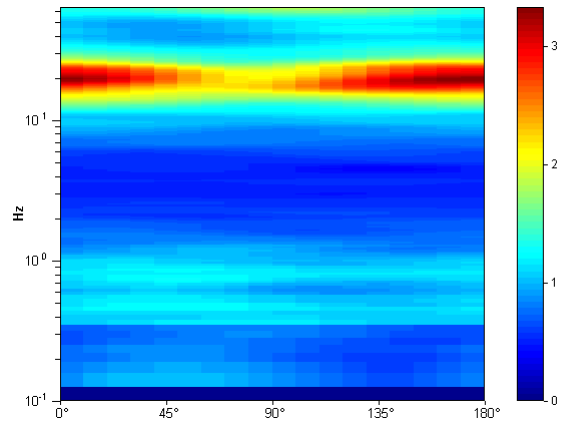
Max. H/V at 19.03 ± 2.1 Hz. (In the range 0.0 - 64.0 Hz).



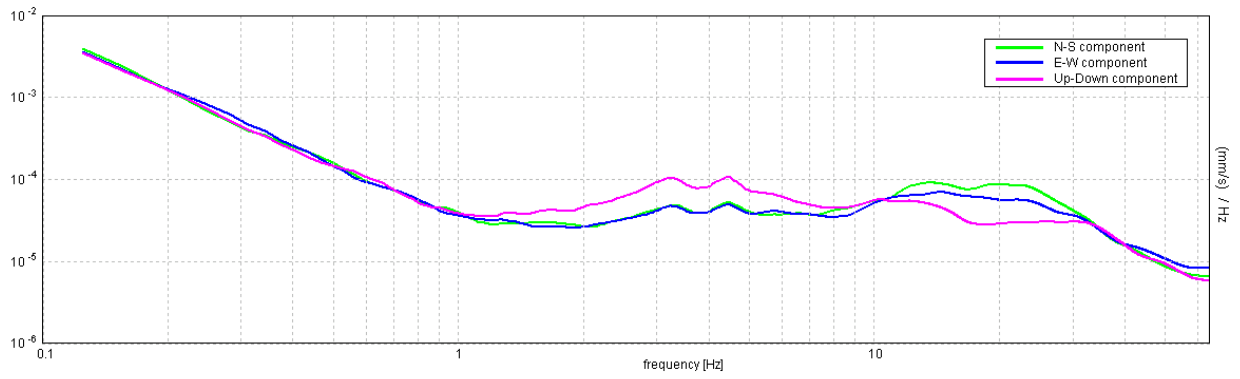
**SERIE TEMPORALE H/V**



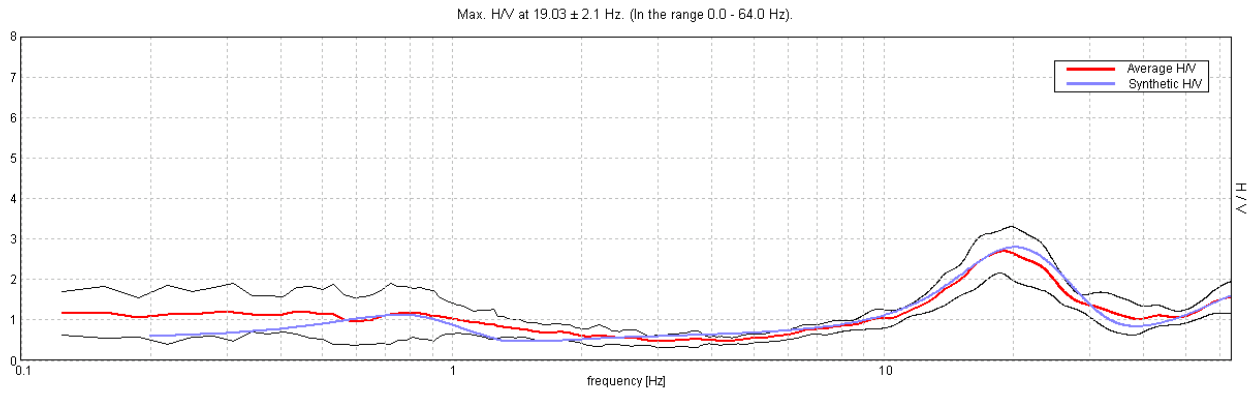
**DIREZIONALITA' H/V**



### SPETTRI DELLE SINGOLE COMPONENTI

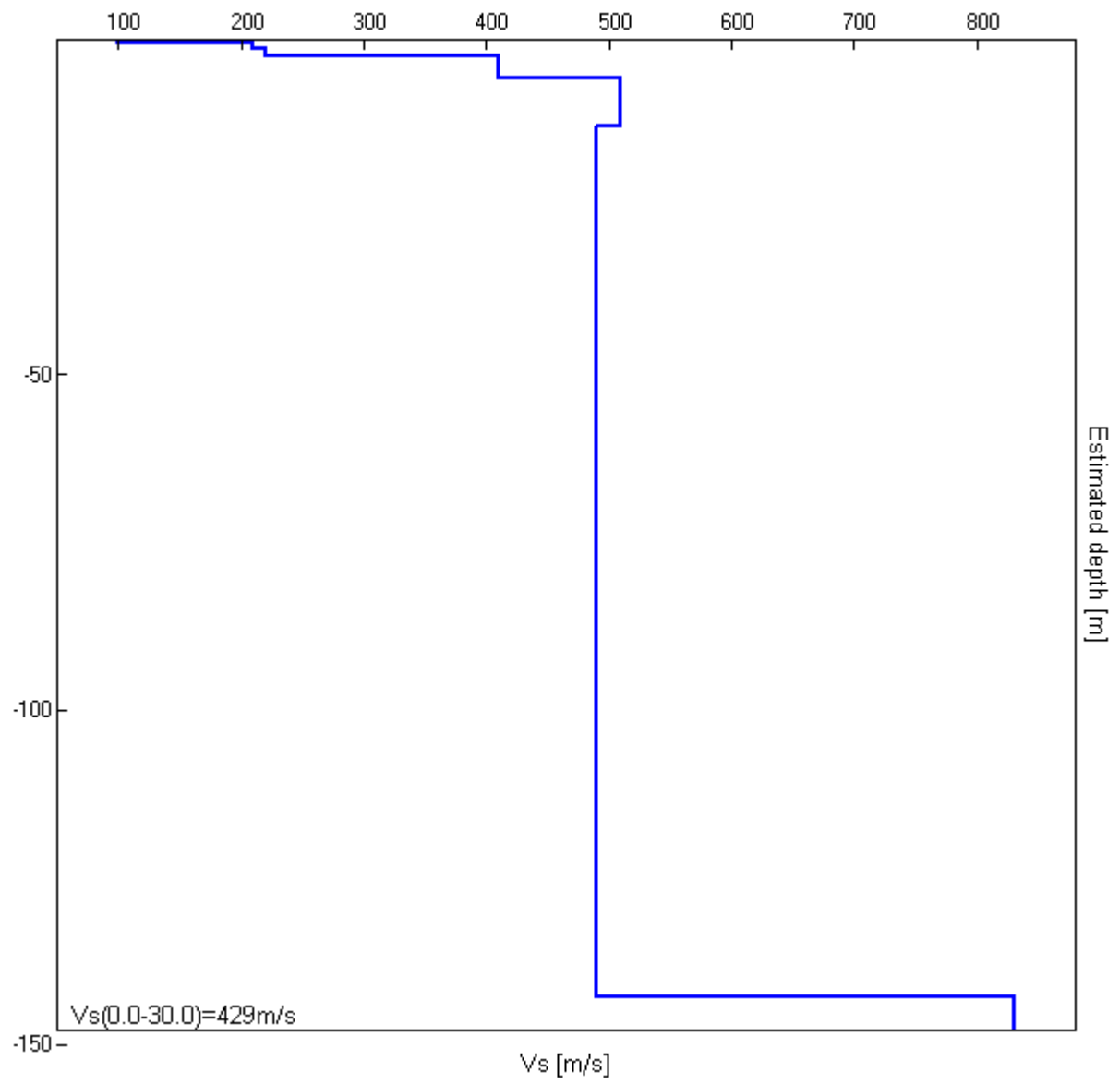


### H/V SPERIMENTALE vs. H/V SINTETICO



Profondità alla base dello strato [m]	Spessore [m]	Vs [m/s]	Rapporto di Poisson
0.35	0.35	100	0.35
1.15	0.80	210	0.35
2.35	1.20	220	0.35
5.75	3.40	410	0.35
12.75	7.00	510	0.35
142.75	130.00	490	0.35
inf.	inf.	830	0.35

Vs(0.0-30.0)=429m/s



[Secondo le linee guida SESAME, 2005]

**Picco H/V a 19.03 ± 2.1 Hz (nell'intervallo 0.0 - 64.0 Hz).**

**Criteri per una curva H/V affidabile**  
[Tutti 3 dovrebbero risultare soddisfatti]

$f_0 > 10 / L_w$	19.03 > 0.50	OK	
$n_c(f_0) > 200$	12180.0 > 200	OK	
$\sigma_A(f) < 2$ per $0.5f_0 < f < 2f_0$ se $f_0 > 0.5\text{Hz}$ $\sigma_A(f) < 3$ per $0.5f_0 < f < 2f_0$ se $f_0 < 0.5\text{Hz}$	Superato 0 volte su 914	OK	

**Criteri per un picco H/V chiaro**  
[Almeno 5 su 6 dovrebbero essere soddisfatti]

<b>Esiste <math>f^-</math> in <math>[f_0/4, f_0]</math>   <math>A_{H/V}(f^-) &lt; A_0 / 2</math></b>	12.156 Hz	OK	
<b>Esiste <math>f^+</math> in <math>[f_0, 4f_0]</math>   <math>A_{H/V}(f^+) &lt; A_0 / 2</math></b>	30.313 Hz	OK	
$A_0 > 2$	2.69 > 2	OK	
$f_{\text{picco}}[A_{H/V}(f) \pm \sigma_A(f)] = f_0 \pm 5\%$	$ 0.05324  < 0.05$		NO
$\sigma_f < \varepsilon(f_0)$	1.01313 < 0.95156		NO
$\sigma_A(f_0) < \theta(f_0)$	0.2734 < 1.58	OK	

$L_w$	lunghezza della finestra
$n_w$	numero di finestre usate nell'analisi
$n_c = L_w n_w f_0$	numero di cicli significativi
$f$	frequenza attuale
$f_0$	frequenza del picco H/V
$\sigma_f$	deviazione standard della frequenza del picco H/V
$\varepsilon(f_0)$	valore di soglia per la condizione di stabilità $\sigma_f < \varepsilon(f_0)$
$A_0$	ampiezza della curva H/V alla frequenza $f_0$
$A_{H/V}(f)$	ampiezza della curva H/V alla frequenza $f$
$f^-$	frequenza tra $f_0/4$ e $f_0$ alla quale $A_{H/V}(f^-) < A_0/2$
$f^+$	frequenza tra $f_0$ e $4f_0$ alla quale $A_{H/V}(f^+) < A_0/2$
$\sigma_A(f)$	deviazione standard di $A_{H/V}(f)$ , $\sigma_A(f)$ è il fattore per il quale la curva $A_{H/V}(f)$ media deve essere moltiplicata o divisa
$\sigma_{\log H/V}(f)$	deviazione standard della funzione $\log A_{H/V}(f)$
$\theta(f_0)$	valore di soglia per la condizione di stabilità $\sigma_A(f) < \theta(f_0)$

Valori di soglia per $\sigma_f$ e $\sigma_A(f_0)$					
Intervallo di freq. [Hz]	< 0.2	0.2 – 0.5	0.5 – 1.0	1.0 – 2.0	> 2.0
$\varepsilon(f_0)$ [Hz]	0.25 $f_0$	0.2 $f_0$	0.15 $f_0$	0.10 $f_0$	0.05 $f_0$
$\theta(f_0)$ per $\sigma_A(f_0)$	3.0	2.5	2.0	1.78	1.58
$\log \theta(f_0)$ per $\sigma_{\log H/V}(f_0)$	0.48	0.40	0.30	0.25	0.20

**FELI\_1158, FELINO T47**

Strumento: TRZ-0091/01-10

Inizio registrazione: 24/02/12 16:39:30 Fine registrazione: 24/02/12 16:53:31

Nomi canali: NORTH SOUTH; EAST WEST ; UP DOWN

Dato GPS non disponibile

Durata registrazione: 0h14'00".

Analizzato 81% tracciato (selezione manuale)

Freq. campionamento: 128 Hz

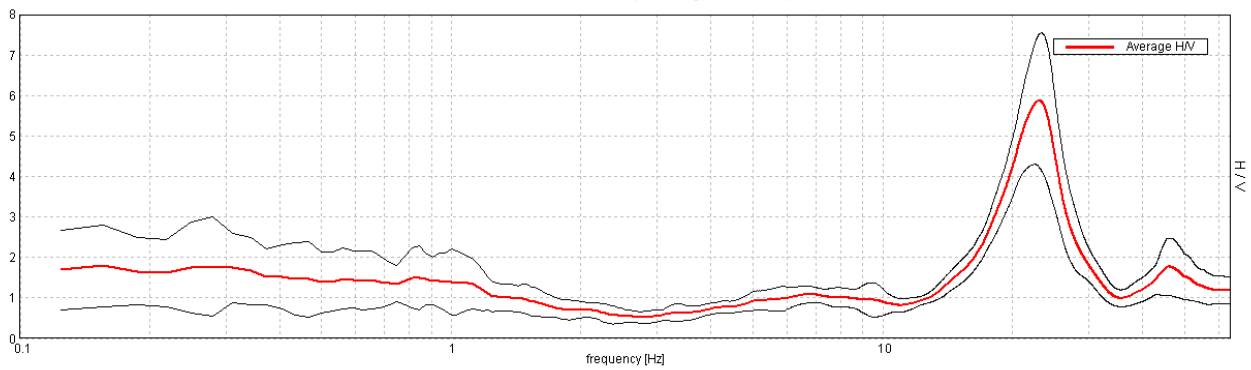
Lunghezza finestre: 20 s

Tipo di lisciamento: Triangular window

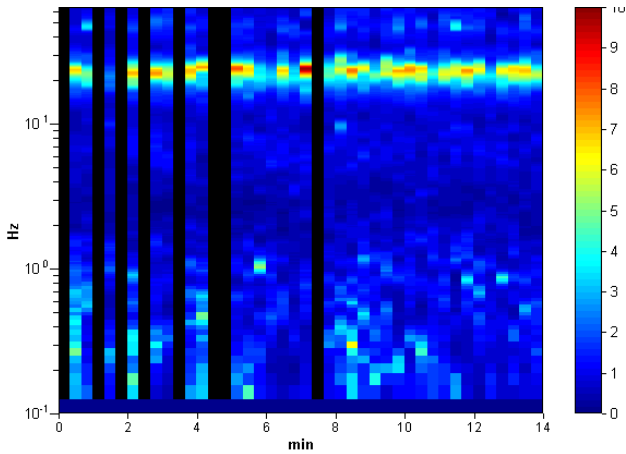
Lisciamento: 10%

**RAPPORTO SPETTRALE ORIZZONTALE SU VERTICALE**

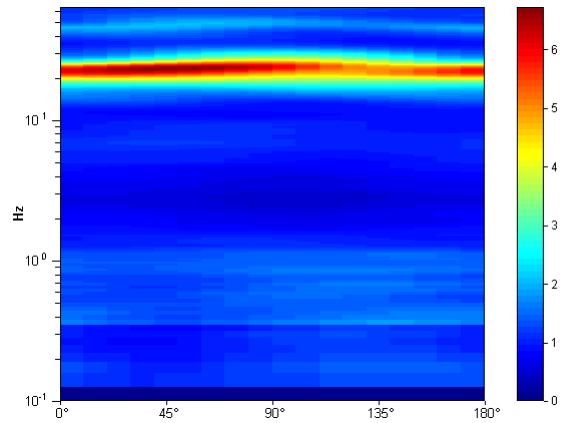
Max. H/V at 23.03 ± 0.12 Hz. (In the range 0.0 - 64.0 Hz).



**SERIE TEMPORALE H/V**

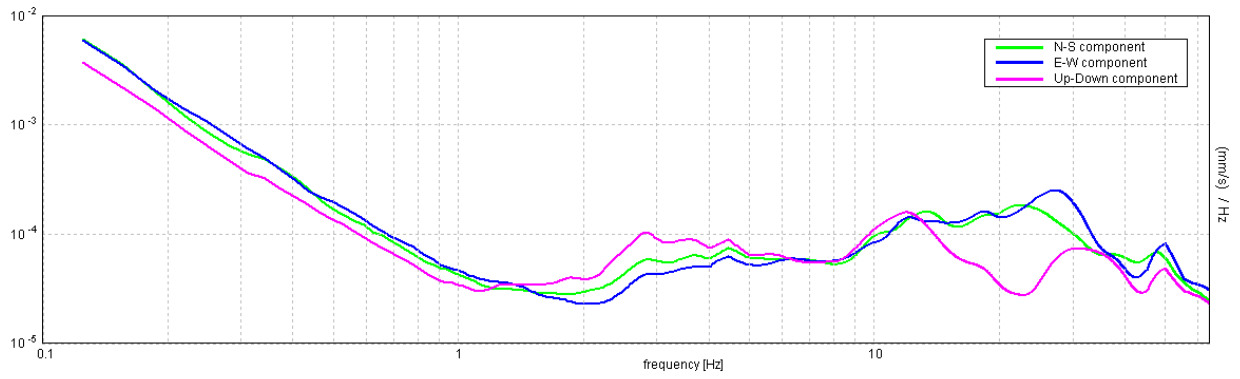


**DIREZIONALITA' H/V**

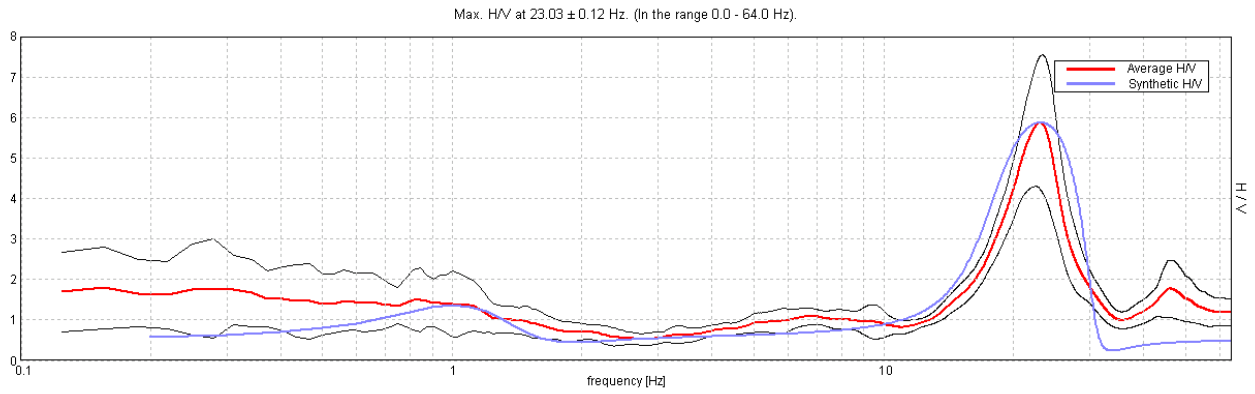




### SPETTRI DELLE SINGOLE COMPONENTI

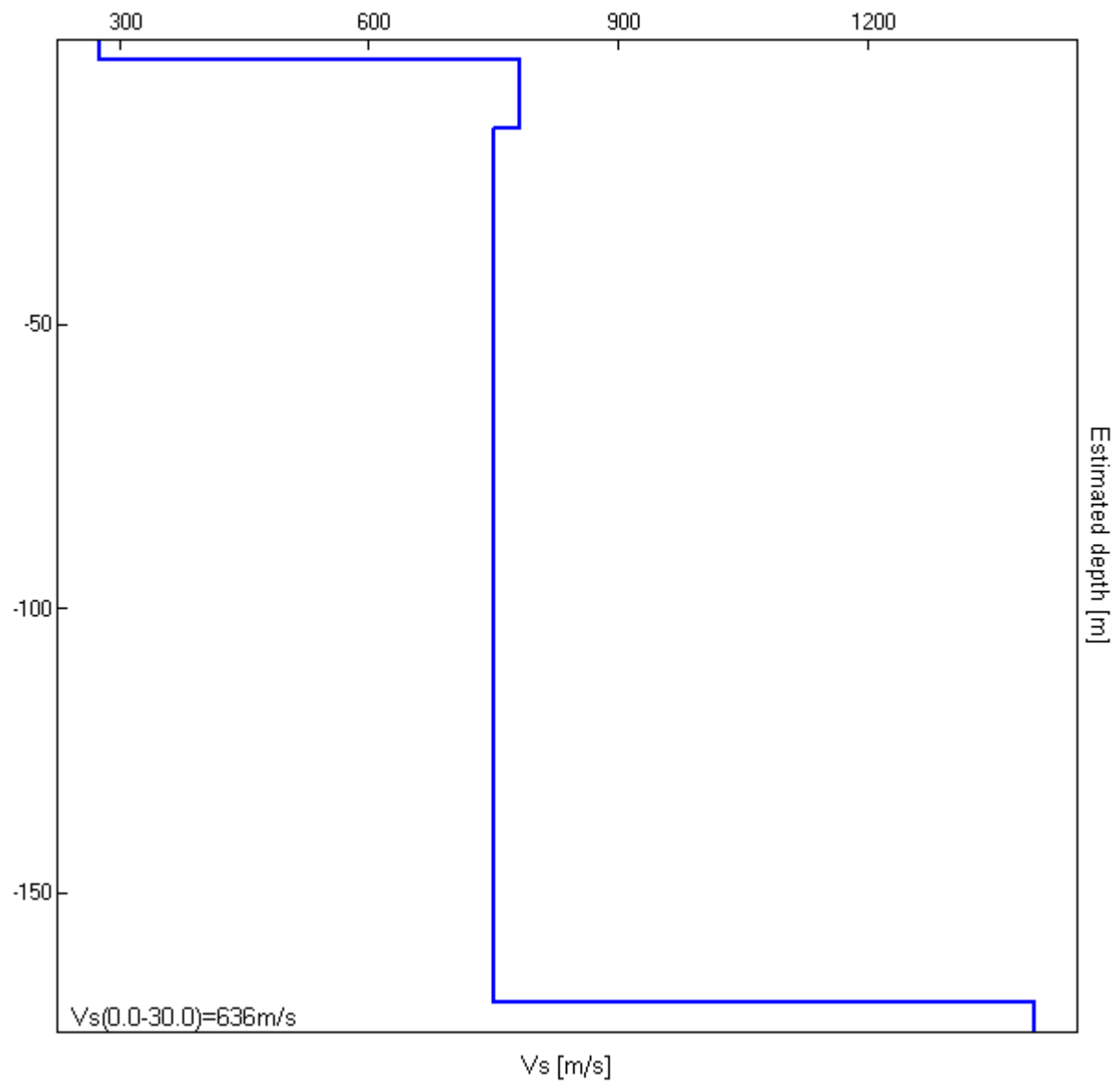


H/V SPERIMENTALE vs. H/V SINTETICO



Profondità alla base dello strato [m]	Spessore [m]	Vs [m/s]	Rapporto di Poisson
3.40	3.40	276	0.35
15.40	12.00	781	0.35
169.40	154.00	750	0.35
inf.	inf.	1400	0.35

Vs(0.0-30.0)=636m/s



[Secondo le linee guida SESAME, 2005]

**Picco H/V a 23.03 ± 0.12 Hz (nell'intervallo 0.0 - 64.0 Hz).**

**Criteri per una curva H/V affidabile**  
[Tutti 3 dovrebbero risultare soddisfatti]

$f_0 > 10 / L_w$	23.03 > 0.50	OK	
$n_c(f_0) > 200$	15661.3 > 200	OK	
$\sigma_A(f) < 2$ per $0.5f_0 < f < 2f_0$ se $f_0 > 0.5\text{Hz}$ $\sigma_A(f) < 3$ per $0.5f_0 < f < 2f_0$ se $f_0 < 0.5\text{Hz}$	Superato 0 volte su 1106	OK	

**Criteri per un picco H/V chiaro**  
[Almeno 5 su 6 dovrebbero essere soddisfatti]

Esiste $f^-$ in $[f_0/4, f_0] \mid A_{H/V}(f^-) < A_0 / 2$	18.063 Hz	OK	
Esiste $f^+$ in $[f_0, 4f_0] \mid A_{H/V}(f^+) < A_0 / 2$	26.906 Hz	OK	
$A_0 > 2$	5.87 > 2	OK	
$f_{\text{picco}}[A_{H/V}(f) \pm \sigma_A(f)] = f_0 \pm 5\%$	$ 0.00243  < 0.05$	OK	
$\sigma_f < \varepsilon(f_0)$	0.05595 < 1.15156	OK	
$\sigma_A(f_0) < \theta(f_0)$	0.7937 < 1.58	OK	

$L_w$	lunghezza della finestra
$n_w$	numero di finestre usate nell'analisi
$n_c = L_w n_w f_0$	numero di cicli significativi
$f$	frequenza attuale
$f_0$	frequenza del picco H/V
$\sigma_f$	deviazione standard della frequenza del picco H/V
$\varepsilon(f_0)$	valore di soglia per la condizione di stabilità $\sigma_f < \varepsilon(f_0)$
$A_0$	ampiezza della curva H/V alla frequenza $f_0$
$A_{H/V}(f)$	ampiezza della curva H/V alla frequenza $f$
$f^-$	frequenza tra $f_0/4$ e $f_0$ alla quale $A_{H/V}(f^-) < A_0/2$
$f^+$	frequenza tra $f_0$ e $4f_0$ alla quale $A_{H/V}(f^+) < A_0/2$
$\sigma_A(f)$	deviazione standard di $A_{H/V}(f)$ , $\sigma_A(f)$ è il fattore per il quale la curva $A_{H/V}(f)$ media deve essere moltiplicata o divisa
$\sigma_{\log H/V}(f)$	deviazione standard della funzione $\log A_{H/V}(f)$
$\theta(f_0)$	valore di soglia per la condizione di stabilità $\sigma_A(f) < \theta(f_0)$

Valori di soglia per $\sigma_f$ e $\sigma_A(f_0)$					
Intervallo di freq. [Hz]	< 0.2	0.2 – 0.5	0.5 – 1.0	1.0 – 2.0	> 2.0
$\varepsilon(f_0)$ [Hz]	0.25 $f_0$	0.2 $f_0$	0.15 $f_0$	0.10 $f_0$	0.05 $f_0$
$\theta(f_0)$ per $\sigma_A(f_0)$	3.0	2.5	2.0	1.78	1.58
$\log \theta(f_0)$ per $\sigma_{\log H/V}(f_0)$	0.48	0.40	0.30	0.25	0.20

**FELI\_1158, FELINO T48**

Strumento: TRZ-0091/01-10

Inizio registrazione: 24/02/12 17:01:33 Fine registrazione: 24/02/12 17:15:33

Nomi canali: NORTH SOUTH; EAST WEST ; UP DOWN

Dato GPS non disponibile

Durata registrazione: 0h14'00".

Analizzato 83% tracciato (selezione manuale)

Freq. campionamento: 128 Hz

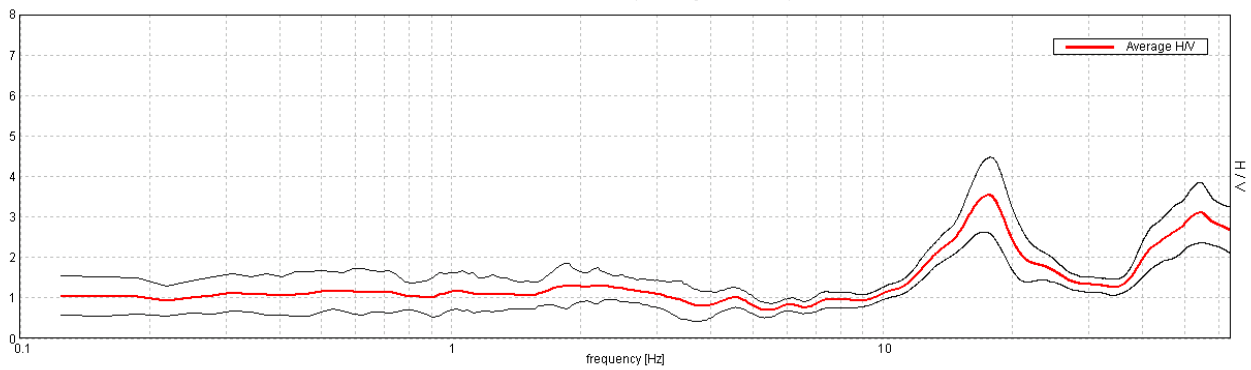
Lunghezza finestre: 20 s

Tipo di lisciamento: Triangular window

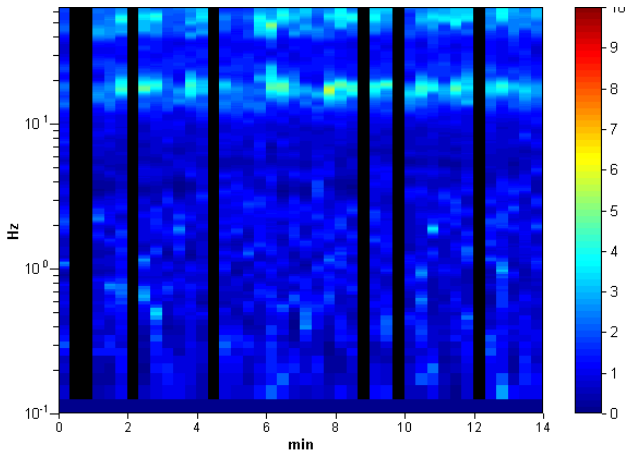
Lisciamento: 10%

**RAPPORTO SPETTRALE ORIZZONTALE SU VERTICALE**

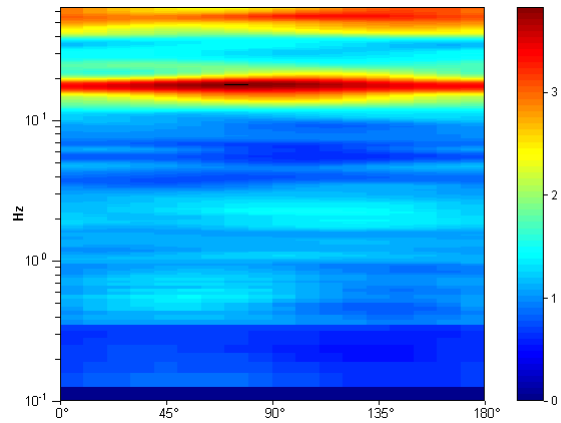
Max. H/V at 17.63 ± 2.43 Hz. (In the range 0.0 - 64.0 Hz).



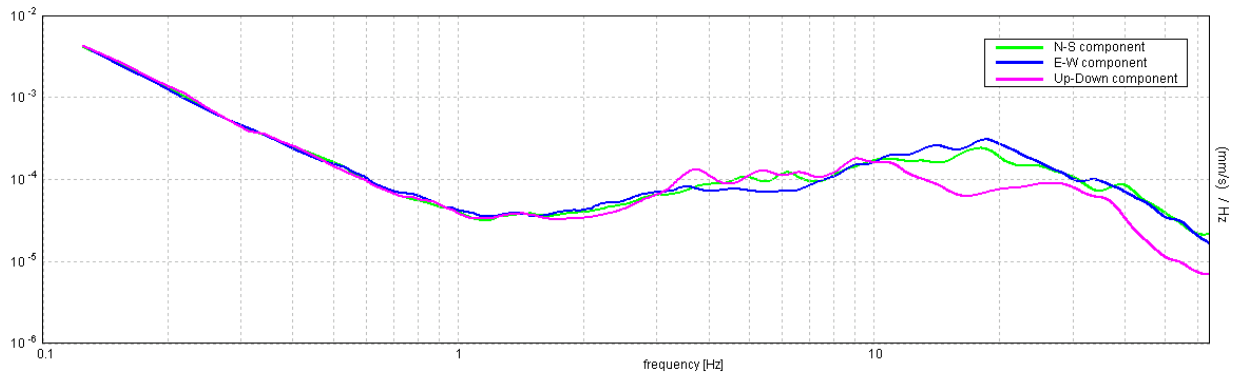
**SERIE TEMPORALE H/V**



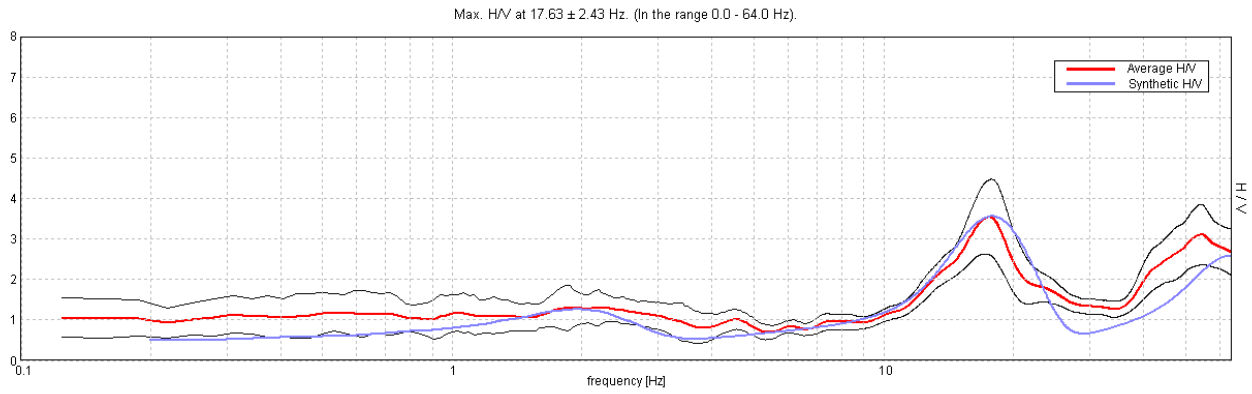
**DIREZIONALITA' H/V**



### SPETTRI DELLE SINGOLE COMPONENTI

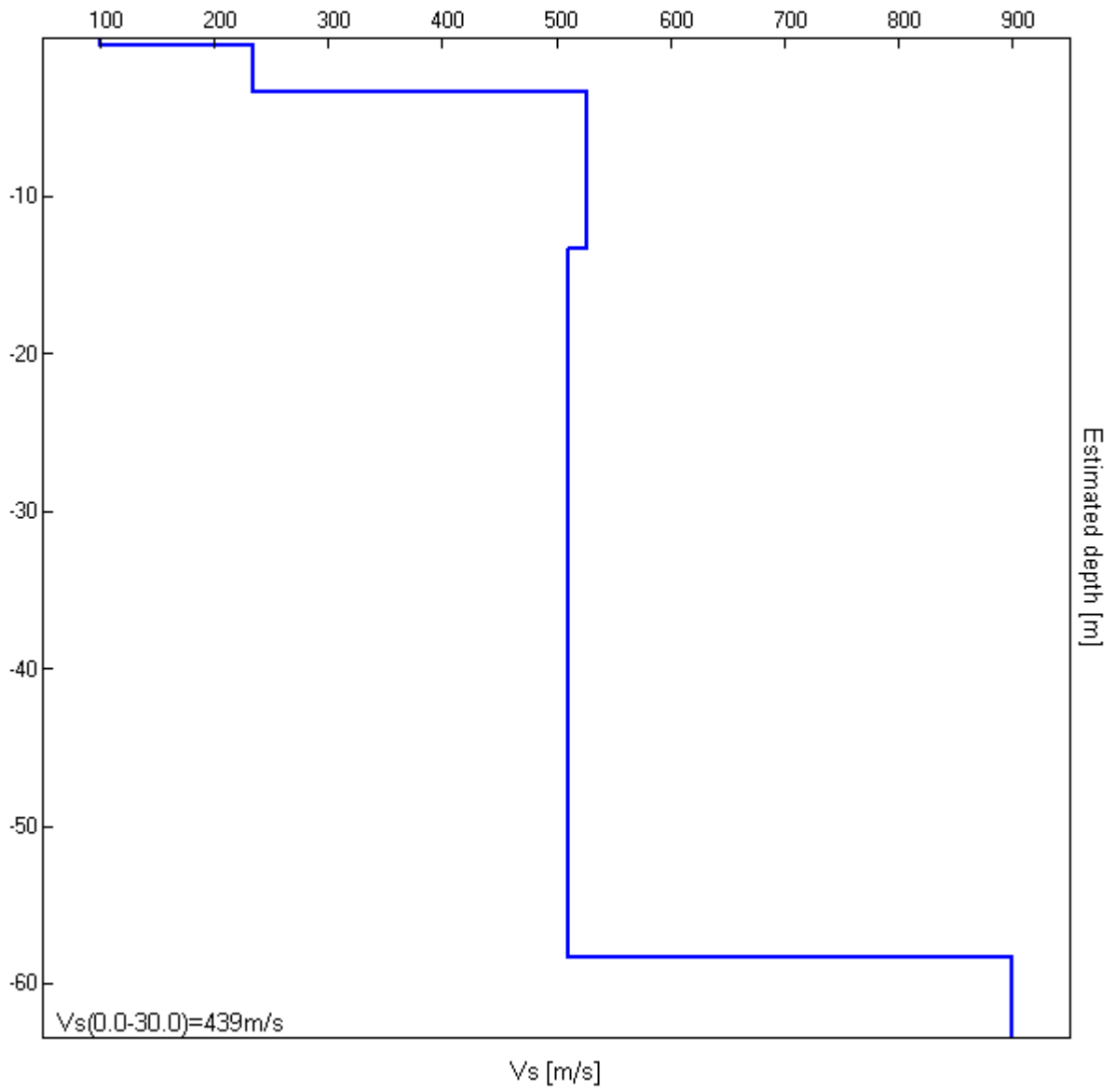


### H/V SPERIMENTALE vs. H/V SINTETICO



Profondità alla base dello strato [m]	Spessore [m]	Vs [m/s]	Rapporto di Poisson
0.40	0.40	100	0.35
3.40	3.00	235	0.35
13.40	10.00	527	0.35
58.40	45.00	510	0.35
inf.	inf.	900	0.35

Vs(0.0-30.0)=439m/s





[Secondo le linee guida SESAME, 2005]

**Picco H/V a 17.63 ± 2.43 Hz (nell'intervallo 0.0 - 64.0 Hz).**

**Criteri per una curva H/V affidabile**  
[Tutti 3 dovrebbero risultare soddisfatti]

$f_0 > 10 / L_w$	17.63 > 0.50	OK	
$n_c(f_0) > 200$	12337.5 > 200	OK	
$\sigma_A(f) < 2$ per $0.5f_0 < f < 2f_0$ se $f_0 > 0.5\text{Hz}$ $\sigma_A(f) < 3$ per $0.5f_0 < f < 2f_0$ se $f_0 < 0.5\text{Hz}$	Superato 0 volte su 847	OK	

**Criteri per un picco H/V chiaro**  
[Almeno 5 su 6 dovrebbero essere soddisfatti]

Esiste $f^-$ in $[f_0/4, f_0]$   $A_{H/V}(f^-) < A_0 / 2$	12.438 Hz	OK	
Esiste $f^+$ in $[f_0, 4f_0]$   $A_{H/V}(f^+) < A_0 / 2$	23.906 Hz	OK	
$A_0 > 2$	3.54 > 2	OK	
$f_{\text{picco}}[A_{H/V}(f) \pm \sigma_A(f)] = f_0 \pm 5\%$	$ 0.06682  < 0.05$		NO
$\sigma_f < \varepsilon(f_0)$	1.17775 < 0.88125		NO
$\sigma_A(f_0) < \theta(f_0)$	0.4512 < 1.58	OK	

$L_w$	lunghezza della finestra
$n_w$	numero di finestre usate nell'analisi
$n_c = L_w n_w f_0$	numero di cicli significativi
$f$	frequenza attuale
$f_0$	frequenza del picco H/V
$\sigma_f$	deviazione standard della frequenza del picco H/V
$\varepsilon(f_0)$	valore di soglia per la condizione di stabilità $\sigma_f < \varepsilon(f_0)$
$A_0$	ampiezza della curva H/V alla frequenza $f_0$
$A_{H/V}(f)$	ampiezza della curva H/V alla frequenza $f$
$f^-$	frequenza tra $f_0/4$ e $f_0$ alla quale $A_{H/V}(f^-) < A_0/2$
$f^+$	frequenza tra $f_0$ e $4f_0$ alla quale $A_{H/V}(f^+) < A_0/2$
$\sigma_A(f)$	deviazione standard di $A_{H/V}(f)$ , $\sigma_A(f)$ è il fattore per il quale la curva $A_{H/V}(f)$ media deve essere moltiplicata o divisa
$\sigma_{\log H/V}(f)$	deviazione standard della funzione $\log A_{H/V}(f)$
$\theta(f_0)$	valore di soglia per la condizione di stabilità $\sigma_A(f) < \theta(f_0)$

Valori di soglia per $\sigma_f$ e $\sigma_A(f_0)$					
Intervallo di freq. [Hz]	< 0.2	0.2 – 0.5	0.5 – 1.0	1.0 – 2.0	> 2.0
$\varepsilon(f_0)$ [Hz]	0.25 $f_0$	0.2 $f_0$	0.15 $f_0$	0.10 $f_0$	0.05 $f_0$
$\theta(f_0)$ per $\sigma_A(f_0)$	3.0	2.5	2.0	1.78	1.58
$\log \theta(f_0)$ per $\sigma_{\log H/V}(f_0)$	0.48	0.40	0.30	0.25	0.20

**FELI\_1158, FELINO T49**

Strumento: TRZ-0091/01-10

Inizio registrazione: 24/02/12 17:22:53 Fine registrazione: 24/02/12 17:36:54

Nomi canali: NORTH SOUTH; EAST WEST ; UP DOWN

Dato GPS non disponibile

Durata registrazione: 0h14'00".

Analizzato 79% tracciato (selezione manuale)

Freq. campionamento: 128 Hz

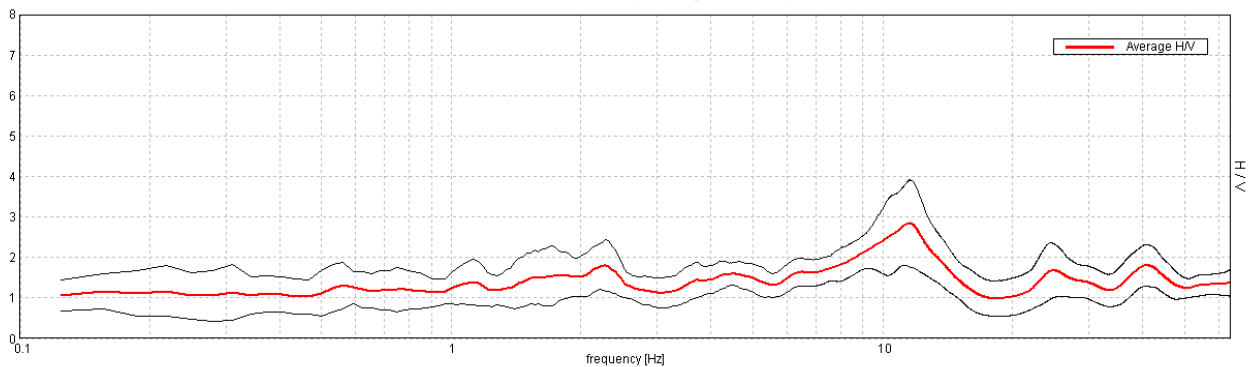
Lunghezza finestre: 20 s

Tipo di lisciamento: Triangular window

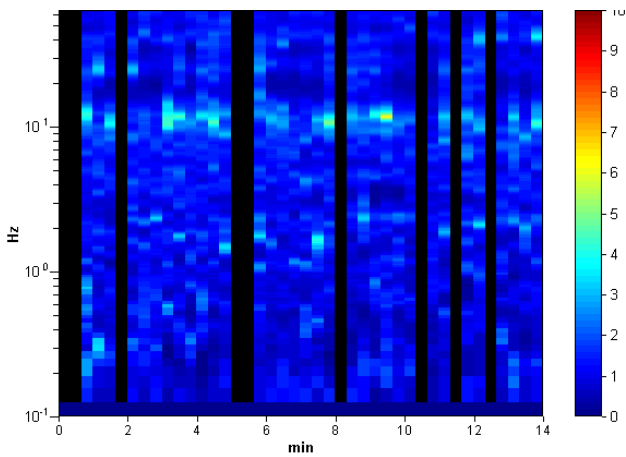
Lisciamento: 10%

**RAPPORTO SPETTRALE ORIZZONTALE SU VERTICALE**

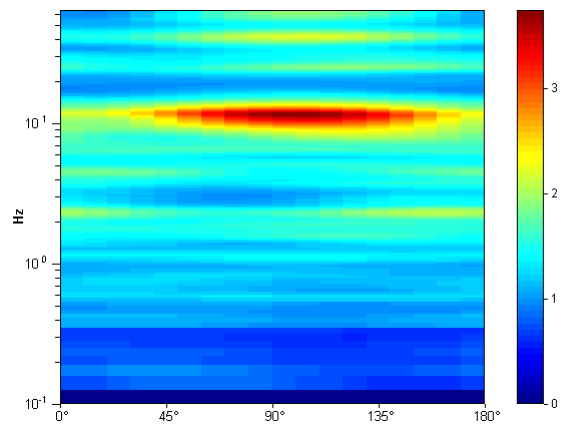
Max. H/V at 11.56 ± 0.08 Hz. (In the range 0.0 - 64.0 Hz).



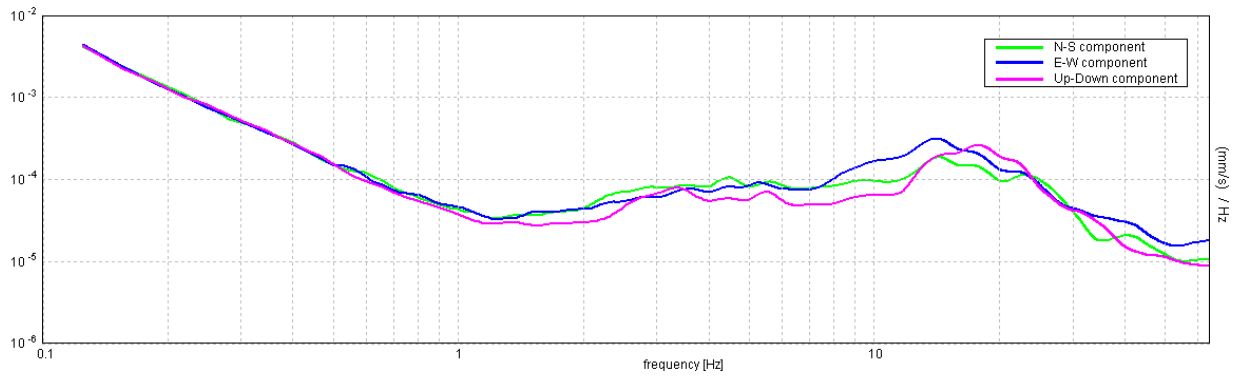
**SERIE TEMPORALE H/V**



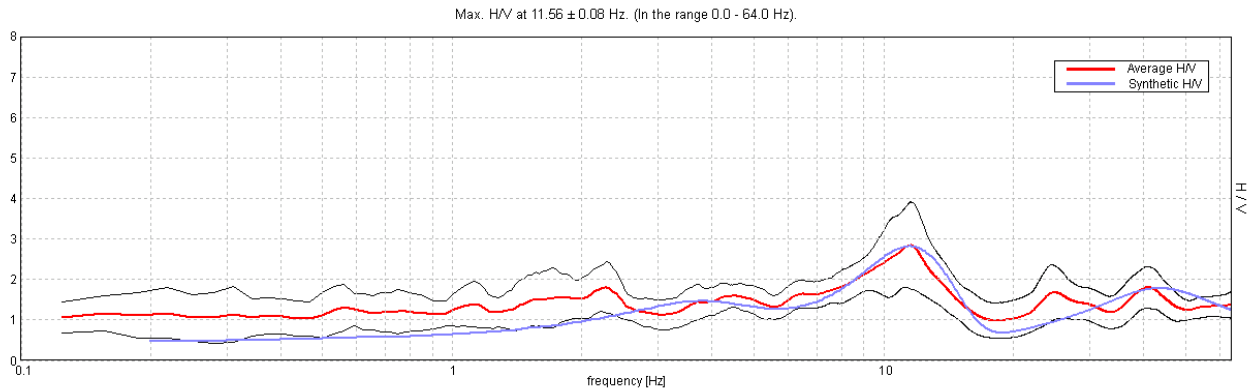
**DIREZIONALITA' H/V**



### SPETTRI DELLE SINGOLE COMPONENTI

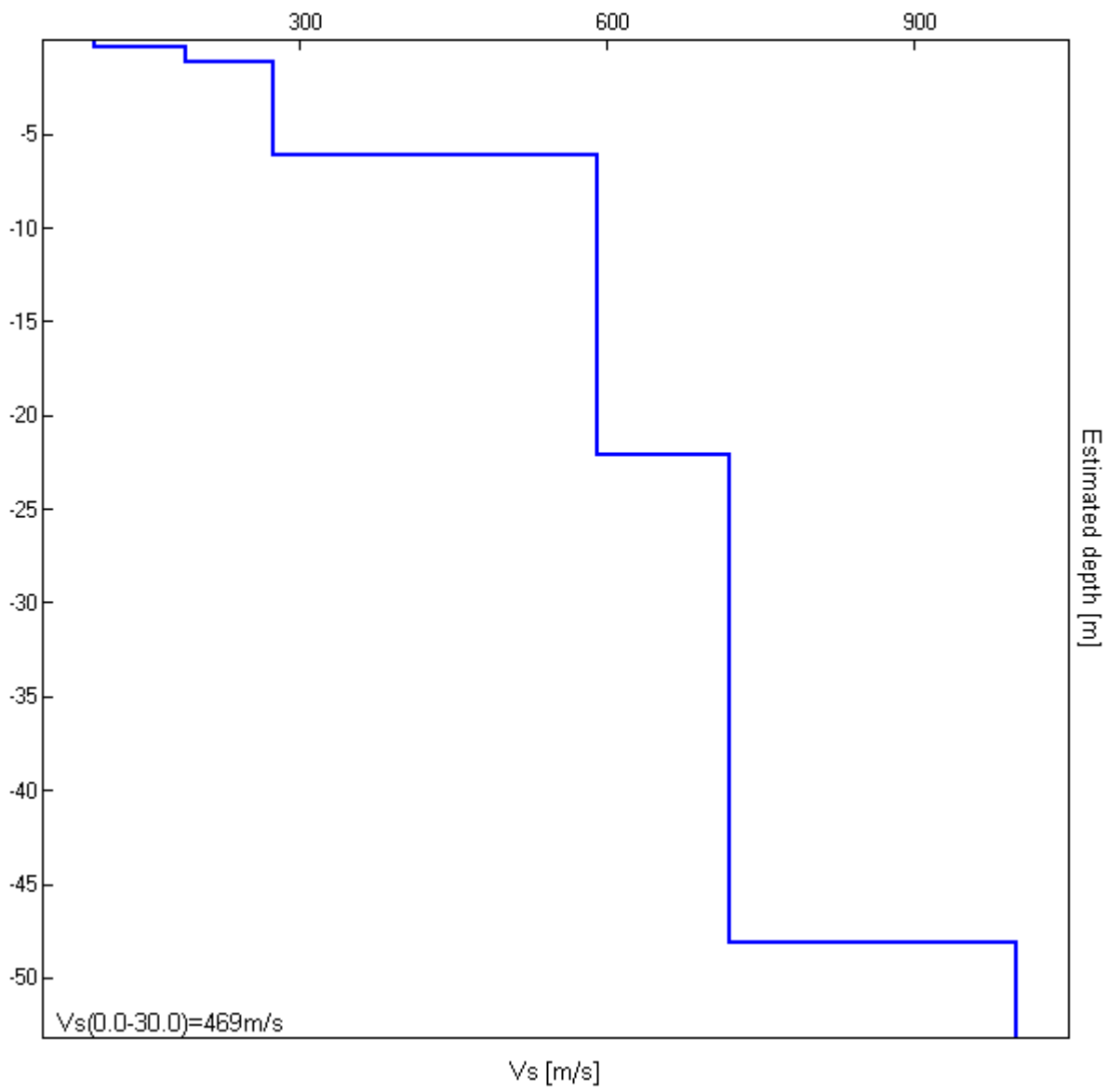


### H/V SPERIMENTALE vs. H/V SINTETICO



Profondità alla base dello strato [m]	Spessore [m]	Vs [m/s]	Rapporto di Poisson
0.35	0.35	100	0.35
1.15	0.80	190	0.35
6.15	5.00	275	0.35
22.15	16.00	590	0.35
48.15	26.00	720	0.35
inf.	inf.	1000	0.35

Vs(0.0-30.0)=469m/s



[Secondo le linee guida SESAME, 2005]

**Picco H/V a 11.56 ± 0.08 Hz (nell'intervallo 0.0 - 64.0 Hz).**

**Criteri per una curva H/V affidabile**  
 [Tutti 3 dovrebbero risultare soddisfatti]

$f_0 > 10 / L_w$	11.56 > 0.50	OK	
$n_c(f_0) > 200$	7631.3 > 200	OK	
$\sigma_A(f) < 2$ per $0.5f_0 < f < 2f_0$ se $f_0 > 0.5\text{Hz}$ $\sigma_A(f) < 3$ per $0.5f_0 < f < 2f_0$ se $f_0 < 0.5\text{Hz}$	Superato 0 volte su 556	OK	

**Criteri per un picco H/V chiaro**  
 [Almeno 5 su 6 dovrebbero essere soddisfatti]

Esiste $f^-$ in $[f_0/4, f_0] \mid A_{H/V}(f^-) < A_0 / 2$	5.875 Hz	OK	
Esiste $f^+$ in $[f_0, 4f_0] \mid A_{H/V}(f^+) < A_0 / 2$	15.094 Hz	OK	
$A_0 > 2$	2.84 > 2	OK	
$f_{\text{picco}}[A_{H/V}(f) \pm \sigma_A(f)] = f_0 \pm 5\%$	$ 0.00316  < 0.05$	OK	
$\sigma_f < \varepsilon(f_0)$	0.03648 < 0.57813	OK	
$\sigma_A(f_0) < \theta(f_0)$	0.5229 < 1.58	OK	

$L_w$	lunghezza della finestra
$n_w$	numero di finestre usate nell'analisi
$n_c = L_w n_w f_0$	numero di cicli significativi
$f$	frequenza attuale
$f_0$	frequenza del picco H/V
$\sigma_f$	deviazione standard della frequenza del picco H/V
$\varepsilon(f_0)$	valore di soglia per la condizione di stabilità $\sigma_f < \varepsilon(f_0)$
$A_0$	ampiezza della curva H/V alla frequenza $f_0$
$A_{H/V}(f)$	ampiezza della curva H/V alla frequenza $f$
$f^-$	frequenza tra $f_0/4$ e $f_0$ alla quale $A_{H/V}(f^-) < A_0/2$
$f^+$	frequenza tra $f_0$ e $4f_0$ alla quale $A_{H/V}(f^+) < A_0/2$
$\sigma_A(f)$	deviazione standard di $A_{H/V}(f)$ , $\sigma_A(f)$ è il fattore per il quale la curva $A_{H/V}(f)$ media deve essere moltiplicata o divisa
$\sigma_{\log H/V}(f)$	deviazione standard della funzione $\log A_{H/V}(f)$
$\theta(f_0)$	valore di soglia per la condizione di stabilità $\sigma_A(f) < \theta(f_0)$

Valori di soglia per $\sigma_f$ e $\sigma_A(f_0)$					
Intervallo di freq. [Hz]	< 0.2	0.2 – 0.5	0.5 – 1.0	1.0 – 2.0	> 2.0
$\varepsilon(f_0)$ [Hz]	0.25 $f_0$	0.2 $f_0$	0.15 $f_0$	0.10 $f_0$	0.05 $f_0$
$\theta(f_0)$ per $\sigma_A(f_0)$	3.0	2.5	2.0	1.78	1.58
$\log \theta(f_0)$ per $\sigma_{\log H/V}(f_0)$	0.48	0.40	0.30	0.25	0.20

**FELI\_1158, FELINO T50**

Strumento: TRZ-0091/01-10

Inizio registrazione: 24/02/12 17:42:44 Fine registrazione: 24/02/12 17:56:45

Nomi canali: NORTH SOUTH; EAST WEST ; UP DOWN

Dato GPS non disponibile

Durata registrazione: 0h14'00".

Analizzato 71% tracciato (selezione manuale)

Freq. campionamento: 128 Hz

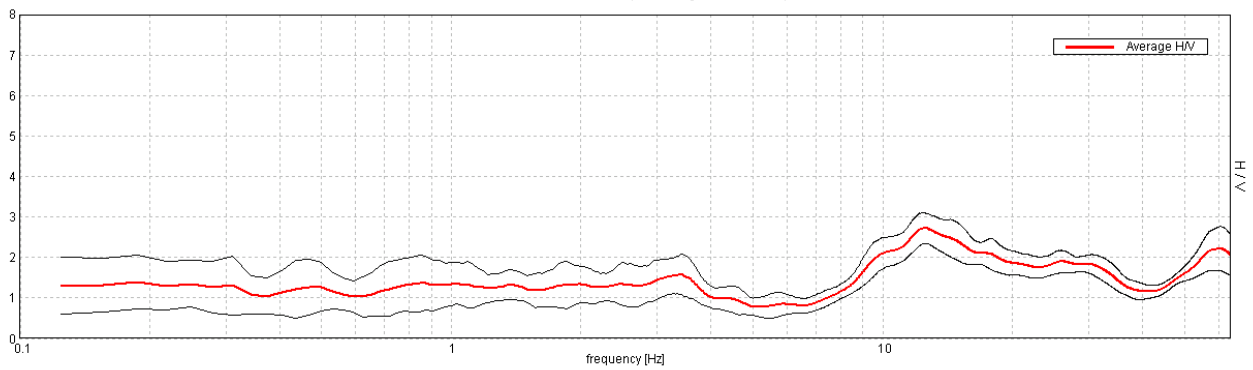
Lunghezza finestre: 20 s

Tipo di lisciamento: Triangular window

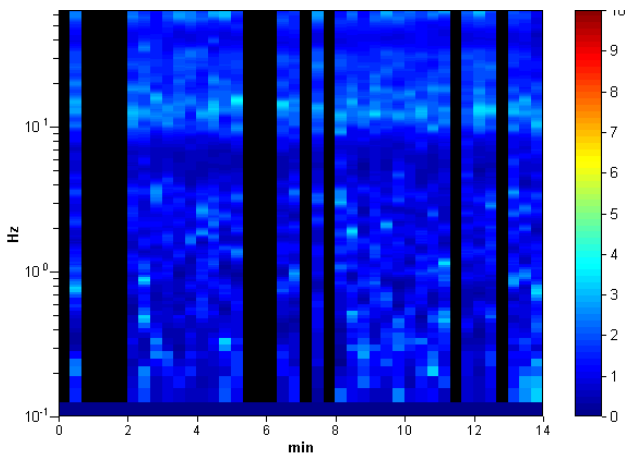
Lisciamento: 10%

**RAPPORTO SPETTRALE ORIZZONTALE SU VERTICALE**

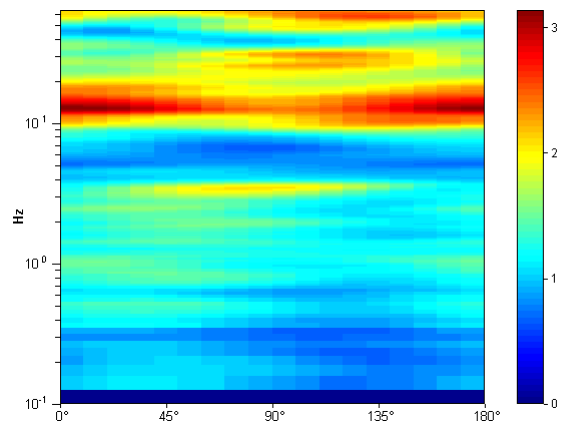
Max. H/V at 12.5 ± 0.82 Hz. (In the range 0.0 - 64.0 Hz).



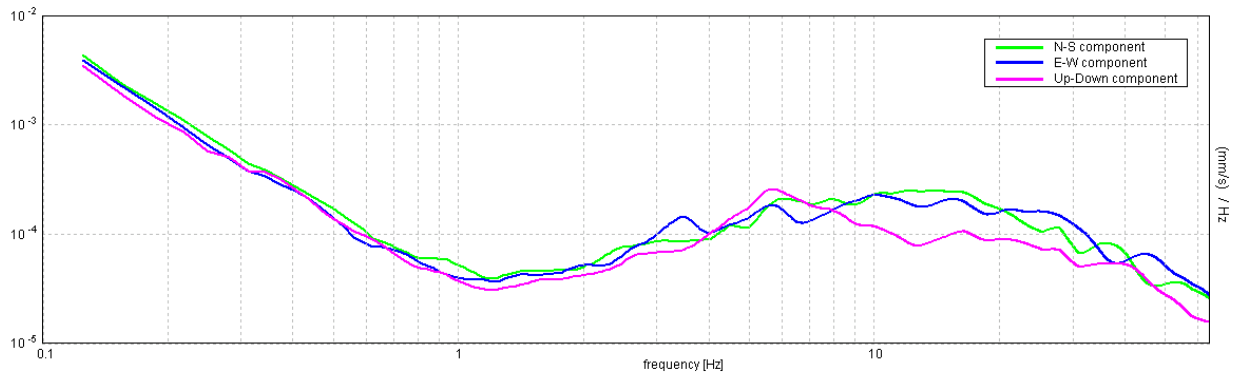
**SERIE TEMPORALE H/V**



**DIREZIONALITA' H/V**

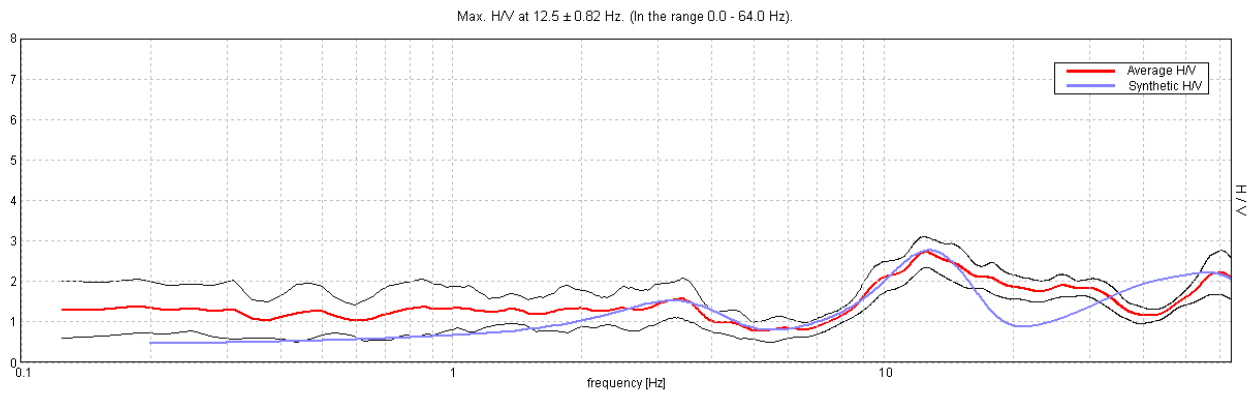


### SPETTRI DELLE SINGOLE COMPONENTI



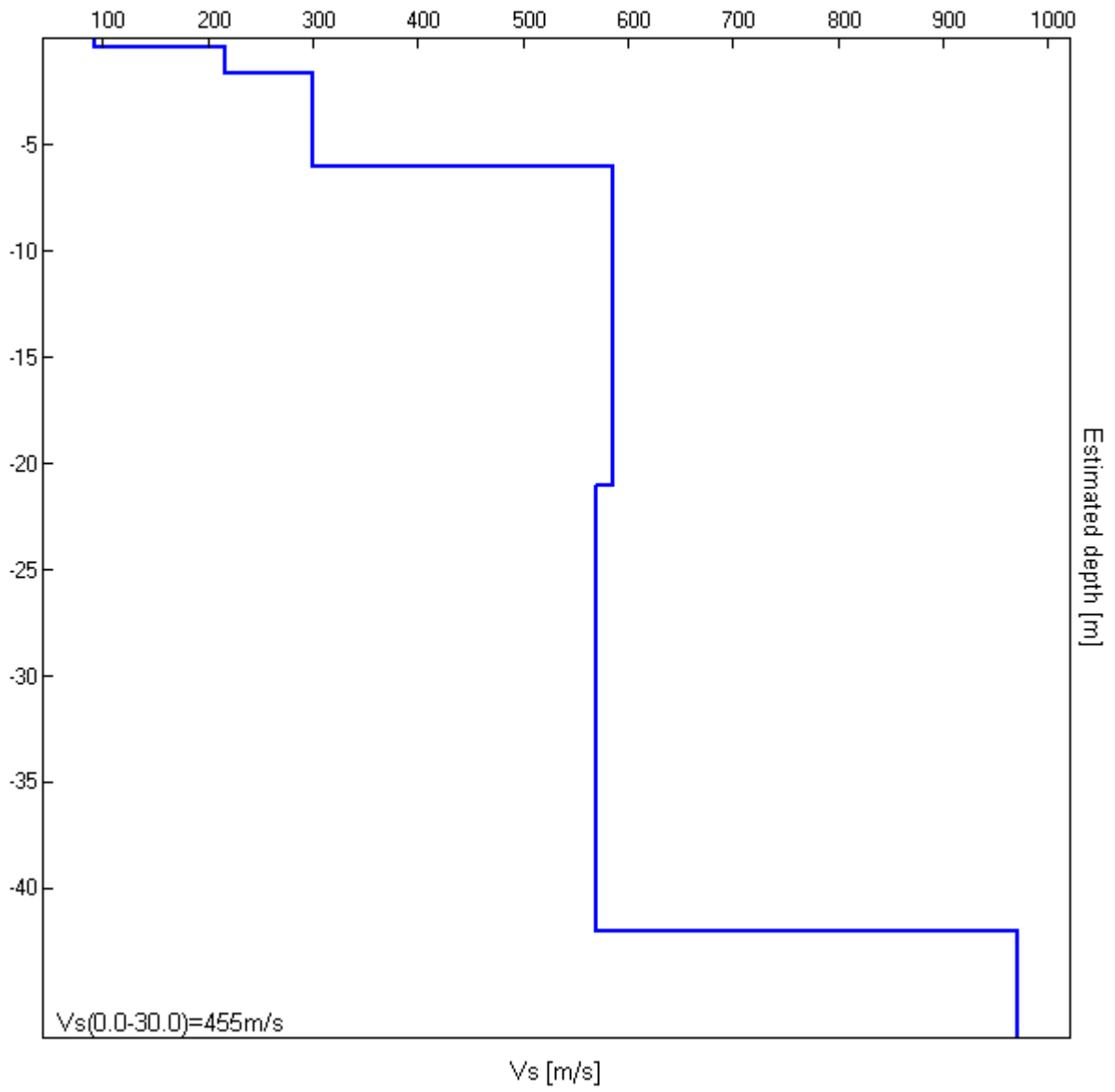


H/V SPERIMENTALE vs. H/V SINTETICO



Profondità alla base dello strato [m]	Spessore [m]	Vs [m/s]	Rapporto di Poisson
0.40	0.40	93	0.35
1.60	1.20	217	0.35
6.00	4.40	300	0.35
21.00	15.00	585	0.35
42.00	21.00	570	0.35
inf.	inf.	970	0.35

Vs(0.0-30.0)=455m/s



[Secondo le linee guida SESAME, 2005]

**Picco H/V a 12.5 ± 0.82 Hz (nell'intervallo 0.0 - 64.0 Hz).**

**Criteri per una curva H/V affidabile**  
 [Tutti 3 dovrebbero risultare soddisfatti]

$f_0 > 10 / L_w$	12.50 > 0.50	OK	
$n_c(f_0) > 200$	7500.0 > 200	OK	
$\sigma_A(f) < 2$ per $0.5f_0 < f < 2f_0$ se $f_0 > 0.5\text{Hz}$ $\sigma_A(f) < 3$ per $0.5f_0 < f < 2f_0$ se $f_0 < 0.5\text{Hz}$	Superato 0 volte su 601	OK	

**Criteri per un picco H/V chiaro**  
 [Almeno 5 su 6 dovrebbero essere soddisfatti]

<b>Esiste <math>f^-</math> in <math>[f_0/4, f_0]</math>   <math>A_{H/V}(f^-) &lt; A_0 / 2</math></b>	8.531 Hz	OK	
<b>Esiste <math>f^+</math> in <math>[f_0, 4f_0]</math>   <math>A_{H/V}(f^+) &lt; A_0 / 2</math></b>	35.719 Hz	OK	
$A_0 > 2$	2.73 > 2	OK	
$f_{\text{picco}}[A_{H/V}(f) \pm \sigma_A(f)] = f_0 \pm 5\%$	$ 0.03141  < 0.05$	OK	
$\sigma_f < \varepsilon(f_0)$	0.39263 < 0.625	OK	
$\sigma_A(f_0) < \theta(f_0)$	0.1812 < 1.58	OK	

$L_w$	lunghezza della finestra
$n_w$	numero di finestre usate nell'analisi
$n_c = L_w n_w f_0$	numero di cicli significativi
$f$	frequenza attuale
$f_0$	frequenza del picco H/V
$\sigma_f$	deviazione standard della frequenza del picco H/V
$\varepsilon(f_0)$	valore di soglia per la condizione di stabilità $\sigma_f < \varepsilon(f_0)$
$A_0$	ampiezza della curva H/V alla frequenza $f_0$
$A_{H/V}(f)$	ampiezza della curva H/V alla frequenza $f$
$f^-$	frequenza tra $f_0/4$ e $f_0$ alla quale $A_{H/V}(f^-) < A_0/2$
$f^+$	frequenza tra $f_0$ e $4f_0$ alla quale $A_{H/V}(f^+) < A_0/2$
$\sigma_A(f)$	deviazione standard di $A_{H/V}(f)$ , $\sigma_A(f)$ è il fattore per il quale la curva $A_{H/V}(f)$ media deve essere moltiplicata o divisa
$\sigma_{\log H/V}(f)$	deviazione standard della funzione $\log A_{H/V}(f)$
$\theta(f_0)$	valore di soglia per la condizione di stabilità $\sigma_A(f) < \theta(f_0)$

Valori di soglia per $\sigma_f$ e $\sigma_A(f_0)$					
Intervallo di freq. [Hz]	< 0.2	0.2 – 0.5	0.5 – 1.0	1.0 – 2.0	> 2.0
$\varepsilon(f_0)$ [Hz]	0.25 $f_0$	0.2 $f_0$	0.15 $f_0$	0.10 $f_0$	0.05 $f_0$
$\theta(f_0)$ per $\sigma_A(f_0)$	3.0	2.5	2.0	1.78	1.58
$\log \theta(f_0)$ per $\sigma_{\log H/V}(f_0)$	0.48	0.40	0.30	0.25	0.20

**FELI\_1158, FELINO T51**

Strumento: TRZ-0091/01-10

Inizio registrazione: 24/02/12 18:05:39 Fine registrazione: 24/02/12 18:19:40

Nomi canali: NORTH SOUTH; EAST WEST ; UP DOWN

Dato GPS non disponibile

Durata registrazione: 0h14'00".

Analizzato 79% tracciato (selezione manuale)

Freq. campionamento: 128 Hz

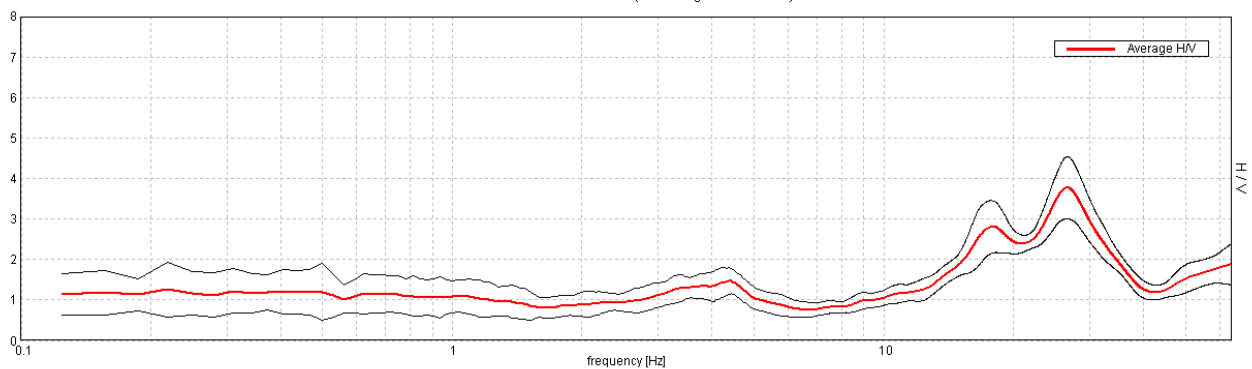
Lunghezza finestre: 20 s

Tipo di lisciamento: Triangular window

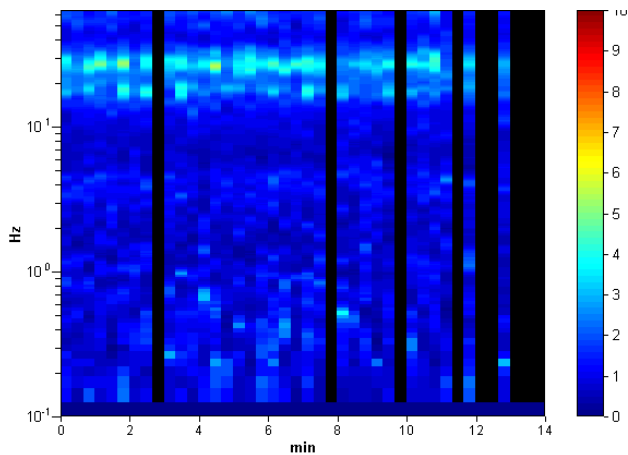
Lisciamento: 10%

**RAPPORTO SPETTRALE ORIZZONTALE SU VERTICALE**

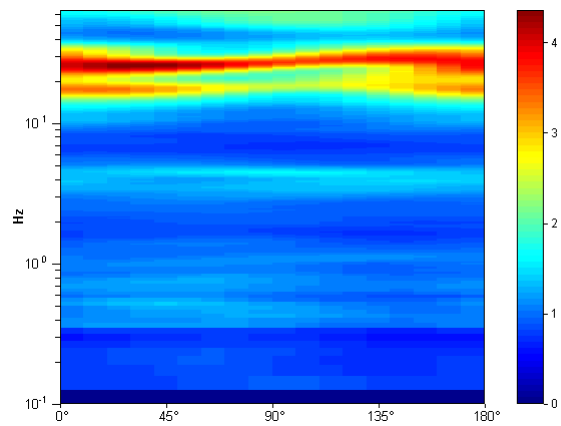
Max. H/V at 26.56 ± 0.19 Hz. (In the range 0.0 - 64.0 Hz).



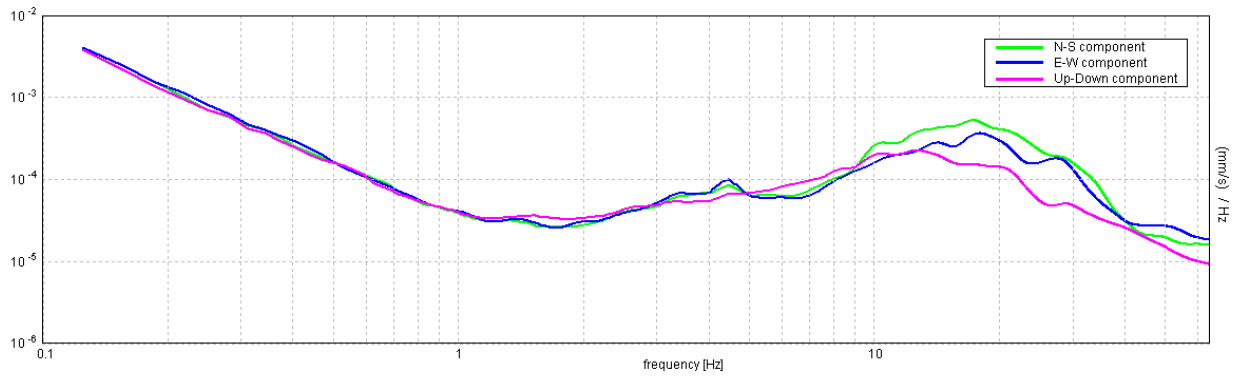
**SERIE TEMPORALE H/V**



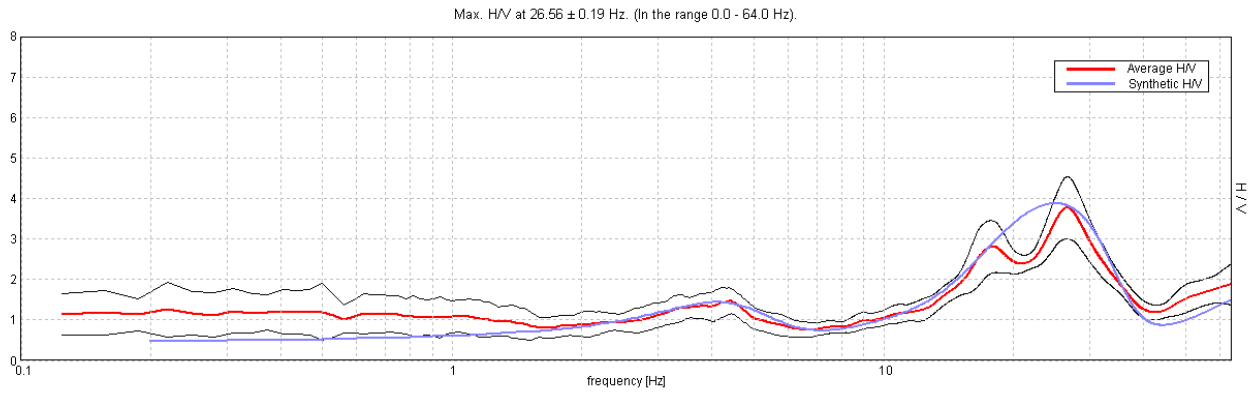
**DIREZIONALITA' H/V**



### SPETTRI DELLE SINGOLE COMPONENTI

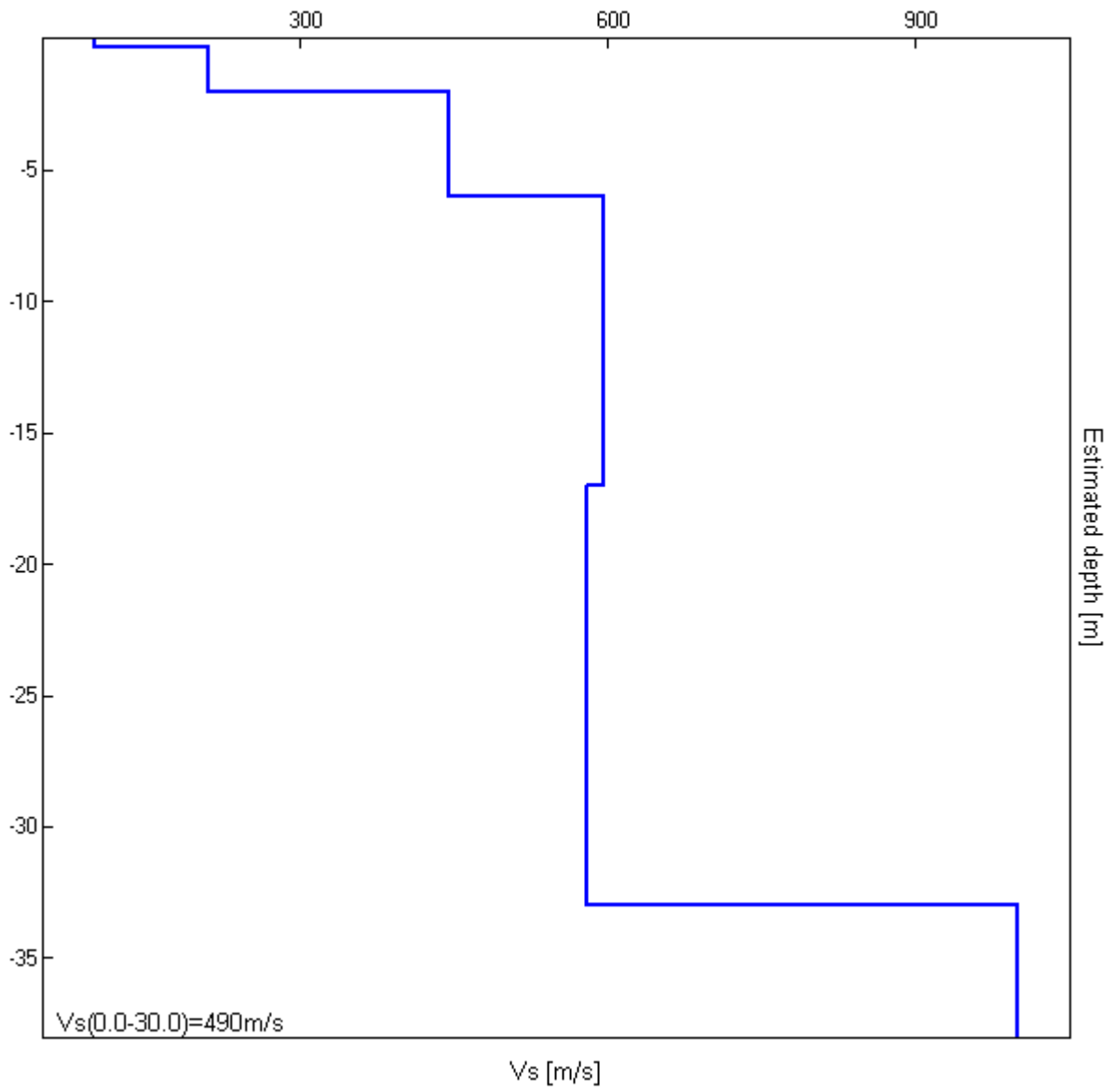


### H/V SPERIMENTALE vs. H/V SINTETICO



Profondità alla base dello strato [m]	Spessore [m]	Vs [m/s]	Rapporto di Poisson
0.35	0.35	99	0.35
2.00	1.65	210	0.35
6.00	4.00	445	0.35
17.00	11.00	595	0.35
33.00	16.00	580	0.35
inf.	inf.	1000	0.35

Vs(0.0-30.0)=490m/s



[Secondo le linee guida SESAME, 2005]

**Picco H/V a 26.56 ± 0.19 Hz (nell'intervallo 0.0 - 64.0 Hz).**

**Criteri per una curva H/V affidabile**  
 [Tutti 3 dovrebbero risultare soddisfatti]

$f_0 > 10 / L_w$	26.56 > 0.50	OK	
$n_c(f_0) > 200$	17531.3 > 200	OK	
$\sigma_A(f) < 2$ per $0.5f_0 < f < 2f_0$ se $f_0 > 0.5\text{Hz}$ $\sigma_A(f) < 3$ per $0.5f_0 < f < 2f_0$ se $f_0 < 0.5\text{Hz}$	Superato 0 volte su 1276	OK	

**Criteri per un picco H/V chiaro**  
 [Almeno 5 su 6 dovrebbero essere soddisfatti]

<b>Esiste <math>f^-</math> in <math>[f_0/4, f_0]</math>   <math>A_{H/V}(f^-) &lt; A_0 / 2</math></b>	15.0 Hz	OK	
<b>Esiste <math>f^+</math> in <math>[f_0, 4f_0]</math>   <math>A_{H/V}(f^+) &lt; A_0 / 2</math></b>	35.313 Hz	OK	
$A_0 > 2$	3.77 > 2	OK	
$f_{\text{picco}}[A_{H/V}(f) \pm \sigma_A(f)] = f_0 \pm 5\%$	$ 0.00341  < 0.05$	OK	
$\sigma_f < \varepsilon(f_0)$	0.09059 < 1.32813	OK	
$\sigma_A(f_0) < \theta(f_0)$	0.3712 < 1.58	OK	

$L_w$	lunghezza della finestra
$n_w$	numero di finestre usate nell'analisi
$n_c = L_w n_w f_0$	numero di cicli significativi
$f$	frequenza attuale
$f_0$	frequenza del picco H/V
$\sigma_f$	deviazione standard della frequenza del picco H/V
$\varepsilon(f_0)$	valore di soglia per la condizione di stabilità $\sigma_f < \varepsilon(f_0)$
$A_0$	ampiezza della curva H/V alla frequenza $f_0$
$A_{H/V}(f)$	ampiezza della curva H/V alla frequenza $f$
$f^-$	frequenza tra $f_0/4$ e $f_0$ alla quale $A_{H/V}(f^-) < A_0/2$
$f^+$	frequenza tra $f_0$ e $4f_0$ alla quale $A_{H/V}(f^+) < A_0/2$
$\sigma_A(f)$	deviazione standard di $A_{H/V}(f)$ , $\sigma_A(f)$ è il fattore per il quale la curva $A_{H/V}(f)$ media deve essere moltiplicata o divisa
$\sigma_{\log H/V}(f)$	deviazione standard della funzione $\log A_{H/V}(f)$
$\theta(f_0)$	valore di soglia per la condizione di stabilità $\sigma_A(f) < \theta(f_0)$

Valori di soglia per $\sigma_f$ e $\sigma_A(f_0)$					
Intervallo di freq. [Hz]	< 0.2	0.2 – 0.5	0.5 – 1.0	1.0 – 2.0	> 2.0
$\varepsilon(f_0)$ [Hz]	0.25 $f_0$	0.2 $f_0$	0.15 $f_0$	0.10 $f_0$	0.05 $f_0$
$\theta(f_0)$ per $\sigma_A(f_0)$	3.0	2.5	2.0	1.78	1.58
$\log \theta(f_0)$ per $\sigma_{\log H/V}(f_0)$	0.48	0.40	0.30	0.25	0.20



**FELI\_1158, FELINO T52**

Strumento: TRZ-0091/01-10

Inizio registrazione: 24/02/12 18:29:13 Fine registrazione: 24/02/12 18:43:14

Nomi canali: NORTH SOUTH; EAST WEST ; UP DOWN

Dato GPS non disponibile

Durata registrazione: 0h14'00".

Analizzato 81% tracciato (selezione manuale)

Freq. campionamento: 128 Hz

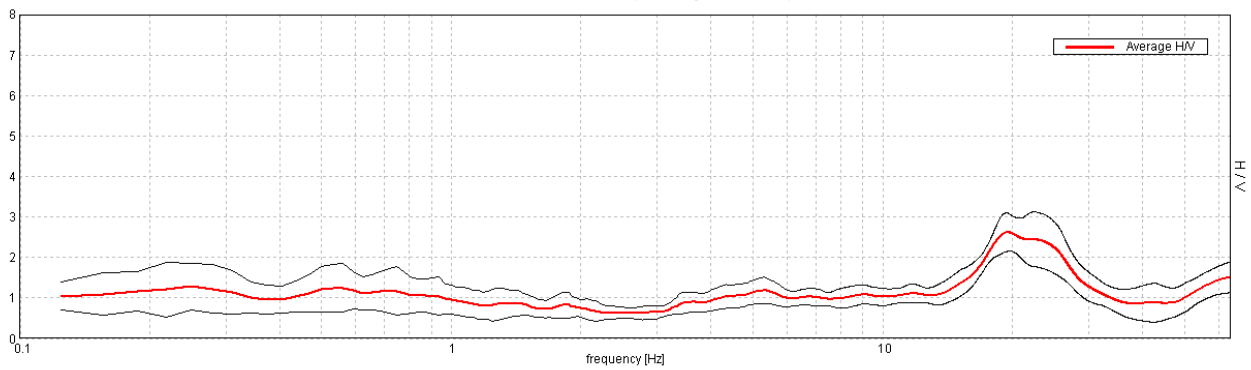
Lunghezza finestre: 20 s

Tipo di lisciamento: Triangular window

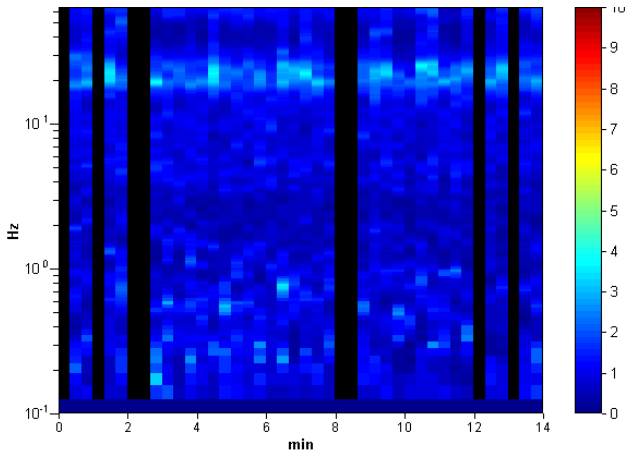
Lisciamento: 10%

**RAPPORTO SPETTRALE ORIZZONTALE SU VERTICALE**

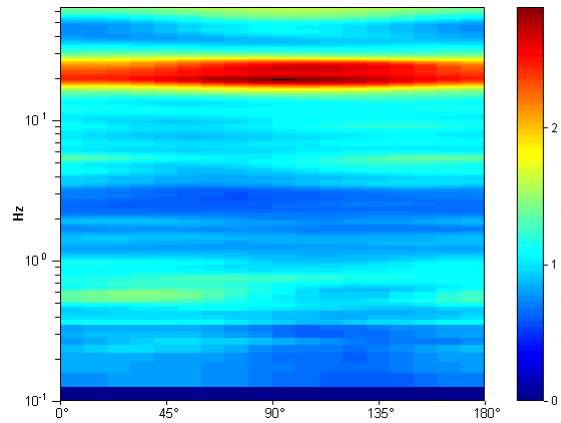
Max. H/V at 19.38 ± 0.09 Hz. (In the range 0.0 - 64.0 Hz).



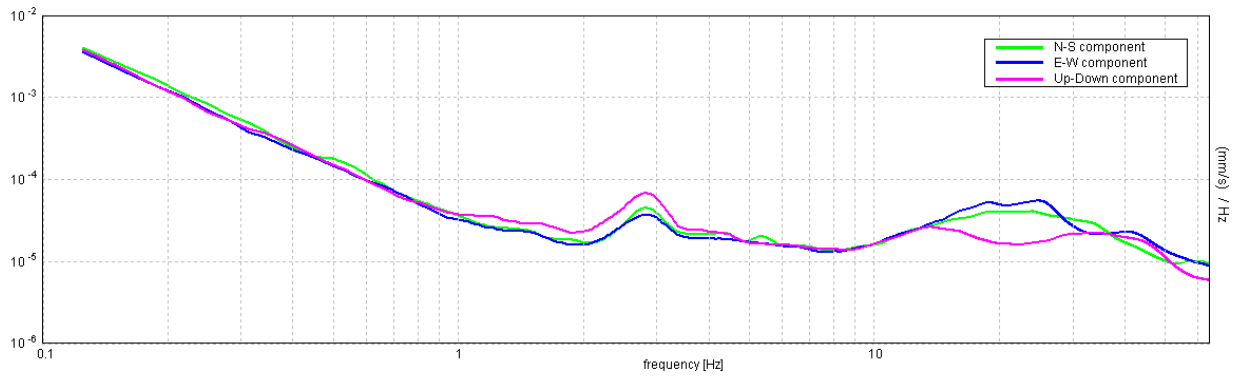
**SERIE TEMPORALE H/V**



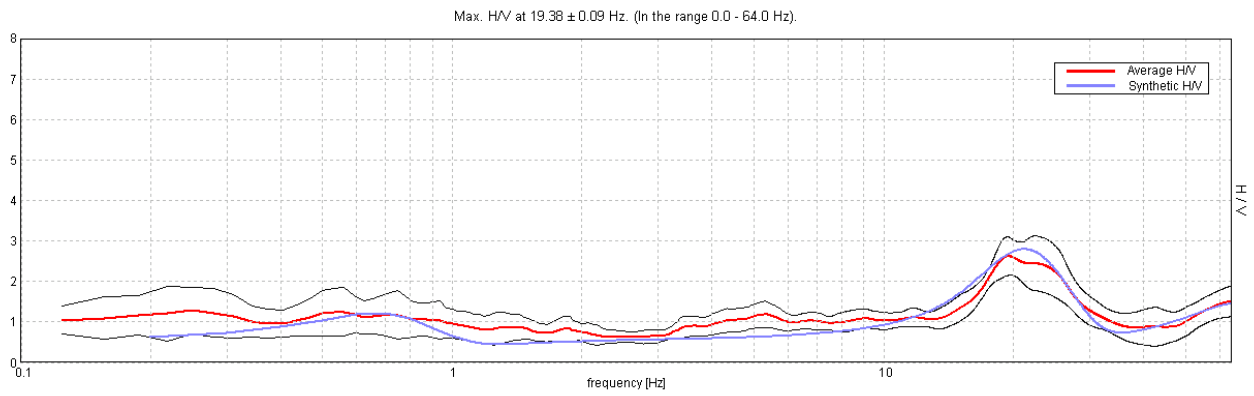
**DIREZIONALITA' H/V**



SPETTRI DELLE SINGOLE COMPONENTI

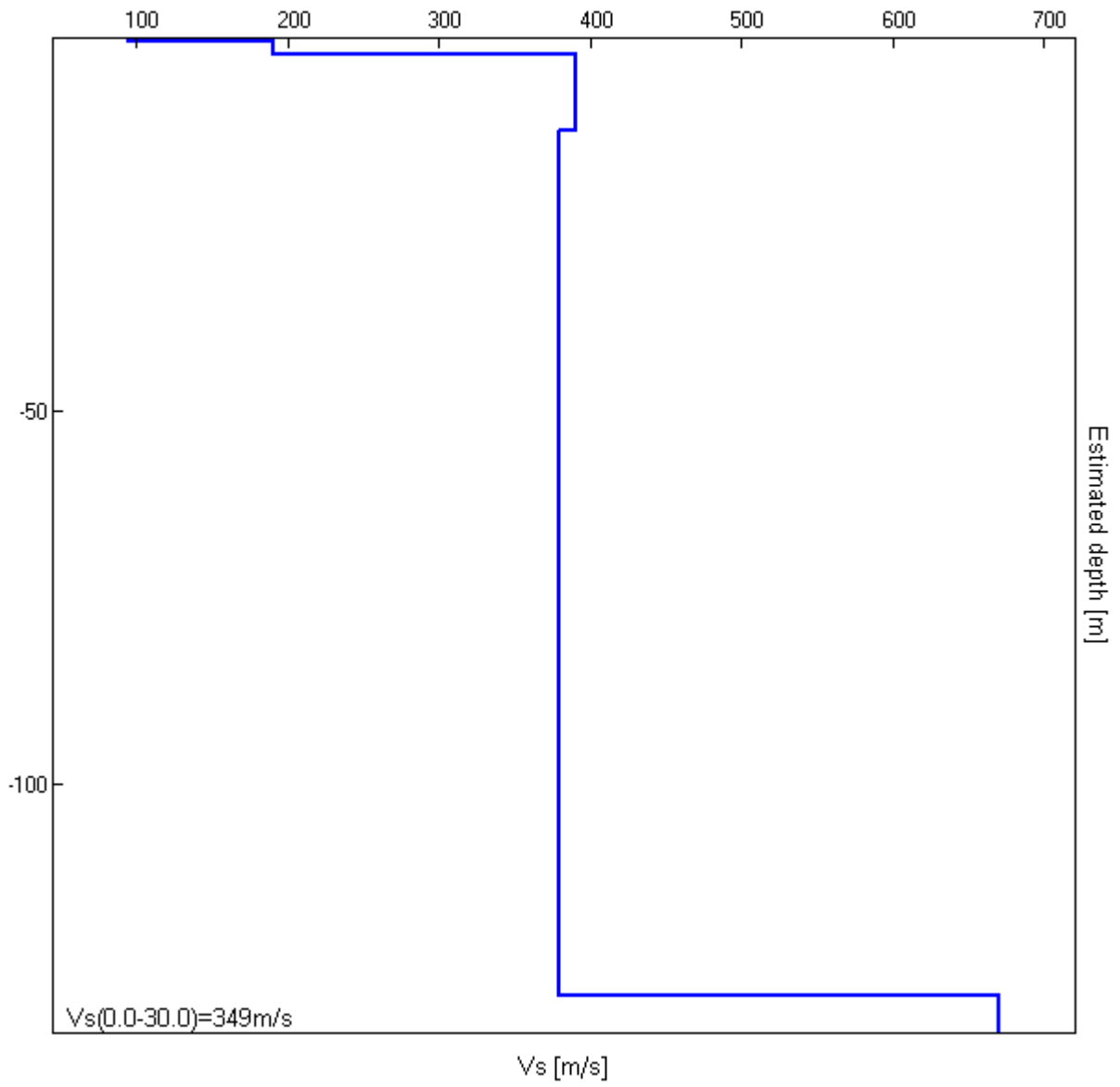


### H/V SPERIMENTALE vs. H/V SINTETICO



Profondità alla base dello strato [m]	Spessore [m]	Vs [m/s]	Rapporto di Poisson
0.35	0.35	95	0.35
2.25	1.90	190	0.35
12.25	10.00	390	0.35
128.25	116.00	380	0.35
inf.	inf.	670	0.35

Vs(0.0-30.0)=349m/s



[Secondo le linee guida SESAME, 2005]

**Picco H/V a 19.38 ± 0.09 Hz (nell'intervallo 0.0 - 64.0 Hz).**

**Criteri per una curva H/V affidabile**  
 [Tutti 3 dovrebbero risultare soddisfatti]

$f_0 > 10 / L_w$	19.38 > 0.50	OK	
$n_c(f_0) > 200$	13175.0 > 200	OK	
$\sigma_A(f) < 2$ per $0.5f_0 < f < 2f_0$ se $f_0 > 0.5\text{Hz}$ $\sigma_A(f) < 3$ per $0.5f_0 < f < 2f_0$ se $f_0 < 0.5\text{Hz}$	Superato 0 volte su 931	OK	

**Criteri per un picco H/V chiaro**  
 [Almeno 5 su 6 dovrebbero essere soddisfatti]

<b>Esiste <math>f^-</math> in <math>[f_0/4, f_0]</math>   <math>A_{H/V}(f^-) &lt; A_0 / 2</math></b>	14.875 Hz	OK	
<b>Esiste <math>f^+</math> in <math>[f_0, 4f_0]</math>   <math>A_{H/V}(f^+) &lt; A_0 / 2</math></b>	29.688 Hz	OK	
$A_0 > 2$	2.63 > 2	OK	
$f_{\text{picco}}[A_{H/V}(f) \pm \sigma_A(f)] = f_0 \pm 5\%$	0.00235  < 0.05	OK	
$\sigma_f < \varepsilon(f_0)$	0.04557 < 0.96875	OK	
$\sigma_A(f_0) < \theta(f_0)$	0.2327 < 1.58	OK	

$L_w$	lunghezza della finestra
$n_w$	numero di finestre usate nell'analisi
$n_c = L_w n_w f_0$	numero di cicli significativi
$f$	frequenza attuale
$f_0$	frequenza del picco H/V
$\sigma_f$	deviazione standard della frequenza del picco H/V
$\varepsilon(f_0)$	valore di soglia per la condizione di stabilità $\sigma_f < \varepsilon(f_0)$
$A_0$	ampiezza della curva H/V alla frequenza $f_0$
$A_{H/V}(f)$	ampiezza della curva H/V alla frequenza $f$
$f^-$	frequenza tra $f_0/4$ e $f_0$ alla quale $A_{H/V}(f^-) < A_0/2$
$f^+$	frequenza tra $f_0$ e $4f_0$ alla quale $A_{H/V}(f^+) < A_0/2$
$\sigma_A(f)$	deviazione standard di $A_{H/V}(f)$ , $\sigma_A(f)$ è il fattore per il quale la curva $A_{H/V}(f)$ media deve essere moltiplicata o divisa
$\sigma_{\log H/V}(f)$	deviazione standard della funzione $\log A_{H/V}(f)$
$\theta(f_0)$	valore di soglia per la condizione di stabilità $\sigma_A(f) < \theta(f_0)$

Valori di soglia per $\sigma_f$ e $\sigma_A(f_0)$					
Intervallo di freq. [Hz]	< 0.2	0.2 – 0.5	0.5 – 1.0	1.0 – 2.0	> 2.0
$\varepsilon(f_0)$ [Hz]	0.25 $f_0$	0.2 $f_0$	0.15 $f_0$	0.10 $f_0$	0.05 $f_0$
$\theta(f_0)$ per $\sigma_A(f_0)$	3.0	2.5	2.0	1.78	1.58
$\log \theta(f_0)$ per $\sigma_{\log H/V}(f_0)$	0.48	0.40	0.30	0.25	0.20